

CNPEM
Centro Nacional de Pesquisa
em Energia e Materiais

Relatório Anual
Parte 03

ANEXO 1 - INDICADORES DE DESEMPENHO	3
ANEXO 2 - INDICADORES ESPECÍFICOS DE PROJETOS: SIRIUS E SISNANO	40
ANEXO 3 - REFERÊNCIAS DE PUBLICAÇÕES CIENTÍFICAS, TESES E DISSERTAÇÕES E MEMORANDOS TÉCNICOS	45
ANEXO 4 - LISTA DE BOLSISTAS E PÓS-DOUTORES	132
ANEXO 5 - RECOMENDAÇÕES DA COMISSÃO DE AVALIAÇÃO DO CONTRATO DE GESTÃO	141
ANEXO 6 - INFORMAÇÕES COMPLEMENTARES	144
ANEXO 7 - DOCUMENTO SÍNTESE DOS COMITÊS CIENTÍFICOS DO CNPEM	149
ANEXO 8 - RELATÓRIO DOS AUDITORES INDEPENDENTES	156

ANEXO 1 – Indicadores de Desempenho

Indicador		Eixos de Atuação	Unidade	Tipo	Peso	Qualificação	Pactuado	Realizado
Nº	Descriutivo							
01	Taxa geral de ocupação das instalações	Todos	%	Uso	01	Eficácia	70%	73%
02	Taxa de ocupação das instalações por usuários externos	Eixo 1	%	Uso	01	Eficácia	40%	45%
03	Artigos publicados por pesquisadores externos	Eixo 1	Razão	Uso	04	Efetividade	0,75	0,79
04	Beneficiários externos das instalações abertas	Eixo 1	Número absoluto	Uso	01	Eficácia	1800	1911
05	Índice de satisfação dos usuários externos	Eixo 1	%	D/Uso	02	Efetividade	85%	97%
06	Confiabilidade da fonte de luz síncrotron	Todos	%	D	04	Eficácia	95%	97,5%
07	Propostas realizadas por usuários externos nas instalações abertas	Eixo 1	Número absoluto	Uso	03	Eficácia	900	991
08	Artigos publicados por pesquisadores internos	Eixo 2	Razão	Uso	04	Efetividade	2,5	1,9
09	Parcerias em projetos de P&D com instituições de ensino e pesquisa	Eixo 2	Número absoluto	D	02	Eficiência	20	32
10	Memorandos técnicos	Eixo 2 e 4	Número absoluto	D	02	Efetividade	14	22
11	Taxa de supervisão de pós-doutores	Eixo 2 e 4	Razão	D	03	Eficiência	1,0	0,97
12	Tecnologias protegidas	Eixo 2 e 3	Número absoluto	D	01	Efetividade	8	9
13	Recursos adicionais ao Contrato de Gestão	Eixo 2 e 3	%	D	02	Eficiência	30%	68%
14	Parcerias em projetos de PD&I com AIS	Eixo 3	Número absoluto	D	02	Eficiência	35	42
15	Recursos associados à inovação	Eixo 3	%	D	02	Eficiência	8%	25%
16	Capacitação de pesquisadores externos	Eixo 4	Número absoluto	Uso	02	Eficácia	10.000	22.089
17	Eventos científicos	Eixo 4	Número absoluto	Uso	02	Eficácia	4	6
18	Participantes de eventos científicos	Eixo 4	Número absoluto	Uso	01	Eficácia	250	466

Indicador 1:**Taxa geral de ocupação das instalações****Macroprocesso:**

Operar o Laboratório Nacional

Objetivo Estratégico:

Prover e manter infraestrutura nacional de classe mundial para pesquisa, desenvolvimento e inovação nas suas áreas de atuação disponibilizada à comunidade de pesquisa acadêmica e industrial.

Finalidade:

Medir a taxa de ocupação total das instalações dos Laboratórios Nacionais do CNPEM, no ano de referência, disponibilizada a usuários externos, P&D *in-house*, interação com empresas e atividades de treinamento, educação e difusão.

Descrição:

Razão entre o número total de horas efetivamente utilizadas nas atividades mencionadas e o número total de horas planejadas para utilização, sendo retiradas as horas de manutenção e paradas programadas nas instalações. Consideram-se para o cálculo todos os usuários (internos e externos) em atividades relacionadas a todos os eixos de atuação.

Fórmula de cálculo:

$$\text{Indicador 1} = \frac{\text{Número de horas efetivamente utilizadas no período}}{\text{Horas previstas de disponibilidade para uso das instalações no período}}$$

Tipo: Uso	Peso: 1	Unidade: Percentual	Qualificação: Eficácia
		Meta 2015: 70%	Realizado: 73%

Histórico indicador:

LN	Taxa de Ocupação		
	2013	2014	2015
LNLS	74%	90%	66%
LNBIO	71%	75%	85%
LNNANO	57%	73%	74%
CTBE	-	93%	89%
CNPEM	68%	81%	73%

Comentário: O número de horas a serem disponibilizadas por cada um dos Laboratórios Nacionais é estimado no início do ano e considera as agendas de todas as instalações abertas no Portal de Usuários. As horas previstas de disponibilidade para uso das instalações abertas, denominador do indicador, é o produto dos dias úteis pelo número de horas dos turnos diários da instalação, menos a previsão de horas de manutenção. As horas efetivamente utilizadas são medidas pelo agendamento das propostas externas e internas, além das propostas dedicadas a projetos com a indústria, projetos internos, prestações de serviços, treinamento, entre outros eventos especiais.

Em 2015 este indicador alcançou 104% da meta pactuada para o ano. O total de horas apresenta a seguinte distribuição utilizadas por Laboratório Nacional: 44% - LNLS; 28% - LNBio; 28% - LNNano; e 11% - CTBE.

A Tabela a seguir demonstra o número de horas efetivamente utilizadas por Laboratório Nacional e por Eixos de Atuação.

	Eixo 1	Eixo 2	Eixo 3	Eixo 4	Horas Utilizadas	Horas Disponíveis	Taxa de Ocupação de 2015
LNLs	34086	4278	184	4623	43171	65297	66%
LNBIO	9418	7024	269	0	16711	19760	85%
LNNANO	12659	7608	6121	523	26911	36552	74%
CTBE	3464	4167	3111	16	10758	12136	89%
CNPEM	59627	23077	9685	5162	97551	133745	73%

Indicador 2:**Taxa de ocupação das instalações por usuários externos****Macroprocesso:**

Operar o Laboratório Nacional

Objetivo Estratégico:

Prover e manter infraestrutura nacional de classe mundial para pesquisa, desenvolvimento e inovação nas suas áreas de atuação disponibilizada à comunidade de pesquisa acadêmica e industrial.

Finalidade:

Medir a ocupação dos Laboratórios Nacionais do CNPEM por usuários externos no período de referência

Descrição:

Razão entre o número de horas efetivamente utilizadas por usuários externos e o número de horas totais disponibilizadas para todos os eixos de atuação

Fórmula de cálculo:

$$\text{Indicador 2} = \frac{\text{Número de horas efetivamente utilizadas por usuários externos no período}}{\text{Horas previstas de disponibilidade para uso das instalações no período}}$$

Tipo: Uso	Peso: 1	Unidade: Percentual	Qualificação: Eficácia
		Meta 2015: 40%	Realizado: 45%

Histórico indicador:

LN	Taxa de Ocupação do Eixo 1		
	2013	2014	2015
LNLS	63%	75%	52%
LNBIO	37%	39%	48%
LNNANO	31%	30%	35%
CTBE		4%	29%
CNPEM	48%	47%	45%

Comentário: As horas previstas de disponibilidade para uso das instalações no período, denominador do indicador, é o produto dos dias úteis pelo número de horas dos turnos diários da instalação, menos a previsão de horas de manutenção. O número de horas efetivamente utilizadas pelas instalações no eixo 1 é medido através dos agendamentos realizados para propostas externas e apresenta variação entre os LNs, devido aos objetivos estratégicos de cada um.

Neste semestre este Indicador alcançou 113% da meta pactuada. As horas dedicadas ao Eixo 1 por Laboratório Nacional apresenta a seguinte distribuição: 57% - LNLS; 21% - LNNano; 16% - LNBio; e 6% - CTBE.

	Eixo 1	Horas Disponíveis	Taxa de Ocupação de 2015	
LNLS	34086	65297	52%	
LNBIO	9418	19760	48%	
LNNANO	12659	36552	35%	
CTBE	3464	12136	29%	
CNPSEM	59627	133745	45%	

Indicador 3: Artigos publicados por pesquisadores externos

Macroprocesso:

Operar o Laboratório Nacional

Objetivo Estratégico

Prover e manter infraestrutura nacional de classe mundial para pesquisa, desenvolvimento e inovação nas suas áreas de atuação disponibilizada à comunidade de pesquisa acadêmica e industrial.

Finalidade:

Aferir resultados das atividades de pesquisa realizadas por pesquisadores externos, decorrentes do uso das instalações abertas do CNPEM, no ano de referência.

Descrição:

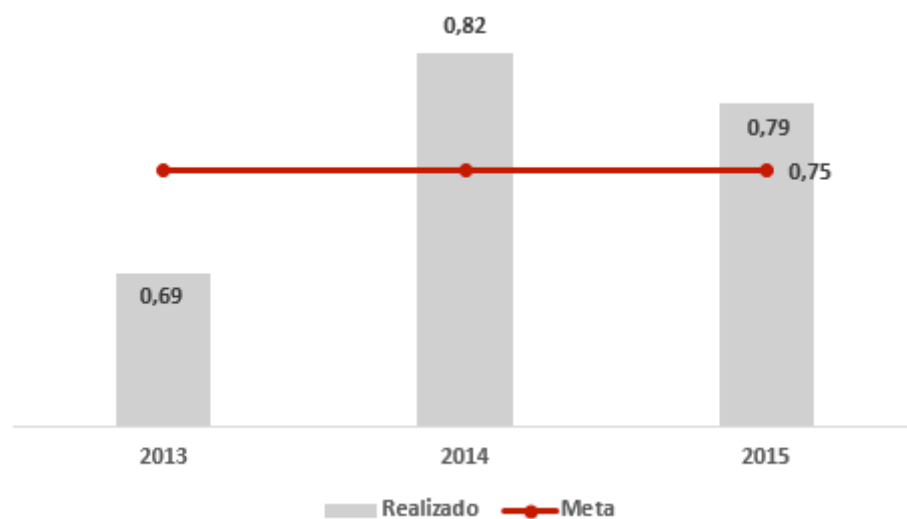
Razão entre o número de artigos de pesquisadores externos ao CNPEM que decorreu do uso das instalações no ano X, indexados na base *Web of Science* nos anos x, x+1, x+2, e o número de propostas realizadas no ano X.

Fórmula de cálculo:

$$\text{Indicador 3} = \frac{\text{número de artigos de pesq. externos na base WoK nos anos } x, x + 1, x + 2}{\text{número de propostas realizadas no ano } X}$$

Tipo:	Peso:	Unidade:	Qualificação:
Uso	4	Razão	Efetividade
		Meta 2015: 0,75	Realizado: 0,79

Histórico indicador:



Comentário: Para o ano de 2015 este indicador mede a produtividade científica dos beneficiários das propostas externas realizadas no CNPEM em 2013. São consideradas todas as publicações realizadas por estes pesquisadores entre os anos de 2013 e 2015, que façam citação ao uso das instalações dos Laboratórios Nacionais.

Diferentemente de outras instituições de pesquisa, que mede a produtividade científica exclusivamente de seus próprios funcionários, um Laboratório Nacional aberto necessita auferir os resultados de seus usuários externos, o que traz desafios a metodologia de busca. Para isso deve-se vincular as possíveis

Booleanos: AND, OR, NOT, SAME, NEAR

Rótulos do campo:

TS= Tópico	SG= Suborganização
TI= Título	SA= Endereço da Rua
AU= Autor [índice]	CI= Cidade
AI= Identificadores de autor	PS= Província/Estado
GP= Autor grupo [índice]	CU= País
ED= Editor	ZP= CEP/Código postal
SO= Nome da publicação [índice]	FO= Agência financiadora
DO= DOI	FG= Número do subsídio
PY= Ano de publicação	FT= Texto sobre financiamento
CF= Conferência	SU= Área de pesquisa
AD= Endereço	WC= Categoria Web of Science
OG= Organização - Consolidada [índice]	IS= ISSN/ISBN
OO= Organização	UT= Número de acesso

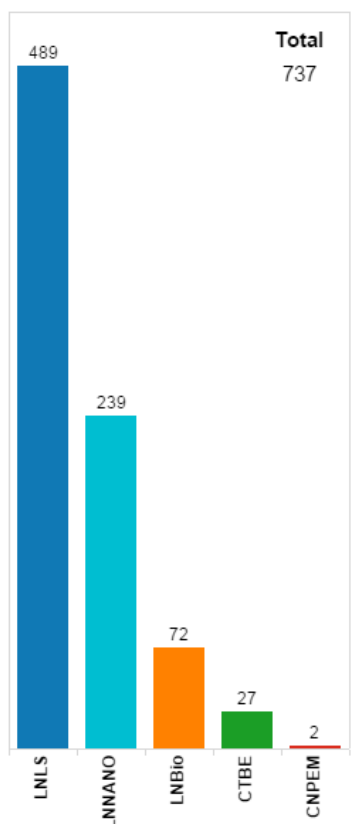
citações de mais de 1890 beneficiários com as possibilidades de citação ao CNPEM e LNs (até o momento foram identificadas 121 formas distintas de citação). A base *Web of Science* disponibiliza ferramenta de busca avançada com possibilidade de inserção de conjuntos *booleanos*.

Atualmente o CNPEM recebe diretamente de seus beneficiários a relação de artigos publicados com uso das instalações via Portal de Usuários e/ou diretamente pela biblioteca. Ainda é possível haver subestimativa do valor

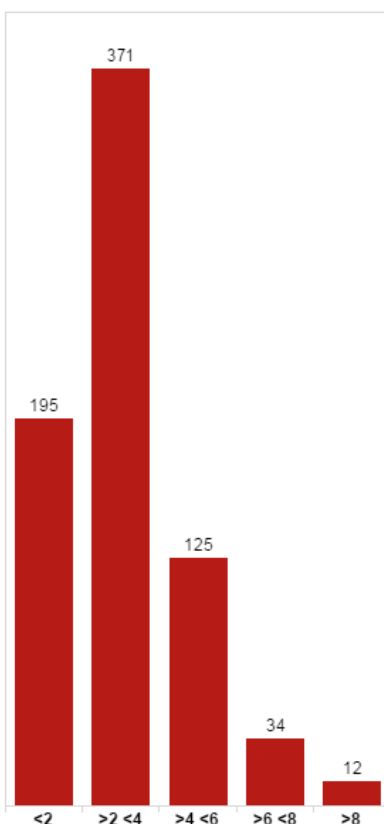
medido, pois, em alguns casos, nossos beneficiários não fazem citações diretas ao CNPEM, impossibilitando sua contabilização.

O total de artigos computados é de 737 e o número de propostas realizadas em 2013 é 937 (valor revisado após auditoria do TCU/2014), portanto o valor do indicador é 0,79. Este resultado representa 105% da meta pactuada.

Artigos por LN



Distribuição de Fator de Impacto



Indicador 4: Beneficiários externos das instalações abertas

Macroprocesso:

Operar o Laboratório Nacional

Objetivo Estratégico do C.G

Prover e manter infraestrutura nacional de classe mundial para pesquisa, desenvolvimento e inovação nas suas áreas de atuação disponibilizada à comunidade de pesquisa acadêmica e industrial.

Finalidade:

Medir o universo de pesquisadores externos beneficiados pelo uso das instalações abertas do CNPEM, no ano de referência.

Descrição:

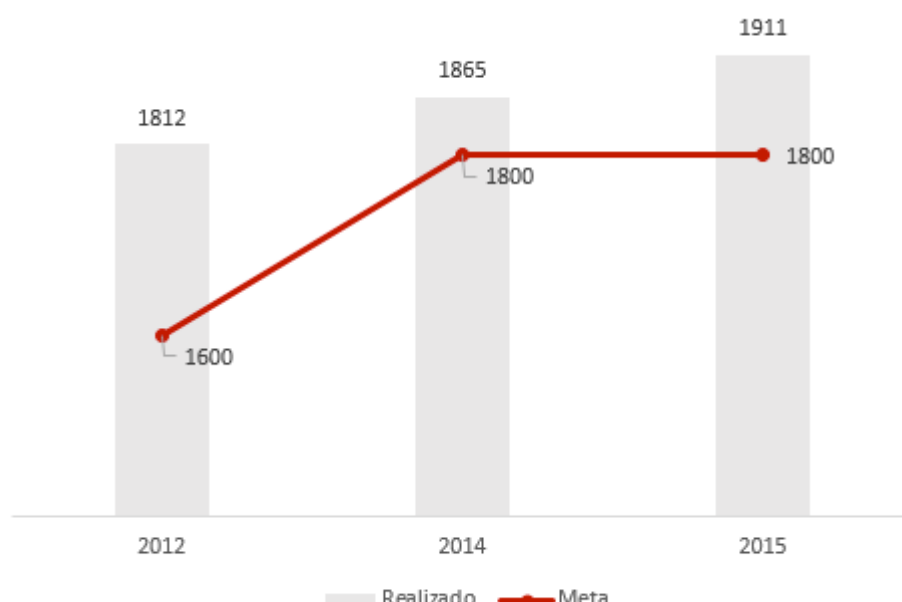
Número de beneficiários externos identificados nas propostas de pesquisa realizadas nas instalações abertas do CNPEM. Para esse cálculo, são considerados os pesquisadores que utilizaram diretamente as instalações e/ou integraram o grupo de pesquisa que realizou a proposta.

Fórmula de cálculo:

Indicador 4 = número total de beneficiários das instalações abertas do CNPEM no período

Tipo:	Peso:	Unidade:	Qualificação:
Uso	1	Número Absoluto	Eficácia
Meta 2015:			Realizado:
1800			1911

Histórico indicador:



Comentário: Em 2015, o indicador alcançou 106% da meta pactuada. A metodologia de cálculo deste indicador prevê a contabilização do número de pesquisadores distintos que foram beneficiados com a realização das propostas de pesquisa no CNPEM, independentemente do número de instalações utilizadas, isto é, a somatória do número de beneficiários por instalação é superior ao número total de pesquisadores beneficiados pelo CNPEM, pois há a possibilidade do uso de mais de uma instalação pelo mesmo pesquisador.

Do total de beneficiários, 89% são brasileiros e 11% de outros países provenientes de 220 diferentes instituições (Universidades, Institutos de Pesquisa e Desenvolvimento, Fundações e Empresas).

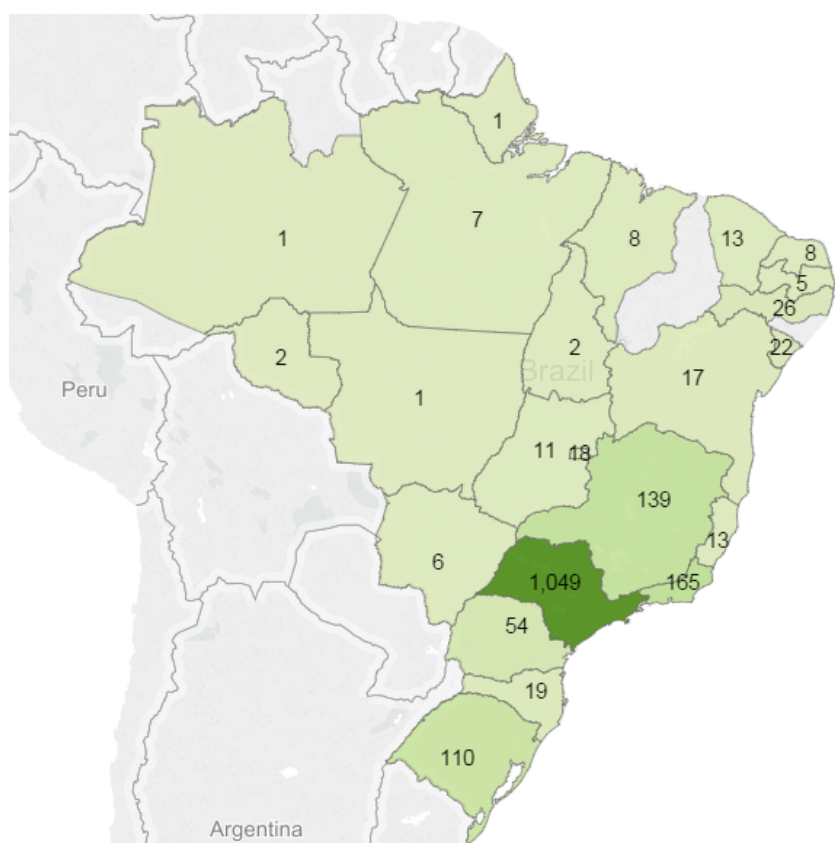
Nac. & Internacional (%)

Nacional	Internacional
----------	---------------

88.80%	11.20%
--------	--------

Regiões Brasileiras (%)

Sul	Sudeste	Norte	Nordeste	Centro-Oeste
10.78%	80.49%	0.77%	5.83%	2.12%



Beneficiários Externos (sem duplicatas)		1991
Laboratório Nacional de Luz Síncrotron		1158
MX2		123
PGM		50
SAXS1		151
SAXS2		170
SGM		55
TGM		54
XAFS1		126
XAFS2		128
XDS		111
XPD		123
XRD1		31
XRD2		97
XRF		95
IMX		21
XTMS		22
IR		30
Laboratório Nacional de Biociências		285
MAS		146
LEC		65
ROBOLAB		62
LMA		6
RMN		32
Laboratório Nacional de Nanotecnologia		530
LCS		87
DSF		1
CPM		27
LME		291
LMF		94
LMN		133
Laboratório Nacional de Ciência e Tecnologia do Bioetanol		98
LDB		13
PPDP		13
LAM		26
LDP		7
BVC		6
MET		15
NGS		25

Indicador 5: Índice de satisfação dos usuários externos

Macroprocesso:

Operar o Laboratório Nacional

Objetivo Estratégico do C.G

Prover e manter infraestrutura nacional de classe mundial para pesquisa, desenvolvimento e inovação nas suas áreas de atuação disponibilizada à comunidade de pesquisa acadêmica e industrial.

Finalidade:

Medir a satisfação dos usuários das instalações abertas de modo sistemático e periódico.

Descrição:

O indicador mede o índice de satisfação dos usuários externos com a utilização das instalações abertas do CNPEM, no ano de referência, com base em questão específica do formulário aplicado na realização da proposta de pesquisa.

Fórmula de cálculo:

$$\text{Indicador 5} = \frac{\text{Número de respostas "muito satisfeito" e "satisffeito" no período}}{\text{número total de respostas no período}}$$

Tipo: Desempenho e Uso	Peso: 2	Unidade: Percentual	Qualificação: Efetividade
Meta 2015: 85%		Realizado: 97%	

Histórico indicador:

Comentário: Este indicador tem superado continuamente a meta pactuada, porém seu grande desafio continua sendo o aumento no número de avaliações, pois apenas 15% das propostas externas realizadas no Campus em 2015 preencheram voluntariamente o formulário de satisfação.

Indicador 6:

Confiabilidade de fonte de luz sincrotron

Macroprocesso:

Operar o Laboratório Nacional

Objetivo Estratégico do C.G

Prover e manter infraestrutura nacional de classe mundial para pesquisa, desenvolvimento e inovação nas suas áreas de atuação disponibilizada à comunidade de pesquisa acadêmica e industrial.

Finalidade:

Aferir a capacidade do atendimento técnico da fonte de luz sincrotron aos usuários externos, dentro dos prazos e períodos programados nos agendamentos de realização dos experimentos, estabelecendo padrão de comparação internacional.

Descrição:

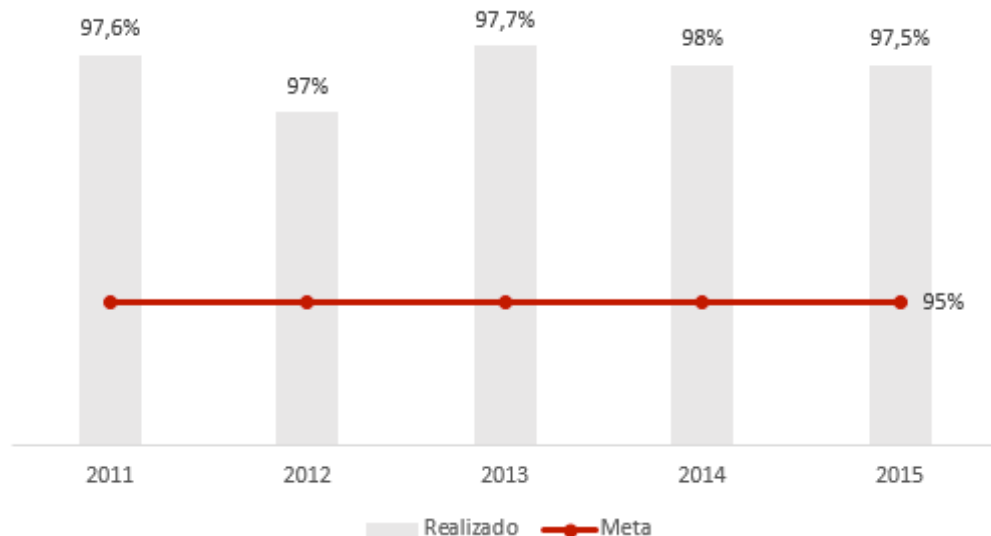
Razão entre as horas de luz síncrotron entregues aos usuários no tempo programado e as horas previstas na programação de operação da fonte de luz síncrotron.

Fórmula de cálculo:

$$\text{Indicador 6} = \frac{\text{Horas entregues no período}}{\text{Horas previstas no período}}$$

Tipo: Desempenho	Peso: 4	Unidade: Percentual	Qualificação: Eficácia
		Meta 2015: 95%	Realizado: 97,5%

Histórico indicador:



Comentário:

Falhas no fornecimento de energia elétrica em decorrência de temporais foram as principais causas da baixa confiabilidade em Janeiro, o único mês em que esta ficou abaixo de 95%. No mês de fevereiro houve a manutenção geral da fonte de luz.

	Jan	Fev	Mar	Abr	Mai	Jun	Jul	Ago	Set	Out	Nov	Dez	Geral	
Corrente Inicial Média	244,6		248,1	246,7	253,4	248,3	251	250	252	252	253	253	250,1	mA
Corrente Média	182,5		171,5	167,3	177,8	181,8	188	184	181	178	181	176	178,5	mA
Tempo de Vida Médio	16,6		14,9	14,4	15,8	16,7	16,7	17,1	16,5	16	15,6	16	16	h
Corrente Integrada	41,2		88,5	68,2	68,9	65,1	72,6	70	67,7	70,1	60,7	38,4	711,4	A.h
Tempo de Feixe Programado	230		460	360	353	337	399	368	368	399	337	215	3.825,50	h
Tempo de Feixe no Horário Programado	210,7		445,9	357	347,9	331,2	381	362	358	390	330	215	3.729,40	h
Tempo Total de Feixe	225,8		516	407,7	387,5	357,9	387	381	373	395	336	219	3.986,10	h
Confiabilidade	91,6		96,9	99,2	98,6	98,3	95,7	98,4	97,3	97,7	98	100	97,5	%
Desempenho	113,2		108,1	105,9	111,9	113,6	116	115	114	112	113	111	111,9	%

Indicador 7: Propostas realizadas por usuários externos nas instalações abertas

Macroprocesso:

Operar o Laboratório Nacional

Objetivo Estratégico do C.G

Prover e manter infraestrutura nacional de classe mundial para pesquisa, desenvolvimento e inovação nas suas áreas de atuação disponibilizada à comunidade de pesquisa acadêmica e industrial.

Finalidade:

Medir o número de propostas realizadas nas instalações abertas do CNPEM.

Descrição:

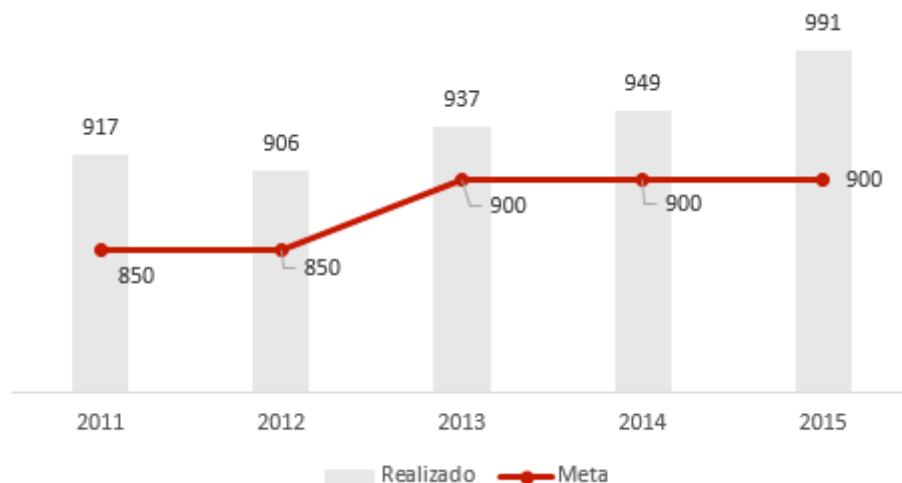
Propostas realizadas por usuários externos nas instalações abertas do CNPEM, no ano de referência.

Fórmula de cálculo:

$$\text{Indicador 7} = \text{número total de propostas realizadas no período}$$

Tipo:	Peso:	Unidade:	Qualificação:
Uso	3	Número Absoluto	Eficácia
		Meta 2015: 900	Realizado: 991

Histórico indicador:



Comentário: Este indicador alcançou 110% da meta pactuada. As propostas de pesquisa realizadas seguem a seguinte proporção: 41% - LNLS; 34% - LNNANO; 19% - LNBIo e 6% CTBE.

Propostas Realizadas



Propostas de Pesquisa Externas		991
	Laboratório Nacional de Luz Síncrotron	408
MX2		52
PGM		18
SAXS1		35
SAXS2		47
SGM		14
SXS		25
TGM		11
XAFS1		29
XAFS2		29
XDS		29
XPD		30
XRD1		8
XRD2		29
XRF		23
IMX		8
XTMS		8
IR		13
	Laboratório Nacional de Biociências	189
MAS		72
LEC		38
ROBOLAB		63
LMA		2
RMN		14
	Laboratório Nacional de Nanotecnologia	339
LCS		48
CPM		18
DSF		1
LME		171
LMF		44
LMN		57
	Laboratório Nacional de Ciência e Tecnologia do Bioetanol	55
LDB		6
PPDP		8
BVC		2
LDP		3
LAM		17
MET		8
NGS		11

Indicador 8: Artigos publicados por pesquisadores internos

Macroprocesso:

Realizar e difundir pesquisa própria

Objetivo Estratégico do C.G

Realizar e difundir pesquisa própria, desenvolvimento e inovação em nível dos melhores laboratórios similares no mundo, em áreas previstas na Política Nacional de Ciência, Tecnologia e Inovação.

Finalidade:

Aferir resultados das atividades de pesquisa interna realizadas por pesquisadores e especialistas do CNPEM envolvidos com essas atividades.

Descrição:

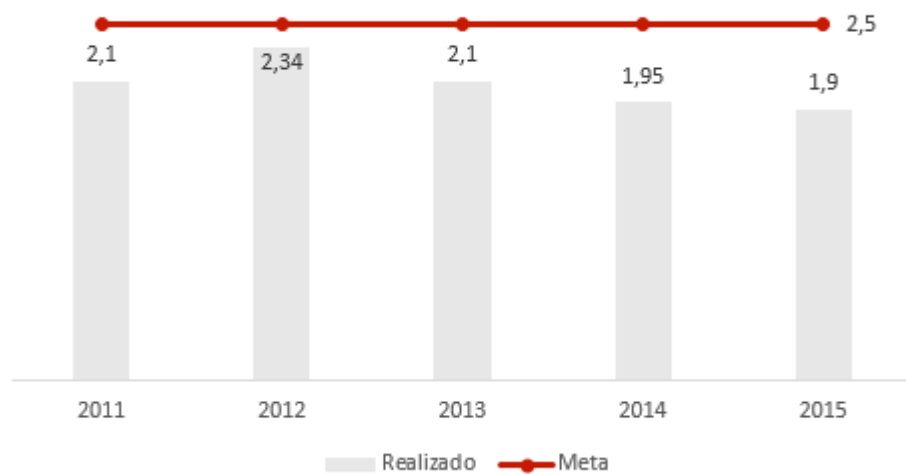
Razão entre o número de artigos publicados por pesquisadores e especialistas do CNPEM em periódicos indexados na base *Web of Science*, no ano de referência, e o número de pesquisadores e especialistas considerados.

Fórmula de cálculo:

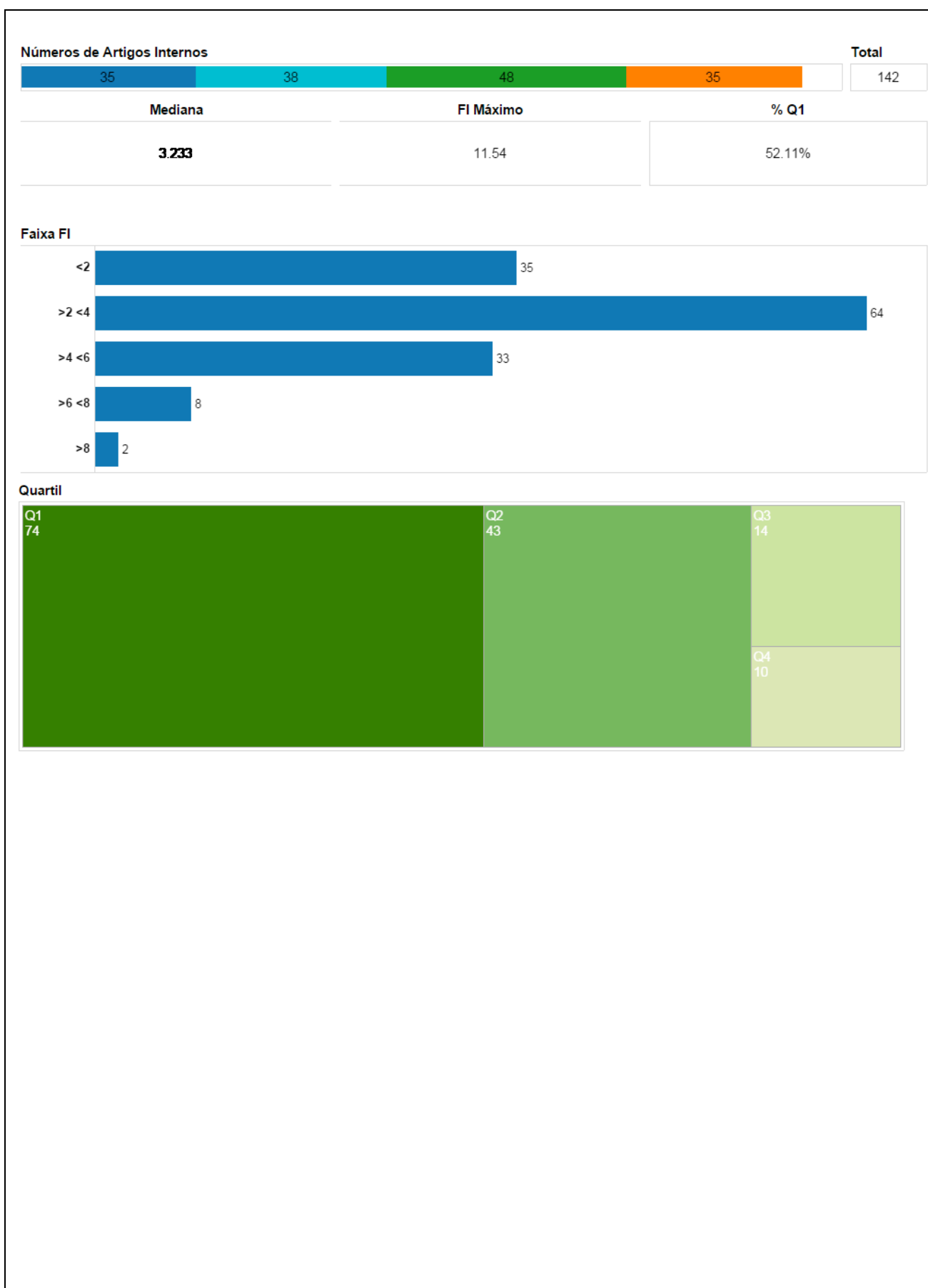
$$\text{Indicador 8} = \frac{\text{Número de artigos de pesq. e especialistas internos na base WoS no período}}{\text{Número de pesquisadores e especialistas internos no período}}$$

Tipo: Uso	Peso: 4	Unidade: Razão	Qualificação: Efetividade
		Meta 2015: 2,5	Realizado: 1,9

Histórico indicador:



Comentário: Atualmente o CNPEM conta com 91 pesquisadores na carreira científica (23 deles no nível I da carreira), porém com o aumento do número de grandes projetos de desenvolvimento tecnológico parte desses pesquisadores passaram a se dedicar exclusivamente ao atendimento desses projetos. Desta forma, para o cálculo do indicador, o CNPEM considera um total de 81 pesquisadores, sendo 6 colaboradores em tempo parcial (8 horas semanais). Estes são considerados proporcionalmente ao número de horas dedicadas às atividades do CNPEM, resultando em um total de 76,2 pesquisadores. Esses pesquisadores foram responsáveis pela publicação de 142 artigos científicos indexados na base *Web of Science*, resultando em uma taxa de 1,9 artigos por pesquisador interno, realizando 76% da meta pactuada para o ano.



Indicador 9:**Parcerias em projetos de P&D com instituições de ensino e pesquisa****Macroprocesso:**

Realizar e difundir pesquisa própria

Objetivo Estratégico do C.G:

Implantar e gerir a infraestrutura do CNPEM, visando ganhos de eficiência e eficácia mediante mecanismos de gestão, informação e difusão.

Finalidade:

Medir o esforço de cooperação dos Laboratórios Nacionais com instituições de ensino e pesquisa, voltado ao fortalecimento da capacidade mútua de solução de problemas científicos e tecnológicos.

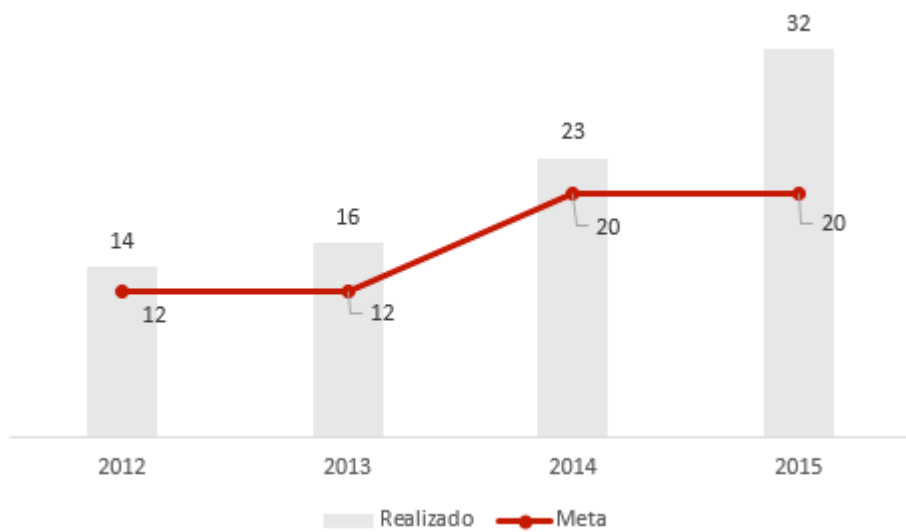
Descrição:

Para a apuração deste indicador serão contabilizados acordos de cooperação e contratos formalizados com instituições de ensino e pesquisa, vigentes no ano de referência.

Fórmula de cálculo:

Indicador 9 = número total de acordos e contratos com instituições de ensino e pesquisas vigentes no período

Tipo: Desempenho	Peso: 2	Unidade: Número Absoluto	Qualificação: Eficiência
Meta 2015: 20			Realizado: 32

Histórico indicador:

Comentário: Este indicador alcançou 160% da meta pactuada. Em 2015, o CNPEM contou com 32 acordos vigentes com instituições de ensino e pesquisa, no Brasil e no exterior.

LN	Instituição Parceira	Inicio da Vigência	Fim da Vigência
CNPEM	Universidade Estadual de Campinas - UNICAMP	16/06/2011	15/06/2016
CNPEM	Universidade Federal do Rio de Janeiro	20/12/2013	19/12/2019
CNPEM	Universidade Estadual de Campinas - UNICAMP	17/09/2015	17/09/2016
CTBE	Forschungszentrum Jülich GmbH - JülichLeibniz-Zentrum für Agrarlandschaftsökologie	11/05/2015	31/12/2017
CTBE	Fundação Universidade de Caxias do Sul - FUCS	11/12/2009	10/06/2017
CTBE	Imperial College of Science	22/01/2010	21/01/2015
CTBE	Max-Planck Institute	17/06/2014	16/06/2017
CTBE	Programa das Nações Unidas para o Desenvolvimento - PNUD	20/04/2015	31/12/2019
CTBE	Universidad de Concepción - Pontificia Universidad Católica de Valparaíso	18/11/2010	17/11/2015
CTBE	Universidade Estadual de Campinas - UNICAMP	01/10/2015	28/02/2017
LNBIO	Centro Infantil de Investigação Hematológicas Dr. Domingos A. Boldrinie	21/12/2011	20/12/2023
LNBIO	Centro National de La Recherche ScientifiqueCommissariat a L'Energie	12/07/2013	11/07/2017
LNBIO	DNDi - Drugs for Neglected Diseases Initiative	01/01/2014	31/12/2015
LNBIO	Fundação Antonio Prudente (Hospital A.C. Camargo)	04/11/2012	03/11/2017
LNBIO	Fundação Centros de Referência em Tecnologias Inovadoras	19/08/2011	18/08/2021
LNBIO	Instituto Agronômico	10/09/2012	09/09/2015
LNBIO	Instituto Nacional de Metrologia, Qualidade e Tecnologia - INMETROFundação	04/08/2015	04/09/2020
LNBIO	Ministério da Saúde	30/12/2013	30/05/2016
LNBIO	Única Educacional	01/10/2014	30/09/2015
LNBIO	UNIMORE - Universita Degli Studi Di Modena E Reggio Emilia	01/02/2014	31/01/2017
LNBIO	Universidade de São Paulo (USP), através do Instituto de Química de São Paulo	17/03/2015	16/03/2020
LNLS	Brookhaven Science Associates	16/12/2011	15/12/2016
LNLS	Censejo Nacional de Investigaciones Científicas y Técnicas	08/10/2012	07/10/2017
LNLS	Deutsches Elektronen-Synchrotron DESYEuropean XFEL GmbH	05/05/2011	04/05/2016
LNLS	European Organization for Nuclear Research	16/01/2013	15/01/2017
LNLS	European Organization for Nuclear Research	14/01/2013	Indeterminado
LNNANO	Fraunhofer-Gesellschaft zur Förderung der angewandten Forschung e.V.	01/09/2014	31/08/2017
LNNANO	Fraunhofer-Gesellschaft zur Förderung der angewandten Forschung e.V.	01/04/2015	31/03/2018
LNNANO	Instituto de Biologia Molecular o Paraná - IBMP	02/06/2015	01/06/2020
LNNANO	Ministério da Ciência, Tecnologia e Inovação	12/08/2014	11/08/2016
LNNANO	The National Center for Nanoscience and Nanotechnology (NERCN)	05/09/2012	27/09/2017
LNNANO	Associação Pro Ensino em Santa Cruz do Sul - UNISC	13/11/2015	13/11/2016

Indicador 10: Memorando técnicos

Macroprocesso:

Realizar e difundir pesquisa própria

Objetivo Estratégico do C. G.

Realizar e difundir pesquisa própria, desenvolvimento e inovação em nível dos melhores laboratórios similares no mundo, em áreas previstas na Política Nacional de Ciência, Tecnologia e Inovação.

Finalidade:

Medir o desenvolvimento de instrumentação científica e de métodos de forma periódica e sistemática

Descrição:

Contabilizar o número de memorandos técnicos produzidos e publicados no sítio do CNPEM na internet no período de referência.

Fórmula de cálculo:

Indicador 10 = Número de memorandos técnicos disponíveis na página eletrônica do CNPEM no período

Tipo: Desempenho	Peso: 2	Unidade: Número Absoluto	Qualificação: Efetividade
Meta 2015: 14			Realizado: 22

Histórico indicador:



Comentário: Vinte e dois novos Memorandos Técnicos foram cadastrados na biblioteca e publicados no site dos Laboratórios Nacionais. Esses resultados representam 157% da meta pactuada para o ano.

Memorandos Técnicos

- 1 Topography artifacts in Scanning Probe Microscopy (SPM): investigating beyond limits of tip sharpness**
Barboza, V. A., Lanzani, E. M., Garcia Jr., A. J., Costa, C. A. R., Deneke, C.
- 2 Analysis of the adulteration of ethanol fuel by water using the microemulsification-based method**
Lima, R. S., Shiroma, L. Y., Gobbi, A. L.
- 3 Determination of monoethylene glycol in samples related to natural gas processing using the microemulsification-based method**
Lima, R. S., Shiroma, L. S., Gobbi, A. L.
- 4 Light detectors for the THz spectral range: theory and numerical simulation**
Lima, A. P. B., Andrijauskas, F., Cruz, F. C., Bernal, N. A. L., Castro, A. R. B.
- 5 Basic Small Messages Protocol (BSMP)**
Martins, B. S.; Martins, J. P. S.; Luvizotto, B. V.; Franco, J. G. R. S.
- 6 225A/22V High precision current source using interleaved modules and digital regulation**
Rosa, J. N. H. da, Rodrigues, C., Brunheira, G. O., Marcondeli, R. J.
- 7 2-HZ Ramping mode magnet power supply for particle accelerators**
Rodrigues, C., Limeira, B. E.
- 8 Modeling and control of a high power current source for SIRIUS - The new Brazilian Synchrotron Light Source**
Vitoi, L. A., Rodrigues, C., Marcondeli, R. J., Ferreira, A. A., Oliveira, J. G., Pereira, D.P.
- 9 Network survey simulations for planning the alignment of a particle accelerator**
Leão, R. J., Neuenschwander, R. T., Trabanco, J. L. A., Reis, M. L. C. da C.
- 10 About the implementation of a metrological system for the Brazilian Synchrotron Light Laboratory**
Leão, R. J., Neuenschwander, R. T., Oliveira, H. G. P. de, Reis, M. L. C. da C.
- 11 System identification and robust control for the LNLS UVX fast orbit feedback**
Tavares, D. de O., Grossi, D. R.
- 12 SIRIUS control system: design, implementation strategy and measured performance**
Martins, J. P. S., Bacchetti, M., Coelho, E. P., Curcio, R. F., Franco, J. G. R. S., Lisboa, R. P., Nallin, P. H., Rodrigues, A. R. D., Sachinelli, L. D. S., Silva, M. E. C.
- 13 Status development of SIRIUS timing system**
Brito, J. L. N., Marques, S. R., Tavares, D. de O., Martins, L. A.
- 14 Impedance optimization of SIRIUS stripline kicker**
Duarte, H. O. C., Marques, S. R.
- 15 Sirius Accelerators Status Report**
Rodrigues, A. R. D., Arroyo, F. C., Bagnato, O. R., Citadini, J. F., Farias, R. H. A., Franco, J. G. R. S., Liu, L., Marques, S. R., Neuenschwander, R. T., Rodrigues, C., Seraphim, R. M., Silva, O. H. V.
- 16 Upgraded optics for Sirius with improved matching of electron and photon beam emittances**
Liu, L., Sá, F. H., Milas, N., Mukai, A. H. C., Resende, X. R.
- 17 Engineering challenges of future light sources**
Neuenschwander, R. T., Liu, L., Marques, S. R., Rodrigues, A. R. D., Seraphim, R. M.
- 18 Vacuum system design for the Sirius storage ring**
Seraphim, R. M., Bagnato, O. R., Ferraz, R. O., Gazetta Filho, H., Gomes, G. R., Nardin, M., Oliveira, R. F., Ramos, B. M., Rocha, T. M., Rodrigues, A. R. D.
- 19 Instability thresholds and tune shift estimations for Sirius**
Sá, F. H., Liu, L., Resende, X. R., Milas, N.
- 20 Sugarcane biomass composition for the industrial simulations in the virtual sugarcane biorefinery (VSB)**
Junqueira, T.L., Gouveia, V. L. R. de, Sampaio, I., Morais, Ed. R. de, Bonomi, A.M.F.L.J.
- 21 Fracionamento por peneiras do bagaço de cana-de-açúcar para obtenção das frações fibra e medula**
Rezende, C. C., Pimenta, M. T. B.
- 22 Protocolo aplicado no CTBE para a avaliação do perfil de oligossacarídeos gerados a partir de hidrólise enzimática por eletroforese capilar**
Alvarez, T.M., Chinaglia, M., Squina, F. M.

Indicador 11:

Taxa de supervisão de pós-doutores

Macroprocesso:

Gerir a infraestrutura, formar recursos humanos e promover a inovação.

Objetivo Estratégico do C.G :

Realizar e difundir pesquisa própria, desenvolvimento e inovação em nível dos melhores laboratórios similares no mundo, em áreas previstas na Política Nacional de Ciência, Tecnologia e Inovação.

Finalidade:

Medir a capacidades de atração pelo CNPEM de jovens pesquisadores, contribuindo para sua formação acadêmica e fortalecendo a base interna de pesquisa.

Descrição:

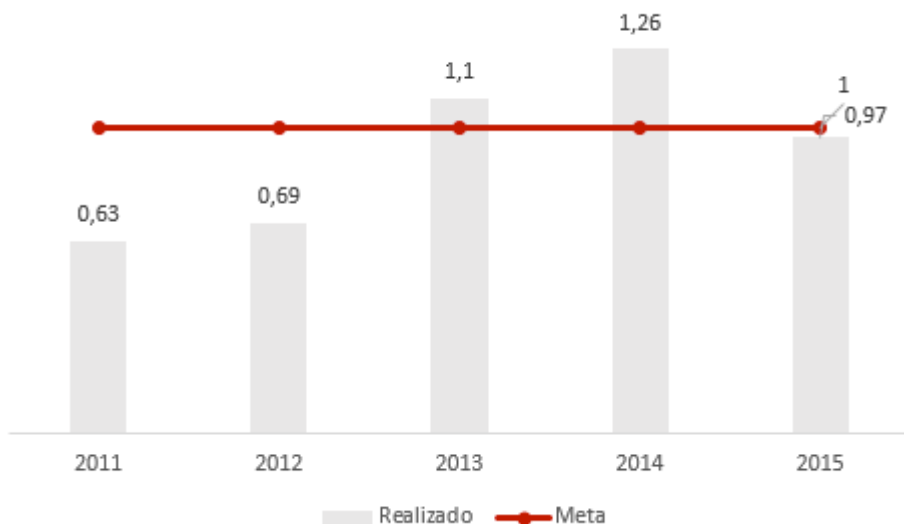
Pós- doutores supervisionados por pesquisadores do CNPEM

Fórmula de cálculo:

$$\text{Indicador 11} = \frac{\text{número total de pós - doutores supervisionados no período}}{\text{número de pesquisadores internos no período}}$$

Tipo: Desempenho	Peso: 3	Unidade: Razão	Qualificação: Eficiência
		Meta 2015: 1,0	Realizado: 0,97

Histórico indicador:



Comentário: Um total de 74 doutores desenvolveram projetos de pós-doutoramento supervisionados por pesquisadores internos do CNPEM ao longo do ano de 2015. Considerando um total de 76,2 pesquisadores internos (ver Indicador 8), o resultado do indicador alcança 97% da meta pactuada.

Há ainda outros 14 bolsistas de pós-doutorado que não estão contabilizados no Indicador, pois são supervisionados por pesquisadores que não fazem parte da lista de pesquisadores considerada para o cálculo da taxa de supervisão.

Indicador 12: Tecnologias protegidas

Macroprocesso:

Gerir a infraestrutura, formar recursos humanos e promover a inovação

Objetivo Estratégico do C.G:

Realizar e difundir pesquisa própria, desenvolvimento e inovação em nível dos melhores laboratórios similares no mundo, em áreas previstas na Política Nacional de Ciência, Tecnologia e Inovação.

Finalidade:

Aferir resultados das atividades de pesquisa e desenvolvimento próprias dos Laboratórios Nacionais do CNPEM.

Descrição:

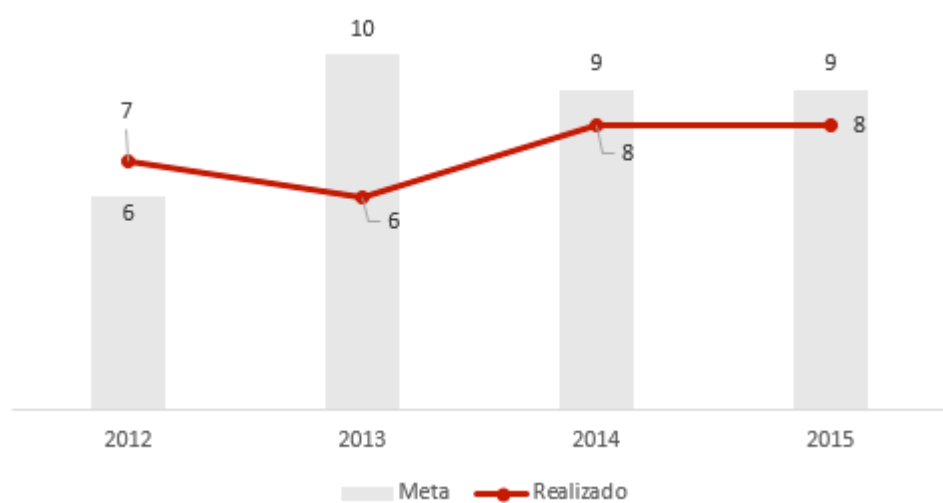
Para a apuração deste indicador serão contabilizados pedidos de patentes, registros de software e modelos de utilidade depositados no Instituto Nacional de Propriedade industrial ou em outros escritórios de patentes, no ano de referência.

Fórmula de cálculo:

Indicador 12 = número total de pedidos de propriedade intelectual depositados no período

Tipo:	Peso:	Unidade:	Qualificação:
Desempenho	1	Número Absoluto	Efetividade
		Meta 2015: 8	Realizado: 9

Histórico indicador:



Comentário: Em 2015, o CNPEM realizou nove novos registros de propriedade intelectual, sendo dois registros de software e sete patentes.

	Modalidade	Processo	Título	Data de solicitação de registro	LN
1	Patente	BR 102015001942-4	Adesivos repolpáveis para substratos celulósicos, obtidos por solubilização ou plastificação de celulose e seus usos	28/01/2015	LNNANO
2	Patente	BR 10 2015 006958 8	Peptídeos ligantes da superfície nucleossomal e seu uso na preparação de um medicamento para tratamento de doenças que apresentam desregulação gênica	27/03/2015	LNBIO
3	Patente	BR 10 2015 009867-7	"Sistema de Resfriamento de Corpos de Prova por Fluidos Criogênicos em Simuladores Termomecânicos" (GLEEBLE)	30/04/2015	LNNANO
4	Sotfware	BR 51 2015 000077-2	MEGACELL	05/02/2015	LNNANO
5	Sotfware	BR 51 2015 000007 1	SBH (STRUCTURAL BIOLOGY HELPER)	12/01/2015	LNBIO
6	Patente	BR 10 2015 017256 7	Composição de Enzimas Lignocelulolíticas, Método de Conversão Enzimáticas e Vetor de Expressão de uma Superóxido Dismutase - CUPIM	20/07/2015	CTBE
7	Patente	BR 10 2015 019250 9	Método Étodo de Equalização para Detectores de Raios X Realizando Contagem de Fóttons - DETECTORES DE RAIOS X	11/08/2015	LNLS
8	Patente	BR 10 2015 022350 1	Polinucleotideo, Cassete de Expressão, Vetor de Expressão, Célula Hospedeira, Polipeptídeo Modificado com Atividade de Xilanases, Composição Enzimática, Método para Produzir um Polipeptídeo Modificado com a Atividade Xilanase, para Degradar uma Biomassa Vegetal e para Produzir um Produto de Fermentação , e, uso de um Polipeptídeo - XILANASES	10/09/2015	LNBIO
9	Patente	BR 10 2015 031985 1	Escoador de Espumas, Processo de transferência de espumas geradas na industria e sistema de fermentação ESCOADOR	18/12/2015	CTBE

Indicador 13: **Recursos adicionais ao Contrato de Gestão**

Macroprocesso:

Gerir a infraestrutura, formar recursos humanos e promover a inovação

Objetivo Estratégico do C.G:

Implantar e gerir a infraestrutura do CNPEM, visando ganhos de eficiência e eficácia mediante mecanismos de gestão, informação e difusão.

Finalidade:

Medir o volume de recursos adicionais ao Contrato de Gestão, empregado no financiamento da operação do CNPEM.

Descrição:

Razão entre o volume de recursos recebidos de contratos e convênios com empresas, instituições de fomento (auxílios individuais e instituições), rendimentos financeiros e aluguéis e o volume de recursos do Contrato de Gestão efetivamente repassados, no ano de referência. Inclui Restos a Pagar dos anos anteriores e exclui recursos aportados a projetos.

Fórmula de cálculo:

$$\text{Indicador 13} = \frac{\text{Recursos de outras fontes no período}}{\text{Recursos do Contrato de Gestão no período}}$$

Tipo: Desempenho	Peso: 2	Unidade: Percentual	Qualificação: Eficiência
		Meta 2015: 30%	Realizado: 68%

Histórico indicador:

Em 2013, este indicador alcançou 100% da meta, ou seja, 30% de recursos adicionais ao Contrato de Gestão e em 2014 o resultado superou a meta com 49% de alavancagem.

Comentário: Este indicador mede o total de recursos alavancados pelo CNPEM em comparação com os recursos do Contrato de Gestão efetivamente repassados no período. Em 2015 foram recebidos, por meio do Contrato de Gestão (exceto Projetos) 17,8 milhões de reais provenientes de restos a pagar de 2014 e 27,1 milhões de reais relativos ao ano de 2015. Em contrapartida o CNPEM recebeu um total de aproximadamente 30,2 milhões de reais provenientes de fontes diversas. Tais valores indicam alavancagem de 68%. Nota-se que este resultado para o indicador não representa a realidade relacionada à alavancagem de recursos pois reflete a ausência de repasses orçamentários do MCTI.

Na Tabela a seguir, o valor negativo de R\$ 448 mil é composto pelas devoluções de saldo financeiro dos convênios com a Petrobrás encerrados em 2014/2015.

Indicador 13**Data base: 31/12/2015**

	<i>Em R\$ mil</i>
Recursos de Outras Fontes	30.212
Convênios e Projetos	18.582
Devolução de Convênios e Projetos	- 448
Prestação de Serviço	1.792
Rendimento Financeiro	3.906
Outras Receitas	640
Auxílios Individuais (Recursos executados)	5.740
Recursos do Contrato de Gestão no período	44.917
LOA 2015 - Operação	27.100
Restos a pagar 2014 - Operação	17.817

Indicador 13:**68%**

Indicador 14: **Parcerias em projetos PD&I com AIS**

Macroprocesso:

Gerir a infraestrutura, formar recursos humanos e promover a inovação.

Objetivo Estratégico do C.G:

Implantar e gerir a infraestrutura do CNPEM, visando ganhos de eficiência e eficácia mediante mecanismos de gestão, informação e difusão.

Finalidade:

Medir o esforço de cooperação dos Laboratórios Nacionais com empresas para o fortalecimento da capacidade de inovação no País.

Descrição:

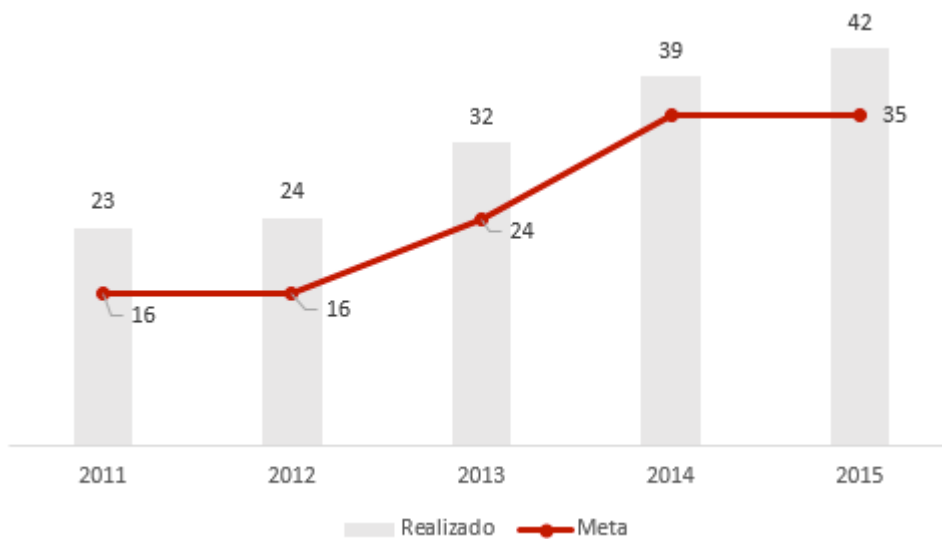
Para a apuração deste indicador serão contabilizados acordos de cooperação formalizados com empresas, vigentes no ano de referência.

Fórmula de cálculo:

Indicador 14 = quantidade total de acordo com empresas vigentes no período

Tipo: Desempenho	Peso: 2	Unidade: Número Absoluto	Qualificação: Eficiência
		Meta 2015: 35	Realizado: 42

Histórico indicador:



Comentário: Em 2015 o CNPEM apresenta 42 projetos em carteira e em parceria com empresas de diversos setores de aplicação.

LN	Empresa Parceira	Setor de Aplicação	Inicio da Vigência	Fim da Vigência
CTBE	BP Energy do Brasil Ltda	Biocombustíveis	22/11/2012	31/12/2015
CTBE	BP Corporation North America INC.	Sustentabilidade	01/07/2013	31/12/2015
CTBE	DOW Brasil Sudeste Industrial Ltda e DSM South America Ltda	Biocombustíveis	14/03/2014	21/07/2017
CTBE	Dedini S/A Indústria de Base	Agrícola	12/07/2011	11/07/2016
CTBE	Máquinas Agrícolas Jacto S.A	Agrícola	03/05/2011	31/12/2016
CTBE	Rhodia Poliamida e Especialidades Ltda - RHODIA	Química Verde	23/02/2012	30/06/2016
CTBE	Raízen Energia S/A	Agrícola	20/03/2013	19/03/2018
CTBE	ETH Bioenergia S.A.	Biocombustíveis	28/10/2011	27/10/2016
CTBE	Eli Lilly do Brasil Ltda	Biocombustíveis	22/07/2013	02/09/2016
CTBE	Braskem S/A	Química Verde	12/06/2013	11/06/2020
CTBE	Empresa Brasileira de Pesquisa Agropecuária - EMBRAPA	Biocombustíveis	24/03/2014	23/03/2017
CTBE	DOW Brasil S.A.	Química Verde	15/10/2013	15/10/2016
CTBE	Evangelista & Cia Ltda	Agrícola	10/10/2014	09/10/2015
CTBE	Empresa Brasileira de Pesquisa Agropecuária - EMBRAPA e Universidade de São Paulo - USP	Química Verde	18/03/2015	17/03/2018
CTBE	Açucareira Quatá S/A Companhia Agrícola Quatá	Agrícola	26/08/2015	26/08/2016
CTBE	São Martinho S.A	Agrícola	28/09/2015	28/09/2016
CTBE	Petróleo Brasileiro S/A PETROBRAS e Universidade Federal de São Carlos - UFSCAR	Biocombustíveis	01/12/2015	02/09/2016
LNBIO	Natura Inovação e Tecnologia de Produtos Ltda	Fármacos	18/10/2010	05/04/2016
LNBIO	Recepta Biophama	Fármacos	25/02/2014	24/05/2017
LNBIO	ChromaDex Inc	Fármacos	03/04/2014	02/04/2019
LNBIO	ColOff Industrial Ltda EPP	Fármacos	26/02/2014	26/02/2017
LNBIO	Brasil Kirin Indústria de Bebidas S/A	Alimentício	19/12/2014	18/12/2017
LNBIO	Phytobios Pesquisa, Desenvolvimento e Inovação Ltda	Fármacos	05/08/2014	24/01/2018
LNBIO	Cristália Produtos Químicos Farmacêuticos Ltda	Fármacos	02/10/2014	01/10/2015
LNBIO	Natura Inovação e Tecnologia de Produtos Ltda	Cosméticos	20/11/2014	19/11/2015
LNBIO	Biolab Sanus Farmacêutica	Fármacos	03/09/2015	03/12/2015
LNBIO	Cencoderma Instituição de Pesquisa e Desenvolvimento de	Cosméticos	27/11/2015	27/11/2016
LNLS	Petróleo Brasileiro S/A - PETROBRAS	Petrolífero	20/10/2011	17/04/2015
LNLS	ADEST Técnicas para soldagem de Metais Ltda	Petrolífero	15/06/2007	14/06/2027
LNLS	WEG Equipamentos Elétricos S/A	Engenharia	14/02/2014	13/02/2016
LNNANO	Petróleo Brasileiro S/A PETROBRAS	Petrolífero	26/05/2008	30/06/2015
LNNANO	Petróleo Brasileiro S/A - PETROBRAS	Petrolífero	12/12/2012	31/03/2016
LNNANO	Tecnodrill Industria de Máquinas Ltda	Automação	10/07/2013	09/07/2018
LNNANO	Petróleo Brasileiro S/A PETROBRAS	Petrolífero	10/09/2013	09/09/2016
LNNANO	Empresa Brasileira de Pesquisa Agropecuária - EMBRAPA	Agropecuária	20/12/2013	19/12/2015
LNNANO	Mahle Metal Leve S/A	Automobilístico	24/04/2013	23/04/2016
LNNANO	ETH Bioenergia S.A.	Agrícola	08/03/2013	07/09/2016
LNNANO	FMC Technologies do Brasil Ltda	Petrolífero	17/07/2014	30/03/2016
LNNANO	Petróleo Brasileiro S/A PETROBRAS	Petrolífero	23/12/2014	22/12/2017
LNNANO	Petróleo Brasileiro S/A PETROBRAS	Petrolífero	09/12/2014	08/12/2016
LNNANO	Nova Analítica Importação e Exportação Ltda	Instrumentação	30/04/2015	29/04/2017
LNNANO	Votorantim Metais - Embraer S.A. - Instituto de Pesquisas Tecnológicas do Estado de São Paulo S.A. - IPT Universidade Estadual de Ponta Grossa - Universidade Estadual de Campinas - UNICAMP	Beneficiamento de alumínio e aeronáutica	28/09/2015	28/08/2020

Indicador 15: Recursos associados à inovação						
Macroprocesso: Gerir a infraestrutura, formar recursos humanos e promover a inovação.						
Objetivo Estratégico do C.G: Implantar e gerir a infraestrutura do CNPEM, visando ganhos de eficiência e eficácia mediante mecanismos de gestão, informação e difusão.						
Finalidade: Aferir o volume de recursos associados a projetos de parceria e contratos de prestação de serviços envolvendo empresas dos setores de agricultura, indústria e serviços.						
Descrição: Razão entre o volume de recursos associados a projetos de parceria e contratos de prestação de serviços diretamente relacionados à inovação e o volume de recursos recebidos, no ano de referência.						
Fórmula de cálculo: <i>Indicador 15 = $\frac{\text{Recursos de projetos e contratos com empresas recebidos no período}}{\text{Recursos totais recebidos no período}}$</i>						
Tipo: Desempenho	Peso: 2	Unidade: Percentual	Qualificação: Eficiência			
Meta 2015: 8%			Realizado: 25%			
Histórico indicador: Em 2013, este indicador alcançou 12% de recursos adicionais ao Contrato de Gestão e em 2014 o resultado foi de 16%.						
Comentário: Este indicador mede o total de recursos associados à inovação alavancados pelo CNPEM em comparação com os recursos do Contrato de Gestão efetivamente repassados no período. Em 2015, foram recebidos 18,8 milhões de reais provenientes de convênios e prestações de serviços associados à inovação. Em contrapartida o CNPEM recebeu um total de aproximadamente 75,1 milhões de reais provenientes de fontes diversas, incluindo o Contrato de Gestão. Tais valores indicam alavancagem de 25%. <i>Na Tabela a seguir, o valor negativo de R\$ 448 mil é composto pelas devoluções de saldo financeiro dos convênios com a Petrobrás encerrados em 2014/2015.</i>						

Indicador 15**Data base: 31/12/2015***Em R\$ mil*

Recursos de Projetos e Contratos com empresas	18.790
Convênios com Inovação	17.446
Devolução de Convênios e Projetos	- 448
Prestação de Serviços	1.792
Recursos Totais Recebidos	75.128
Contrato de Gestão - LOA 2015	27.100
Contrato de Gestão - Restos a Pagar 2014	17.817
Convênios e Projetos TODOS	18.582
Devolução de Convênios e Projetos	- 448
Prestação de Serviço	1.792
Rendimento Financeiro	3.906
Outras Receitas	640
Auxílios Individuais (Recursos executados)	5.740

Indicador 15:**25%****DETALHAMENTO (em R\$ mil):**

- **EMPRESAS: R\$ 6.569**
- **FOMENTO: R\$ 12.221**

Indicador 16: Capacitação de pesquisadores externos

Macroprocesso:

Gerir a infraestrutura, formar recursos humanos e promover a inovação.

Objetivo Estratégico do C.G:

Implantar e gerir a infraestrutura do CNPEM, visando ganhos de eficiência e eficácia mediante mecanismos de gestão, informação e difusão.

Finalidade:

Medir o esforço dos Laboratórios Nacionais na capacitação de pesquisadores da comunidade científica e tecnológica brasileira.

Descrição:

O indicador é obtido a partir do somatório do fator CC para cada curso de capacitação (presencial) no ano de referência. Este fator CC é obtido pela multiplicação das horas de capacitação do curso pelo seu número de participantes.

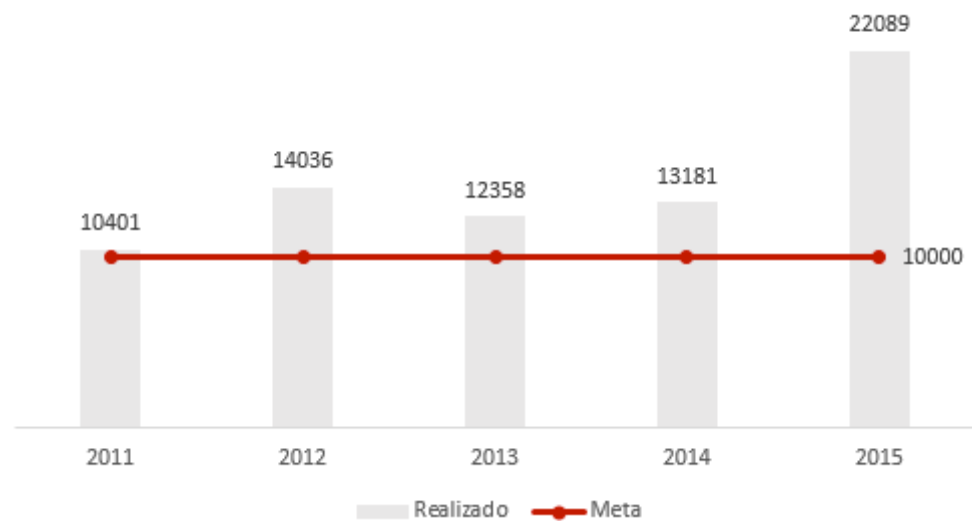
Fórmula de cálculo:

Indicador 16 =

$$\sum_{x=0,n} (Número\ de\ horas\ de\ capacitação\ do\ curso\ x * Número\ de\ participantes\ no\ curso\ x)$$

Tipo: Uso	Peso: 2	Unidade: Número Absoluto	Qualificação: Eficácia
Meta 2015: 10.000			Realizado: 22.089

Histórico indicador:



Comentário: O CNPEM promoveu 14 eventos de capacitação que contaram com a participação de 532 participantes externos e totalizaram 416 horas de curso.

Título do Curso de Capacitação	LN	nº total de participantes externos	nº de horas	Fator (índice CC)
4th School of SAXS Data Analysis	LNLS	31	31,50	976,50
Caracterização Físico-Química e Testes Celulares em Medicamentos Biológicos	LNBio	40	36,00	1440,00
Sao Paulo School of Advanced Science on Neglected Diseases Drug Discovery – focus on Kinetoplastids (SPSAS-ND3)	LNBio	88	95,00	8360,00
Current Drug Discovery for Neglected Diseases	LNBio	58	22,50	1305,00
São Paulo School of Advanced Sciences on Recent Developments in Synchrotron Radiation	LNLS	88	8,75	770,00
São Paulo School of Advanced Sciences on Recent Developments in Synchrotron Radiation	LNLS	88	8,75	770,00
São Paulo School of Advanced Sciences on Recent Developments in Synchrotron Radiation	LNLS	88	7,75	682,00
São Paulo School of Advanced Sciences on Recent Developments in Synchrotron Radiation	LNLS	88	7,75	682,00
São Paulo School of Advanced Sciences on Recent Developments in Synchrotron Radiation	LNLS	88	7,75	682,00
São Paulo School of Advanced Sciences on Recent Developments in Synchrotron Radiation	LNLS	85	2,00	170,00
São Paulo School of Advanced Sciences on Recent Developments in Synchrotron Radiation	LNLS	87	7,75	674,25
São Paulo School of Advanced Sciences on Recent Developments in Synchrotron Radiation	LNLS	88	7,75	682,00
São Paulo School of Advanced Sciences on Recent Developments in Synchrotron Radiation	LNLS	85	7,75	658,75
São Paulo School of Advanced Sciences on Recent Developments in Synchrotron Radiation	LNLS	84	7,75	651,00
São Paulo School of Advanced Sciences on Recent Developments in Synchrotron Radiation	LNLS	77	7,75	596,75
II Workshop on Recent Advances and Applications in Confocal and Widefield Microscopy	LNBio	23	12,00	276,00
Taller ensamblaje y anotación de genomas y metagenomas usando Galaxy	CTBE	28	41,50	1162,00
4th school on x-ray Spectroscopy Methods	LNLS	21	7,50	157,50
4th school on x-ray Spectroscopy Methods	LNLS	20	7,50	150,00
Minicurso: Produção de etanol de segunda geração	CTBE	39	4,00	156,00
Engenharia de Bioprocessos voltada para a indústria de alimentos	CTBE	15	8,00	120,00
SAX Workbench	LNLS	7	20,75	145,25
Workshop sobre Metabolômica	CTBE	16	6,50	104,00
Workshop sobre Metabolômica	CTBE	16	6,00	96,00
Workshop sobre Metabolômica	CTBE	16	6,00	96,00
I Workshop on Application of Next Generation Sequencing	CTBE	20	6,50	130,00
I Workshop on Application of Next Generation Sequencing	CTBE	6	6,50	39,00
AFM Workshop	LNNano	61	5,50	335,50
AFM Workshop	LNNano	65	7,75	503,75
AFM Workshop	LNNano	56	4,25	238,00
				22.809,25

Indicador 17: Eventos científicos

Macroprocesso:

Gerir a infraestrutura, formar recursos humanos e promover a inovação

Objetivo Estratégico do C.G:

Implantar e gerir a infraestrutura do CNPEM, visando ganhos de eficiência e eficácia mediante mecanismos de gestão, informação e difusão

Finalidade:

Medir o número de eventos científicos promovidos pelo CNPEM direcionados à comunidade científica e tecnológica brasileira.

Descrição:

Para a apuração deste indicador será contabilizado o número de eventos de grande porte (acima de 50 participantes), de caráter científico, realizados pelo CNPEM no ano de referência - exceto cursos de capacitação envolvendo participantes externos.

Fórmula de cálculo:

$$\text{Indicador 17} = \text{número de eventos científicos do período}$$

Tipo:	Peso:	Unidade:	Qualificação:
Uso	2	Número Absoluto	Eficácia
		Meta 2015: 4	Realizado: 6

Histórico indicador:

Em 2013 foram realizados 3 eventos científicos e em 2014, 9 eventos científicos.

Comentário: Em 2015, o CNPEM realizou seis eventos científicos, 2 – LNLS; 2 – LNBio; 1 – LNNano e 1 – CTBE, totalizando 466 participantes externos.

Eventos Científicos	LN	nº total de participantes externos
V Workshop em Microfluídica	LNNano	111
II Workshop on Recent Advances and Applications in Confocal and Widefield Microscopy	LNBio	87
2015 IUCr High-Pressure Workshop	LNLS	50
25ª RAU	LNLS	75
Encontro da Escola Brasileira de Química Verde	CTBE	75
VI Proteomics Workshop	LNBio	68
		466

Indicador 18: Participantes de eventos científicos								
Macroprocesso: Gerir a infraestrutura, formar recursos humanos e promover a inovação								
Objetivo Estratégico do C.G: Implantar e gerir a infraestrutura do CNPEM, visando ganhos de eficiência e eficácia mediante mecanismos de gestão, informação e difusão.								
Finalidade: Medir o número de participantes de eventos científicos promovidos pelo CNPEM.								
Descrição: Número de participantes de eventos científicos promovidos pelo CNPEM no período de referência – exceto cursos de capacitação.								
Fórmula de cálculo: <i>Indicador 18 = Número de participantes de eventos científicos no período</i>								
<table border="1"> <tr> <td>Tipo: Uso</td> <td>Peso: 1</td> <td>Unidade: Número Absoluto</td> <td>Qualificação: Eficácia</td> </tr> <tr> <td align="right" colspan="2">Meta 2015: 250</td> <td align="right" colspan="2">Realizado: 466</td> </tr> </table>	Tipo: Uso	Peso: 1	Unidade: Número Absoluto	Qualificação: Eficácia	Meta 2015: 250		Realizado: 466	
Tipo: Uso	Peso: 1	Unidade: Número Absoluto	Qualificação: Eficácia					
Meta 2015: 250		Realizado: 466						
Histórico indicador: Em 2013, este indicador alcançou 319 participantes de eventos científicos e em 2014, 982 participantes.								
Comentário: Em 2015, o CNPEM realizou seis eventos científicos, 2 – LNLS; 2 – LNBIO; 1 – LNNANO e 1 – CTBE, totalizando 466 participantes externos.								

Além dos Indicadores de desempenho, em 2015, foram estabelecidos dois indicadores de economicidade associados a atividades-fim do CNPEM.

<i>Indicador de Economicidade 1</i>	
Economicidade da Produção Científica do CNPEM	
Macroprocesso: Operar o Laboratório Nacional	
Eixos de Atuação: Eixo 1 - Instalações Abertas a Usuários Externos Eixo 2 - P&D <i>in-house</i>	
Objetivos Estratégicos: Induzir atividades de produção de conhecimento e criação de novos produtos, instrumentações e processos nas áreas de energia, materiais e biociências.	
Finalidade: Medir a economicidade da produção científica do CNPEM, nos últimos três anos, em relação a universidades e institutos de pesquisa brasileiros selecionados.	
Descrição: Comparação da razão entre número de artigos indexados na base <i>Web of Science</i> (WoS) e volume de recursos de origem pública executado para o CNPEM e um conjunto selecionado de universidades e institutos de pesquisa. Na contagem dos artigos do CNPEM consideram-se todas as publicações indexadas na base <i>Web of Science</i> decorrentes do uso das instalações dos Laboratórios Nacionais do CNPEM.	
Fórmula: ((Total de publicações indexadas na WoS)/(Total de Recursos de origem pública destinados às atividades de PDI)*)/(Mediana ((Total de publicações indexadas na WoS)/(Total de Recursos de origem pública destinados às atividades de PDI))**)	
* CNPEM ** USP, Unicamp, UFSCar, UFMG, Embrapa, Fiocruz e INPE	
Tipo: Economicidade	
Peso: 1	
Unidade: número absoluto	
Meta 2015: > 1,5	Realizado 2015: 2,56
Comentários: Para o ano de 2015, o CNPEM apresentou índice muito superior aos apurados para as instituições selecionadas como base de comparação. Considerando as seis instituições em conjunto, o resultado da comparação entre o índice proposto para o CNPEM e para esse conjunto correspondeu a 2,56. Tal resultado representou 171% da meta pactuada. A Tabela apresentada a seguir apresenta todos os dados utilizados no cálculo do indicador e respectivas fontes de informação. Observações: (i) O número total de publicações é aferido por meio de busca na base <i>Web of Science</i> ; (ii) Para as universidades exclui-se do orçamento total os gastos realizados com Hospital Universitário, pagamento de inativos e educação básica; (iii) Para a EMBRAPA e FIOCRUZ consideram-se apenas os recursos destinados a Desenvolvimento Tecnológico e Engenharia, Difusão do Conhecimento Científico e Tecnológico e P&D; (iv) Para o CNPEM são considerados todos os recursos recebidos por meio do Contrato de Gestão exceto Projeto	

Sirius (Ação 13 CL)

	UFMG	UFSCAR	UNICAMP	USP	Embrapa	Fiocruz	INPE	CNPEM
Orcamento 2013	1.061.361.256	397.814.285	1.495.047.802	3.072.632.961	2.481.896.354	2.697.076.960	142.153.437	107.027.000
Orcamento 2014	1.093.592.765	398.302.411	1.507.729.030	3.124.627.986	2.783.860.907	2.952.604.001	114.691.546	75.231.000
Orcamento 2015	1.149.379.716	423.790.276	1.519.129.021	3.188.248.523	3.014.489.640	2.303.235.033	109.823.800	76.096.898
Artigos 2013	2,695	998	3.524	11.077	1.159	1.361	350	466
Artigos 2014	2.578	1.090	3.467	11.105	1.238	1.458	367	513
Artigos 2015	2.689	1.056	3.424	11.006	1.068	1.484	284	475
Artigos/ Orç 2013	2,54	2,51	2,36	3,55	0,47	0,50	2,46	4,35
Artigos/ Orç 2014	2,36	2,74	2,30	3,55	0,44	0,49	3,20	6,82
Artigos/ Orç 2015	2,34	2,49	2,25	3,45	0,35	0,64	2,59	6,24
Mediana	2,36	2,51	2,33	3,55	0,44	0,50	2,59	6,24

Fontes de Informações:

1) Universidade Federais, Embrapa e Fiocruz - SIOP/Execução Orçamentária por Unidade

2) USP - Dados orçamentários extraídos dos relatório do site <http://www.transparencia.sp.gov.br/> e elaboração de proxys a partir dos relatórios do Anuario USP (<https://uspdigital.usp.br/anuario>), tabela 7.02 para exclusão dos inativos, museus e hospitais. As informações disponíveis referem-se apenas ao ano de 2013, para os demais anos foram excluídos os valores proporcionais (30% do

3) UNICAMP - Dados orçamentários extraídos dos relatório do site <http://www.transparencia.sp.gov.br/> e elaboração de proxys para exclusão da área da saúde a partir dos relatórios do Anuario USP (<https://uspdigital.usp.br/anuario>), para 2013 pags 167 e 178 e para 2014 pags 175 e 184. Para 2015, foi utilizado um fator de correção de 7% no valor da proxy de 2014 devido a indisponibilidade de informações atualizadas.

http://www.inpe.br/acessoainformacao/pos_execucao_2015

4) ARTIGOS- busca por organização consolidada na base Web of Knowledge

Indicador de Economicidade 2

Economicidade das Linhas de Luz do LNLS	
Macroprocesso:	Operar o Laboratório Nacional
Eixos de Atuação:	Eixo 1 - Instalações Abertas a Usuários Externos Eixo 2 - P&D in-house Eixo 3 - Apoio à Inovação na Interação com AIS
Objetivos Estratégicos:	Manter, atualizar e integrar infraestrutura e competências e desenvolver instrumentação científica de alto nível, com vistas a garantir a competitividade das instalações nas áreas de energia, materiais e biociências; Atuar como centro facilitador do desenvolvimento científico e tecnológico, oferecendo condições adequadas de atendimento, capacitação e apoio técnico-científico aos usuários externos.
Finalidade:	Aferir a economicidade das horas de linhas de luz disponibilizadas pelo Laboratório Nacional de Luz Síncrotron em relação a Laboratórios Síncrotrons de outros países
Descrição:	Comparação da razão entre número de horas de linhas de luz disponibilizadas anualmente e valor do orçamento do Contrato de Gestão destinado à Operação do LNLS e de um conjunto selecionados de laboratórios Síncrotron de outros países
Fórmula:	((Total de horas de linhas de luz disponíveis para uso)/(Total de Recursos de origem pública destinados ao Laboratório Nacional de Luz Síncrotron))/((Mediana ((Total de horas de linhas de luz disponíveis para uso)/(Total de Recursos de origem pública destinados à Laboratórios Síncrotrons internacionais))**))
* Exceto Sirius	
** ALBA, Canadian Light Source, Diamond Light Source, ESRF, Soleil, Australian Synchrotron, Argonne (APS) e Advanced Light Source.	
Tipo: Economicidade	
Unidade: número absoluto	
Meta 2015: < 0,65	Realizado 2015: 0,16
Comentários:	Para a comparação foram selecionados três Laboratórios de Luz Síncrotron. Uma vez que as informações referentes a esses Laboratórios não se encontravam atualizadas em seus respectivos relatórios e sites, considerou-se idealmente que as possíveis variações da razão hora/US\$ em um período de 2 – 3 anos não seriam expressivas. Para o LNLS foram considerados os dados médios para 2014 - 2015, resultando em um índice de 111,5 US\$/hora, o que representa 16% do índice médio dos três Laboratórios internacionais acima citados.

Laboratórios	Ano de Referência	Linhas de Luz	Horas Operação Anel	Horas Posíveis Operação	Orçamento (M U\$)	Custo/hora (US\$)		
ALBA	2013	7	2.972	20.801	41	\$1.971,11		
Canadian Light Source	2013	10	5.000	50.000	32	\$640,00		
Diamond Light Source (Inglaterra)	2013	24	5.088	122.112	78	\$638,76		
ESRF	2014	46	5.399	248.363	136	\$547,59		
Soleil	2013	27	4.912	132.624	72	\$542,89		
Australian Synchrotron	2014	10	5.000	50.000	27	\$534,00		
APS - Argonne	2013	71	4.895	347.545	140	\$402,83		
Advanced Light Source (Berkeley)	2012	39	5.283	206.037	70	\$339,74		
LNLS	2014	17	3.869	65.773	8,4	\$127,71		
	2015	17	3.826	65.042	6,2	\$95,32		
Média Internacional	\$702,11							
Média Internacional	\$702,11			Média LNLS	\$111,52			
Indicador =	16%							
Dólar = 2,68 Reais (média 2014)								
Dólar = 3,45 Reais (média 2015)								

Anexo 2 – Indicadores Específicos de Projetos: Sirius e SisNano

Projeto – Sirius						
ATIVIDADE	META	INDICADORES	PRAZO (duração em meses)	RECURSOS 13ºTA Ação 13CL	STATUS em dez/2015	% de execução
Obras e Instalações				116.122.000		
Modelagem 3D do Projeto Executivo	Modelagem 3D e Compatibilização das Disciplinas do Projeto	Projeto 3D executado	6	430.000	Projeto concluído	100%
Licenciamentos, limpeza do terreno e Terraplanagem	Manutenção do terreno até o início da obra	Terreno preparado para obra e licença obtida para construção	12	558.000	Obra iniciada e em andamento, com as devidas autorizações e licenças ambientais	100%
Obra do Sirius (parcial)	Realizar parcialmente as atividades de Obra do Sirius	Concluir as atividades de obra previstas até dez/2015	15	112.468.000	Execução de 12 meses de obra sem interrupção	90%
Gerenciamento da Obra	Revisão do Projeto Executivo pela Gerenciadora da Obra, contratação da Obra e gerenciamento da obra até abr/2016	Gerenciamento da obra	16	2.666.000	Serviço de gerenciamento da obra em andamento	100%
Fonte de Luz				84.027.000		
Imãs do Anel	Iniciar a produção dos imãs do anel	Produção Parcial dos imãs do anel	16	24.326.000	Liberado a produção das corretoras e de três tipos de quadrupolos do <i>Booster</i> . As demais produções estão aguardando a aprovação dos protótipos e lotes pilotos e os recebimentos de recursos financeiros.	10%
Linac 100Mev	Fabricação do LINAC concluída	Pagamento da parcela referente a conclusão da fabricação do LINAC e pedido das <i>Klystrons</i>	36	6.268.000	Fabricação em andamento. O equipamento ainda não foi validado pela equipe técnica. O pagamento referente a conclusão do LINAC foi renegociado devido a insuficiência de recursos financeiros. O pagamento foi postergado para 2016 e dividido em duas parcelas.	0%
Fabricação das Câmaras de Vácuo do anel	Produção das câmaras de vácuo do Anel	Entrega das Câmaras de vácuo do anel	16	3.460.000	Cabeça de serie das flanges especiais aprovados, produção de 400 unidades aguardando recursos financeiros. Protótipos aprovados para estação de bombeamento e câmaras principais.	0%

Projeto – Sirius						
ATIVIDADE	META	INDICADORES	PRAZO (duração em meses)	RECURSOS 13ºTA Ação 13CL	STATUS em dez/2015	% de execução
Compra de componentes de Vácuo	Colocar pedido de compras para componentes de vácuo	Pedido de compra para componentes de vácuo	16	9.819.000	Atividade suspensa temporariamente até o recebimento de recursos	0%
Fabricação das Câmaras de Vácuo do <i>Booster</i>	Produção das câmaras de vácuo do <i>Booster</i>	Entrega das Câmaras de vácuo do <i>Booster</i>	12	1.598.000	Protótipos prontos aguardando recursos para sua fabricação	0%
Sistema de Diagnóstico	Iniciar a produção do Sistema de Diagnóstico do Sirius	Produção do Sistema de Diagnóstico do Sirius iniciada	16	4.685.000	Versões comerciais dos BPMs recebidas, versões <i>in-house</i> dos BPMs desenvolvidas, eletrônica de controle desenvolvida, aguardando recebimento de recursos financeiros para contratação de fornecedores.	0%
Magnetos Pulsados	Concluir a construção de protótipos de magnetos pulsados	Todos os protótipos de magnetos pulsados testados	19	1.398.000	Protótipos dos <i>Kickers</i> testados e aprovados. Produção de 4 unidades aguardando recursos. Protótipo do <i>kicker</i> não linear em fabricação	50%
Fontes	Concluir protótipos de fontes e iniciar produção das Fontes	Concluir protótipos de fontes e iniciar produção das Fontes	12	12.631.000	Protótipo da fonte de quadrupolo e de dipolo do anel em teste.	30%
Berços	Concluir prototipagem de berços do Anel e <i>Booster</i> e encomendar berços do anel	Concluir prototipagem de berços do Anel e <i>Booster</i> e encomendar berços do anel	16	10.528.000	Segundo protótipo do berço do anel em teste. Protótipo do Berço do <i>booster</i> em cotação	25%
Sistema de RF	Iniciar a fabricação dos componentes do sistema do Sistema de RF	Construir o <i>Low Level</i> e uma torre amplificadora para o <i>Booster</i> e para o anel	18	3.410.000	Componentes para a torre de 50 kW do <i>booster</i> adquiridos, testes de subsistemas realizados, projeto mecânico da torre concluído	20%
Planta de Recuperação de He	Encomendar a Planta de Recuperação de He	Assinatura de Contrato para fornecimento da planta de recuperação de He	7	3.988.000	Atividade suspensa temporariamente por insuficiência de recursos financeiros.	0%

Projeto – Sirius						
ATIVIDADE	META	INDICADORES	PRAZO (duração em meses)	RECURSOS 13ºTA Ação 13CL	STATUS em dez/2015	% de execução
Sistema de controle	Concluir a prototipagem do sistema de controle do Sirius	Protótipo final do sistema de controle testado e aprovado	12	1.001.000	Hardware comercial adquirido para testes e hardware <i>in-house</i> desenvolvido para 4 interfaces dos sistemas	50%
Construção do Cruzeiro do Sul	Instalar todos os subsistemas do anel e <i>booster</i> no trecho protótipo	Melhorias devido a compatibilização	12	565.000	Re-projeto de vários componentes, com impacto na blindagem do anel, e realocação do galpão para liberação do piso para novo laboratório de metrologia óptica	80%
Sistema de resfriamento	Construir uma bancada de resfriamento para medição dos eletroimãs	Bancada de resfriamento de eletroimãs construída	3	200.000	Bancada em uso	100%
Sistema de Proteção Radiológica	Prototipagem do Sistema de proteção radiológica	Prototipagem do Sistema de proteção radiológica	16	150.000	Equipe técnica passou por treinamento e alguns testes estão sendo realizados	20%
Mão de Obra				20.425.000		
Recursos Humanos	Manutenção parcial dos colaboradores contratados para o projeto.	Manutenção parcial dos colaboradores destinados ao projeto	12	17.219.000	Recursos humanos alocados conforme necessidade do projeto.	100%
Gestão	Cursos, Treinamentos, Workshops, viagens técnicas e Gerenciamento do Projeto	Garantir cursos, treinamentos, workshops e viagens técnicas para equipe do Projeto	16	3.206.000	Mantida a equipe de gestão e administração dedicada ao projeto, além dos treinamentos, cursos e <i>workshops</i> das equipes técnicas.	80%
Infraestrutura Engenharia				8.460.000		
Metrologia Mecânica	Conclusão da sala de metrologia mecânica (tridimensionais)	Sala de metrologia mecânica concluída	16	66.000	Atividade suspensa temporariamente por questões técnicas e financeiras	0%

Projeto – Sirius						
ATIVIDADE	META	INDICADORES	PRAZO (duração em meses)	RECURSOS 13ºTA Ação 13CL	STATUS em dez/2015	% de execução
Infraestrutura da Engenharia	Manutenção dos Grupos de Engenharia para realização das atividades do Sirius.	Manutenção dos Grupos d/e Engenharia para realização das atividades do Sirius.	16	8.394.000	Realizadas algumas adequações de espaço físico para os grupos de engenharia	20%
Divisão Científica				16.496.000		
Projeto e Prototipagem das Linhas de Luz	Projeto e Prototipagem das Linhas de Luz	Projeto das Linhas de Luz em desenvolvimento	16	15.736.000	Atividades em atraso, devido a falta de recebimento do recurso financeiro. Foram priorizadas as atividades de projeto e desenhos das linhas	25%
Infraestrutura da Divisão Científica	Manutenção da Infraestrutura da Divisão Científica para o Sirius	Manutenção da Infraestrutura da Divisão Científica para o Sirius	16	200.000	Foram realizados testes de bancadas e outras atividades de prototipagem ligadas as linhas de luz.	100%
Metrologia Ótica	Comprar equipamentos para sala de metrologia ótica	Concluir a instalação da Sala de Metrologia Ótica	24	560.000	Foram encomendadas e estão em produção os equipamentos para a sala de metrologia.	50%
TOTAL				245.530.000		

Projeto SISNANO		
Atividade	Valor	Status em Dez/2015
Contribuição do SisNano para aquisição de equipamento para criomicroscopia eletrônica que será usado em bionanotecnologia estrutural (single-particle imaging)		Como a liberação financeira dos recursos contratados em 2015 foi de apenas 12% do previsto no respectivo contrato de gestão, a execução das metas físicas das atividades ficou comprometida.
Equipamentos de médio e grande portes para micro e nanofabricação		
Equipamentos para caracterização e processamento de metais		
Equipamentos para unidade piloto e laboratório de materiais nanoestruturados		
Despesas de Importação		
	R\$ 8.277.178	

ANEXO 3 – REFERÊNCIAS DE PUBLICAÇÕES CIENTÍFICAS, TESES E DISSERTAÇÕES E MEMORANDOS TÉCNICOS

2015

Artigos Publicados por Pesquisadores Internos

1. SOSA, C. M.; STOYTSCHEW, V.; LEANI, J. J.; SÁNCHEZ, H. J.; PÉREZ, C. A.; PÉREZ, R. D. Calibration method for confocal X-ray microanalysis with polychromatic excitation. **Journal of Spectroscopy**, v. 2015, p. 368054-36861, 2015. - Fator de Impacto em 2014: 0,538
2. MORAES, C. B.; FARIA, J.; SONG, R.; PASCOALINO, B. S.; LEE, N.; SIQUEIRA NETO, J. L. DE; CRUZ, D. J. M., PARKER, M. W.; IOSET, J.-R.; CORDEIRO-DA-SILVA, A.; FREITAS-JUNIOR, L. H. Drug discovery for human African Trypanosomiasis: identification of novel scaffolds by the newly developed HTS SYBR green assay for *Trypanosoma brucei*. **Journal of Biomolecular Screening**, v. 20, n. 1, p. 70-81, 2015. - Fator de Impacto em 2014: 2,423
3. CARNIELLI, C. M.; WINCK, F. V.; PAES LEME, A. F. Functional annotation and biological interpretation of proteomics data. **Biochimica et Biophysica Acta. Proteins and Proteomics**, v. 1854, n. 1, p. 46-54, 2015. - Fator de Impacto em 2014: 2,747
4. BARBOSA, A. F.; BETTINI, J.; LUCCAS, P. O.; FIGUEIREDO, E. C. Restricted access carbon nanotubes for direct extraction of cadmium from human serum samples followed by atomic absorption spectrometry analysis. **Talanta**, v. 131, p. 213-220, 2015. - Fator de Impacto em 2014: 3,545
5. LAMIRAND, A. D.; SOARES, M. M.; RAMOS, A. Y.; TOLENTINO, H. C. N.; DE SANTIS, M.; CEZAR, J. C.; SIERVO, A. DE. Spin orientation in an ultrathin CoO/PtFe double-layer with perpendicular exchange coupling. **Journal of Magnetism and Magnetic Materials**, v. 373, p. 6-9, 2015. - Fator de Impacto em 2014: 1,97
6. ALMEIDA, B. M.; MELO JR., M. A.; BETTINI, J.; BENEDETTI, J. E.; NOGUEIRA, A. F. A novel nanocomposite based on TiO₂/Cu₂O/reduced graphene oxide with enhanced solar-light-driven photocatalytic activity. **Applied Surface Science**, v. 324, p. 419-431, 2015. - Fator de Impacto em 2014: Fator de Impacto em 2014: 2,711
7. ROBL, D.; COSTA, P. DOS S.; BÜCHLI, F.; LIMA, D. J. S.; DELABONA, P. S., SQUINA, F. M.; PIMENTEL, I. C.; PADILLA, G.; PRADELLA, J. G. C. Enhancing of sugar cane bagasse hydrolysis by annulohypoxylon stygium glycohydrolases. **Bioresource Technology**, v. 177, p. 247-254, 2015. - Fator de Impacto em 2014: 4,494
8. DAIKUZONO, C. M.; DANTAS, C. A. R.; VOLPATI, D.; CONSTANTINO, C. J. L.; PIAZZETTA, M. H. O.; GOBBI, A. L.; TAYLOR, D. M.; OLIVEIRA JR., O. N.; RIUL JR., A. Microfluidic electronic tongue. **Sensors and Actuators B**, v. 207, pt. B, n. 1129-1135, 2015. - Fator de Impacto em 2014: 4,097
9. COTA, J.; CORRÊA, T. L. R.; DAMÁSIO, A. R. DE L.; DIOGO, J. A.; HOFFMAM, Z. B.; GARCIA, W.; OLIVEIRA, L. C.; PRADE, R. A.; SQUINA, F. M. Comparative analysis of three hyperthermophilic

GH1 and GH3 family members with industrial potential. **New Biotechnology**, v. 32, n. 1, p. 13-20, 2015.
- Fator de Impacto em 2014: 2,898

10. VIEIRA, K. O.; BETTINI, J.; FERRARI, J. L.; SCHIAVON, M. A. Homogeneous CdTe quantum dots-carbon nanotubes heterostructures. **Materials Chemistry and Physics**, v. 149-150, p. 405-412, 2015. - Fator de Impacto em 2014: 2,259

11. SÁNCHEZ-QUITIAN, Z.; RODRIGUES-JUNIOR, V.; REHM, J. G.; EICHLER, J.; TRIVELLA, D. B. B.; BIZARRO, C. V.; BASSO, L. A.; SANTOS, D. S. Functional and structural evidence for the catalytic role played by glutamate-47 residue in the mode of action of *Mycobacterium tuberculosis* cytidine deaminase. **RSC Advances**, v. 5, p. 830-840, 2015. - Fator de Impacto em 2014: 3,84

12. ABADALA, D. B.; NORTHRUP, P. A.; VICENTIN, F. C.; SPARKS, D. L. Residence time and pH effects on the bonding configuration of orthophosphate surface complexes at the goethite/water interface as examined by Extended X-ray Absorption Fine Structure (EXAFS) spectroscopy. **Journal of Colloid and Interface Science**, v. 442, p. 15-21, 2015. - Fator de Impacto em 2014: 3,368

13. MORAES, E. C.; MEIRELLES, G. V.; HONORATO, R. V.; SOUZA, T.A.C.B.; SOUZA, E. E.; MURAKAMI, M. T.; OLIVEIRA, P. S. L.; KOBARG, J. Kinase inhibitor profile for human Nek1, Nek6, and Nek7 and analysis of the structural basis for inhibitor specificity. **Molecules**, v. 20, n. 1, p. 1176-1191, 2015. - Fator de Impacto em 2014: 2,416

14. MERA, M. F.; RUBIO, M.; PÉREZ, C. A.; GALVÁN, V.; GERMANIER, A. G. SR mu XRF and XRD study of the spatial distribution and mineralogical composition of Pb and Sb species in weathering crust of corroded bullets of hunting fields. **Microchemical Journal**, v. 119, p. 114-122, 2015. - Fator de Impacto em 2014: 2,746

15. ZEPON, G.; LEIVA, D. R.; KAUFMAN, M. J.; FIGUEROA, S. J. A.; FLORIANO, R.; LAMAS, D. G.; ASSELLI, A. A. C.; BOTTA FILHO, W. J. Controlled mechanochemical synthesis and hydrogen desorption mechanisms of nanostructured Mg₂CoH₅. **International Journal of Hydrogen Energy**, v. 40, n. 3, p. 1504-1515, 2015. - Fator de Impacto em 2014: 3,313

16. COSTA, A. M. S.; XAVIER NETO, J.; FIGUEIRA, A. C. M.; CAIAFFA, C. D.; AMARAL, F. N.; PERES, L. M. C.; SILVA, B. S. P.; SANTOS, L. N.; MOISE, A. R.; CASTILLO, H. A. Signaling through retinoic acid receptors in cardiac development: doing the right things at the right times. **Biochimica et Biophysica Acta. Gene Regulatory Mechanisms**, v. 1849, n. 2, p. 94-111, 2015. - Fator de Impacto em 2014: 6,332 (6073)

17. OLIVEIRA, L. L.; OLIVEIRA, P. S. L.; TINÓS, R. A multiobjective approach to the genetic code adaptability problem. **BMC Bioinformatics**, v. 16, p. 52-71, 2015. - Fator de Impacto em 2014: 2,576

18. TRIVELLIN, P. C. O.; VIEIRA-MEGDA, M. X.; MARIANO, E.; LEITE, J. M.; FRANCO, H. C. J.; VITTI, A. C.; MEGDA, M.; KHAN, S. A.; MULVANEY, R. L. Contribution of fertilizer nitrogen to the total nitrogen extracted by sugarcane under brazilian field conditions. **Nutrient Ciclyng in Agrosystem**, v. 101, n. 2, p. 241-257, 2015. - Fator de Impacto em 2014: 1,897

19. VIEIRA, P. S.; GIUSEPPE, P. O.; MURAKAMI, M. T.; OLIVEIRA, A. H. C. Crystal structure and biophysical characterization of the nucleoside diphosphate kinase from *Leishmania braziliensis*. **BMC Structural Biology**, v. 15, p. 1-12, 2015. - Fator de Impacto em 2014: 1,178

- 20.ROCHA, G. J. M.; NASCIMENTO, V. M.; GONÇALVES, A. R.; SILVA, V. F. N.; MARTÍN, C. Influence of mixed sugarcane bagasse samples evaluated by elemental and physical-chemical composition. **Industrial Crops and Products**, v. 64, p. 52-58, 2015. - Fator de Impacto em 2014: 2,837
- 21.DIOGO, J. A.; HOFFMAM, Z. B.; ZANPHORLIN, L. M.; COTA, J.; MACHADO, C. B.; WOLF, L. D.; SQUINA, F. M.; DAMÁSIO, A. R. DE L.; MURAKAMI, M. T.; RULLER, R. Development of a chimeric hemicellulase to enhance the xylose production and thermotolerance. **Enzyme and Microbial Technology**, v. 69, p. 31-37, 2015. - Fator de Impacto em 2014: 2,322
- 22.FREITAS, F. S.; SILVA, J. M. S.; CARDOSO, M. B.; NOGUEIRA, A. F. Incorporation of nanocrystals with different dimensionalities in hybrid TiO₂/P₃HT solar cells. **Journal of Photonics for Energy**, v. 5, n. 057407, 2015 - Fator de Impacto em 2014: 1,366
23. LAMIRAND, A. D.; SOARES, M. M.; DE SANTIS, M.; RAMOS, A. Y.; GRENIER, S.; TOLENTINO, H. C. N. Strain driven monoclinic distortion of ultrathin CoO films in the exchange-coupled CoO/FePt/Pt(001) system. **Journal of Physics. Condensed Matter**, v. 27, n. 8, p. 085001-9, 2015. - Fator de Impacto em 2014: 2,346
- 24.RIBEIRO, P. O.; ALHO, B. P.; ALVARENGA, T. S. T.; NÓBREGA, E. P.; SOUSA, V. S. R.; CARVALHO, A. M. G.; CALDAS, A.; OLIVEIRA, N. A.; VON RANKE, P. J. Theoretical investigations on magnetocaloric effect in Er_{1-y}Tb_yAl₂ series. **Journal of Magnetism and Magnetic Materials**, v. 379, p. 112-116, 2015. - Fator de Impacto em 2014: 1,97
25. CARVALHO, A. M. G.; TEDESCO, J. C. G.; CHRISTENSEN, N. B.; KOCKELMANN, W.; TELLING, M. T. F.; YOKAICHIYA, F.; TOBBENS, D. M.; SIMEONI, G. G.; CARDOSO, L. P.; COELHO, A. A.; BORDALLO, H. N. Analysis of the crystallographic and magnetic structures of the Tb_{0,1}Pr_{0,9}Al₂ and Tb_{0,25}Pr_{0,75}Al₂ magnetocaloric compounds by means of neutron scattering. **Journal of Materials Science**, v. 50, n.7, p. 2884-2892, 2015. - Fator de Impacto em 2014: 2,371
26. PEDRO, S. S.; CARABALLO VIVAS, R. J.; ANDRADE, V. M.; CRUZ, C.; PAIXÃO, L. S.; CONTRERAS, C.; COSTA-SOARES, T.; CALDEIRA, L.; COELHO, A. A.; CARVALHO, A. M. G.; ROCCO, D. L.; REIS, M. S. Effects of Ga substitution on the structural and magnetic properties of half metallic Fe₂MnSi Heusler compound. **Journal of Applied Physics**, v. 117, n. 1, p. 013902, 2015. - Fator de Impacto em 2014: 2,183
27. BARBIERI, E.; CAMPOS-GARCIA, J. MARTINEZ, D. S. T.; ALVES, O. L.; LEONARDO, A. F. G. Ecotoxicological effects of carbofuran and oxidised multiwalled carbon nanotubes on the freshwater fish *Nile tilapia*: nanotubes enhance pesticide ecotoxicity. **Ecotoxicology and Environmental Safety**, v. 111, p. 131-137, 2015 - Fator de Impacto em 2014: 2,762
- 28.RODRIGUES, P. C.; MIGUEL, M. C. C.; AQUINO, S. N. DE; FONSECA, F. P.; SILVA, A. R. S.; PAES LEME, A. F.; COLETTA, R. D. Stromal myofibroblasts in potentially malignant and malignant lesions of the oral cavity. **Oncology Letters**, v. 9, p. 667-670, 2015. - Fator de Impacto em 2014: 1,554
- 29.LEANI, J. J.; SÁNCHEZ, H. J.; PÉREZ, C. A. Oxide nanolayers in stratified samples studied by X-ray resonant Raman scattering at grazing incidence. **Journal of Spectroscopy**, v. 2015, p. 618279, 2015. - Fator de Impacto em 2014: 0,538

30. CAMPOS, B. M.; LIBERATO, M. V.; POLIKARPOV, I.; ZERI, A. C. DE M.; SQUINA, F. M. Cloning, purification, crystallization and preliminary X-ray studies of a carbohydrate-binding module from family 64 (StX). **Acta Crystallographica F**, v. 71, pt. 3, p. 311-314, 2015. - Fator de Impacto em 2014: 0,527
31. BASEI, F. L.; MEIRELLES, G. V.; RIGHETTO, G. L.; MIGUELETI, D. L. S.; SMETANA, J. H. C.; KOBARG, J. New interaction partners for Nek4.1 and Nek4.2 isoforms: from the DNA damage response to RNA splicing. **Proteome Science**, v. 13, p. 11, 2015. - Fator de Impacto em 2014: 1,725
32. RODELLA, C. B.; BARRETT, D. H.; MOYA, S. F.; FIGUEROA, S. J. A.; PIMENTA, M. T. B.; CURVELO, A. A. S.; SILVA, V. T. Physical and chemical studies of tungsten carbide catalysts: effects of Ni promotion and sulphonated carbon. **RSC Advances**, v. 5, n. 30, p. 23874-23885, 2015. - Fator de Impacto em 2014: 3,84
33. LAGOS, M. J.; AUSTRETO, P. A. S.; BETTINI, J.; SATO, F.; DANTAS, S. O.; GALVAO, D. S.; UGARTE, D. M. Surface effects on the mechanical elongation of AuCu nanowires: De-alloying and the formation of mixed suspended atomic chains. **Journal of Applied Physics**, v. 117, n. 9, p. 094301, 2015. - Fator de Impacto em 2014: 2,183
34. KELNER, N.; RODRIGUES, R. C.; BUFALLINO, A.; FONSECA, F. P.; SANTOS-SILVA, A. R.; MIGUEL, M. C. C.; PINTO, A. L.; PAES LEME, A. F.; GRANER, E.; SALO, T.; KOWALSKI, L. P.; COLETTA, R. D. Activin A immunoexpression as predictor of occult lymph node metastasis and overall survival in oral tongue squamous cell carcinoma. **Head Neck-J. Sci. Spec. Head Neck**, v. 37, n. 4, p. 479-486, 2015. - Fator de Impacto em 2014: 2,641
35. GASPERINI, A. A. M.; PUENTES-MARTINEZ, X. E.; BALBINO, T. A.; RIGOLETTO, T. P.; CORRÊA, G. S. C.; CASSAGO, A.; PORTUGAL, R. V.; DE LA TORRE, L. G.; CAVALCANTI, L. P. Association between cationic liposomes and low molecular weight hyaluronic acid. **Langmuir**, v. 31, n. 11, p. 3308-3317, 2015. - Fator de Impacto em 2014: 4,457
36. ALKSCHBIRS, M. I.; PERCEBOM, A. M.; LOH, W.; WESTFAHL JR., H.; CARDOSO, M. B.; SABADINI, E. Effects of some anions of the Hofmeister series on the rheology of cetyltrimethylammonium-salicylate wormlike micelles. **Colloids and Surfaces A**, v. 470, p. 1-7, 2015. Fator de Impacto em 2014: 2,752 (6163)
37. ROBLEDO, J. I.; SÁNCHEZ, H. J.; LEANI, J. J.; PÉREZ, C. A. Exploratory methodology for retrieving oxidation state information from X-ray resonant Raman scattering spectrometry. **Analytical Chemistry**, v. 87, n. 7, p. 3639-3645, 2015. Fator de Impacto em 2014: 5,636 (6169)
38. SOUZA, E. E.; HEHNLY, H.; PEREZ, A. M.; MEIRELLES, G. V.; SMETANA, J. H. C.; DOXSEY, S.; KOBARG, J. Human Nek7-interactor RGS2 is required for mitotic spindle organization. **Cell Cycle**, v. 14, n. 4, p. 656-667, 2015. - Fator de Impacto em 2014: 4,565
39. PACHECO, M. L. A. F.; GALANTE, D.; RODRIGUES, F.; LEME, J. M.; BIDOLA, P.; HAGADORN, W.; STOCKMAR, M.; HERZEN, J.; RUDNITZKI, I. D.; PFEIFFER, F.; MARQUES, A. C. Insights into the skeletonization, lifestyle, and affinity of the unusual Ediacaran fossil Corumbella. **PloS One**, v. 10, n. 3, p. e0114219, 2015. - Fator de Impacto em 2014: 3,534
40. JONKER, J. G. G.; VAN DER HILST, F.; JUNGINGER, H. M.; CAVALETT, O.; CHAGAS, M. F.; FAAJ, A. P. C. Outlook for ethanol production costs in Brazil up to 2030, for different biomass crops and industrial technologies. **Applied Energy**, v. 147, p. 593-610, 2015. - Fator de Impacto em 2014: 5,613

41. VIEIRA, C. E. P.; GASPERINI, A. A. M.; FREITAS, P. P. S.; OLIVEIRA, R. G.; CAVALCANTI, L. P. Characterization of a Pt mirror to be used to deflect synchrotron radiation beam onto Langmuir monolayers. **Journal of Synchrotron Radiation**, v. 22, n. 3, p. 859-861, 2015. - Fator de Impacto em 2014: 2,794
42. BISSON-FILHO, A. W.; DISCOLA, K. F.; CASTELLEN, P.; BLASIOS, V.; MARTINS, A.; SFORÇA, M. L.; GARCIA, W.; ZERI, A. C. DE M.; ERICKSON, H. P.; DESSEN, A.; GUEIROS FILHO, F. J. FtsZ filament capping by MciZ, a developmental regulator of bacterial division. **Proceedings of the National Academy of Sciences USA**, v. 112, n. 17, p. E2130-E2138, 2015. - Fator de Impacto em 2014: 9,674
43. BUSSAMRA, B. C., FREITAS, S., COSTA, A. C. Improvement on sugar cane bagasse hydrolysis using enzymatic mixture designed cocktail. **Bioresource Technology**, v. 187, p. 173-181, 2015. - Fator de Impacto em 2014: 4,494
44. COLUSSI, F.; SILVA, V. M.; MILLER, I.; COTA, J.; OLIVEIRA, L. C.; OLIVEIRA NETO, M.; SQUINA, F. M.; GARCIA, W. Oligomeric state and structural stability of two hyperthermophilic β -glucosidases from *Thermotoga petrophila*. **Amino Acids**, v. 47, n. 5, p. 937-948, 2015. - Fator de Impacto em 2014: 3,293
45. FATTORI, J.; CAMPOS, J. L. O.; DORATIOTO, T. R.; ASSIS, L. M.; VITORINO, M. T.; POLIKARPOV, I.; XAVIER NETO, J.; FIGUEIRA, A. C. M. RXR agonist modulates TR: corepressor dissociation upon 9-cis retinoic acid treatment. **Molecular Endocrinology**, v. 29, n. 2, p. 258-273, 2015. - Fator de Impacto em 2014: 4,022
46. BENEDETTI, J. E.; BERNARDO, D. R.; MORAIS, A.; BETTINI, J.; NOGUEIRA, A. F. Synthesis and characterization of a quaternary nanocomposite based on TiO₂/CdS/rGO/Pt and its application in the photoreduction of CO₂ to methane under visible light. **RSC Advances**, v. 5, n. 43, p. 33914-33922, 2015. - Fator de Impacto em 2014: 3,84
47. LOBO JUNIOR, E. O.; DUARTE, L. C.; BRAGA, L. E. DE P.; GOBBI, A. L.; JESUS, D. P.; COLTRO, W. K. T. High fidelity prototyping of PDMS electrophoresis microchips using laser-printed masters. **Microsystem Technologies**, v. 21, n. 6, p. 1345-1352, 2015 - Fator de Impacto em 2014: 0,875
48. CASTELLEN, P.; SFORÇA, M. L.; GUEIROS FILHO, F. J.; ZERI, A. C. DE M. Backbone and side chain NMR assignments for the N-terminal domain of the cell division regulator MinC from *Bacillus subtilis*. **Biomolecular NMR Assignments**, v. 5, n. 1, p. 1-5, 2015. - Fator de Impacto em 2014: 0,76
49. MARTINS, H. P.; PRADO, F.; CANEIRO, A.; VICENTIN, F. C.; CHAVES, D. S.; MOSSANEK, R. J. O.; ABBATE, M. X-ray absorption study of the Fe and Mo valence states in Sr₂FeMoO₆. **Journal of Alloys and Compounds**, v. 640, p. 511-516, 2015. - Fator de Impacto em 2014: 2,999
50. GIORDANO, G. F.; VIEIRA, L. C. S.; GOBBI, A. L.; LIMA, R. S.; KUBOTA, L. T. An integrated platform for gas-diffusion separation and electrochemical determination of ethanol on fermentation broths. **Analytica Chimica Acta**, v. 875, p. 33-40, 2015. - Fator de Impacto em 2014: 4,513
51. MORAES, B. S.; ZAIAT, M.; BONOMI, A.M.F.L.J. Anaerobic digestion of vinasse from sugarcane ethanol production in Brazil: challenges and perspectives. **Renewable & Sustainable Energy Reviews**, v. 44, p. 888-903, 2015. - Fator de Impacto em 2014: 5,901

52. OLIVEIRA, L. C.; SILVA, V. M.; COLUSSI, F.; CABRAL, A. D.; OLIVEIRA NETO, M.; SQUINA, F. M.; GARCIA, W. Conformational changes in a hyperthermostable glycoside hydrolase: enzymatic activity is a consequence of the loop dynamics and protonation balance. **PloS One**, v. 10, n. 2 p. e0118225, 2015. - Fator de Impacto em 2014: 3,234
53. MARÇAL, L. A. B.; RICHARD, M. I.; MAGALHÃES-PANIAGO, R.; CAVALLO, F.; LAGALLY, M. G.; SCHMIDT, O. G.; SCHÜLLI, T. U.; DENEKE, C.; MALACHIAS, A. Direct evidence of strain transfer for InAs island growth on compliant Si substrates. **Applied Physics Letters**, v. 106, n. 15, p. 151905, 2015. - Fator de Impacto em 2014: 3,302
54. PINTO, C. F.; VERMELHO, P. M.; AGUIAR, T. R.; PAES LEME, A. F.; OLIVEIRA, M. T.; SOUZA, E. M. DE; CAVALLI, V.; GIANNINI, M. Enamel and dentin bond strength, interfacial ultramorphology and fluoride ion release of self-etching adhesives during a pH-cycling regime. **Journal of Adhesive Dentistry**, v. 17, n. 1, p. 27-34, 2015. - Fator de Impacto em 2014: 1,311
55. SAVU, R.; SILVEIRA, J. V.; ALAFERDOV, A. V.; JOANNI, E.; GOBBI, A. L.; CANESQUI, M. A.; LARA, D. S.; SOUZA FILHO, A. G.; MOSHKALEV, S. A. Gas sensors based on locally heated multiwall carbon nanotubes decorated with metal nanoparticles. **Journal of Sensors**, v. 2015, p. 260382, 2015. - Fator de Impacto em 2014: 1,182
56. DURÁN, N.; MARTINEZ, D. S. T.; SILVEIRA, C. P.; DURÁN, M.; MORAES, A. C. M. DE, SIMÕES, M. B.; ALVES, O. L.; FAVARO, W. J. Graphene oxide: a carrier for pharmaceuticals and a scaffold for cell interactions. **Current Topics in Medicinal Chemistry**, v. 15, n. 4, p. 309-315, 2015. - Fator de Impacto em 2014: 3,402
57. OLIVEIRA, B. G.; CARVALHO, J. L. N.; CERRI, C. E. P.; CERRI, C. C.; FEIGL, B. J. Greenhouse gas emissions from sugarcane vinasse transportation by open channel: a case study in Brazil. **Journal of Cleaner Production**, v. 94, p. 102-107, 2015. - Fator de Impacto em 2014: 3,844
58. MORAIS, M. A. B.; GIUSEPPE, P. O.; SOUZA, T.A.C.B.; ALEGRIA, T. G. P.; OLIVEIRA, M. A.; NETTO, L. E. S.; MURAKAMI, M. T. How pH modulates the dimer-decamer interconversion of 2-cys peroxiredoxins from the Prx1 subfamily. **Journal of Biological Chemistry**, v. 290, n. 13, p. 8582-8590, 2015.- Fator de Impacto em 2014: 4,573
59. WINKELSTRÖTER, L. K.; BOM, V. L. P.; CASTRO, P. A.; RAMALHO, L. N. Z.; GOLDMAN, M. H. S.; BROWN, N. A.; RAJENDRAN, R.; RAMAGE, G.; BOVIER, E.; REIS, T. F. DOS; SAVOLDI, M.; HAGIWARA, D.; GOLDMAN, G. H. High osmolarity glycerol response PtcB phosphatase is important for *Aspergillus fumigatus* virulence. **Molecular Microbiology**, v. 69, n. 1, p. 42-54, 2015. - Fator de Impacto em 2014: 4,419
60. PEREIRA, L. G.; DIAS, M. O. S.; MACLEAN, H. L.; BONOMI, A.M.F.L.J. Investigation of uncertainties associated with the production of n-butanol through ethanol catalysis in sugarcane biorefineries. **Bioresource Technology**, v. 190, p. 242-250, 2015. - Fator de Impacto em 2014: 4,494
61. CAETANO-SILVA, M. E.; BERTHOLDO-PACHECO, M. T.; PAES LEME, A. F.; NETTO, F. M. Iron-binding peptides from whey protein hydrolysates: Evaluation, isolation and sequencing by LC-MS/MS. **Food Research International**, v. 71, n. 132-139, 2015. Fator de Impacto em 2014: 2,818
62. PEREIRA, L. G.; CHAGAS, M. F.; DIAS, M. O. S.; CAVALETTO, O.; BONOMI, A.M.F.L.J. Life cycle assessment of butanol production in sugarcane biorefineries in Brazil. **Journal of Cleaner Production**, v. 96, p. 557-568, 2015. - Fator de Impacto em 2014: 3,844

63. SILVA, L. L.; GALEMBECK, F. Morphology of latex and nanocomposite adsorbents prepared by freeze-casting. **Journal of Materials Chemistry A**, v. 3, n. 14, p. 7263-7272, 2015. - Fator de Impacto em 2014: 7,443
64. ASSIS, L. J.; RIES, L. N. A.; SAVOLDI, M.; DINAMARCO, T. M.; GOLDMAN, G. H.; BROWN, N. A. Multiple phosphatases regulate carbon source-dependent germination and primary metabolism in *Aspergillus nidulans*. **G3-Genes Genomes Genetics**, v. 5, n. 5, p. 857-872, 2015. - Fator de Impacto em 2014: 3,198
65. ROLIM, G. K.; GOBBI, A. L.; SOARES, G. V.; RADTKE, C. Oxygen transport and incorporation in Pt/HfO₂ stacks deposited on germanium and silicon. **Journal of Physical Chemistry C**, v. 119, n. 8, p. 4079-4084, 2015. - Fator de Impacto em 2014: 4,772
66. FURTADO, G. P.; SANTOS, C. R.; CORDEIRO, R. L.; RIBEIRO, L. F.; MORAES, L. A. B.; DAMÁSIO, A. R. DE L.; POLIZELI, M. DE L. T. M.; LOURENZONI, M. R.; MURAKAMI, M. T.; WARD, R. J. Enhanced xyloglucan-specific endo-β-1,4-glucanase efficiency in an engineered CBM44-XegA chimera. **Applied Microbiology and Biotechnology**, v. 99, n. 12, p. 5095-5107, 2015. - Fator de Impacto em 2014: 3,337
67. DA SILVA, I. T. G.; OLIVEIRA, P. S. L.; SANTOS, G. M. Featuring the nucleosome surface as a therapeutic target. **Trends Pharmacological Sciences**, v. 36, n. 5, p. 263-269, 2015. - Fator de Impacto em 2014: 11,539
68. DRIEMEIER, C. E.; MENDES, F. M.; LING, L. Y. Hydrated fractions of cellulosics probed by infrared spectroscopy coupled with dynamics of deuterium exchange. **Carbohydrate Polymers**, v. 127, p. 152-159, 2015. - Fator de Impacto em 2014: 4,074
69. MACHADO, C. B.; CITADINI, A. P.; GOLDBECK, R.; DE LIMA, E. A.; FIGUEIREDO, F. L.; DA SILVA, T. M.; HOFFMAM, Z. B.; DE SOUSA, A. S.; SQUINA, F. M.; POLIZELI, M. DE L. T. M.; RULLER, R.; WARD, R. J. Increased biomass saccharification by supplementation of a commercial enzyme cocktail with endo-arabinanase from *Bacillus licheniformis*. **Biotechnology Letters**, v. 37, n. 7, p. 1455-1462, 2015. - Fator de Impacto em 2014: 1,591
70. BORIN, G. P.; SANCHEZ, C. C.; SOUZA, A. P.; SANTANA, E. S.; PAES LEME, A. F.; SOUZA, A. T.; SQUINA, F. M.; BUCKERIDGE, M. S.; GOLDMAN, G. H.; OLIVEIRA, J. V. DE C. Comparative secretome analysis of *Trichoderma reesei* and *Aspergillus niger* during growth on sugarcane biomass. **PloS One**, v. 10, n. 6, p. e0129275, 2015. - Fator de Impacto em 2014: 3,234
71. FRAGA, M.; BRUXEL, F.; DIEL, D.; CARVALHO, T. G.; PÉREZ, C. A.; MAGALHÃES-PANIAGO, R.; MALACHIAS, A.; OLIVEIRA, M. C.; MATTE, U.; TEIXEIRA, H. F. PEGylated cationic nanoemulsions can efficiently bind and transfect pIDUA in a mucopolysaccharidosis type I murine model. **Journal of Controlled Release**, v. 209, p. 37-46, 2015. - Fator de Impacto em 2014: 7,705
72. MIQUELES, E. X.; PÉREZ, C. A.; SUAREZ, V.; VESCOVI, R. F. C. Grazing-incidence XRF analysis of layered samples: detailed study of amplitude calculation. **Computer Physics Communications**, v. 194, p. 33-42, 2015. - Fator de Impacto em 2014: 3,112

73. SANTOS, C. R.; CORDEIRO, R. DE C. L.; WONG, D. W. S.; MURAKAMI, M. T. Structural basis for xyloglucan specificity and α -D-Xylp(1 \rightarrow 6)-D-GlcP recognition at the-1 subsite within the GH5 family. **Biochemistry**, v. 54, n. 10, p. 1930-1942, 2015. - Fator de Impacto em 2014: 3,015
74. DELLA LUCIA, F.; ZAMBROZI JR., P.; FRAZATTO, F.; PIAZZETTA, M. H. O.; GOBBI, A. L. Design, fabrication and characterization of SAW pressure sensors for offshore oil and gas exploration. **Sensors and Actuators A**, v. 222, p. 322-328, 2015. - Fator de Impacto em 2014: 1,903
75. EMWAS, A.-H.; LUCHINAT, C.; TURANO, P.; TENORI, L.; ROY, R.; SALEK, R. M.; RYAN, D.; MERZABAN, J. S.; KADDURAH-DAOUK, R.; ZERI, A. C. DE M.; NAGANA GOWDA, G. A.; RAFTERY, D.; WANG, Y.; BRENNAN, L.; WISHART, D. S. Standardizing the experimental conditions for using urine in NMR-based metabolomic studies with a particular focus on diagnostic studies: a review. **Metabolomics**, v. 11, p. 872-894, 2015. - Fator de Impacto em 2014: 3,855
76. SUÁREZ-GÓMEZ, A.; FIGUEROA, S. J. A.; LAMAS, D. G.; CEZAR, J. C. A crystallization and structural study of the compound $Pb_2V_2O_7$ synthesized by a facile sol-gel-based chemical route. **Journal of Sol-Gel Science and Technology**, v. 75, p. 291-297, 2015. - Fator de Impacto em 2014: 1,532
77. FERREIRA, D. C. M.; GIORDANO, G. F.; SOARES, C. C. S. P.; OLIVEIRA, J. F. A.; MENDES, R. K.; PIAZZETTA, M. H. O.; GOBBI, A. L.; CARDOSO, M. B. Optical paper-based sensor for ascorbic acid quantification using silver nanoparticles. **Talanta**, v. 141, p. 188-194, 2015. - Fator de Impacto em 2014: 3,545
78. SILVA, S. F. C.; LANZONI, E. M.; MALACHIAS, A.; DENEKE, C. Overgrowth of wrinkled InGaAs membranes using molecular beam epitaxy. **Journal of Crystal Growth**, v. 425, p. 39-42, 2015. - Fator de Impacto em 2014: 1,698
79. MARTINS, L. H. S.; RABELO, S. C.; COSTA, A. C. Effects of the pretreatment method on high solids enzymatic hydrolysis and ethanol fermentation of the cellulosic fraction of sugarcane bagasse. **Bioresource Technology**, v. 191, p. 312-321, 2015. - Fator de Impacto em 2014: 4,494
80. VEIGA, L. S. I.; FABBRIS, G.; VAN VEENENDAAL, M.; SOUZA NETO, N. M.; FENG, H. L.; YAMAURA, K.; HASKEL, D. Fragility of ferromagnetic double exchange interactions and pressure tuning of magnetism in 3d-5d double perovskite Sr_2FeOsO_6 . **Physical Review B**, v. 91, n. 31, p. 235135, 2015. - Fator de Impacto em 2014: 3,736
81. BARCELOS, I. D.; CADORE, A. R.; CAMPOS, L. C.; MALACHIAS, A.; WATANABE, K.; TANIGUCHI, T.; MAIA, F. C. B.; FREITAS, R. O.; DENEKE, C. Graphene/h-BN plasmon-phonon coupling and plasmon delocalization observed by infrared nano-spectroscopy. **Nanoscale**, v. 7, p. 11620-11625, 2015. - Fator de Impacto em 2014: 7,394
82. CARVALHO, J. M. P.; TONIAZZO, T.; CAVALCANTI, L. P.; MORAES, I. C. F.; OLIVEIRA, C. L.; PINHO, S. C. Physico-chemical stability and structural characterization of thickened multilamellar beta-carotene-loaded liposome dispersions produced using a proliposome method. **Colloid Polymer Science**, v. 293, p. 2171-2179, 2015. - Fator de Impacto em 2014: 1,865
83. AFANASYEV, P.; RAVELLI, R. B. G.; MATADEEN, R.; DE CARLO, S.; VAN DUINEN, G.; ALEWIJNSE, B.; PETERS, P. J.; ABRAHAMS, J.-P.; PORTUGAL, R. V.; SCHATZ, M.; VAN HEEL, M. A posteriori correction of camera characteristics from large image data sets. **Scientific Reports**, v. 5, p. 10317, 2015. - Fator de Impacto em 2014: 5,578

84. MAIA, F. C. B.; SAMAD, R. E.; BETTINI, J.; FREITAS, R. O.; VIEIRA JR., N. D.; SOUZA NETO, N. M. Synthesis of diamond-like phase from graphite by ultrafast laser driven dynamical compression. **Scientific Reports**, v. 5, p. 11812, 2015. - Fator de Impacto em 2014: **5,578**
85. MARINE, M.; BOM, V. L. P.; CASTRO, P. A.; WINKELSTRÖTER, L. K.; RAMALHO, L. N. Z.; BROWN, N. A.; GOLDMAN, G. H. The development of animal infection models and antifungal efficacy assays against clinical isolates of *Trichosporon asahii*, *T. asteroides* and *T. inkin*. **Virulence**, v. 6, n. 5, p. 476-486, 2015. - Fator de Impacto em 2014: 4,216
86. WINKELSTRÖTER, L. K.; DOLAN, S.K.; DOS REIS, T. F.; BOM, V. L. P.; DE CASTRO, P. A.; HAGIWARA, D.; ALOWNI, R.; JONES, G. W.; DOYLE, S.; BROWN, N. A.; GOLDMAN, G. H. Systematic global analysis of genes encoding protein phosphatases in *Aspergillus fumigatus*. **G3-Genes Genomes Genetics**, v. 5, n. 7, p. 1525-1539, 2015. - Fator de Impacto em 2014: 3,198
87. MARIÑO, M. A.; FREITAS, S.; MIRANDA, E. A. Ethanol precipitation of glycosyl hydrolases produced by *Trichoderma harzianum* P49P11. **Brazilian Journal of Chemical Engineering**, v. 32, n. 2, p. 325-333, 2015. - Fator de Impacto em 2014: 1,043
88. SILVA, H. F. O.; LIMA, K. M. G.; CARDOSO, M. B.; OLIVEIRA, J. F. A.; MELO, M. C. N.; SANT'ANNA, C.; EUGÊNIO, M.; GASPAROTTO, L. H. S. Doxycycline conjugated with polyvinylpyrrolidone-encapsulated silver nanoparticles: a polymer's malevolent touch against *Escherichia coli*. **RSC Advances**, v. 5, n. 82, p. 66886-66893, 2015. - Fator de Impacto em 2014: 3,84
89. FERRAZ JR., A. D. N.; ETCHEBEHERE, C.; ZAIAT, M. Mesophilic hydrogen production in acidogenic packed-bed reactors (APBR) using raw sugarcane vinasse as substrate: Influence of support materials. **Anaerobe**, v. 34, p. 94-105, 2015 - Fator de Impacto em 2014: 2,479
90. DIOGO, J. A.; ZANPHORLIN, L. M.; SATO, H. H.; MURAKAMI, M. T.; RULLER, R. Molecular cloning, overexpression, purification and crystallographic analysis of a GH43-xylosidase from *Bacillus licheniformis*. **Acta Crystallographica F**, v. F71, n. 8, p. 962-965, 2015. - Fator de Impacto em 2014: 0,527
91. MARINE, M.; BROWN, N. A.; RIAÑO-PACHÓN, D. M.; GOLDMAN, G. H. On and under the skin: emerging basidiomycetous yeast infections caused by trichosporon species. **PLoS Pathogens**, v. 11, n. 7, p. e1004982, 2015. - Fator de Impacto em 2014: 7,562
92. LIMA, R. S.; LEÃO, P. A. G. C.; PIAZZETTA, M. H. O.; MONTEIRO, A. M.; SHIROMA, L. Y.; GOBBI, A. L.; CARRILHO, E. Sacrificial adhesive bonding: a powerful method for fabrication of glass microchips. **Scientific Reports**, v. 5, p. 13276, 2015. - Fator de Impacto em 2014: **5,578**
93. DOMINGUES, M. N.; SFORÇA, M. L.; SOPRANO, A. S.; LEE, J.; SOUZA, T.A.C.B.; CASSAGO, A.; PORTUGAL, R. V.; ZERI, A. C. DE M.; MURAKAMI, M. T.; SADANANDOM, A.; OLIVEIRA, P. S. L.; BENEDETTI, C. E. Structure and mechanism of dimer-monomer transition of a plant poly(a)-binding protein upon rna interaction: insights into its poly(a) tail assembly. **Journal of Molecular Biology**, v. 427, n. 15, p. 2491-2506, 2015. - Fator de Impacto em 2014: 3,959
94. BOM, V. L. P.; CASTRO, P. A.; WINKELSTRÖTER, L. K.; MARINE, M.; HORI, C. E.; RAMALHO, L. N. Z.; REIS, T. F. DOS; GOLDMAN, M. H. S.; BROWN, N. A.; RAJENDRAN, R.; RAMAGE, G.; WALKER, L. A.; MUNRO, C. A.; ROCHA, M. C.; MALAVAZI, I.; HAGIWARA, D.; GOLDMAN, G. H. The *Aspergillus fumigatus* *pkcA* (G579R) mutant is defective in the activation of the cell wall integrity pathway but is dispensable for virulence in a neutropenic mouse infection model. **PloS One**, v.10, n.8, p. e0135195, 2015. - Fator de Impacto em 2014: 3,234

95. PULSCHEN, A. A.; RODRIGUES, F.; DUARTE, R. T. D.; ARAUJO, G. G.; SANTIAGO, I. F.; PAULINO-LIMA, I. G.; ROSA, C. A.; KATO, M. J.; PELLIZARI, V. H.; GALANTE, D. UV-resistant yeasts isolated from a high-altitude volcanic area on the Atacama Desert as eukaryotic models for astrobiology. **Microbiology Open**, v. 4, n. 4, p. 574-588, 2015. - Fator de Impacto em 2014: 2,213
96. FALA, A. M.; OLIVEIRA, J. F.; ADAMOSKI, D.; DIAS, M. M.; SFORÇA, M. L.; DIAS, M. V. B.; OLIVEIRA, P. S. L.; ROCCO, S. A.; CALDANA, C.; DIAS, S. M. G.; AMBROSIO, A. L. B. Unsaturated fatty acids as high-affinity ligands of the C-terminal Per-ARNT-Sim domain from the Hypoxia-inducible factor 3 α . **Scientific Reports**, v. 5, p. 12698, 2015. - Fator de Impacto em 2014: 5,578
97. ALVAREZ, T. M.; LIBERATO, M. V.; CAIRO, J. P. L. F.; PAIXÃO, D. A. A.; CAMPOS, B. M.; FERREIRA, M. R.; ALMEIDA, R. F.; PEREIRA, I. O.; BERNARDES, A.; MATSU, G. C. G.; CHINAGLIA, M.; POLIKARPOV, I.; OLIVEIRA NETO, M.; SQUINA, F. M. A novel member of gh16 family derived from sugarcane soil metagenome. **Applied Biochemistry and Biotechnology**, v. 177, n. 2, p. 304-317, 2015. - Fator de Impacto em 2014: 1,735
98. FERREIRA, E. S.; LANZONI, E. M.; COSTA, C. A. R.; DENEKE, C.; BERNARDES, J. S.; GALEMBECK, F. Adhesive and reinforcing properties of soluble cellulose: a repulpable adhesive for wet and dry cellulosic substrates. **ACS Applied Materials & Interfaces**, v. 7, n. 33, p. 18750-18758, 2015 - Fator de Impacto em 2014: 6,723
99. BOM, V. L. P.; CASTRO, P. A.; WINKELSTRÖTER, L. K.; MARINE, M.; HORI, J. I.; RAMALHO, L. N. Z.; REIS, T. F. DOS; GOLDMAN, M. H. S.; BROWN, N. A.; RAJENDRAN, R.; RAMAGE, G.; WALKER, L. A.; MUNRO, C. A.; ROCHA, M. C.; MALAVAZI, I.; HAGIWARA, D.; GOLDMAN, G. H. The *Aspergillus fumigatus* sitA phosphatase homologue is important for adhesion, cell wall integrity, biofilm formation, and virulence. **Eukaryotic Cell**, v. 14, n. 8, p. 728-744, 2015. - Fator de Impacto em 2014: 2,82
100. RIBEIRO, L. F.; NICHOLES, N.; TULLMAN, J.; FUZO, C. A.; RIBEIRO, L. F. C.; VIEIRA, D. S.; FURTADO, G. P.; OSTERMEIER, M.; WARD, R. J. Insertion of a xylanase in xylose binding protein results in a xylose-stimulated xylanase. **Biotechnology for Biofuels**, v. 8, p. 118, 2015. - Fator de Impacto em 2014: 6,221
101. BUFALLINO, A.; CERVIGNE, N. K.; OLIVEIRA, C. E.; FONSECA, F. P.; RODRIGUES, P. C.; MACEDO, C. C. S.; SOBRAL, L. M.; MIGUEL, M. C. C.; LOPES, M. A.; PAES LEME, A. F.; LAMBERT, D. W.; SALO, T.; KOWALSKI, L. P.; GRANER, E.; COLETTA, R. D. Low miR-143/miR-145 cluster levels induce activin a overexpression in oral squamous cell carcinomas, which contributes to poor prognosis. **PloS One**, v. 10, n. 8, p. e0136599, 2015. - Fator de Impacto em 2014: 3,234
102. DURÁN, N.; SILVEIRA, C. P.; DURÁN, M.; MARTINEZ, D. S. T. Silver nanoparticle protein corona and toxicity: a mini-review. **Journal of Nanobiotechnology**, v. 13, p. 55, 2015. - Fator de Impacto em 2014: 4,115
103. CHIKARA, S.; HASKEL, D.; SIM, J.-H.; KIM, J.-H.; CHEN, C.-C.; FABBRIS, G.; VEIGA, L. S. I.; SOUZA NETO, N. M.; TERZIC, J.; BUTROUNA, K.; CAO, G.; HAN, M. J.; VAN VEENENDAAL, M. $Sr_2Ir_{1-x}Rh_xO_4(x < 0.5)$: an inhomogeneous $j(\text{eff})=1/2$ Hubbard system. **Physical Review B**, v. 92, n. 8, p. 081114, 2015. - Fator de Impacto em 2014: 3,736
104. CORONADO, M. A.; ULLAH, A.; DA SILVA, L. S.; VUITIKA, L.; CHAIM, O. M.; VEIGA, S. S.; CHAVES-MOREIRA, D.; CHAHINE, J.; MURAKAMI, M. T.; ARNI, R. K. Structural insights into substrate

binding of brown spider venom class ii phospholipases D. **Current Protein & Peptide Science**, v. 16, n. 8, p. 768-774, 2015. - Fator de Impacto em 2014: 3,154

105. PIRES, M. J. M.; MACEDO, W. A. A.; CAVALCANTI, L. P.; CARVALHO, A. M. G. Characterization of Fe-Nb sputtered thin films. **Journal of Physics and Chemistry of Solids**, v. 86, p. 36-41, 2015. - Fator de Impacto em 2014: 1,853
106. ROCHA, G. J. M.; GONÇALVES, A. R.; NAKANISHI, S. C.; NASCIMENTO, V. M.; SILVA, V. F. N. Pilot scale steam explosion and diluted sulfuric acid pretreatments: Comparative study aiming the sugarcane bagasse saccharification. **Industrial Crops and Products**, v. 74, p. 810-816, 2015. - Fator de Impacto em 2014: 2,837
107. SHAIK, M. M.; LOMBARDI, C.; TRINDADE, D. M.; FENEL, D.; SCHNITZLER, M. C.; DI GUILMI, A. M.; DESSEN, A. A structural snap shot of type ii pilus formation in *Streptococcus pneumonia*. **Journal of Biological Chemistry**, v. 290, n. 37, p. 22581-22592, 2015. - Fator de Impacto em 2014: 4,573
108. LEAL, G. F.; RAMOS, L. A.; BARRETT, D. H.; CURVELO, A. A. S., RODELLA, C. B. A thermogravimetric analysis (TGA) method to determine the catalytic conversion of cellulose from carbon-supported hydrogenolysis process. **Thermochimica Acta**, v. 616, p. 9-13, 2015. - Fator de Impacto em 2014: 2,184
109. NOGUEIRA, M. L. C.; SFORÇA, M. L.; CHIN, Y. K. Y.; MOBLI, M.; HANDLER, A.; GORBATYUK, V. Y.; ROBSON, S. A.; KING, G. F.; GUEIROS FILHO, F. J.; ZERI, A. C. DE M. Backbone and side chain NMR assignments of geobacillus stearothermophilus ZapA allow identification of residues that mediate the interaction of ZapA with FtsZ. **Biomolecular NMR Assignments**, v. 9, n. 2, p. 387-391, 2015. - Fator de Impacto em 2014: 0,76
110. DRIEMEIER, C. E.; MENDES, F. M.; SANTUCCI, B. S.; PIMENTA, M. T. B. Cellulose co-crystallization and related phenomena occurring in hydrothermal treatment of sugarcane bagasse. **Cellulose**, v. 22, n. 4, p. 2183-2195, 2015. - Fator de Impacto em 2014: 3,573
111. SILVA, J. M. S.; ZANETTE, I.; NOEL, P. B.; CARDOSO, M. B.; KIMM, M. A.; PFEIFFER, F. Three-dimensional non-destructive soft-tissue visualization with X-ray staining micro-tomography. **Scientific Reports**, v. 5, n. 14088, 2015. - Fator de Impacto em 2014: 5,578
112. CARDOSO, T. F.; CHAGAS, M. F.; RIVERA, E. C.; CAVALETT, O.; MORAIS, E. R.; GERALDO, V. C.; BRAUNBECK, O. A.; CUNHA, M. P.; CORTEZ, L. A. B.; BONOMI, A.M.F.L.J. A vertical integration simplified model for straw recovery as feedstock in sugarcane biorefineries. **Biomass and Bioenergy**, v. 81, p. 216-223, 2015. - Fator de Impacto em 2014: 3,394
113. QUINES, L. K. M.; IENCZAK, J. L.; SCHMIDT, M.; ZANFONATO, K.; RODRIGUES, M. I.; SCHMIDELL, W.; ARAGÃO, G. M. F. Extraction of poly(3-hydroxybutyrate), produced by *Cupriavidus Necator*, with propylene carbonate. **Química Nova**, v. 38, n. 2, p. 214-220, 2015. - Fator de Impacto em 2014: 0,661
114. CARNEIRO, V. M. T.; TRIVELLA, D. B. B.; SCORSATO, V.; BERALDO, V. L.; DIAS, M. P.; SOBREIRA, T. J. P.; APARICIO, R.; PILLI, R. A. Is RK-682 a promiscuous enzyme inhibitor? Synthesis and in vitro evaluation of protein tyrosine phosphatase inhibition of racemic RK-682 and analogues. **European Journal of Medicinal Chemistry**, v. 96, p. 42-54, 2015. - Fator de Impacto em 2014: 3,447

115. WONG, D. W. S.; TAKEOKA, G.; CHAN, V. J.; LIAO, H.; MURAKAMI, M. T. Cloning of a novel feruloyl esterase from rumen microbial metagenome for substantial yield of mono- and diferulic acids from natural substrates. **Protein and Peptide Letters**, v. 22, n. 8, p. 681-688, 2015. - Fator de Impacto em 2014: 1,068
116. PITTHAN, E.; GOBBI, A. L.; BOUDINOV, H.; STEDILE, F. C. SiC nitridation by NH₃ annealing and its effects in MOS capacitors with deposited SiO₂ films. **Journal of Electronic Materials**, v. 44, n. 8, p. 2823-2828, 2015. - Fator de Impacto em 2014: 1,798
117. MORENO, Y. P.; CARDOSO, M. B.; MONCADA, E.; DOS SANTOS, J. H. Z. Correlating the morphological properties and structural organization of monodisperse spherical silica nanoparticles grown on a commercial silica surface. **ChemPhysChem**, v. 16, n. 14, p. 2981-2994, 2015. - Fator de Impacto em 2014: 3,419
118. MACHADO, D. L.; MOREIRA NETO, J.; PRADELLA, J. G. C.; BONOMI, A.M.F.L.J.; RABELO, S. C.; COSTA, A. C. Adsorption characteristics of cellulase and -glucosidase on avicel, pretreated sugarcane bagasse, and lignin. **Biotechnology and Applied Biochemistry**, v. 62, n. 5, p. 681-689, 2015. - Fator de Impacto em 2014: 1,362
119. CUNHA, J. G. DA; SHIROMA, L. Y.; GIORDANO, G. F.; COUTO, B. C.; CARVALHO, R. M.; GOBBI, A. L.; KUBOTA, L. T.; LIMA, R. S. Microemulsification-based method: analysis of monoethylene glycol in samples related to natural gas processing. **Energy & Fuels**, v. 29, n. 9, p. 5649-5654, 2015. - Fator de Impacto em 2014: 2,79
120. BROWN, N. A.; DOS REIS, T. F.; RIES, L. N. A.; CALDANA, C.; MAH, J. H.; YU, J. H.; MACDONALD, J. M.; GOLDMAN, G. H. G-protein coupled receptor-mediated nutrient sensing and developmental control in *Aspergillus nidulans*. **Molecular Microbiology**, v. 98, n. 3, p. 420-439, 2015. - Fator de Impacto em 2014: 4,419
121. SALOMÃO, F. C.; LANZONI, E. M.; COSTA, C. A.; DENEKE, C.; BARROS, E. B. Determination of high-frequency dielectric constant and surface potential of graphene oxide and influence of humidity by kelvin probe force microscopy. **Langmuir**, v. 31, n. 41, p. 11339-11343, 2015. - Fator de Impacto em 2014: 4,457
122. RIVERA, C.; WINCK, F. V.; RIBEIRO, A. C. P.; DOMINGUES, R. R.; LING, L. Y.; RIAÑO-PACHÓN, D. M.; BRANDÃO, T. B.; GOUVEA, A. F.; SANTOS-SILVA, A. R.; COLETTA, R. D.; PAES LEME, A. F. Insights into immune responses in oral cancer through proteomic analysis of saliva and salivary extracellular vesicles **Scientific Reports**, v. 5, p. 16305-16317, 2015. - Fator de Impacto em 2014: 5,578
123. GELAIN, L.; PRADELLA, J. G. C.; COSTA, A. C. Mathematical modeling of enzyme production using *Trichoderma harzianum* P49P11 and sugarcane bagasse as carbon source. **Bioresource Technology**, v. 198, p. 101-107, 2015. - Fator de Impacto em 2014: 4,494
124. MARTINEZ, D. S. T.; PAULA, A. J.; FONSECA, L. C.; LUNA, L. A. V.; SILVEIRA, C. P.; DURÁN, N.; ALVES, O. L. Monitoring the hemolytic effect of mesoporous silica nanoparticles after human blood protein corona formation. **European Journal of Inorganic Chemistry**, v. 27, p. 4595-4602, 2015. - Fator de Impacto em 2014: 2,942
125. DIAS, M. O. S.; MACIEL FILHO, R.; MANTELATTO, P. E.; CAVALETTO, O.; ROSSEL, C. E. V.; BONOMI, A.M.F.L.J.; LEAL, M. R. L. V. Sugarcane processing for ethanol and sugar in Brazil. **Environmental Development**, v. 15, p. 35-51, 2015. - Fator de Impacto em 2014: 0

126. MARIUTTI, R. B.; SOUZA, T.A.C.B.; ULLAH, A.; CARUSO, I. P.; MORAES, F. R. DE; ZANPHORLIN, L. M.; TARTAGLIA, N. R.; SEYFFERT, N.; AZEVEDO, V. A.; LE LOIR, Y.; MURAKAMI, M. T.; ARNI, R. K. Crystal structure of *Staphylococcus aureus* exfoliative toxin D-like protein: structural basis for the high specificity of exfoliative toxins. **Biochemical and Biophysical Research Communications**, v. 467, n. 1, p. 171-177, 2015. - Fator de Impacto em 2014: 2,297
127. GIORDANO, G. F.; SHIROMA, L. Y.; GOBBI, A. L.; KUBOTA, L. T.; LIMA, R. S. Microemulsification-based method: analysis of ethanol in fermentation broth of sugar cane. **Analytical Methods**, v. 7, n. 23, p. 10061-10066, 2015. - Fator de Impacto em 2014: 1,821
128. GOLLANY, H. T.; TITUS, B. D.; SCOTT, D. A.; ASBJORSEN, H.; RESH, S. C.; CHIMNER, R. A.; KACZMAREK, D. J.; LEITE, L. F. C.; FERREIRA, A. C. C.; ROD, K. A.; HILBERT, J.; GALDOS, M. V.; CISZ, M. E. Biogeochemical research priorities for sustainable biofuel and bioenergy feedstock production in the Americas. **Environmental Management**, v. 56, n. 6, p. 1330-1355, 2015. - Fator de Impacto em 2014: 1,724
129. PEREIRA, L. G.; DIAS, M. O. S.; MARIANO, A. P.; MACIEL FILHO, R.; BONOMI, A.M.F.L.J. Economic and environmental assessment of n-butanol production in an integrated first and second generation sugarcane biorefinery: fermentative versus catalytic routes. **Applied Energy**, v. 160, p. 120-131, 2015. - Fator de Impacto em 2014: 5,613
130. OLIVEIRA, C. S.; BETTINI, J.; SIGOLI, F. A.; MAZALI, I. O. Europium(III)-doped ZnO obtained by a hierarchically nanostructured multi layer growth strategy. **Crystal Growth & Design**, v. 15, n. 11, p. 5246-5253, 2015. - Fator de Impacto em 2014: 4,891
131. REZENDE, C. A.; PELLEGRINI, V. O. A., SERPA, V. I., GODOY, A. S., CAMILO, C. M., BERNARDES, A.; PEREIRA JR., N.; CAIRO, J. P. L. F.; SQUINA, F. M.; POLIKARPOV, I. Recombinant *Trichoderma harzianum* endoglucanase I (Cel7B) is a highly acidic and promiscuous carbohydrate-active enzyme. **Applied Microbiology and Biotechnology**, v. 99, n. 22, p. 9591-9604, 2015. - Fator de Impacto em 2014: 3,337
132. ULLAH, A.; MARIUTTI, R. B.; MASOOD, R.; CARUSO, I. P.; COSTA, G. H. G.; FREITAS, C. M. DE; SANTOS, C. R.; ZANPHORLIN, L. M.; MUTTON, M. J. R.; MURAKAMI, M. T.; ARNI, R. K. Crystal structure of mature 2S albumin from *Moringa oleifera* seeds. **Biochemical and Biophysical Research Communications**, v. 468, n. 1-2, p. 365-371, 2015. - Fator de Impacto em 2014: 2,297
133. SANTUCCI, B. S.; MAZIERO, P.; RABELO, S. C.; CURVELO, A. A. S.; PIMENTA, M. T. B. Autohydrolysis of hemicelluloses from sugarcane bagasse during hydrothermal pretreatment: a kinetic assessment. **BioEnergy Research**, v. 8, n. 4, p. 1778-1787, 2015. - Fator de Impacto em 2014: 3,541
134. STANIC, V.; BETTINI, J.; MONTORO, F. E.; STEIN, A.; EVANS-LUTTERODT, K. Local structure of human hair spatially resolved by sub-micron X-ray beam. **Scientific Reports**, v. 5, p. 17347, 2015. - Fator de Impacto em 2014: 5,578
135. SILVA, A. G. M. DA; RODRIGUES, T. S.; SLATER, T. J. A.; LEWIS, E. A.; ALVES, R. S.; FAJARDO, H. V.; BALZER, R.; SILVA, A. H. M. DA; FREITAS, I. C.; OLIVEIRA, D. C.; ASSAF, J. M.; PROBST, L. F. D.; HAIGH, S. J.; CAMARGO, P. H. C. Controlling size, morphology, and surface composition of agau nanodendrites in 15 s for improved environmental catalysis under low metal loadings. **ACS Applied Materials & Interfaces**, v. 7, n. 46, p. 25624-25632, 2015. - Fator de Impacto em 2014: 6,723

136. VIEIRA, P. S.; GIUSEPPE, P. O.; OLIVEIRA, A. H. C.; MURAKAMI, M. T. The role of the C-terminus and Kpn loop in the quaternary structure stability of nucleoside diphosphate kinase from *Leishmania parasites*. **Journal of Structural Biology**, v. 192, n. 3, p. 336-341, 2015 - Fator de Impacto em 2014: 3,231
137. NOVAES, L. F. T.; AVILA, C. M.; PELIZZARO-ROCHA, K. J.; VENDRAMINI-COSTA, D. B.; DIAS, M. P.; TRIVELLA, D. B. B.; DE CARVALHO, J. E.; FERREIRA-HALDER, C. V.; PILLI, R. A. (-)-Tarchonanthuslactone: design of new analogues, evaluation of their antiproliferative activity on cancer cell lines, and preliminary mechanistic studies. **ChemMedChem**, v. 10, n. 10, p.1687-1699, 2015. - Fator de Impacto em 2014: 2,968
138. LEAL, C. V.; MARTINEZ, D. S. T.; ESPOSITO, A. R.; MÁS, B. A.; MORAES, A. C. M.; ALVES, O. L.; DUEK, E. A. R. Characterization and in vitro evaluation of poly (l-lactic acid) and purified multiwalled carbon nanotubes nanocomposites. **Química Nova**, v. 38, n. 9, p. 1153-1161, 2015. - Fator de Impacto em 2014: 0,661 (6728)
139. NISTA, S. V. G.; BETTINI, J.; MEI, L. H. I. Coaxial nanofibers of chitosan-alginate-PEO polycomplex obtained by electrospinning. **Carbohydrate Polymers**, v. 127, p. 22-228, 2015. - Fator de Impacto em 2014: 4,074
140. FRANCO, H. C. J.; OTTO, R.; VITTI, A. C.; FARONI, C. E.; OLIVEIRA, E. C. A.; FORTES, C.; FERREIRA, D. A.; KOLN, O. T.; GARSIDE, A. L.; TRIVELIN, P. C. O. Residual recovery and yield performance of nitrogen fertilizer applied at sugarcane planting. **Scientia Agricola**, v. 72, n. 6, p. 528-534, 2015. - Fator de Impacto em 2014: 0,809
141. OLIVEIRA, M. M.; DRIEMEIER, C. E.; CURVELO, A. A. S. Changes in nanoscale porosity by wet pressing pulps from sugarcane bagasse. **BioResources**, v. 10, n. 4, p. 8518-8527, 2015. - Fator de Impacto em 2014: 1,425
142. RODRIGUEZ FERNANDEZ, J.; RAMIREZ, A. J. Microstructural characterisation of friction stir welding joints of mild steel to Ni-based alloy 625. **Materials Characterization**, v. 110, p. 126-135, 2015. - Fator de Impacto em 2014: 1,845

2015

Artigos Publicados por Beneficiários Externos

1. POSSATO, L. G.; CASSINELLI, W. H.; GARETTO, T. F.; PULCINELLI, S. H.; SANTILLI, C. V.; MARTINS, L. One-step glycerol oxidehydration to acrylic acid on multifunctional zeolite catalysts. **Applied Catalysis A**, v. 492, p. 243-251, 2015. - Fator de Impacto em 2014: 3,942
2. OYAFUSO, M. H.; CARVALHO, F. C.; CHIAVACCI, L. A.; GREMIÃO, M. P. D.; CHORILLI, M. Design and characterization of silicone and surfactant based systems for topical drug delivery. **Journal of Nanoscience and Nanotechnology**, v. 15, n. 1 p. 817-826, 2015. - Fator de Impacto em 2014: 1,556

3. ZANIN, H.; CERAGIOLI, H. J.; PETERLEVITZ, A. C.; BARANAUSKAS, V.; MARCIANO, F. R.; LOBO, A. O. Field emission properties of the graphenated carbon nanotube electrode. **Applied Surface Science**, v. 324, p. 174-178, 2015. - Fator de Impacto em 2014: 2,711
4. POLETO, F. S.; OLIVEIRA, C. P.; WENDER, H.; REGENT, D.; DONIDA, B.; TEIXEIRA, S. R.; GUTERRES, S. S.; ROSSI-BERGMANN, B.; POHLMANN, A. R. How sorbitan monostearate can increase drug-loading capacity of lipid-core polymeric nanocapsules. **Journal of Nanoscience and Nanotechnology**, v. 15, n. 1, p. 827-837, 2015. - Fator de Impacto em 2014: 1,556
5. RESENDE, K. A.; ÁVILA-NETO, C. N.; RABELO NETO, R. C.; NORONHA, F. B.; HORI, C. E. Hydrogen production by reforming of acetic acid using La-Ni type Peroyskites partially substituted with Sm and Pr. **Catalysis Today**, v. 242, p. 71-79, 2015. - Fator de Impacto em 2014: 3,893
6. ZANIN, H.; MAY, P. W.; HARNIMAN, R. L.; RISBRIDGER, T.; CORAT, E. J.; FERMIN, D. J. High surface area diamond-like carbon electrodes grown on vertically aligned carbon nanotubes. **Carbon**, v. 82, p. 288- 9296, 2015. - Fator de Impacto em 2014: 6,196
7. CAPPELLARI, P. S.; BUCETA, D.; MORALES, G. M.; BARBERO, C. A.; MORENO, M. S.; GIOVANETTI, L. J.; RAMALLO-LÓPEZ, J. M.; REQUEJO, F. G.; CRAIEVICH, A. F.; PLANES, G. A. Synthesis of ultra-small cysteine-capped gold nanoparticles by pH switching of the Au(I)-cysteine polymer. **Journal of Colloid and Interface Science**, v. 44, p. 17-24, 2015. - Fator de Impacto em 2014: 3,368
8. RIBEIRO, M. M.; TEIXEIRA, G. S.; MARQUES, M. R.; SOUZA, A. P.; LINE, S. R. P. G-quadruplex formation enhances splicing efficiency of PAX9 intron 1. **Human Genetic**, v. 134, n. 1, p. 37-44, 2015. - Fator de Impacto em 2014: 4,824
9. MUÑOZ, F. F.; ACUÑA, L. M.; ALBORNOZ, C. A.; LEYVA, A. G.; BAKER, R. T.; FUENTES, R. O. Redox properties of nanostructured lanthanide-doped ceria spheres prepared by microwave assisted hydrothermal homogeneous co-precipitation. **Nanoscale**, v. 7, n. 1, p. 271-281, 2015. - Fator de Impacto em 2014: 7,394
10. BARBERO, G. F.; SANTOS, P.; AGUIAR, A. C.; REZENDE, C. A.; MARTINEZ, J. Supercritical carbon dioxide extraction of capsaicinoids from malagueta pepper (*Capsicum frutescens* L.) assisted by ultrasound. **Ultrasonics Sonochemistry**, v. 22, p. 78-88, 2015. - Fator de Impacto em 2014: 4,321
11. SERAPHIM, T. V.; GAVA, L. M.; MOKRY, D. Z.; CAGLIARI, T. C.; BARBOSA, L. R. S.; RAMOS, C. H. I.; BORGES, J. C. The C-terminal region of the human p23 chaperone modulates its structure and function. **Archives of Biochemistry and Biophysics**, v. 565, p. 57-67, 2015. - Fator de Impacto em 2014: 3,017
12. LIMA, T. A. R. M.; BRITO, N. S.; PEIXOTO, J. A.; VALERIO, M. E. G. The incorporation of chromium (III) into hydroxyapatite crystals. **Materials Letters**, v. 140, p. 187-191, 2015. - Fator de Impacto em 2014: 2,489
13. ROCHA, B. A. M.; BARROSO-NETO, I. L.; TEIXEIRA, C. S.; PIRES, A. F.; SOUZA, L. A. G.; NASCIMENTO, K. S.; SAMPAIO, A. H.; DELATORRE, P.; ASSREUY, A. M. S.; CAVADA, B. S. CRLI induces vascular smooth muscle relaxation and suggests a dual mechanism of eNOS activation by legume lectins via muscarinic receptors and shear stress. **Archives of Biochemistry and Biophysics**, v. 565, p. 32-39, 2015. - Fator de Impacto em 2014: 3,017

14. SILVA, K. T.; OLIVEIRA-CASTRO, R. A.; RODRIGUES, V. C.; LIMA, W. G.; RODRIGUES, C. V.; CASTRO-BORGES, W.; ANDRADE, M. H. G. DBT- and DBTO₂-induced dysplasia and their associated proteomic alterations in the small intestines of wistar rats. **Journal of Proteome Research**, v. 14, n. 1, p. 386-396, 2015 - Fator de Impacto em 2014: 4,245
15. CUCATTI, S.; OCHOA, E. A.; MORALES, M.; DROPPA JR., R.; GARCIA, J.; PINTO, H. C.; ZAGONEL, L. F.; WISNIVESKY, D.; FIGUEROA, C. A.; ALVAREZ, F. Effect of bombarding steel with Xe⁺ ions on the surface nanostructure and on pulsed plasma nitriding process. **Materials Chemistry and Physics**, v. 149-150, p. 261-269, 2015. - Fator de Impacto em 2014: 2,259
16. JACOB, J. M.; CORRADINI, P. G.; ANTOLINI, E.; SANTOS, N. A.; PEREZ, J. Electro-oxidation of ethanol on ternary Pt-Sn-Ce/C catalysts. **Applied Catalysis B**, v. 165, p. 176-184, 2015 - Fator de Impacto em 2014: 7,435
17. MICHELETTO, Y. M. S.; SILVEIRA, N. P. DA; BARBOZA, D. M.; SANTOS, M. C. DOS; LIMA, V. R.; GIACOMELLI, F. C.; MARTINEZ, J. C. V.; FRIZON, T. E. A.; DAL BÓ, A. G. Investigation of self-association between new glycosurfactant N-acetyl-beta-D-glucosaminyl-PEG-docosanate and soybean phosphatidylcholine into vesicles. **Colloids and Surfaces A**, v. 467, p. 166-172, 2015. - Fator de Impacto em 2014: 2,752
18. PICCO, A.; KNOLL, W.; CEOLÍN, M. R.; AZZARONI, O. Mesophase transformation in amphiphilic hyperbranched polymers induced by transition metal ion complexation. Creating well-defined metallo-supramolecular assemblies from "Ill-Defined" building blocks. **ACS Macro Letters**, v. 4, n. 1, p. 94-100, 2015. - Fator de Impacto em 2014: 5,764
19. REZENDE, M. V. DOS S.; VALERIO, M. E. G.; JACKSON, R. A. Study of Eu₃₊ → Eu₂₊ reduction in BaAl₂O₄:Eu prepared in different gas atmospheres. **Materials Research Bulletin**, v. 61, p. 348-351, 2015. - Fator de Impacto em 2014: 2,288
20. MANAIA, E. M., KAMINSKI, R. C., OLIVEIRA, A. G. DE, CORRÊA, M. A., CHIAVACCI, L. A. Multifunction hexagonal liquid-crystal containing modified surface TiO₂ nanoparticles and terpinen-4-ol for controlled release. **International Journal of Nanomedicine**, v. 10, p. 811-819, 2015. - Fator de Impacto em 2014: 4,383
21. BERNARDI, M. I. B.; MESQUITA, A.; BÉRON, F.; PIROTA, K. R.; ZEVALLOS, A. O.; DORIGUETTO, A. C.; CARVALHO, H. B. The role of oxygen vacancies and their location in the magnetic properties of Ce_{1-x}Cu_xO_{2-Δ} nanorods. **Physical Chemistry Chemical Physics (PCCP)**, v. 17, n. 5, p. 3072-3080, 2015. - Fator de Impacto em 2014: 4,493
22. BATISTA, F. A. H.; ALMEIDA, G. S.; SERAPHIM, T. V.; SILVA, K. P.; MURTA, S. M. F.; BARBOSA, L. R. S.; BORGES, J. C. Identification of two p23 co-chaperone isoforms in *Leishmania braziliensis* exhibiting similar structures and Hsp90 interaction properties despite divergent stabilities. **FEBS Journal**, v. 282, n. 2, p. 388-406, 2015. - Fator de Impacto em 2014: 4,001
23. ESCOBAR, C. C.; FISCH, A. G.; SANTOS, J. H. Z. DOS. Effect of a sol-gel route on the preparation of silica-based sorbent materials synthesized by molecular imprinting for the adsorption of dyes. **Industrial & Engineering Chemistry Research**, v. 54, n. 1, p. 254-262, 2015. - Fator de Impacto em 2014: 2,587
24. CORRADINI, P. G.; ANTOLINI, E.; PEREZ, J. Electro-oxidation of ethanol on ternary non-alloyed Pt-Sn-Pr/C catalysts. **Journal of Power Sources**, v. 275, p. 377-383, 2015. - Fator de Impacto em 2014: 6,217

25. MIRANDA, B. C.; CHIMENTÃO, R. J.; SZANYI, J.; BRAGA, A. H.; SANTOS, J. B. O.; GISPERT-GUIRADO, F.; LLORCA, J.; MEDINA, F. Influence of copper on nickel-based catalysts in the conversion of glycerol. **Applied Catalysis B**, v. 166, p. 166-180, 2015. - Fator de Impacto em 2014: 7,435
26. TRINCA, R. B.; FELISBERTI, M. I. Segmented polyurethanes based on poly (L-lactide), poly (ethylene glycol) and poly(trimethylene carbonate): Physico-chemical properties and morphology. **European Polymer Journal**, v. 62, p. 77-86, 2015. - Fator de Impacto em 2014: 3,005
27. FITARONI, L. B.; LIMA, J. A. DE; CRUZ, S. A.; WALDMAN, W. R. Thermal stability of polypropylene-montmorillonite clay nanocomposites: limitation of the thermogravimetric analysis. **Polymer Degradation and Stability**, v. 111, p. 102-108, 2015. - Fator de Impacto em 2014: 3,163
28. LOPES, E. S. N.; CONTIERI, R. J.; BUTTON, S. T.; CARAM, R. Femoral hip stem prosthesis made of graded elastic modulus metastable β Ti alloy. **Materials & Design**, v. 69, p. 30-36, 2015. - Fator de Impacto em 2014: 3,501
29. ARINS, A. W.; JURCA, H. F.; ZARPELLON, J.; FICHTNER, P. F. P.; VARALDA, J.; SCHREINER, W. H.; MOSCA, D. H. Correlation between tetragonal zinc-blende structure and magnetocrystalline anisotropy of MnGa epilayers on GaAs(111). **Journal of Magnetism and Magnetic Materials**, v. 381, p. 83- 88, 2015. - Fator de Impacto em 2014: 1,97
30. VIANA, G. A.; MARQUES, F. C. Raman and thermal desorption spectroscopy analyses of amorphous graphite-like carbon films with incorporated xenon. **Vacuum**, v. 112, p. 17-24, 2015. - Fator de Impacto em 2014: 1,858
31. LÓPEZ, E. O.; ROSSI, A. L.; ARCHANJO, B. S.; OSPINA, R. O.; MELLO, A.; ROSSI, A. M. Crystalline nano-coatings of fluorine-substituted hydroxyapatite produced by magnetron sputtering with high plasma confinement. **Surface and Coatings Technology**, v. 264, p. 163-174, 2015. - Fator de Impacto em 2014: 1,998
32. CICCOTTI, L.; VALE, L. A. S.; HEWER, T. L. R.; FREIRE, R. S. $\text{Fe}_3\text{O}_4@\text{TiO}_2$ preparation and catalytic activity in heterogeneous photocatalytic and ozonation processes. **Catalysis Science & Technology**, v. 5, n. 2, p. 1143-1152, 2015. - Fator de Impacto em 2014: 5,426
33. VIOLI, I. L.; ZELCER, A.; BRUNO, M. M.; LUCA, V.; SOLER-ILLIA, G. J. A. A. Gold nanoparticles supported in zirconia-ceria mesoporous thin films: a highly active reusable heterogeneous nanocatalyst. **ACS Applied Materials & Interfaces**, v. 7, n. 2, p. 1114-1121, 2015. - Fator de Impacto em 2014: 6,723
34. SILVA, I. G. N.; RODRIGUES, L. C. V.; SOUZA, E. R.; KAI, J.; FELINTO, M. C. F. C.; HÖLSÄ, J.; BRITO, H. F.; MALTA, O. L. Low temperature synthesis and optical properties of the $\text{R}_2\text{O}_3:\text{Eu}_{3+}$ nanophosphors (R_{3+} : Y, Gd and Lu) using TMA complexes as precursors. **Optical Materials**, v. 40, p. 41-48, 2015 - Fator de Impacto em 2014: 1,981
35. MASTELARO, V. R.; FAVARIM, H. R.; MESQUITA, A.; MOSCOVICI, J.; MICHALOWICZ, A.; EIRAS, J. A. Local structure and hybridization states in $\text{Ba}_{0.9}\text{Ca}_{0.1}\text{Ti}_{1-x}\text{Zr}_x\text{O}_3$ ceramic compounds: correlation with a normal or relaxor ferroelectric character. **Acta Materialia**, v. 84, p. 164-171, 2015. - Fator de Impacto em 2014: 4,465
36. SIMIONI, M.; ARAUJO, T. K.; MONLLEO, I. L.; MAURER-MORELLI, C. V.; GIL-DA-SILVA-LOPES, V. L. Investigation of genetic factors underlying typical orofacial clefts: mutational screening and

copy number variation. **Journal of Human Genetic**, v. 60, n. 1, p. 17-25, 2015. - Fator de Impacto em 2014: 2,462

37. BAVA, Y. B.; MARTINEZ, Y. B.; BETANCOURT, A. M.; ERBEN, M. F.; CAVASSO-FILHO, R. L.; DELLA VÉDOVA, C. O.; ROMANO, R. M. Ionic fragmentation mechanisms of 2,2,2-trifluoroethanol following excitation with synchrotron radiation. **ChemPhysChem**, v. 16, n. 2, p. 322-330, 2015. - Fator de Impacto em 2014: 3,419
38. GONÇALVES, R. F.; CAVALCANTE, L. S.; NOGUEIRA, I. C.; LONGO, E.; GODINHO, M. J.; SCZANCOSKI, J. C.; MASTELARO, V. R.; PINATTI, I. M.; ROSA, I. L. V.; MARQUES, A. P. A. Rietveld refinement, cluster modelling, growth mechanism and photoluminescence properties of CaWO₄:Eu₃₊ microcrystals. **CrystEngComm**, v. 17, n. 7, p. 1654-1666, 2015. - Fator de Impacto em 2014: 4,034
39. SOUSA, C. P.; COUTINHO NETO, M. D.; LIBERATO, M. S.; KUBOTA, L. T.; ALVES, W. A. Self-assembly of peptide nanostructures onto an electrode surface for nonenzymatic oxygen sensing. **Journal of Physical Chemistry C**, v. 119, n. 2, p. 1038-1046, 2015. - Fator de Impacto em 2014: 4,772
40. CORNELSEN, P. A.; QUINTANILHA, R. C.; VIDOTTI, M.; GORIN, P. A. J.; SIMAS-TOSIN, F. F.; RIEGEL-VIDOTTI, I. C. Native and structurally modified gum arabic: exploring the effect of the gum's microstructure in obtaining electroactive nanoparticles. **Carbohydrate Polymers**, v. 119, p. 35-43, 2015. - Fator de Impacto em 2014: 4,074
41. HARB, S. V.; SANTOS, F. C. DOS; CAETANO, B. L.; PULCINELLI, S. H.; SANTILLI, C. V.; HAMMER, P. Structural properties of cerium doped siloxane-PMMA hybrid coatings with high anticorrosive performance. **RSC Advances**, v. 5, n. 20, p. 15414-15424, 2015. - Fator de Impacto em 2014: 3,84
42. ANDRIEU-BRUNSEN, A.; MICOUREAU, S.; TAGLIAZUCCHI, M.; SZLEIFER, I.; AZZARONI, O.; SOLER-ILLIA, G. J. A. A. Mesoporous hybrid thin film membranes with P-METAC@silica architectures: controlling ionic gating through the tuning of polyelectrolyte density. **Chemistry of Materials**, v. 27, n. 3, p. 808-821, 2015. - Fator de Impacto em 2014: 8,353
43. RODRIGUES, T. S., MACHADO, F., LALLI, P. M., EBERLIN, M. N., NETO, B. A. D. Styrene polymerization efficiently catalyzed by iron-containing imidazolium-based ionic liquids: reaction mechanism and enhanced ionic liquid effect. **Catalysis Communications**, v. 63, p. 66-73, 2015. - Fator de Impacto em 2014: 3,699
44. LÓPEZ, D.; ABE, I. Y.; PEREYRA, I. Temperature effect on the synthesis of carbon nanotubes and core-shell Ni nanoparticle by thermal CVD. **Diamond and Related Materials**, v. 52, p. 59-65, 2015. - Fator de Impacto em 2014: 1,919
45. LARA, L. R. S.; ZOTTIS, A. D.; ELIAS, W. C.; FAGGION JR., D.; CAMPOS, C. E. M.; ACUÑA, J. J. S.; DOMINGOS, J. B. The catalytic evaluation of in situ grown Pd nanoparticles on the surface of Fe₃O₄@dextran particles in the p-nitrophenol reduction reaction. **RSC Advances**, v. 5, n. 11, p. 8289-8296, 2015. - Fator de Impacto em 2014: 3,84
46. AVANSI JR., W.; MENDONÇA, V. R.; LOPES, O. F.; RIBEIRO, C. Vanadium pentoxide 1-D nanostructures applied to dye removal from aqueous systems by coupling adsorption and visible-light photodegradation **RSC Advances**, v. 5, n. 16, p. 12000-12006, 2015. - Fator de Impacto em 2014: 3,84

47. CATTO, A. C.; SILVA, L. F.; RIBEIRO, C.; BERNARDINI, S.; AGUIR, K.; LONGO, E.; MASTELARO, V. R. An easy method of preparing ozone gas sensors based on ZnO nanorods. **RSC Advances**, v. 5, n. 25, p. 19528-19533, 2015. - Fator de Impacto em 2014: 3,84
48. HECK, C. A.; SANTOS, J. H. Z. DOS; WOLF, C. R. Waterborne polyurethane: the effect of the addition or in situ formation of silica on mechanical properties and adhesion. **International Journal of Adhesion & Adhesives**, v. 58, p. 13-20, 2015. - Fator de Impacto em 2014: 1,773
49. MOREIRA, L. M.; FACINCANI, A. P.; FERREIRA, C. B.; FERREIRA, R. M.; FERRO, M. I. T.; GOZZO, F. C.; OLIVEIRA, J. C. F. DE; FERRO, J. A.; SOARES, M. R. Chemotactic signal transduction and phosphate metabolism as adaptive strategies during citrus canker induction by *Xanthomonas citri*. **Functional & Integrative Genomics**, v. 15, n. 2, p. 197-210, 2015. - Fator de Impacto em 2014: 2,479
50. JOANNI, E.; PERESSINOTTO, J.; DOMINGUES, P. S.; SETTI, G. O.; JESUS, D. P. Fabrication of molds for PDMS microfluidic devices by laser swelling of PMMA. **RSC Advances**, v. 5, n. 32, p. 25089-25096, 2015. - Fator de Impacto em 2014: 3,84
51. MARTINEZ, Y. B.; BAVA, Y. B.; ERBEN, M. F.; CAVASSO-FILHO, R. L.; ROMANO, R. M.; DELLA VÉDOVA, C. O. Photoexcitation, photoionization, and photofragmentation of $\text{CF}_3\text{CF}_2\text{CF}_2\text{C}(\text{O})\text{Cl}$ using synchrotron radiation between 13 and 720 eV. **Journal of Physical Chemistry A**, v. 119, n. 10, p. 1894-1905, 2015. - Fator de Impacto em 2014: 2,693
52. GUIMARÃES, L. C.; OLIVEIRA, C. F. R. DE; MARANGONI, S.; DE OLIVEIRA, D. G. L.; MACEDO, M. L. R. Purification and characterization of a kunitz inhibitor from *Poincianella pyramidalis* with insecticide activity against the mediterranean flour moth. **Pesticide Biochemistry and Physiology**, v. 118, p. 1-9, 2015. - Fator de Impacto em 2014: 2,014
53. DALFOVO, M. C.; GIOVANETTI, L. J.; RAMALLO-LÓPEZ, J. M.; SALVAREZZA, R. C.; REQUEJO, F. G.; IBAÑEZ, F. J. Real-time monitoring distance changes in surfactant-coated Au nanoparticle films upon volatile organic compounds (VOCs). **Journal of Physical Chemistry C**, v. 119, n. 9, p. 5098-5106, 2015. - Fator de Impacto em 2014: 4,772
54. DA SILVA, L. B. S.; SERRANO, G.; SERQUIS, A.; METZNER, V. C. V.; RODRIGUES JR., D. Study of TaB_2 and SiC additions on the properties of MgB_2 superconducting bulks. **Superconductor Science & Technology**, v. 28, n. 2, p. 025008, 2015. - Fator de Impacto em 2014: 2,325
55. LAGOS, M. J.; AUSTRETO, P. A. S.; BETTINI, J.; SATO, F.; DANTAS, S. O.; GALVAO, D. S.; UGARTE, D. M. Surface effects on the mechanical elongation of AuCu nanowires: De-alloying and the formation of mixed suspended atomic chains. **Journal of Applied Physics**, v. 117, n. 9, p. 094301, 2015. - Fator de Impacto em 2014: 2,183
56. ROZENFELD, J. H. K.; DUARTE, E. L.; BARBOSA, L. R. S.; LAMY, M. T. The effect of an oligonucleotide on the structure of cationic DODAB vesicles. **Physical Chemistry Chemical Physics (PCCP)**, v. 17, n. 11, p. 7498-7506, 2015. - Fator de Impacto em 2014: 4,493
57. SANTILLÁN, J. M. J.; VAN RAAP, M. B. F.; ZÉLIS, P. M.; CORAL, D. F.; MURACA, D.; SCHINCA, D. C.; SCAFFARDI, L. B. Ag nanoparticles formed by femtosecond pulse laser ablation in water: self-assembled fractal structures. **Journal of Nanoparticle Research**, v. 17, n. 2, p. 86-99, 2015. - Fator de Impacto em 2014: 2,184

58. SOUZA, D. P.; OKA, G. U.; ALVAREZ-MARTINEZ, C. E.; BISSON-FILHO, A. W.; DUNGER, G.; HOBEIKA, L.; CAVALCANTE, N. S.; ALEGRIA, M. C.; BARBOSA, L. R. S.; SALINAS, R. K.; GUZZO, C. R.; FARAH, C. S. Bacterial killing via a type IV secretion system. **Nature Communications**, v. 6, p. 6453, 2015. - Fator de Impacto em 2014: 11,47
59. BALZER, R.; PROBST, L. F. D.; CANTARERO, A.; LIMA JR., M.M.; BERNARDI, M. I. B.; AVANSI JR., W.; ARENAL, R.; FAJARDO, H. V. Ce_{1-x}Co_xO₂ nanorods prepared by microwave-assisted hydrothermal method: novel catalysts for removal of volatile organic compounds. **Science of Advanced Materials**, v. 7, n. 7, p. 1406-1414, 2015. - Fator de Impacto em 2014: 2,598
60. TEICHMANN, A.; VARGAS, D. M.; MONTEIRO, K. M.; MENEGHETTI, B. V.; DUTRA, C. S.; PAREDES, R.; GALANTI, N.; ZAHA, A.; FERREIRA, H. B. Characterization of 14-3-3 isoforms expressed in the *Echinococcus granulosus* pathogenic larval stage. **Journal of Proteome Research**, v. 14, n. 4, p. 1700-1715, 2015. - Fator de Impacto em 2014: 4,245
61. NASCIMENTO, G. M. DO; PIM, W. D.; REIS, D. O.; SIMÕES, T. R. G.; PRADIE, N. A.; STUMPF, H. O. Characterization of compounds derived from copper-oxamate and imidazolium by X-ray absorption and vibrational spectroscopies. **Spectrochimica Acta A**, v. 142, p. 303-310, 2015. - Fator de Impacto em 2014: 2,353
62. MARQUES, T. T.; SHIROMA, L. S.; JESUS, D. P. Determination of tetrakis (hydroxymethyl) phosphonium sulfate in commercial formulations and cooling water by capillary electrophoresis with contactless conductivity detection. **Journal of Separation Science**, v. 38, n. 5, p. 852-857, 2015. - Fator de Impacto em 2014: 2,737
63. KELLERMANN, G.; GORGESKI, A.; CRAIEVICH, A.; MONTORO, L. A. Determination of the melting and freezing temperatures of Pb nanoparticles embedded in a PbO-B₂O₃.SnO₂ glass by using only the SAXS method. **Journal of Applied Crystallography**, v. 48, n. 2, p. 520-527, 2015. - Fator de Impacto em 2014: 3,72
64. FARIAS, A. M.; SANDRINI, M.; VIANA, J. R. M.; BAESSO, M. L.; BENTO, A. C.; ROHLING, J. H.; GUYOT, Y.; LIGNY, D. DE; NUNES, L. A. O.; GANDRA, F. C. G.; SAMPAIO, J. A.; LIMA, S. M.; ANDRADE, L. H. C.; MEDINA, A. N. Emission tunability and local environment in europium-doped OH--free calcium aluminosilicate glasses for artificial lighting applications. **Materials Chemistry and Physics**, v. 156, p. 214-219, 2015. - Fator de Impacto em 2014: 2,259
65. MORAIS, A.; ALVES, J. P. C.; LIMA, F. A. S.; LIRA-CANTU, M.; NOGUEIRA, A. F. Enhanced photovoltaic performance of inverted hybrid bulk-heterojunction solar cells using TiO₂/reduced graphene oxide films as electron transport layers. **Journal of Photonics for Energy**, v. 5, p. 057408, 2015. - Fator de Impacto em 2014: 1,366
66. MOREJON-ALONSO, L.; MOTISUKE, M.; CORREA, J. R.; CARRODEGUAS, R. G.; SANTOS, L. A. In situ Synchrotron X-ray powder diffraction study of the early hydration of α -tricalcium phosphate/tricalcium silicate composite bone cement. **Materials Research**, v. 18, n. 1, p. 164-169, 2015. - Fator de Impacto em 2014: 0
67. NIGOHOSSIAN, K.; SANTOS, M. V.; BARUD, H. S.; SILVA, R. R.; ROCHA, L. A.; CAIUT, J. M. A.; ASSUNÇÃO, R. M. N.; SPANHEL, L.; POULAIN, M.; MESSADDEQ, Y.; RIBEIRO, S. J. L. Orange pectin mediated growth and stability of aqueous gold and silver nanocolloids. **Applied Surface Science**, v. 341, p. 28-36, 2015. - Fator de Impacto em 2014: 2,711

68. ALEXANDRE, F.; ZAGO, V. H. S.; PANZOLDO, N. B.; PARRA, E. R.; SCHERRER, D. Z.; VENDRAME, F.; NUNES, V. S.; GOMES, E. I. L.; MARCATO, P. D.; NAKANDAKARE, E. R.; QUINTÃO, E. C. R.; FARIA, E. C. Reference values for high-density lipoprotein particle size and volume by dynamic light scattering in a brazilian population sample and their relationships with metabolic parameters. **Clinica Chimica Acta**, v. 442, p. 63-72, 2015. - Fator de Impacto em 2014: 2,824
69. JANISSEN, R.; MURILLO, D. M.; NIZA, B.; SAHOO, P. K.; NOBREGA, M. M.; CESAR, C. L.; TEMPERINI, M. L. A.; CARVALHO, H. F.; SOUZA, A. A.; COTTA, M. A. Spatio temporal distribution of different extracellular polymeric substances and filamentation mediate *Xylella fastidiosa* adhesion and biofilm formation. **Scientific Reports**, v. 5, p. 9856, 2015. - Fator de Impacto em 2014: 5,578
70. SANTOS, E. B.; MADALOSSI, N. V.; SIGOLI, F. A.; MAZALI, I. O. Silver nanoparticles: green synthesis, self-assembled nanostructures and their application as SERS substrates. **New Journal of Chemistry**, v.39, n. 4, p. 2839-2846, 2015. - Fator de Impacto em 2014: 3,086
71. RANGEL, T. C.; MICHELS, A. F.; HOROWITZ, F.; WEIBEL, D. E. Superomniphobic and easily repairable coatings on copper substrates based on simple immersion or spray processes. **Langmuir**, v. 31, n. 11, p. 3465-3472, 2015. - Fator de Impacto em 2014: 4,457
72. FRANCO, D. F.; SANT'ANA, A. C.; DE OLIVEIRA, L. F. C.; SILVA, M. A. P. The Sb_2O_3 redox route to obtain copper nanoparticles in glasses with plasmonic properties. **Journal of Materials Chemistry C**, v. 3, n. 15, p. 3803-3808, 2015. - Fator de Impacto em 2014: 4,696
73. MORELHÃO, S. L.; AMIRKHANYAN, Z. G.; REMÉDIOS, C. M. R. Absolute refinement of crystal structures by X-ray phase measurements. **Acta Crystallographica A**, v. 71, n. 3, p. 291-296, 2015. - Fator de Impacto em 2014: 2,307
74. BERNARDES, A.; TEXTOR, L. C.; SANTOS, J. C.; CUADRADO, N. H.; KOSTETSKY, E. Y.; ROIG, M. G.; BAVRO, V. N.; MUNIZ, J. R. C.; SHNYROV, V. L.; POLIKARPOV, I. Crystal structure analysis of peroxidase from the palm tree *Chamaerops excelsa*. **Biochimie**, v. 111, p. 58-69, 2015. - Fator de Impacto em 2014: 2,963
75. MATOS, B. R.; SANTIAGO, E. I.; REY, J. F. Q.; SCURACCHIO, C. H.; MANTOVANI, G. L.; HIRANO, L. A.; FONSECA, F. C. dc proton conductivity at low-frequency in naion conductivity spectrum probed by time-resolved SAXS measurements and impedance spectroscopy. **Journal of Polymer Science B**, v. 53, n.11, p. 822-828, 2015. - Fator de Impacto em 2014: 3,83
76. MESQUITA, A.; RHODES, F. P.; SILVA, R. T.; NEVES, P. P.; ZEVALLOS, A. O.; ANDREETA, M. R. B.; LIMA JR., M.M.; CANTARERO, A.; SILVA, I. S.; BOSELLI, M. A.; GRATENS, X.; CHITTA, V. A.; DORIGUETTO, A. C.; FERRAZ, W. B.; SABIONI, A. C. S.; CARVALHO, H. B. Dynamics of the incorporation of Co into the wurtzite ZnO matrix and its magnetic properties. **Journal of Alloys and Compounds**, v. 637, p. 407-417, 2015. - Fator de Impacto em 2014: 2,999
77. FASSBENDER, R. U.; LILGE, T. S.; CAVA, S.; ANDRÉS, J.; SILVA, L. F.; MASTELARO, V. R.; LONGO, E.; MOREIRA, M. L. Finger prints of short-range and long-range structure in $BaZr_{1-x}Hf_xO_3$ solid solutions: an experimental and theoretical study. **Physical Chemistry Chemical Physics (PCCP)**, v. 17, n. 17, p. 11341-11349, 2015. - Fator de Impacto em 2014: 4,493

78. COELHO, T.; MICHA, R.; ARIAS, S.; LICEA, Y. E.; PALACIO, L. A.; FARO JR., A. C. Influence of the Mg₂₊ or Mn₂₊ contents on the structure of NiMnAl and CoMgAl hydrotalcite materials with high aluminum contents. **Catalysis Today**, v. 250, p. 87-94, 2015. - Fator de Impacto em 2014: 3,893
79. SILVA, L. F.; MASTELARO, V. R.; CATTO, A. C.; ESCANHOELA JR., C. A.; BERNARDINI, S.; ZILIO, S. C.; LONGO, E.; AGUIR, K. Ozone and nitrogen dioxide gas sensor based on a nanostructured SrTi_{0.85}Fe_{0.15}O₃ thin film. **Journal of Alloys and Compounds**, v. 638, p. 374-379, 2015. - Fator de Impacto em 2014: 2,999
80. CORTINES, J. R.; LIMA, L. M. T. R.; MOHANA-BORGES, R.; MILLEN, T. A.; GSAPAR, L. P.; LANMAN J. K.; PREVELIGE JR., P. E.; SILVA, J. L. Structural insights into the stabilization of the human immunodeficiency virus type 1 capsid protein by the cyclophilin-binding domain and implications on the virus cycle. **Biochimica et Biophysica Acta. Proteins and Proteomics**, v. 1854, n. 5, p. 341, 348, 2015. - Fator de Impacto em 2014: 2,747
81. GARCÍA-BASABE, Y.; YAMAMOTO, N. A. D.; ROMAN, L. S.; ROCCO, M. L. M. The effect of thermal annealing on the charge transfer dynamics of a donor-acceptor copolymer and fullerene: F8T2 and F8T2: PCBM. **Physical Chemistry Chemical Physics (PCCP)**, v. 17, n. 17, p. 11244-11251, 2015. - Fator de Impacto em 2014: 4,493
82. BOITA, J.; CASTEGNARO, M. V.; ALVES, M. C. M.; MORAIS, J. DE. A dispenser-reactor apparatus applied for in situ XAS monitoring of Pt nanoparticle formation. **Journal of Synchrotron Radiation**, v. 22, n. 3, p. 736-744, 2015. - Fator de Impacto em 2014: 2,736
83. PEINETTI, A. S.; CERETTI, H.; MIZRAHI, M.; GONZÁLEZ, G. A.; RAMÍREZ, S. A.; REQUEJO, F. G.; MONTSERRAT, J. M.; BATTAGLINI, F. Confined gold nanoparticles enhance the detection of small molecules in label-free impedance aptasensors. **Nanoscale**, v. 7, n. 17, p. 7763-7769, 2015. - Fator de Impacto em 2014: 7,394
84. SANTHIAGO, M.; MARONEZE, C. M.; SILVA, C. C. C.; CAMARGO, M. N. L.; KUBOTA, L.T. Electrochemical oxidation of glassy carbon provides similar electrochemical response as graphene oxide prepared by tour or hummers routes. **ChemElectroChem**, v. 2, n. 5, p. 761-767, 2015. - Fator de Impacto em 2014: 0
85. OLIVEIRA, K. D.; SANTANA, R. C.; ÁVILA-NETO, C. N.; CARDOSO, D. Isomerization of n-hexane with Pt/Ni-based catalysts supported on Al-rich zeolite β and correlation with acidity and oxidation state of metal crystallites. **Applied Catalysis A**, v. 495, p. 173-183, 2015. - Fator de Impacto em 2014: 3,942
86. KADOWAKI, M. A. S.; CAMILO, C. M.; MUNIZ, A. B.; POLIKARPOV, I. Functional characterization and low-resolution structure of an Endoglucanase Cel45A from the filamentous fungus *Neurospora crassa* OR74A: thermostable enzyme with high activity toward lichenan and β -glucan. **Molecular Biotechnology**, v. 57, n. 6, p. 574-588, 2015. - Fator de Impacto em 2014: 1,876
87. MESQUITA, A.; MICHALOWICZ, A.; MASTELARO, V. R. XANES measurements probing the local order and electronic structure of Pb_{1-x}Ba_xZr_{0.40}Ti_{0.60}O₃ ferroelectric materials. **Journal of Alloys and Compounds**, v. 640, p. 355-361, 2015. - Fator de Impacto em 2014: 2,999
88. OLIVEIRA, G. A. P.; SILVA, J. L. A hypothesis to reconcile the physical and chemical unfolding of proteins. **Proceedings of the National Academy of Sciences USA**, v. 112, n. 21, p. E2775-2784, 2015. - Fator de Impacto em 2014: 9,674

- 89.SILVEIRA, L. T.; LIBERATORE, A. M. A.; KOH, I. H. J.; BIZETO, M. A.; CAMILO, F. F. Combined bactericidal activity of silver nanoparticles and hexadecylpyridinium salicylate ionic liquid. **Journal of Nanoparticle Research**, v. 17, n. 3, p. 129-139, 2015. - Fator de Impacto em 2014: 2,184
- 90.MIYAMOTO, K. N.; MONTEIRO, K. M.; CAUMO, K. S.; LORENZATTO, K. R.; FERREIRA, H. B.; BRANDELLI, A. Comparative proteomic analysis of *Listeria monocytogenes* ATCC 7644 exposed to a sublethal concentration of nisin. **Journal of Proteomics**, v. 119, p. 23-237, 2015 - Fator de Impacto em 2014: 3,888
- 91.CASSINELLI, W. H.; MARTINS, L.; PASSOS, A. R.; PULCINELLI, S. H.; ROCHE, A.; BRIOIS, V.; SANTILLI, C. V. Correlation between structural and catalytic properties of copper supported on porous alumina for the ethanol dehydrogenation reaction. **ChemCatChem**, v. 7, n. 11, p. 1668-1677, 2015. - Fator de Impacto em 2014: 4,556
- 92.DE ALMEIDA, A. C.; DA SILVA, A. R. P.; NAKAMURA FILHO, A.; DE CARVALHO, M. D.; CARDOSO, A. V. Nacre compared to aragonite as a bone substitute: evaluation of bioactivity and biocompatibility. **Materials Research**, v. 18, n. 2, p. 395-403, 2015. - Fator de Impacto em 2014: 0
- 93.MARÇAL, L. A. B.; DE FARIA, E. H.; NASSAR, E. J.; TRUJILLANO, R.; MARTIN, N.; VICENTE, M. A.; RIVES, V.; GIL, A.; KORILI, S. A.; CIUFFI, K. J. Organically modified saponites: SAXS study of swelling and application in caffeine removal. **ACS Applied Materials & Interfaces**, v. 7, n. 20, p. 10853-10862, 2015. - Fator de Impacto em 2014: 6,723
- 94.SCHAFFER, D.; GRANDE, P. L.; PEREIRA, L. G.; AZEVEDO, G. DE M.; HARRES, A.; SOUSA, M. A.; PELEGRI, F.; GESHEV, J. Antiparallel interface coupling evidenced by negative rotatable anisotropy in IrMn/NiFe bilayers. **Journal of Applied Physics**, v. 117, n. 21, p. 215301, 2015. - Fator de Impacto em 2014: 2,183
- 95.SILVA, T. A.; ZANIN, H.; VICENTINI, F. C.; CORAT, E. J.; FATIBELLO- FILHO, O. Electrochemical determination of rosuvastatin calcium in pharmaceutical and human body fluid samples using a composite of vertically aligned carbon nanotubes and graphene oxide as the electrode material. **Sensors and Actuators B**, v. 218, p. 51-59, 2015 - Fator de Impacto em 2014: 4,097
- 96.BALASHOV, S.; BALACHOVA, O.; BRAGA, A. V. U.; MOSHKALEV, S. A. Influence of the deposition parameters of graphene oxide nanofilms on the kinetic characteristics of the SAW humidity sensor. **Sensors and Actuators B**, v. 217, p. 88-91, 2015. - Fator de Impacto em 2014: 4,097
- 97.SANTOS, E. B.; SIGOLI, F. A.; MAZALI, I. O. Intercalated 4-aminobenzenethiol between Au and ag nanoparticles: effects of concentration and nanoparticles neighborhood on its SERS response. **Journal of Brazilian Chemical Society**, v. 26, n. 5, p. 970-977, 2015. - Fator de Impacto em 2014: 1,129
- 98.SETTI, G. O.; MAMIÁN-LÓPEZ, M. B.; PESSOA, P. R.; POPPI, R. J.; JOANNI, E.; JESUS, D. P. Sputtered gold-coated ITO nanowires by alternating depositions from Indium and ITO targets for application in surface-enhanced Raman scattering. **Applied Surface Science**, v. 347, p. 17-22, 2015 - Fator de Impacto em 2014: 2,711
- 99.ROCHA, B. A. M.; TEIXEIRA, C. S.; SILVA-FILHO, J. C.; NÓBREGA, R. B.; ALENCAR, D. B.; NASCIMENTO, K. S.; FREIRE, V. N.; GOTTFRIED, C. J. S.; NAGANO, C. S.; SAMPAIO, A. H.; SAKER-SAMPAIO, S.; CAVADA, B. S.; DELATORRE, P. Structural basis of ConM binding with resveratrol, an anti-inflammatory and antioxidant polyphenol. **International Journal of Biological Macromolecules**, v. 72, p. 1136-1142, 2015. - Fator de Impacto em 2014: 2,858

100. BACHEGA, J. F. R.; MALUF, F. V.; ANDI, B.; PEREIRA, H. D'M.; CARAZZOLLE, M. F.; ORVILLE, A. M.; TABAK, M.; BRANDÃO NETO, J. R.; GARRATT, R. C.; REBOREDO, E. H. The structure of the giant haemoglobin from *Glossoscolex paulistus*. **Acta Crystallographica D**, v. 71, n. 6, p. 1257-1271, 2015. - Fator de Impacto em 2014: 2,674
101. ZANCHET, D.; SANTOS, J. B. O.; DAMYANOVA, S.; GALLO, J. M. R.; BUENO, J. M. C. Toward understanding metal-catalyzed ethanol reforming. **ACS Catalysis**, v. 5, nr. 6, p. 3841-3863, 2015. - Fator de Impacto em 2014: 9,311
102. CERRUTTI, B. M.; MORAES, M. L.; PULCINELLI, S. H.; SANTILLI, C. V. Lignin as immobilization matrix for HIV p17 peptide used in immunosensing. **Biosensors & Bioelectronics**, v. 71, p. 420-426, 2015. - Fator de Impacto em 2014: 6,409
103. CARRERAS, A. C.; CANGIANO, M. DE LOS, A.; OJEDA, M. W.; RUIZ, M. DEL C. Characterization of Cu-Ni nanostructured alloys obtained by a chemical route. Influence of the complexing agent content in the starting solution. **Materials Characterization**, v. 101, p. 40-48, 2015 - Fator de Impacto em 2014: 1,845
104. SANTIAGO, A. S.; SANTOS, C. A.; MENDES, J. S.; TOLEDO, M. A. S.; BELOTI, L. L.; SOUZA, A. A.; SOUZA, A. P. Characterization of the LysR-type transcriptional regulator YcjZ-like from *Xylella fastidiosa* overexpressed in *Escherichia coli*. **Protein Expression and Purification**, v. 113, p. 72-78, 2015. - Fator de Impacto em 2014: 1,69
105. MAZZO, T. M.; LIBANORI, G. S. N.; MOREIRA, M. L.; AVANSI JR., W.; MASTELARO, V. R.; VARELA, J. A.; LONGO, E. Influence of titanium precursor on photoluminescent emission of micro-cube-shaped CaTiO₃. **Journal of Luminescence**, v. 165, p. 130-137, 2015. - Fator de Impacto em 2014: 2,719
106. SOUZA, E. E. S.; SANTOS, A. F. T. O.; GONZAGA, I. M. D.; ALVES, N. R.; COSTA, L. P.; SILVA, L. S. R.; EGUILUZ, K. I. B.; SALAZAR-BANDA, G. R.; CAVALCANTI, E. B. Ruthenium-tin oxides-coated graphite felt: enhanced active area and improved efficiency for the electrochemical generation of hydrogen peroxide. **Ceramics International**, v. 41, p. 10293-10297, 2015. - Fator de Impacto em 2014: 2,605
107. VÁZQUEZ, S.; DAVYT, S.; BASBUS, J. F.; SOLDATI, A. L.; AMAYA, A.; SERQUIS, A.; FACCIO, R.; SUESCUN, L. Synthesis and characterization of La_{0.6}Sr_{0.4}Fe_{0.8}Cu_{0.2}O_{3-Δ} oxide as cathode for intermediate temperature solid oxide fuel cells. **Journal of Solid State Chemistry**, v. 228, p. 208-213, 2015. - Fator de Impacto em 2014: 2,133
108. SANTIAGO-GONZÁLEZ, B.; VÁZQUEZ-VÁZQUEZ, C.; BLANCO-VARELA, M. C.; MARTINHO, J. M. G.; RAMALLO-LÓPEZ, J. M.; REQUEJO, F. G.; LÓPEZ-QUINTELÀ, M. A. Synthesis of water-soluble gold clusters in nanosomes displaying robust photoluminescence with very large Stokes shift. **Journal of Colloid and Interface Science**, v. 455, p. 154-162, 2015. - Fator de Impacto em 2014: 3,368
109. SOARES, J. C.; SHIMIZU, F. M.; SOARES, A. C.; CASELI, L.; FERREIRA, J.; OLIVEIRA JR., O. N. Supramolecular control in nanostructured film architectures for detecting breast cancer. **ACS Applied Materials & Interfaces**, v. 7, n. 22, p. 1183-11841, 2015. - Fator de Impacto em 2014: 6,723
110. GARCEZ, E. O.; ALDRIDGE, L. P.; RAVEN, M.; GATES, W. P.; COLLINS, F.; FRANCO, M.; YOKAICHIYA, F. Synchrotron powder diffraction study of cements pastes. **Journal of the Australian Ceramic Society**, v. 51, n. 2, p. 47-53, 2015. - Fator de Impacto em 2014: 0,658

111. ARBOLEDA, D. M.; SANTILLÁN, J. M. J.; HERRERA, L. J. M.; VAN RAAP, M. B. F.; ZÉLIS, P. M.; MURACA, D.; SCHINCA, D. C.; SCAFFARDI, L. B. Synthesis of Ni nanoparticles by femtosecond laser ablation in liquids: structure and sizing. **Journal of Physical Chemistry C**, v. 119, n. 23, p. 13184-13193, 2015. - Fator de Impacto em 2014: 4,772
112. HUNT, S. T.; KOKUMAI, T. M.; ZANCHET, D.; ROMÁN-LESHKOV, Y. Alloying tungsten carbide nanoparticles with tantalum: impact on electrochemical oxidation resistance and hydrogen evolution activity. **Journal of Physical Chemistry C**, v. 119, n. 24, p. 13691-13699, 2015. - Fator de Impacto em 2014: 4,772
113. LOIOLA, L. M. D.; DUEK, E. A. R.; FELISBERTI, M. I. Amphiphilic multiblock copolymers of PLLA, PEO and PPO blocks: synthesis, properties and cell affinity. **European Polymer Journal**, v. 68, p.618-629, 2015. - Fator de Impacto em 2014: 3,005
114. RODRIGUES, E. M.; GASPAR, R. D. L.; MAZALI, I. O.; SIGOLI, F. A. Polydimethylsiloxane composites containing core-only lanthanide-doped oleylamine-stabilized LaF₃ nanoparticles with high emission lifetimes. **Journal of Materials Chemistry C**, v. 3, n. 24, p. 6376-6388, 2015. - Fator de Impacto em 2014: 4,696 (6350)
115. SILVA, R. A. G.; PAGANOTTI, A.; SANTOS, C. M. A.; ADORNO, A. T.; CARVALHO, T. M. Precipitation hardening in the Cu-11 wt.%Al-10 wt.%Mn alloy with Ag addition. **Journal of Alloys and Compounds**, v. 643, p. S178-S181, 2015. - Fator de Impacto em 2014: 2,999
116. SARMENTO, V. H. V.; OBARA, P. A.; RIBEIRO, S. J. L.; NALIN, M.; MOLINA, C. PWA-diureasils organic-inorganic hybrids. Photochromism and effect of the organic chain length. **Optical Materials**, v. 46, p. 64-69, 2015. - Fator de Impacto em 2014: 1,981
117. PICKLER, A.; ALESSIO, R.; MOTA, C. L.; MANTUANO, A.; NOGUEIRA, L. P.; SALATA, C.; ALMEIDA, A. P.; SENA, G.; BRAZ, D.; ALMEIDA, C. E. V.; BARROSO, R. C. Quantitative analysis in femur of wistar rats after chemotherapy treatment for breast cancer using synchrotron X-ray microfluorescence and microtomography. **X-Ray Spectrometry**, v. 44, n. 4, p. 305-310, 2015. - Fator de Impacto em 2014: 1,348
118. BOLZAN, M. S.; ORLANDO, M. T. D.; PASSOS, C. A. C. Critical current model for polycrystalline compounds with an intrinsic solid solution of two mixed superconductor phases. **Journal of Superconductivity and Novel Magnetism**, v. 28, n. 7, p. 1875-1880, 2015. - Fator de Impacto em 2014: 0,909
119. LEITÃO, R.; SANTOS, C. A.; PALUMBO JR., A.; SOUZA, P.; CANELLAS, C. G. L.; ANJOS, M. J. DOS; NASCIUTTI, L. E.; LOPES, R. T. Study of response to zinc in human prostate spheroids using X-ray microfluorescence. **IEEE Transactions on Instrumentation and Measurements**, v. 64, n. 8, p. 2121-2126, 2015. - Fator de Impacto em 2014: 1,79
120. BUCETA, D.; BUSTO, N.; BARONE, G.; LEAL, J. M.; DOMÍNGUEZ, F.; GIOVANETTI, L. J.; REQUEJO, F. G.; GARCIA, B.; LÓPEZ-QUINTELÀ, A. Ag-2 and Ag-3 clusters: synthesis, characterization, and interaction with DNA. **Angewandte Chemie International Edition**, v. 54, n. 26, p. 7612-7616, 2015. - Fator de Impacto em 2014: 11,26
121. HERRERA, M. L.; RODRIGUEZ-BATILLER, M. J.; RINCÓN-CARDONA, J. A.; AGUDELO-LAVERDE, L. M.; MARTINI, S.; CANDAL, R. J. Effect of cooling rate and temperature cycles on polymorphic behavior of sunflower oil stearins for applications as trans-fat alternatives in foods. **Food and Bioprocess Technology**, v. 8, n. 8, p. 1779-1790, 2015. - Fator de Impacto em 2014: 2,691

122. ARAÚJO, J. A.; ARAUJO, G. M.; SOUZA, R. M.; TSCHIPTSCHIN, A. P. Effect of periodicity on hardness and scratch resistance of CrN/NbN nanoscale multilayer coating deposited by cathodic arc technique. **Wear**, v. 330-331, p. 469-477, 2015. - Fator de Impacto em 2014: 1,913
123. SILVA, W. L.; LANSARIN, M. A.; LIVOTTO, P. R.; DOS SANTOS, J. H. Z. Photocatalytic degradation of drugs by supported titania-based catalysts produced from petrochemical plant residue. **Powder Technology**, v. 279, p. 166-172, 2015. - Fator de Impacto em 2014: 2,349
124. BUCETA, D.; REQUEJO, F. G.; GIOVANETTI, L. J.; LÓPEZ-QUINTELA, M. A. Photostability of gold nanoparticles with different shapes: the role of Ag clusters. **Nanoscale**, v. 7, p. 11273-11279, 2015. - Fator de Impacto em 2014: 7,394
125. MOURA, A. L. A.; OLIVEIRA, L. K. DE; CIUFFI, K. J.; MOLINA, E. F. Influence of the hydrophilic/hydrophobic nature of polyetheramines on the interaction between amine-alcohol-silicate hybrids and anionic dyes for effective water cleaning. **Journal of Materials Chemistry A**, v. 3, p. 16020-16032, 2015. - Fator de Impacto em 2014: 7,443
126. FERREIRA, S. G.; CONCEIÇÃO, V. S.; GOUVEIA, N. S.; SANTOS, G. S.; SANTOS, R. L. C.; LIRA, A. A. M.; CAVALCANTI, S. C. H.; SARMENTO, V. H. V.; NUNES, R. S. An environmentally safe larvicide against Aedes aegypti based on in situ gelling nanostructured surfactant systems containing an essential oil. **Journal of Colloid and Interface Science**, v. 456, p. 190-196, 2015. - Fator de Impacto em 2014: 3,368
127. BASBUS, J. F.; CANEIRO, A.; SUESCUN, L.; LAMAS, D. G.; MOGNI, L. Anomalous X-ray diffraction study of Pr-substituted BaCeO₃ (-) (Δ). **Acta Crystallographica B**, v. 71, pt.4, p. 455-462, 2015. - Fator de Impacto em 2014: 2,184
128. FONSECA, E. M. B.; TRIVELLA, D. B. B.; SCORSATO, V.; DIAS, M. P.; BAZZO, N. L.; MANDAPATI, K. R.; OLIVEIRA, F. L.; FERREIRA-HALDER, C. V.; PILLI, R. A.; MIRANDA, P. C. M. L.; APARICIO, R. Crystal structures of the apo form and a complex of human LMW-PTP with a phosphonic acid provide new evidence of a secondary site potentially related to the anchorage of natural substrates. **Bioorganic & Medicinal Chemistry**, v. 23, n. 15, p. 4462-4471, 2015. - Fator de Impacto em 2014: 2,793
129. HURTADO-NOREÑA, C.; DANÓN, C. A.; LUPPO, M. I.; BRUZZONI, P. Evolution of minor phases in a 9PctCr steel: effect of tempering temperature and relation with hydrogen trapping. **Metallurgical and Materials Transactions A**, v.46A, n. 9, p. 3972-3988, 2015. - Fator de Impacto em 2014: 1,73
130. CORTEZ, M. L.; CEOLÍN, M. R.; AZZARONI, O.; BATTAGLINI, F. Formation of redox-active self-assembled polyelectrolyte-surfactant complexes integrating glucose oxidase on electrodes: influence of the self-assembly solvent on the signal generation. **Bioelectrochemistry**, v. 105, p. 117-122, 2015. - Fator de Impacto em 2014: 3,754
131. ROCHA, L. A.; FREIRIA, J. C.; CAIUT, J. M. A.; RIBEIRO, S. J. L.; MESSADDEQ, S. H.; VERELST, M.; DEXPERT-GHYS, J. Luminescence properties of Eu-complex formations into ordered mesoporous silica particles obtained by the spray pyrolysis process. **Nanotechnology**, v. 26, n. 33, p. 335604, 2015. - Fator de Impacto em 2014: 3,821
132. BETANCOURT, A. M.; BAVA, Y. B.; MARTINEZ, Y. B.; ERBEN, M. F.; CAVASSO-FILHO, R. L.; DELLA VÉDOVA, C. O.; ROMANO, R. M. Photofragmentation mechanisms of chlorosulfonyl

isocyanate, CISO_2NCO , excited with synchrotron radiation between 12 and 550 eV. **Journal of Physical Chemistry A**, v. 119, n. 29, p. 8021-8030, 2015. - Fator de Impacto em 2014: 2,693

133. OLIVEIRA, D. S.; TIZEI, L. H. G.; LI, A.; VASCONCELOS, T. A.; SENNA, C. A.; ARCHANJO, B. S.; UGARTE, D. M.; COTTA, M. A. Interaction between lamellar twinning and catalyst dynamics in spontaneous core-shell InGaP nanowires. **Nanoscale**, v. 7, n. 29, p. 12722-12727, 2015. - Fator de Impacto em 2014: 7,394

134. BERNINI, R. B.; COUTINHO, L. H.; NUNEZ, C. V.; CASTILHO, R. B.; SOUZA, G. G. B. DE. Ionic fragmentation of the isoprene molecule in the VUV energy range (12 to 310 eV). **Journal of Electron Spectroscopy and Related Phenomena**, v. 119, n. 31, p. 107-111, 2015. - Fator de Impacto em 2014: 1,436

135. FRIZON, T. E. A.; MICHELETTO, Y. M. S.; WESTRUP, J. L.; WAKABAYASHI, P. S. S.; SERAFIM, F. R.; DAMIANI, A. P.; LONGARETTI, L. M.; ANDRADE, V. M.; GIACOMELLI, F. C.; FORT, S.; DAL BÓ; A. G. New glycosylated conjugate copolymer N-acetyl- β -D-glucosaminyl-pluronic: Synthesis, self-assembly and biological assays. **Colloids and Surfaces B**, v. 133, p. 323-330, 2015. - Fator de Impacto em 2014: 4,152

136. ACUÑA, L. M.; MUÑOZ, F. F.; ALBORNOZ, C. A.; LEYVA, A. G.; BAKER, R. T.; FUENTES, R. O. Nanostructured terbium-doped ceria spheres: effect of dopants on their physical and chemical properties under reducing and oxidizing conditions. **Journal of Materials Chemistry A**, v. 3, n. 31, p. 16120-16131, 2015. - Fator de Impacto em 2014: 7,443

137. GERONÉS, M.; PIRANI, L. S. R.; ERBEN, M. F.; ROMANO, R. M.; CAVASSO-FILHO, R. L.; TONG, S. R.; GE, M.; DELLA VÉDOVA, C. O. Photoelectron spectroscopy and ionic fragmentation of OSeCl_2 and its analogue OSCl_2 under VUV irradiation. **Journal of Physical Chemistry A**, v. 119, n. , p. 8000-8009, 2015. - Fator de Impacto em 2014: 2,693

138. SILVEIRA, A. B.; LARANJEIRA, A. B. A.; RODRIGUES, G. O. L.; LEAL, P. C.; CARDOSO, B. A.; BARATA, J. T., YUNES, R. A., ZANCHIN, N. I. T.; BRANDALISE, S. R.; YUNES, J. A. PI3K inhibition synergizes with glucocorticoids but antagonizes with methotrexate in T-cell acute lymphoblastic leukemia. **Oncotarget**, v. 6, n. 15, p. 13105-13118, 2015. - Fator de Impacto em 2014: 6,359

139. SANTOS, M. F. M.; FUJIWARA, E.; SCHENKEL, E. A.; ENZWEILER, J.; SUZUKI, C. K. Quartz sand resources in the Santa Maria Eterna formation, Bahia, Brazil: A geochemical and morphological study. **Journal of South American Earth Sciences**, v. 62 , p. 176-185, 2015 - Fator de Impacto em 2014: 1,367

140. DORES-SILVA, P. R.; BELOTI, L. L.; MINARI, K.; SILVA, S. M. O.; BARBOSA, L. R. S.; BORGES, J. C. Structural and functional studies of Hsp70-escort protein-Hep1-of *Leishmania braziliensis*. **International Journal of Biological Macromolecules**, v. 79, p. 903-912, 2015. - Fator de Impacto em 2014: 2,858

141. ZIMICZ, M. G.; PRADO, F. D.; SOLDATI, A. L.; LAMAS, D. G.; LARRONDO, S. XPD and XANES studies of $\text{Ce}_{0.9}\text{Zr}_{0.1}\text{O}_2$ nanocatalysts under redox and catalytic CH_4 oxidation conditions. **Journal of Physical Chemistry C**, v. 119, n. 33, p. 19210-19217, 2015. - Fator de Impacto em 2014: 4,772

142. FATAAYER, S.; VEIGA, R. G. A.; PRIETO, M. J.; PERIM, E.; LANDERS, R.; MIWA, R. H.; SIERVO, A. DE Self-assembly of NiTPP on Cu(111): a transition from disordered 1D wires to 2D chiral domains. **Physical Chemistry Chemical Physics (PCCP)**, v. 17, n. 28, p. 18344-18352, 2015. - Fator de Impacto em 2014: 4,493

143. BARROS, A. L. B.; FERRAZ, K. S. O.; DANTAS, T. C. S.; ANDRADE, G. F.; CARDOSO, V. N.; SOUSA, E. M. B. Synthesis, characterization, and biodistribution studies of Tc-99m-labeled SBA-16 mesoporous silica nanoparticles. **Materials Science and Engineering C**, v. 56, p. 181-188, 2015. - Fator de Impacto em 2014: 3,088
144. CHAGAS, G. R.; SATYANARAYANA, V. S. V.; KESSLER, F.; BELMONTE, G. K.; GONSALVES, K. E.; WEIBEL, D. E. Selective fragmentation of radiation-sensitive novel polymeric resist materials by inner-shell irradiation. **ACS Applied Materials & Interfaces**, v. 7, n. 30, p. 16348-16356, 2015. - Fator de Impacto em 2014: 6,723
145. ARAUJO, S. S.; NEVES, C. M. L.; GUIMARÃES, S. L.; WHITTMAN, C. P.; JOHNSON JR., W. H.; APARICIO, R.; NAGEM, R. A. P. Structural and kinetic characterization of recombinant 2-hydroxymuconate semialdehyde dehydrogenase from *Pseudomonas putida* G7. **Archives of Biochemistry and Biophysics**, v. 579, p. 8-17, 2015. - Fator de Impacto em 2014: 3,017
146. SILVA, R. A. G.; PAGANOTTI, A.; ADORNO, A. T.; SANTOS, C. M. A.; CARVALHO, T. M. Characteristics of the Cu-18.84 at.%Al-10.28 at.%Mn-1.57 at.%Ag alloy after slow cooling from high temperatures. **Journal of Thermal Analysis and Calorimetry**, v. 121, n. 3, p. 1233-1238, 2015. - Fator de Impacto em 2014: 2,042
147. SANTOS, J. C.; BERNARDES, A.; GIAMPIETRO, L.; AMMAZZALORSO, A.; DE FILIPPIS, B.; AMORE, R.; POLIKARPOV, I. Different binding and recognition modes of GL479, a dual agonist of peroxisome proliferator-activated receptor α/γ . **Journal of Structural Biology**, v. 191, n. 3, p. 332-340, 2015. - Fator de Impacto em 2014: 3,231
148. ROMEIRO, F. C.; MARINHO, J. Z.; LEMOS, S. C. S.; MOURA, A. P.; FREIRE, P. G.; SILVA, L. F.; LONGO, E.; MUÑOZ, R. A. A.; LIMA, R. C. Rapid synthesis of Co, Ni co-doped ZnO nanoparticles: optical and electrochemical properties. **Journal of Solid State Chemistry**, v. 230, p. 343-349, 2015. - Fator de Impacto em 2014: 2,133
149. ALCANTARA, K. F.; GOMES, A. H. A.; WOLFF, W.; SIGAUD, L.; SANTOS, A. C. F. Strong electronic selectivity in the shallow core excitation of the CH_2Cl_2 Molecule. **Journal of Physical Chemistry A**, v. 119, n. 33, p. 8822-8831, 2015. - Fator de Impacto em 2014: 2,693
150. TORRE, L. M.; AURELIO, G.; GRANADO, E.; SÁNCHEZ, R. D. Structural study of Ni-substituted $\text{YBaCo}_{4-x}\text{Ni}_x\text{O}_7$ frustrated cobaltites. **Journal of Solid State Chemistry**, v. 230, p. 34-41, 2015. - Fator de Impacto em 2014: 2,133
151. TRINCA, R. B.; FELISBERTI, M. I. Effect of diisocyanates and chain extenders on the physicochemical properties and morphology of multicomponent segmented polyurethanes based on poly(l-lactide), poly(ethylene glycol) and poly(trimethylene carbonate). **Polymer International**, v. 64, n. 10, p. 1326-1335, 2015. - Fator de Impacto em 2014: 2,409
152. LARRUDE, D. G.; GARCÍA-BASABE, Y.; FREIRE JR., F. L.; ROCCO, M. L. M. Electronic structure and ultrafast charge transfer dynamics of phosphorous doped graphene layers on a copper substrate: a combined spectroscopic study. **RSC Advances**, v. 5, n. 91, p. 74189-74197, 2015. - Fator de Impacto em 2014: 3,84

153. ALMEIDA, D. B.; THOMAZ, A. A.; CARVALHO, H. F.; CESAR, C. L. One- and two-photon photoluminescence excitation spectra of CdTe quantum dots in a cryogenic confocal microscopy platform. **Optics Express**, v. 23, n. 15, p. 19715-19727, 2015. - Fator de Impacto em 2014: 3,488
154. KALISZ, M.; CASSARO, R. A. A.; NOVAK, M. A.; ANDRUH, M.; AMORIM, H. S.; VAZ, M. G. F. A two-dimensional Cu-II-Mn-II heterometallic coordination polymer: structure determination using synchrotron X-ray powder diffraction and magnetic properties. **CrystEngComm**, v. 17, n. 38, p. 7423-7429, 2015.- Fator de Impacto em 2014: 4,034
155. AIROLDI, C.; ARCE, V. B.; GARGARELLO, R. M.; ORTEGA, F.; ROMANAMO, V.; MIZRAHI, M.; RAMALLO-LÓPEZ, J. M.; COBOS, C. J.; BERNADELLI, C.; DONATI, E. R.; MÁRTIRE, D. O. EXAFS and DFT study of the cadmium and lead adsorption on modified silica nanoparticles. **Spectrochimica Acta A**, v. 151, p. 156-163, 2015. - Fator de Impacto em 2014: 2,353
156. CEZAR, A. B.; GRAFF, I. L.; VARALDA, J.; SCHREINER, W. H.; MOSCA, D. H. Local order and the dependence of magnetization on Co content in V_2O_5 layered films. **Journal of Applied Physics**, v. 118, n. 10, p. 103903, 2015. - Fator de Impacto em 2014: 2,183
157. LÓPEZ, E. O.; MELLO, A.; FARINA, M.; ROSSI, A. M.; ROSSI, A. L. Nanoscale analysis of calcium phosphate films obtained by RF magnetron sputtering during the initial stages of deposition. **Surface and Coatings Technology**, v. 279, p. 16-24, 2015. - Fator de Impacto em 2014: 1,998
158. FREITAS, E. T. F.; MONTORO, L. A.; GASPARON, M.; CIMINELLI, V. S. T. Natural attenuation of arsenic in the environment by immobilization in nanostructured hematite. **Chemosphere**, v. 138, n. 340, p. 347, 2015 - Fator de Impacto em 2014: 3,34
159. GOMES, A. H. A.; OLIVEIRA, R. R.; ROCHA, A. B.; WOLFF, W.; ALCANTARA, K. F.; SIGAUD, G. M.; SANTOS, A. C. F. Strong selectivity in symmetry forbidden vibronic transitions in deep core ionic photofragmentation of the SF₆ molecule. **International Journal of Mass Spectrometry**, v. 388, p. 9-16, 2015. - Fator de Impacto em 2014: 1,972
160. SCZANCOSKI, J. C.; AVANSI JR., W.; COSTA, M. G. S.; LI, M. S.; MASTELARO, V. R.; SANTOS, R. S.; LONGO, E.; CAVALCANTE, L. S. Effect of different strontium precursors on the growth process and optical properties of SrWO₄ microcrystals. **Journal of Materials Science**, v. 50, n. 24, p. 8089-8103, 2015. - Fator de Impacto em 2014: 2,371
161. PICKLER, A.; MOTA, C. L.; MANTUANO, A.; SALATA, C.; NOGUEIRA, L. P.; ALMEIDA, A. P.; ALESSIO, R.; SENA, G.; BRAZ, D.; ALMEIDA, C. E. V.; BARROSO, R. C. X-ray microfluorescence as a tool to analyze elemental changes in femur head induced by chemotherapy drugs for the treatment of breast cancer. **Radiation Physics and Chemistry**, v. 116, p. 257-261, 2015. - Fator de Impacto em 2014: 1,38
162. VESTGARDEN, J. I.; COLAUTO, F.; DE ANDRADE, A. M. H.; OLIVEIRA, A. A. M.; ORTIZ, W. A.; JOHANSEN, T. H. Cascade dynamics of thermomagnetic avalanches in superconducting films with holes. **Physical Review B**, v. 92, n. 14, p. 144510, 2015. - Fator de Impacto em 2014: 3,736
163. SANTOS, C. A.; JANISSEN, R.; TOLEDO, M. A. S., BELOTI, L. L.; AZZONI, A. R.; COTTA, M. A.; SOUZA, A. P. Characterization of the TolB-Pal trans-envelope complex from *Xylella fastidiosa* reveals a dynamic and coordinated protein expression profile during the biofilm development process. **Biochimica et Biophysica Acta. Proteins and Proteomics**, v. 1854, n. 10, p. 1372-1381, 2015. - Fator de Impacto em 2014: 2,747

164. ARRUDA, M. S.; MEDINA, A.; SOUSA, J. N.; MENDES, L. A. V.; MARINHO, R. R. T.; PRUDENTE, F. V. Ionization and fragmentation of formamide induced by synchrotron radiation in the valence region via photoelectron photoion coincidence measurements and density functional theory calculations. **Journal of Physical Chemistry A**, v. 119, n. 41, p. 10300-10308, 2015. - Fator de Impacto em 2014: 2,693
165. PENNAFIRME, S.; LIMA, I.; BITENCOURT, J. A.; CRAPEZ, M. A. C.; LOPES, R. T. Microbial biofilm study by synchrotron X-ray microscopy. **Radiation Physics and Chemistry**, v. 116, p. 116-119, 2015. - Fator de Impacto em 2014: 1,38
166. MARTINS, P. F.; TICIANELLI, E. A. Electrocatalytic activity and stability of platinum nanoparticles supported on carbon-molybdenum oxides for the oxygen reduction reaction. **ChemElectroChem**, v. 2, n. 9, p. 1298-1306, 2015. - Fator de Impacto em 2014: 0
167. SILVA, E. R.; WALTER, M. N. M.; REZA, M.; CASTELLETTO, V.; RUOKOLAINEN, J.; CONNON, C. J.; ALVES, W. A.; HAMLEY, I. W. Self-assembled arginine-capped peptide bolaamphiphile nanosheets for cell culture and controlled wettability surfaces. **Biomacromolecules**, v. 16, n. 10, p. 3180-3190, 2015. - Fator de Impacto em 2014: 5,75
168. BORDONI, A. V.; LOMBARDO, M. V.; REGAZZONI, A. E.; SOLER-ILLIA, G. J. A. A.; WOLOSIUK, A. Simple thiol-ene click chemistry modification of SBA-15 silica pores with carboxylic acids. **Journal of Colloid and Interface Science**, v. 450, p. 316-324, 2015. - Fator de Impacto em 2014: 3,368
169. SALVADOR, G. H. M.; DREYER, T. R.; CAVALCANTE, W. L. G.; MATIOLI, F. F.; SANTOS, J. I.; VELAZQUEZ-CAMPOY, A.; GALLACCI, M.; FONTES, M. R. M. Structural and functional evidence for membrane docking and disruption sites on phospholipase A(2)-like proteins revealed by complexation with the inhibitor suramin. **Acta Crystallographica D**, v. 71, n. 10, p. 2066-2078, 2015. - Fator de Impacto em 2014: 2,674
170. GONZALES-CASTILLO, J. R.; RODRIGUEZ, E.; JIMENEZ-VILLAR, E.; RODRIGUEZ, D.; SALOMON-GARCIA, I.; DE SÁ, G. F.; GARCIA-FERNADEZ, T.; ALMEIDA, D. B.; CESAR, C. L.; JOHNES, R.; IBARRA, J. C. Synthesis of Ag@Silica nanoparticles by assisted laser ablation. **Nanoscale**, v. 10, p. 399-407, 2015. - Fator de Impacto em 2014: 7,394
171. CALLIGARIS, G. A.; FRANCO, M. K. K. D.; ALDRIDGE, L. P.; RODRIGUES, M. S.; BERALDO, A. L.; YOKAICHIYA, F.; TURRILLAS, X.; CARDOSO, L. P. Assessing the pozzolanic activity of cements with added sugar cane straw ash by synchrotron X-ray diffraction and Rietveld analysis. **Construction and Building Materials**, v. 98, p. 44-50, 2015. - Fator de Impacto em 2014: 2,296
172. PILLING, S.; BERGANTINI, A. The effect of broadband soft X-rays in SO_2 -containing ices: implications on the photochemistry of ices toward young stellar objects. **Astrophysical Journal**, v. 811, n. 11, p. 151, 2015. - Fator de Impacto em 2014: 5,993
173. DUMAS, A.; MIZRAHI, M.; REQUEJO, F. G. Local and extended-order evolution of synthetic talc during hydrothermal synthesis: extended X-ray absorption fine structure, X-ray diffraction, and Fourier transform infrared spectroscopy studies. **Crystal Growth & Design**, v. 15, n. 11, p. 5451-5463, 2015. - Fator de Impacto em 2014: 4,891
174. KLOSTER, G. A.; MURACA, D.; MEIORIN, C.; PIROTA, K. R.; MARCOVICH, N. E.; MOSIEWICKI, M. A. Magnetic characterization of chitosan-magnetite nanocomposite films. **European Polymer Journal**, v. 72, p. 201-211, 2015. - Fator de Impacto em 2014: 3,005

175. VERRISSIMO, N. C.; GEILICH, B. M.; OLIVEIRA, H. G.; CARAM, R.; WEBSTER, T. J. Reducing *Staphylococcus aureus* growth on Ti alloy nanostructured surfaces through the addition of Sn. **Journal of Biomedical Materials Research A**, v. 103, n. 12, p. 3757-3763, 2015. - Fator de Impacto em 2014: 3,369
176. CASTRO, R. C.; BENITES, V. M.; TEIXEIRA, P. C.; ANJOS, M. J. DOS; OLIVEIRA, L. F. DE. Phosphorus migration analysis using synchrotron radiation in soil treated with brazilian granular fertilizers. **Applied Radiation and Isotopes**, v. 105, p. 233- 237, 2015. - Fator de Impacto em 2014: 1,231
177. KOHLRAUSCH, E. C.; ZAPATA, M. J. M.; GONÇALVES, R. V.; KHAN, S.; VAZ, M. DE O.; DUPONT, J.; TEIXEIRA, S. R. Polymorphic phase study on nitrogen-doped TiO₂ nanoparticles: effect on oxygen site occupancy, dye sensitized solar cells efficiency and hydrogen production. **RSC Advances**, v. 5, n. 123, p. 101276-101286, 2015. - Fator de Impacto em 2014: 3,84
178. MERJI, A. C.; SUGAHARA, T.; MARTINS, G. V.; SILVA SOBRINHO, A. S.; REIS, D. A. P.; GONÇALVES, P. A. R.; MASSI, M. Use of Cr inter layer to promote the adhesion of SiC films deposited on Ti₆Al₄V by HiPIMS. **Materials Research**, v. 18, n. 5, p. 904-907, 2015. - Fator de Impacto em 2014: 0
179. ESCOBAR, C. C.; DALLEGRAVE, A.; LASARIN, M. A.; SANTOS, J. H. Z. DOS. The sol-gel route effect on the preparation of molecularly imprinted silica-based materials for selective and competitive photocatalysis. **Colloids and Surfaces A**, v. 486, p. 96-105, 2015. - Fator de Impacto em 2014: 2,752
180. SILVA, A. M.; MOCELLIN, A.; MONTI, S.; LI, C.; MARINHO, R. R. T.; MEDINA, A.; AGREN, H.; CARRAVETTA, V.; NAVES DE BRITO, A. Surface-altered protonation studied by photoelectron spectroscopy and reactive dynamics simulations. **Journal of Physical Chemistry Letters**, v. 6, n. 5, p. 807-811, 2015. - Fator de Impacto em 2014: 7,458
181. LÓPEZ, M. L.; CEPPI, S. A.; ASAR, M. L.; BÜRGESSER, R. E.; ÁVILA, E. E. Rainwater analysis by synchrotron radiation-total reflection X-ray fluorescence. **Spectrochimica Acta B**, v. 113, p. 100-105, 2015. - Fator de Impacto em 2014: 3,176
182. SOARES, A. C.; SOARES, J. C.; SHIMIZU, F. M.; MELENDEZ, M. E.; CARVALHO, A. L.; OLIVEIRA JR., O. N. Controlled film architectures to detect a biomarker for pancreatic cancer using impedance spectroscopy. **ACS Applied Materials & Interfaces**, v. 7, n. 46, p. 25930-25937, 2015. - Fator de Impacto em 2014: 6,723
183. PASQUALETI, A. M.; OLIVEIRA, F. E. R.; LIMA, F. H. B. Metal oxide/gold hybrid nanocomposites as electrocatalysts for alkaline air electrodes. **Journal of Brazilian Chemical Society**, v. 26, n. 11, p. 2171-2174, 2015. - Fator de Impacto em 2014: 1,129
184. MATTE, L. P.; KILIAN, A. S.; LUZA, L.; ALVES, M. C. M.; MORAIS, J. DE; BAPTISTA, D. L.; DUPONT, J.; BERNARDI, F. Influence of the CeO₂ support on the reduction properties of Cu/CeO₂ and Ni/CeO₂ nanoparticles. **Journal of Physical Chemistry C**, v. 119, n. 47, p. 26459-26470, 2015. - Fator de Impacto em 2014: 4,772
185. AGÜERO, F. N.; MORALES, M. R.; LARRÉGOLA, S. A.; IZURIETA, E. M.; LOPEZ, E.; CADÚS, L. E. La_{1-x}Ca_xAl_{1-y}Ni_yO₃ perovskites used as precursors of nickel based catalysts for ethanol steam reforming. **International Journal of Hydrogen Energy**, v. 40, n. 45, p. 15510-15520, 2015. - Fator de Impacto em 2014: 3,313

186. SOSA, C.; STOYTSCHEW, V.; LEANI, J. J.; SÁNCHEZ, H. J.; PÉREZ, C. A.; PÉREZ, R. D. Calibration method for confocal X-ray microanalysis with polychromatic excitation. **Journal of Spectroscopy**, v. 2015, p. 368054-36861, 2015. - Fator de Impacto em 2014: 0,538
187. LAMIRAND, A. D.; SOARES, M. M.; RAMOS, A. Y.; TOLENTINO, H. C. N.; DE SANTIS, M.; CEZAR, J. C.; SIERVO, A. DE. Spin orientation in an ultrathin CoO/PtFe double-layer with perpendicular exchange coupling. **Journal of Magnetism and Magnetic Materials**, v. 373, p. 6-9, 2015. - Fator de Impacto em 2014: 1,97
188. ALMEIDA, B. M.; MELO JR., M. A.; BETTINI, J.; BENEDETTI, J. E.; NOGUEIRA, A. F. A novel nanocomposite based on TiO₂/Cu₂O/reduced graphene oxide with enhanced solar-light-driven photocatalytic activity. **Applied Surface Science**, v. 324, p. 419-431, 2015. Fator de Impacto em 2014: Fator de Impacto em 2014: 2,711
189. ROBL, D.; COSTA, P. DOS S.; BÜCHLI, F.; LIMA, D. J. S.; DELABONA, P. S.; SQUINA, F. M.; PIMENTEL, I. C.; PADILLA, G.; PRADELLA, J. G. C. Enhancing of sugar cane bagasse hydrolysis by annulohypoxylon stygium glycohydrolases. **Bioresource Technology**, v. 177, p. 247-254, 2015. - Fator de Impacto em 2014: 4,494
190. DAIKUZONO, C. M.; DANTAS, C. A. R.; VOLPATI, D.; CONSTANTINO, C. J. L.; PIAZZETTA, M. H. O.; GOBBI, A. L.; TAYLOR, D. M.; OLIVEIRA JR., O. N.; RIUL JR., A. Microfluidic electronic tongue. **Sensors and Actuators B**, v. 207, pt. B, n. 1129-1135, 2015. - Fator de Impacto em 2014: 4,097
191. VIEIRA, K. O.; BETTINI, J.; FERRARI, J. L.; SCHIAVON, M. A. Homogeneous CdTe quantum dots-carbon nanotubes heterostructures. **Materials Chemistry and Physics**, v. 149-150, p. 405-412, 2015. - Fator de Impacto em 2014: 2,259
192. ZEPON, G.; LEIVA, D. R.; KAUFMAN, M. J.; FIGUEROA, S. J. A.; FLORIANO, R.; LAMAS, D. G.; ASSELLI, A. A. C.; BOTTA FILHO, W. J. Controlled mechanochemical synthesis and hydrogen desorption mechanisms of nanostructured Mg₂CoH₅. **International Journal of Hydrogen Energy**, v. 40, n. 3, p. 1504-1515, 2015. - Fator de Impacto em 2014: 3,313
193. KELLERMANN, G.; MONTORO, L. A.; GIOVANETTI, L. J.; DOS SANTOS CLARO, P. C.; ZHANG, L.; RAMIREZ, A. J.; REQUEJO, F. G.; CRAIEVICH, A. F. Controlled growth of extended arrays of CoSi₂ hexagonal nanoplatelets buried in Si(001), Si(011) and Si(111) wafers. **Physical Chemistry Chemical Physics (PCCP)**, v. 17, n. 7, p. 4945-4951, 2015. - Fator de Impacto em 2014: 4,493
194. SMITH, R. T.; LOLLA, T.; GANDY, D.; WU, L.; FARIA, G.; RAMIREZ, A. J.; BABU, S. S.; ANDERSON, P. M In situ X-ray diffraction analysis of strain-induced transformations in Fe- and Co-base hardfacing alloys **Scripta Materialia**, v. 98, p. 60-63, 2015. - Fator de Impacto em 2014: 3,224
195. DIOGO, J. A.; HOFFMAM, Z. B.; ZANPHORLIN, L. M.; COTA, J.; MACHADO, C. B.; WOLF, L. D.; SQUINA, F. M.; DAMÁSIO, A. R. DE L.; MURAKAMI, M. T.; RULLER, R. Development of a chimeric hemicellulase to enhance the xylose production and thermotolerance. **Enzyme and Microbial Technology**, v. 69, p. 31-37, 2015. - Fator de Impacto em 2014: 2,322
196. LEANI, J. J.; SÁNCHEZ, H. J.; PÉREZ, C. A. Oxide nanolayers in stratified samples studied by X-ray resonant Raman scattering at grazing incidence. **Journal of Spectroscopy**, v. 2015, p. 618279, 2015. - Fator de Impacto em 2014: 0,538

197. CAMPOS, B. M.; LIBERATO, M. V.; POLIKARPOV, I.; ZERI, A. C. DE M.; SQUINA, F. M. Cloning, purification, crystallization and preliminary X-ray studies of a carbohydrate-binding module from family 64 (StX). **Acta Crystallographica F**, v. 71, pt. 3, p. 311-314, 2015. - Fator de Impacto em 2014: 0,527
198. BASEI, F. L.; MEIRELLES, G. V.; RIGHETTO, G. L.; MIGUELETI, D. L. S.; SMETANA, J. H. C.; KOBARG, J. New interaction partners for Nek4.1 and Nek4.2 isoforms: from the DNA damage response to RNA splicing. **Proteome Science**, v. 13, p. 11, 2015. - Fator de Impacto em 2014: 1,725
199. RODELLA, C. B.; BARRETT, D. H.; MOYA, S. F.; FIGUEROA, S. J. A.; PIMENTA, M. T. B.; CURVELO, A. A. S.; SILVA, V. T. Physical and chemical studies of tungsten carbide catalysts: effects of Ni promotion and sulphonated carbon. **RSC Advances**, v. 5, n. 30, p. 23874-23885, 2015. - Fator de Impacto em 2014: 3,84
200. GASPERINI, A. A. M.; PUENTES-MARTINEZ, X. E.; BALBINO, T. A.; RIGOLETTTO, T. P.; CORRÊA, G. S. C.; CASSAGO, A.; PORTUGAL, R. V.; DE LA TORRE, L. G., CAVALCANTI, L. P. Association between cationic liposomes and low molecular weight hyaluronic acid. **Langmuir**, v. 31, n. 11, p. 3308-3317, 2015. - Fator de Impacto em 2014: 4,457
201. ALKSCHBIRS, M. I.; PERCEBOM, A. M.; LOH, W.; WESTFAHL JR., H.; CARDOSO, M. B.; SABADINI, E. Effects of some anions of the Hofmeister series on the rheology of cetyltrimethylammonium-salicylate wormlike micelles. **Colloids and Surfaces A**, v. 470, p. 1-7, 2015. - Fator de Impacto em 2014: 2,752
202. ROBLEDO, J. I.; SÁNCHEZ, H. J.; LEANI, J. J.; PÉREZ, C. A. Exploratory methodology for retrieving oxidation state information from X-ray resonant Raman scattering spectrometry. **Analytical Chemistry**, v. 87, n. 7, p. 3639-3645, 2015. - Fator de Impacto em 2014: 5,636
203. MAYA-JOHNSON, S.; RAMIREZ, A. J.; TORO, A. Fatigue crack growth rate of two pearlitic rail steels. **Engineering Fracture Mechanics**, v. 138, p. 63-72, 2015. - Fator de Impacto em 2014: 1,767
204. VIEIRA, C. E. P.; GASPERINI, A. A. M.; FREITAS, P. P. S.; OLIVEIRA, R. G.; CAVALCANTI, L. P. Characterization of a Pt mirror to be used to deflect synchrotron radiation beam onto Langmuir monolayers. **Journal of Synchrotron Radiation**, v. 22, n. 3, p. 859-861, 2015. - Fator de Impacto em 2014: 2,794
205. BISSON-FILHO, A. W.; DISCOLA, K. F.; CASTELLEN, P.; BLASIOS, V.; MARTINS, A.; SFORÇA, M. L.; GARCIA, W.; ZERI, A. C. DE M.; ERICKSON, H. P.; DESSEN, A.; GUEIROS FILHO, F. J. FtsZ filament capping by MciZ, a developmental regulator of bacterial division. **Proceedings of the National Academy of Sciences USA**, v. 112, n. 17, p. E2130-E2138, 2015. - Fator de Impacto em 2014: 9,674
206. COLUSSI, F.; SILVA, V. M.; MILLER, I.; COTA, J.; OLIVEIRA, L. C.; OLIVEIRA NETO, M.; SQUINA, F. M.; GARCIA, W. Oligomeric state and structural stability of two hyperthermophilic β -glucosidases from *Thermotoga petrophila*. **Amino Acids**, v. 47, n. 5, p. 937-948, 2015. - Fator de Impacto em 2014: 3,293
207. FACETO, B.; TEIXEIRA-NETO, E.; PASTORE, H. O.; OLIVEIRA, C. L. P.; TEIXEIRA-NETO, A. A. On the formation and accessibility of gold nanoparticles confined in SBA-15 mesoporous molecular sieve. **Microporous and Mesoporous Materials**, v. 210, p. 86-93, 2015. - Fator de Impacto em 2014: 3,453
208. FATTORI, J.; CAMPOS, J. L. O.; DORATIOTO, T. R.; ASSIS, L. M.; VITORINO, M. T.; POLIKARPOV, I.; XAVIER NETO, J.; FIGUEIRA, A. C. M. RXR agonist modulates TR: corepressor

dissociation upon 9-cis retinoic acid treatment. **Molecular Endocrinology**, v. 29, n. 2, p. 258-273, 2015. - Fator de Impacto em 2014: 4,022

209. BENEDETTI, J. E.; BERNARDO, D. R.; MORAIS, A.; BETTINI, J.; NOGUEIRA, A. F. Synthesis and characterization of a quaternary nanocomposite based on TiO₂/CdS/rGO/Pt and its application in the photoreduction of CO₂ to methane under visible light. **RSC Advances**, v. 5, n. 43, p. 33914-33922, 2015. - Fator de Impacto em 2014: 3,84

210. GONÇALVES, R. V.; WOJCIESZAK, R.; WENDER, H.; DIAS, C. S. B.; VONO, L. L. R.; EBERHARDT, D.; TEIXEIRA, S. R.; ROSSI, L. M. Easy access to metallic copper nanoparticles with high activity and stability for CO oxidation. **ACS Applied Materials & Interfaces**, v. 7, n. 15, p. 7987-7994, 2015. - Fator de Impacto em 2014: 6,723

211. MARTINS, H. P.; PRADO, F.; CANEIRO, A.; VICENTIN, F. C.; CHAVES, D. S.; MOSSANEK, R. J. O.; ABBATE, M. X-ray absorption study of the Fe and Mo valence states in Sr₂FeMoO₆. **Journal of Alloys and Compounds**, v. 640, p. 511-516, 2015. - Fator de Impacto em 2014: 2,999

212. FRAGA, M.; BRUXEL, F.; DIEL, D.; CARVALHO, T. G.; PÉREZ, C. A.; MAGALHÃES-PANIAGO, R.; MALACHIAS, A.; OLIVEIRA, M. C.; MATTE, U.; TEIXEIRA, H. F. PEGylated cationic nanoemulsions can efficiently bind and transfect pIDUA in a mucopolysaccharidosis type I murine model. **Journal of Controlled Release**, v. 209, p. 37-46, 2015. - Fator de Impacto em 2014: 7,705

213. SUÁREZ-GÓMEZ, A.; FIGUEROA, S. J. A.; LAMAS, D. G.; CEZAR, J. C. A crystallization and structural study of the compound Pb₂V₂O₇ synthesized by a facile sol-gel-based chemical route. **Journal of Sol-Gel Science and Technology**, v. 75, p. 291-297, 2015. - Fator de Impacto em 2014: 1,532

214. SILVA, S. F. C.; LANZONI, E. M.; MALACHIAS, A.; DENEKE, C. Overgrowth of wrinkled InGaAs membranes using molecular beam epitaxy. **Journal of Crystal Growth**, v. 425, p. 39-42, 2015. - Fator de Impacto em 2014: 1,698

215. BARCELOS, I. D.; CADORE, A. R.; CAMPOS, L. C.; MALACHIAS, A.; WATANABE, K.; TANIGUCHI, T.; MAIA, F. C. B.; FREITAS, R. O.; DENEKE, C. Graphene/h-BN plasmon-phonon coupling and plasmon delocalization observed by infrared nano-spectroscopy. **Nanoscale**, v. 7, p. 11620-11625, 2015. - Fator de Impacto em 2014: 7,394

216. LIMA, R. S.; LEÃO, P. A. G. C.; PIAZZETTA, M. H. O.; MONTEIRO, A. M.; SHIROMA, L. Y.; GOBBI, A. L.; CARRILHO, E. Sacrificial adhesive bonding: a powerful method for fabrication of glass microchips. **Scientific Reports**, v. 5, p. 13276, 2015. - Fator de Impacto em 2014: 5,578

217. ALVAREZ, T.M.; LIBERATO, M. V.; CAIRO, J. P. L. F.; PAIXÃO, D. A. A.; CAMPOS, B. M.; FERREIRA, M. R.; ALMEIDA, R. F.; PEREIRA, I. O.; BERNARDES, A.; MATSU, G. C. G.; CHINAGLIA, M.; POLIKARPOV, I.; OLIVEIRA NETO, M.; SQUINA, F. M. A novel member of gh16 family derived from sugarcane soil metagenome. **Applied Biochemistry and Biotechnology**, v. 177, n. 2, p. 304-317, 2015. - Fator de Impacto em 2014: 1,735

218. SANTOS, A. C. F.; PILLING, S.; ALMEIDA, D. P. Charge distribution of Kr ions produced upon photoionization around the 2s edge. **Journal of Electron Spectroscopy and Related Phenomena**, v. 203, p. 31-34, 2015. - Fator de Impacto em 2014: 1,436

219. PIRES, M. J. M.; MACEDO, W. A. A.; CAVALCANTI, L. P.; CARVALHO, A. M. G. Characterization of Fe-Nb sputtered thin films. **Journal of Physics and Chemistry of Solids**, v. 86, p. 36-41, 2015. - Fator de Impacto em 2014: 1,853
220. LEAL, G. F.; RAMOS, L. A.; BARRETT, D. H.; CURVELO, A. A. S.; RODELLA, C. B. A thermogravimetric analysis (TGA) method to determine the catalytic conversion of cellulose from carbon-supported hydrogenolysis process. **Thermochimica Acta**, v. 616, p. 9-13, 2015. - Fator de Impacto em 2014: 2,184
221. DRIEMEIER, C. E.; MENDES, F. M.; SANTUCCI, B. S.; PIMENTA, M. T. B. Cellulose co-crystallization and related phenomena occurring in hydrothermal treatment of sugarcane bagasse. **Cellulose**, v. 22, n. 4, p. 2183-2195, 2015. - Fator de Impacto em 2014: 3,573
222. MAYA-JOHNSON, S.; SANTA, J. F.; MEJIA, O. L.; ARISTIZABAL, S.; OSPINA, S.; CORTES, P. A.; GIRALDO, J. E. Effect of the number of welding repairs with GTAW on the mechanical behavior of AA7020 aluminum alloy welded joints. **Metallurgical and Materials Transactions B**, v. 46, n. 5, p. 2332-2339, 2015. - Fator de Impacto em 2014: 1,461
223. TEIXEIRA-NETO, A. A.; FACETO, B.; SIEBRA, L. S.; TEIXEIRA-NETO, E. Effect of the synthesis method on the properties and catalytic activities of Au/Pd nanoparticles supported on organophilic clay. **Applied Clay Science**, v. 116, p. 175-181, 2015. - Fator de Impacto em 2014: 2,467
224. MORENO, Y. P.; CARDOSO, M. B.; MONCADA, E.; DOS SANTOS, J. H. Z. Correlating the morphological properties and structural organization of monodisperse spherical silica nanoparticles grown on a commercial silica surface. **ChemPhysChem**, v. 16, n. 14, p. 2981-2994, 2015. - Fator de Impacto em 2014: 3,419
225. CUNHA, J. G. DA; SHIROMA, L. Y.; GIORDANO, G. F.; COUTO, B. C.; CARVALHO, R. M.; GOBBI, A. L.; KUBOTA, L. T.; LIMA, R. S. Microemulsification-based method: analysis of monoethylene glycol in samples related to natural gas processing. **Energy & Fuels**, v. 29, n. 9, p. 5649-5654, 2015. - Fator de Impacto em 2014: 2,79
226. RIVERA, C.; WINCK, F. V.; RIBEIRO, A. C. P.; DOMINGUES, R. R.; LING, L. Y.; RIAÑO-PACHÓN, D. M.; BRANDÃO, T. B.; GOUVEA, A. F.; SANTOS-SILVA, A. R.; COLETTA, R. D.; PAES LEME, A. F. Insights into immune responses in oral cancer through proteomic analysis of saliva and salivary extracellular vesicles **Scientific Reports**, v. 5, p. 16305-16317, 2015. - Fator de Impacto em 2014: 5,578
227. ÁVILA, J. A.; RUCHERT, C. O. F. T.; MEI, P. R.; MARINHO, R. R.; PAES, M. T. P.; RAMIREZ, A. J. Fracture toughness assessment at different temperatures and regions within a friction stirred API 5L X80 steel welded plates. **Engineering Fracture Mechanics**, v. 147, p. 176-186, 2015. - Fator de Impacto em 2014: 1,767
228. GIORDANO, G. F.; SHIROMA, L. Y.; GOBBI, A. L.; KUBOTA, L. T.; LIMA, R. S. Microemulsification-based method: analysis of ethanol in fermentation broth of sugar cane. **Analytical Methods**, v. 7, n. 23, p. 10061-10066, 2015. - Fator de Impacto em 2014: 1,821
229. OLIVEIRA, C. S.; BETTINI, J.; SIGOLI, F. A.; MAZALI, I. O. Europium (III)-doped ZnO obtained by a hierarchically nanostructured multi layer growth strategy. **Crystal Growth & Design**, v. 15, n. 11, p. 5246-5253, 2015. - Fator de Impacto em 2014: 4,891

230. STANIC, V.; BETTINI, J.; MONTORO, F. E.; STEIN, A.; EVANS-LUTTERODT, K. Local structure of human hair spatially resolved by sub-micron X-ray beam. **Scientific Reports**, v. 5, p. 17347, 2015. - Fator de Impacto em 2014: 5,578
231. SILVA, A. G. M. DA; RODRIGUES, T. S.; SLATER, T. J. A.; LEWIS, E. A.; ALVES, R. S.; FAJARDO, H. V.; BALZER, R.; SILVA, A. H. M. DA; FREITAS, I. C.; OLIVEIRA, D. C.; ASSAF, J. M.; PROBST, L. F. D.; HAIGH, S. J.; CAMARGO, P. H. C. Controlling size, morphology, and surface composition of agau nanodendrites in 15 s for improved environmental catalysis under low metal loadings. **ACS Applied Materials & Interfaces**, v. 7, n. 46, p. 25624-25632, 2015. - Fator de Impacto em 2014: 6,723
232. VIEIRA, P. S.; GIUSEPPE, P. O.; OLIVEIRA, A. H. C.; MURAKAMI, M. T. The role of the C-terminus and Kpn loop in the quaternary structure stability of nucleoside diphosphate kinase from Leishmania parasites. **Journal of Structural Biology**, v. 192, n. 3, p. 336-341, 2015. - Fator de Impacto em 2014: 3,231
233. RODRIGUES, C. G.; CASTRO, A. R. B.; LUZZI, R. Higher-order generalized hydrodynamics of carriers and phonons in semiconductors in the presence of electric fields: macro to nano. **Physica Status Solidi C**, v. 252, n. 12, p. 2802-2819, 2015. - Fator de Impacto em 2014: 0
234. FERREIRA, D. C. M.; GIORDANO, G. F.; SOARES, C. C. S. P.; OLIVEIRA, J. F. A.; MENDES, R. K.; PIAZZETTA, M. H. O.; GOBBI, A. L.; CARDOSO, M. B. Optical paper-based sensor for ascorbic acid quantification using silver nanoparticles. **Talanta**, v. 141, p. 188-194, 2015. - Fator de Impacto em 2014: 3,545

2014

Artigos Publicados por Beneficiários Externos

1. KESSLER, F.; MARCONATTO, L.; RODRIGUES, R. S. B.; LANDO, G. A.; SCHRANK, A.; VAINSTEIN, M. H.; WEIBEL, D. E. Biodegradation improvement of poly(3-hydroxy-butyrate) films by entomopathogenic fungi and UV-assisted surface functionalization. **Journal of Photochemistry and Photobiology B**, v. 130, p. 57-67, 2014. - Fator de Impacto em 2013: 2,803
2. BORGES, T. A.; SOUZA, A. T.; SQUINA, F. M.; RIAÑO-PACHÓN, D. M.; SANTOS, R. A. C.; MACHADO, E.; DAMÁSIO, A. R. DE L.; GOLDMAN, G. H. Biochemical characterization of an endoxylanase from *Pseudozyma brasiliensis* sp nov strain GHG001 isolated from the intestinal tract of *Chrysomelidae larvae* associated to sugarcane roots . **Process Biochemistry**, v. 49, n. 1, p. 77-83, 2014. - Fator de Impacto em 2013: 2,524
3. HEREDIA, E.; DÍAZ, B.; MALACHIAS, A.; RAPPL, P. H. O.; IIKAWA, F.; BRASIL, M. J. S. P.; MOTISUKE, M. Anomalous strain behavior on EuTe self-assembled islands. **Journal of Crystal Growth**, v. 386, p. 139-145, 2014. - Fator de Impacto em 2013: 1,693
4. MENDEZ-GONZÁLES, Y.; PENTON-MADRIGAL, A.; PÉLAIZ-BARRANCO, A.; FIGUEROA, S. J. A.; OLIVEIRA, L. A. S.; CONCEPCIÓN-ROSABAL, B. Local-site cation ordering of Eu_{3+} ion in doped PbTiO_3 . **Physica B. Condensed Matter**, v. 434, p. 171-176, 2014. - Fator de Impacto em 2013: 1,276
5. FREITAS, I. C.; DAMYANOVA, S.; OLIVEIRA, D. C.; MARQUES, C. M. P.; BUENO, J. M. C. Effect of Cu content on the surface and catalytic properties of Cu/ZrO₂ catalyst for ethanol dehydrogenation. **Journal of Molecular Catalysis A**, v. 381, p. 26-37, 2014. - Fator de Impacto em 2013: 3,679
6. SIQUEIRA, K. P. F.; SOARES, J. C.; GRANADO, E.; BITTAR, E. M.; PAULA, A. M. DE; MOREIRA, R. L.; DIAS, A. Synchrotron X-ray diffraction and Raman spectroscopy of Ln(3)NbO(7) (Ln=La, Pr, Nd, Sm-Lu) ceramics obtained by molten-salt synthesis. **Journal of Solid State Chemistry**, v. 209, p. 63-68, 2014. - Fator de Impacto em 2013: 2,2
7. SÁNCHEZ, H. J.; LEANI, J. J.; PÉREZ, C. A.; PÉREZ, R. D. Arsenic speciation by X-ray spectroscopy using resonant Raman scattering. **Journal of Applied Spectroscopy**, v. 80, n. 6, p. 912-916, 2014. - Fator de Impacto em 2013: 0,514
8. OLIVEIRA, J. M.; MALACHIAS, A.; OSPINA RAMIREZ, C. A.; FERREIRA, S. O. Nondestructive monitoring of defect evolution in epitaxial CdTe thin layers grown on Si(111). **Journal of Physical Chemistry C**, v. 118, n. 4, p. 1968-1973, 2014. - Fator de Impacto em 2013: 4,835
9. SOSA, C. M.; SÁNCHEZ, H. J.; PÉREZ, C. A.; PÉREZ, R. D. Structural and elemental X-ray microanalysis with synchrotron radiation in confocal geometry. **Nuclear Instruments and Methods in Physics Research B**, v. 319, p. 171-176, 2014. - Fator de Impacto em 2013: 1,186
10. GOMEZ, L. D.; MCQUEEN- MASON, S. J.; STEELE-KING, C. G.; LIMA, M. A.; SIMISTER, R., BERNARDINELLI, O. D.; CARVALHO, M. A.; REZENDE, C. A.; LABATE, C. A., DE AZEVEDO, E. R.; POLIKARPOV, I. Evaluating the composition and processing potential of novel sources of brazilian biomass for sustainable biorenewables production. **Biotechnology for Biofuels**, v. 7, p. 10, 2014. - Fator de Impacto em 2013: 6,221

11. LICEA, Y. E.; AMAYA, S. L.; ECHAVARRÍA, A.; BETTINI, J.; EON, J. G.; PALACIO, L. A.; FARO JR., A. C. Simultaneous tetralin HDA and dibenzothiophene HDS reactions on NiMo bulk sulphide catalysts obtained from mixed oxides. **Catalysis Science & Technology**, v. 4, n. 5, p.1227-1238, 2014. - Fator de Impacto em 2013: 4,76
12. RIBEIRO, L. F. C.; DE LUCAS, R. C.; VITICOSQUE, G. L.; RIBEIRO, L. F.; WARD, R. J.; RUBIO, M. V.; DAMÁSIO, A. R. DE L.; SQUINA, F. M.; GREGORY, R. C.; WALTON, P. H.; JORGE, J. A.; PRADE, R. A.; BUCKERIDGE, M. S.; POLIZELI, M. DE L. T. M.A novel thermostable xylanase GH10 from *Malbranchea pulchella* expressed in *Aspergillus nidulans* with potential applications in biotechnology. **Biotechnology for Biofuels**, v. 7, p. 115, 2014. - Fator de Impacto em 2013: 6,221
13. DELLA NOCE, R.; BENEDETTI, A. V.; MAGNANI, M.; CAETANO, E. P.; KUMAR, H.; CORNEJO, D. R.; OSPINA RAMIREZ, C. A. Structural, morphological and magnetic characterization of electrodeposited Co-Fe-W alloys. **Journal of Alloys and Compounds**, v. 611, p. 243-248, 2014. - Fator de Impacto em 2013: 2,726
14. HASSAN, A.; CARRERAS, A.; TRICAVELLI, J.; TICIANELLI, E. A. Effect of heat treatment on the activity and stability of carbon supported PtMo alloy electrocatalysts for hydrogen oxidation in proton exchange membrane fuel cells. **Journal of Power Sources**, v. 247, p. 712-720, 2014. - Fator de Impacto em 2013: 5,211
15. MORAES, M. L.; RODRIGUES, V. C.; SOARES, J. C.; FERREIRA, M.; DE SOUZA, N. C.; OLIVEIRA JR., O. N. Immunosensor for HIV-1 diagnostics based on immobilization of the antigenic peptide p24-3 Into liposomes. **Journal of Nanoscience and Nanotechnology**, v. 14, n.9, p. 6638-6645, 2014. - Fator de Impacto em 2013: 1,339
16. GARCÍA- BASABE, Y.; MARCHIORI, C. F. N.; BORGES, B. G. A. L.; YAMAMOTO, N. A. D.; MACEDO, A. G.; KOEHLER, M.; ROMAN, L. S.; ROCCO, M. L. M. Electronic structure, molecular orientation, charge transfer dynamics and solar cells performance in donor/acceptor copolymers and fullerene: experimental and theoretical approaches. **Journal of Applied Physics**, v. 115, n. 13, p. 134901, 2014. - Fator de Impacto em 2013: 2,185
17. MIRANDA, B. C.; CHIMENTÃO, R. J.; SANTOS, J. B. O.; GISPERT-GUIRADO, F.; LLORCA, J.; MEDINA, F.; LÓPEZ BONILLO, F.; SUEIRAS, J. E. Conversion of glycerol over 10%Ni/ γ -Al₂O₃ catalyst. **Applied Catalysis B**, v. 147, p. 464-480, 2014. - Fator de Impacto em 2013: 6,007
18. MESQUITA, A.; MICHALOWICZ, A.; PIZANI, P. S.; MASTELARO, V. R. Local order of Pb_{1-x}La_xZr_{0.40}Ti_{0.60}O₃ ferroelectric ceramic materials probed by X-ray absorption and Raman spectroscopies. **Journal of Alloys and Compounds**, v. 582, p. 680-687, 2014. - Fator de Impacto em 2013: 2,726
19. WAGERMAIER, W.; HOERTH, R. M.; KATUNAR, M. R.; SANCHEZ, A. G.; ORELLANO, J. C.; CERÉ, S.M.; BALLARRE, J. A comparative study of zirconium and titanium implants in rat: osseointegration and bone material quality. **Journal of Materials Science: Materials in Medicine**, v. 25, n. 2, p. 411-422, 2014. - Fator de Impacto em 2013: 2,379
20. FREITAS, V. F.; PROTZEK, O. A.; MONTORO, L. A.; GONÇALVES, A. M.; GARCIA, D.; EIRAS, J. A.; GUO, R.; BHALLA, A. S.; COTICA, L. F.; SANTOS, I. A. A phenomenological model for ferroelectric domain walls and its implications for BiFeO₃PbTiO₃ multiferroic compounds. **Journal of Materials Chemistry C**, v. 2, n. 2 , p. 364-372, 2014. - Fator de Impacto em 2013: 0
21. ZOLA, A. S.; RIBEIRO, R. U.; BUENO, J. M. C.; ZANCHET, D.; ARROYO, P. A. Cobalt nanoparticles prepared by three different methods. **Journal of Experimental Nanoscience**, v. 9, n. 4, p. 398-405, 2014. - Fator de Impacto em 2013: 1,043

22. SANTOS, G. O. S.; SILVA, R. S.; COSTA, L. P.; CELLET, T. S. P.; RUBIRA, A. F.; EGUILUZ, K. I. B.; SALAZAR-BANDA, G. R. Influence of synthesis conditions on the properties of electrochemically synthesized BaTiO₃ nanoparticles. **Ceramics International**, v. 40, n. 2, p. 3603-3609, 2014. - Fator de Impacto em 2013: 2,086
23. CEPPI, S.A.; MESQUITA, A.; POMIRO, F.; PANNUNZIO MINER, E. V.; TIRAO, G. Study of K β X-ray emission spectroscopy applied to Mn((2-x))V((1+x))O4 (x=0 and 1/3) oxyspinel and comparison with XANES. **Journal of Physics and Chemistry of Solids**, v. 75, n. 3, p. 366-373, 2014. - Fator de Impacto em 2013: 1,594
24. COLTRO, W. K. T.; NEVES, R. S.; MOTHEO, A. J.; SILVA, J. A. F.; CARRILHO, E. Microfluidic devices with integrated dual-capacitively coupled contactless conductivity detection to monitor binding events in real time. **Sensors and Actuators B**, v. 192, p. 239-246, 2014. - Fator de Impacto em 2013: 3,84
25. LEITÃO, R. G.; PALUMBO JR., A.; SOUZA, P. A. V. R.; PEREIRA, G. R.; CANELLAS, C. G. L.; ANJOS, M. J. DOS; NASCIUTTI, L. E.; LOPES, R. T. Elemental concentration analysis in prostate tissues using total reflection X-ray fluorescence. **Radiation Physics and Chemistry**, v. 95, p. 62-64, 2014. - Fator de Impacto em 2013: 1,189
26. ANDRADE, C. B. V.; SALATA, C.; SILVA, C. M.; FERREIRA-MACHADO, S. C.; BRAZ, D.; ALMEIDA, A. P.; NOGUEIRA, L. P.; BARROSO, R. C.; DE ALMEIDA, C. E.; MANTUANO, A.; MOTA, C. L. S.; PICKLER, A. Evaluation of radiotherapy and chemotherapy effects in bone matrix using X-ray microfluorescence. **Radiation Physics and Chemistry**, v. 95, p. 274-279, 2014. - Fator de Impacto em 2013: 1,189
27. SOARES, J. C. A. C. R.; CANELLAS, C. G. L.; ANJOS, M. J. DOS; LOPES, R. T. Multielemental analysis of samples from patients with dermatological pathologies using synchrotron radiation. **Radiation Physics and Chemistry**, v. 95, p. 317-319, 2014. - Fator de Impacto em 2013: 1,189
28. CANDEIAS, J. P.; OLIVEIRA, D. F.; ANJOS, M. J. DOS; LOPES, R. T. Scale analysis using X-ray microfluorescence and computed radiography. **Radiation Physics and Chemistry**, v. 95, p. 408-411, 2014. - Fator de Impacto em 2013: 1,189
29. ALCANTARA, K. F.; GOMES, A. H. A.; WOLFF, W.; SIGAUD, L.; SANTOS, A. C. F. Outer-shell double photoionization of CH₂Cl₂. **Chemical Physics**, v. 429, p. 1-4, 2014. - Fator de Impacto em 2013: 2,028
30. MARTINS, M. L.; SAEKI, M. J.; TELLING, M. T. F.; PARRA, J. P. E. L. L.; LANDSGESELL, S., SMITH, R. I.; BORDALLO, H. N. Development and characterization of a new bio-nanocomposite (bio-NCP) for diagnosis and treatment of breast cancer. **Journal of Alloys and Compounds**, v. 584, p. 514-519, 2014. - Fator de Impacto em 2013: 2,726
31. HONORATO, S. B.; MENDONÇA, J. S.; BOECHAT, N.; OLIVEIRA, A. C.; MENDES-FILHO, J.; ELLENA, J.; AYALA, A. P. Novel polymorphs of the anti-*Trypanosoma cruzi* drug benznidazole. **Spectrochimica Acta A**, v. 118, n. 389-394, 2014. - Fator de Impacto em 2013: 2,129
32. SERBENA, J. P. M.; MACHADO, K. D.; SIQUEIRA, M. C.; HUMMELGENT, I. A.; MOSSANEK, R. J. O.; SOUZA, G. B.; SILVA, J. H. D. DA. SeP hole injection layer for devices based on organic materials. **Journal of Physics D**, v. 47, n. 1, p. 015304, 2014 - Fator de Impacto em 2013: 2,521
33. ROCHA, M. V. J.; CARVALHO, H. W. P.; LACERDA , L. C. T.; SIMÕES, G.; SOUZA, G. G. B. DE; RAMALHO, T. C. Ionic desorption in PMMA-γ-Fe₂O₃ hybrid materials induced by fast electrons: an experimental and theoretical investigation. **Spectrochimica Acta A**, v. 117, p. 276-283, 2014. - Fator de Impacto em 2013: 2,129

34. AMIRKHANYAN, Z. G.; REMÉDIOS, C. M. R.; MASCARENHAS, Y. P.; MORELHÃO, S. L. Analyzing structure factor phases in pure and doped single crystals by synchrotron X-ray renninger scanning. **Journal of Applied Crystallography**, v. 47, pt. 1, p. 160-165, 2014. - Fator de Impacto em 2013: 3,95
35. ZANIN, H.; SAITO, E.; CERAGIOLI, H. J.; BARANAUSKAS, V.; CORAT, E. J. Reduced graphene oxide and vertically aligned carbon nanotubes superhydrophilic films for supercapacitors devices. **Materials Research Bulletin**, v. 49, n. 487-493, 2014. - Fator de Impacto em 2013: 1,698
36. GONÇALVES, K. M.; BARBOSA, L. R. S.; LIMA, L. M. T. R.; CORTINES, J. R.; KALUME, D. E.; LEAL, I. C. R.; MARIZ E MIRANDA, L. S.; DE SOUZA, R. O. M.; CORDEIRO, Y. Conformational dissection of Thermomyces lanuginosus lipase in solution. **Biophysical Chemistry**, v. 185, p. 88-97, 2014. - Fator de Impacto em 2013: 2,319
37. LATTUADA, R. M.; PERALBA, M. C. R.; DOS SANTOS, J. H. Z.; FISCH, A. G. Peat, rice husk and rice husk carbon as low-cost adsorbents for metals from acidic aqueous solutions. **Separation Science and Technology**, v. 49, n. 1, p. 101-111, 2014. - Fator de Impacto em 2013: 1,2
38. CARVALHO, F. A. O.; CARVALHO, J. W. P.; BIAZIN, E.; SANTIAGO, P. S.; TABAK, M. Characterization of Rhinodrilus alatus hemoglobin (HbRa) and its subunits: Evidence for strong interaction with cationic surfactants DTAB and CTAC. **Comparative Biochemistry and Physiology B**, v. 167, n. 23-29, 2014. - Fator de Impacto em 2013: 1,904
39. MOLINA, E. F.; PULCINELLI, S. H.; BRIOIS, V.; SANTILLI, C. V. Fine-tuning of a nanostructure, swelling, and drug delivery profile by blending ureasil-PEO and ureasil-PPO hybrids. **Polymer Chemistry**, v. 5, p. 1897-1904, 2014. - Fator de Impacto em 2013: 5,368
40. MARDEGAN, J. R. L.; ADRIANO, C.; VESCOVI, R. F. C.; FARIA, G. A.; PAGLIUSO, P. G.; GILES, C. Magnetic structure of R₂CoGa₈ (R = Gd, Tb, and Dy): structural tuning of magnetic properties in layered Ga-based intermetallic compounds . **Physical Review B**, v. 89, n. 11, p. 115103, 2014. - Fator de Impacto em 2013: 3,664
41. BOITA, J.; ALVES, M. C. M.; MORAIS, J. DE. A reaction cell for time-resolved in situ XAS studies during wet chemical synthesis: the Cu-2(OH)(3)Cl case. **Journal of Synchrotron Radiation**, v. 21, pt. 1, p. 254-258, 2014. - Fator de Impacto em 2013: 3,022
42. GONÇALVES, R. V.; MIGOWSKI, P.; WENDER, H.; FEIL, A. F.; ZAPATA, M. J. M.; KHAN, S.; BERNARDI, F.; AZEVEDO, G. DE M.; TEIXEIRA, S. R. On the crystallization of Ta₂O₅ nanotubes: structural and local atomic properties investigated by EXAFS and XRD. **CrystEngComm**, v. 16, n. 5, p. 797-804, 2014. - Fator de Impacto em 2013: 3,858
43. CARASTAN, D. J.; AMURIN, L. G.; CRAIEVICH, A.; GONÇALVES, M. C.; DEMARQUETTE, N. R. Clay-containing block copolymer nanocomposites with aligned morphology prepared by extrusion. **Polymer International**, v. 63, n. 2, p. 184-194, 2014. - Fator de Impacto em 2013: 2,247
44. ZANETTI, S. M.; ROCHA, K. O.; RODRIGUES, J. A. J.; LONGO, E. Soft-chemical synthesis, characterization and humidity sensing behavior of WO₃/TiO₂ nanopowders. **Sensors and Actuators B**, v. 190, p. 40-47, 2014. - Fator de Impacto em 2013: 3,84
45. RODRIGUES, A.; ALVES, M. C. M.; MORAIS, J. DE. Self-assembled nanocolumnar ZnO films chemically deposited on stainless steel with controlled morphology and thickness. **Materials Letters**, v. 114, p. 122-125, 2014. - Fator de Impacto em 2013: 2,269

46. BARIN, G. B.; GIMENEZ, I. F.; COSTA, L. P.; SOUZA FILHO, A. G.; BARRETO, L. S. Hollow carbon nanostructures obtained from hydrothermal carbonization of lignocellulosic biomass. **Journal of Materials Science**, v. 49, n. 2, p. 665-672, 2014. - Fator de Impacto em 2013: 2,305
47. REZENDE, M. V. DOS S.; MONTES, P. J. R.; SOARES, F. M.; SANTOS, C.; VALERIO, M. E. G. Influence of co-dopant in the europium reduction in SrAl₂O₄ host. **Journal of Synchrotron Radiation**, v. 21, pt. 1, n. 143-148, 2014. - Fator de Impacto em 2013: 3,022
48. BAQUÉ, L.; AURELIO, G.; LAMAS, D. G.; ARICÓ, S.; CRAIEVICH, A. F. Phase identification of Cu-In alloys with 45 and 41.25 at.% in compositions. **Journal of Phase Equilibria and Diffusion**, v. 35, n. 1, p. 2-10, 2014. - Fator de Impacto em 2013: 0,49
49. CORAL, D. F.; MENDOZA ZÉLIS, P.; DE SOUSA, M. E.; MURACA, D.; LASSALLE, V.; NICOLÁS, P.; FERREIRA, M. L.; FERNÁNDEZ VAN RAAP, M. B. Quasi-static magnetic measurements to predict specific absorption rates in magnetic fluid hyperthermia experiments. **Journal of Applied Physics**, v. 115, n. 4, p. 043907, 2014. - Fator de Impacto em 2013: 2,185
50. BARROSO-NETO, I. L.; SIMÕES, R. C.; ROCHA, B. A. M.; BEZERRA, M. J. B.; PEREIRA-JÚNIOR, F. N.; OSTERNE, V. J. S.; NASCIMENTO, K. S.; NAGANO, C. S., DELATORRE, P.; PEREIRA, M. G.; PIRES, A. F.; SAMPAIO, A. H.; ASSREUY, A. M. S.; CAVADA, B. S. Vasorelaxant activity of *Canavalia grandiflora* seed lectin: a structural analysis. **Archives of Biochemistry and Biophysics**, v. 543, p. 31-39, 2014. - Fator de Impacto em 2013: 3,043
51. KESSLER, F.; STEFFENS, D.; LANDO, G. A.; PRANKE, P.; WEIBEL, D. E. Wettability and cell spreading enhancement in poly(sulfone) and polyurethane surfaces by UV-assisted treatment for tissue engineering purposes. **Tissue Engineering and Regenerative Medicine**, v. 11, n. 1, p. 23-31, 2014. - Fator de Impacto em 2013: 0,613
52. FAVARO, M. T. P.; TOLEDO, M. A. S.; ALVES, R. F.; SANTOS, C. A.; BELOTI, L. L.; JANISSEN, R.; DE LA TORRE, L. G.; SOUZA, A. P.; AZZONI, A. R. Development of a non-viral gene delivery vector based on the dynein light chain Rp3 and the TAT peptide. **Journal of Biotechnology**, v. 173, p. 10-18, 2014. - Fator de Impacto em 2013: 2,884
53. CARESANI, J. R.; LATTUADA, R. M.; RADTKE, C.; DOS SANTOS, J. H. Z. Attempts made to heterogenize MAO via encapsulation within silica through a non-hydrolytic sol-gel process. **Powder Technology**, v. 252, p. 56-64, 2014. - Fator de Impacto em 2013: 2,269
54. LUCRÉDIO, A. F.; ASSAF, J. M.; ASSAF, E. M. Reforming of a model sulfur-free biogas on Ni catalysts supported on Mg(Al)O derived from hydrotalcite precursors: effect of La and Rh addition. **Biomass and Bioenergy**, v. 60, p. 8-17, 2014. - Fator de Impacto em 2013: 3,411
55. MENDONÇA, V. R.; MOURÃO, H. A. J. L.; MALAGUTTI, A. R.; RIBEIRO, C. The role of the relative dye/photocatalyst concentration in TiO₂ assisted photodegradation process. **Photochemistry and Photobiology**, v. 90, p. 66-72, 2014. - Fator de Impacto em 2013: 2,684
56. COSTA, F. N.; BRAZ, D.; FERREIRA, F. F.; DA SILVA, T. F.; BARREIRO, E. J.; LIMA, L. M.; COLAÇO, M. V.; KUPLICH, L.; BARROSO, R. C. Synchrotron X-ray powder diffraction data of LASSBio-1515: a new N-acylhydrazone derivative compound. **Radiation Physics and Chemistry**, v. 95, p. 292-295, 2014. - Fator de Impacto em 2013: 1,189
57. BERNARDES, A. A.; RADTKE, C.; ALVES, M. C. M.; BAIBICH, I.M.; LUCCHESE, M.; DOS SANTOS, J. H. Z. Synthesis and characterization of SiO₂-CrO₃, SiO₂-MoO₃, and SiO₂-WO₃ mixed oxides produced using the non-hydrolytic sol-gel process. **Journal of Sol-Gel Science and Technology**, v. 69, n. 1, p. 72-84, 2014. - Fator de Impacto em 2013: 1,547

58. CASTRO, I. A.; AVANSI JR.; W., RIBEIRO, C. WO_3/TiO_2 heterostructures tailored by the oriented attachment mechanism: insights from their photocatalytic properties. **CrystEngComm**, v. 16, n. 8, p. 1514-1524, 2014. - Fator de Impacto em 2013: 3,858
59. FEITOSA, N. C.; GONÇALVES, T. D.; MESQUITA, J. J.; MENEGUCCI, J.; SANTOS, M.- K. M. S.; CHAKER, J. A.; CUNHA, R. B.; MEDEIROS, A. M. M.; RUBIM, J. C.; SOUSA, M. H. Fabrication of glycine-functionalized maghemite nanoparticles for magnetic removal of copper from wastewater. **Journal of Hazardous Materials**, v. 264, p. 153-160, 2014. - Fator de Impacto em 2013: 4,331
60. ARAÚJO, B.; TORRES, L.; STEIN, M.; CABRAL, F. R.; HERAI, R.; OKAMOTO, O.; CAVALHEIRO, E. Decreased expression of proteins involved in energy metabolism in the hippocampal granular layer of rats submitted to the pilocarpine epilepsy model. **Neuroscience Letters**, v. 561, p. 46-51, 2014. - Fator de Impacto em 2013: 2,055
61. RODRIGUES, L. C. V.; HÖLSÄ, J.; LASTUSAARI, M.; FELINTO, M. C. F. C.; BRITO, H. F. Defect to R3+ energy transfer: colour tuning of persistent luminescence in CdSiO_3 . **Journal of Materials Chemistry C**, v. 2, n. 9, p. 1612-1618, 2014. - Fator de Impacto em 2013: 0
62. BOITA, J.; BERNARDI, F.; CASTEGNARO, M. V.; NICOLAO, L.; ALVES, M. C. M.; MORAIS, J. DE. Reversible sulfidation of $\text{Pt}_{0.3}\text{Pd}_{0.7}$ nanoparticles investigated by in situ time-resolved XAS. **Journal of Physical Chemistry C**, v. 118, n. 10, p. 5538-5544, 2014. - Fator de Impacto em 2013: 4,835
63. SEGATO, F.; BERTO, G. L.; ARAÚJO, E. A.; MUNIZ, J. R. C.; POLIKARPOV, I. Expression, purification, crystallization and preliminary X-ray diffraction analysis of *Aspergillus terreus* endo-Beta-1,4-glucanase from glycoside hydrolase family 12. **Acta Crystallographica F**, v. 70, pt. 2, p. 267-270, 2014. - Fator de Impacto em 2013: 0,568
64. AZCARATE, J. C.; ADDATO, M. A. F.; RUBERT, A. A.; CORTHEY, G.; MORENO, G. S. K.; BENITEZ, G.; ZELAYA, E.; SALVAREZZA, R. C.; FONTICELLI, M. H. Surface chemistry of thiomalic acid adsorption on planar gold and gold nanoparticles. **Langmuir**, v. 30, n. 7, p. 1820-1826, 2014. - Fator de Impacto em 2013: 4,384
65. MATOS, M. G.; FARIA, E. H.; ROCHA, L. A.; CALEFI, P. S.; CIUFFI, K. J.; NASSAR, E. J.; SARMENTO, V. H. V. Synthesis and photoluminescent properties of yttrium vanadate phosphor prepared by the non-hydrolytic sol-gel process. **Journal of Luminescence**, v. 147, p. 190-195, 2014. - Fator de Impacto em 2013: 2,367
66. PEROTTI, G. F.; TRONTO, J.; BIZETO, M. A.; IZUMI, C. M. S.; TEMPERINI, M. L. A.; LUGÃO, A. B.; PARRA, D. F.; CONSTANTINO, V. R. L. Biopolymer-clay nanocomposites: cassava starch and synthetic clay cast films. **Journal of Brazilian Chemical Society**, v. 25, n. 2, p. 320-330, 2014. - Fator de Impacto em 2013: 1,253
67. MOLINA, E. F.; PARREIRA, R. L. T.; DE FARIA, E. H.; DE CARVALHO, H. W. P.; CARAMORI, G. F.; COIMBRA, D. F.; NASSAR, E. J.; CIUFFI, K. J. Ureasil-poly(ethylene oxide) hybrid matrix for selective adsorption and separation of dyes from water. **Langmuir**, v. 30, n. 13, p. 3857-3868, 2014. - Fator de Impacto em 2013: 4,384
68. REZENDE, M. V. DOS S.; ANDRADE, A. B.; VALERIO, M. E. G.; MONTES, P. J. R. The effect of the host composition on the lifetime decay properties of barium/strontium aluminates compounds. **Journal of Applied Physics**, v. 115, n. 10, p. 103510, 2014 .- Fator de Impacto em 2013: 2,185
69. PONTES, D. S. L.; PONTES, F. M.; DA SILVA, L. F.; CHIQUITO, A. J.; PIZANI, P. S.; LONGO, E. Influence of a co-substituted A-site on structural characteristics and ferroelectricity of $(\text{Pb}, \text{Ba}, \text{Ca})\text{TiO}_3$ complex

Perovskites: analysis of local-medium- and long-range order. **Journal of Sol-Gel Science and Technology**, v. 69, n. 3, p. 605-616, 2014. - Fator de Impacto em 2013: 1,547

70. GONÇALVES, R. V.; WOJCIESZAK, R.; UBERMAN, P. M.; TEIXEIRA, S. R.; ROSSI, L. M. Insights into the active surface species formed on Ta₂O₅ nanotubes in the catalytic oxidation of CO. **Physical Chemistry Chemical Physics (PCCP)**, v. 16, p. 5755-5762, 2014. - Fator de Impacto em 2013: 4,198
71. DA SILVA, L. F.; M'PEKO, J.C.; ANDRÉS, J.; BELTRÁN, A.; GRACIA, L.; BERNARDI, M. I. B.; MESQUITA, A.; ANTONELLI, E.; MOREIRA, M. L.; MASTELARO, V. R. Insight into the effects of Fe addition on the local structure and electronic properties of SrTiO₃. **Journal of Physical Chemistry C**, v. 118, n. 9, p. 4930-4940, 2014. - Fator de Impacto em 2013: 4,835
72. RODRÍGUEZ TORRES, C. E.; PASQUEVICH, G. A.; MENDOZA ZÉLIS, P.; GOLMAR, F.; HELUANI, S. P.; NAYAK, S. K.; ADEAGBO, W. A.; HERGERT, W.; HOFFMANN, M.; ERNST, A.; ESQUINAZI, P.; STEWART, S. J. Oxygen-vacancy-induced local ferromagnetism as a driving mechanism in enhancing the magnetic response of ferrites. **Physical Review B**, v. 89, n. 10, p. 104411, 2014. – Fator de Impacto em 2013: 3,664
73. RODRIGUES, L. C. V.; LASTUSAARI, M.; BRITO, H. F.; FELINTO, M. C. F. C.; CARVALHO, J. M.; HÖLSÄ, J.; MALTA, O. L. Persistent luminescence of cadmium silicates. **Physica Scripta**, v. 89, p. 044014, 2014. - Fator de Impacto em 2013: 1,296
74. GOMEZ, L. E.; SOLIER, B. M.; MIZRAHI, M. D.; RAMALLO-LÓPEZ, J. M.; MIRÓ, E. E.; BOIX, A. V. Preferential CO oxidation on Pt-Cu/Al₂O₃ catalysts with low Pt loadings. **International Journal of Hydrogen Energy**, v. 39, n. 8, p. 3719-3729, 2014. - Fator de Impacto em 2013: 2,93
75. CORTEZ, M.L.; GONZÁLEZ, G. A.; CEOLÍN, M. R.; AZZARONI, O.; BATTAGLINI, F. Self-assembled redox polyelectrolyte-surfactant complexes: nanostructure and electron transfer characteristics of supramolecular films with built-in electroactive chemical functions. **Electrochimica Acta**, v. 118, p. 124-129, 2014. - Fator de Impacto em 2013: 4,006
76. SETTI, G. O.; SILVA, J. V. L.; OLIVEIRA, M. F.; MAIA, I. A.; JESUS, D. P.; SAVU, R.; SANTOS, T. E. A.; SOUZA, R. C. Z.; JOANNI, E. Surface methods for monitoring the densification of parts in the selective laser sintering process. **Rapid Prototyping Journal**, v. 20, n. 2, p. 157-163, 2014. - Fator de Impacto em 2013: 1,156
77. VALVERDE, J. A.; ECHAVARRÍA, A.; EON, J. G.; FARO JR., A. C.; PALACIO, L. A. V-Mg-Al catalyst from hydrotalcite for the oxidative dehydrogenation of propane. **Reaction Kinetics Mechanisms and Catalysis**, v. 111, n. 2, p. 679-696, 2014. - Fator de Impacto em 2013: 0,983
78. ESCOBAR, C. C.; SANTOS, J. H. Z. DOS Effect of the sol-gel route on the textural characteristics of silica imprinted with Rhodamine B. **Journal of Separation Science**, v. 37, n. 7, p. 868-875, 2014. - Fator de Impacto em 2013: 2,594
79. CORREA, G. G.; MORAIS, E. C.; BRAMBILLA, R.; BERNARDES, A. A.; RADTKE, C.; DEZEN, D.; JÚNIOR, A. V.; FRONZA, N.; DOS SANTOS, J. H. Z. Effects of the sol-gel route on the structural characteristics and antibacterial activity of silica-encapsulated gentamicin. **Colloids and Surfaces B**, v. 116, p. 510-517, 2014. - Fator de Impacto em 2013: 4,287
80. FORALOSSO, F. B.; FRONZA, N.; DOS SANTOS, J. H. Z.; CAPELETTI, L. B.; QUADRI, M. G. N. The use of duo-functional PVC film for conservation of minimally processed apples. **Food and Bioprocess Technology**, v. 7, n. 5, p. 1483-1495, 2014. - Fator de Impacto em 2013: 3,126

81. SUMAN, P. H.; LONGO, E.; VARELA, J. A.; ORLANDI, M. O. Controlled synthesis of layered Sn₃O₄ nanobelts by carbothermal reduction method and their gas sensor properties. **Journal of Nanoscience and Nanotechnology**, v. 14, n. 9, p. 6662-6688, 2014. - Fator de Impacto em 2013: 1,339
82. BALLESTEROS, C. A. S.; CANCINO, J.; MARANGONI, V. S.; ZUCOLOTTO, V. Nanostructured Fe₃O₄ satellite gold nanoparticles to improve biomolecular detection. **Sensors and Actuators B**, v. 198, p. 377-383, 2014. - Fator de Impacto em 2013: 3,84
83. MONTORO, L. A.; MATSUBARA, E. Y.; ROSOLEN, J. M. Lithium intercalation into single-walled carbon nanotubes network electrode: storage mechanisms and impurity effects. **Journal of Power Sources**, v. 257, p. 205-212, 2014. - Fator de Impacto em 2013: 5,211
84. PERULLINI, A. M.; FERRO, Y.; DURRIEU, C.; JOBBÁGY, M.; BILMES, S. A. Sol gel silica platforms for microalgae-based optical biosensors. **Journal of Biotechnology**, v. 179, p. 65-70, 2014. - Fator de Impacto em 2013: 2,884
85. ZENATTI, A.; QUEIRUGA REY, J. F.; LEITE, E. R.; LONGO, E.; ESCOTE, M. T. LaNiO₃ nanotubes produced using a template-assisted method. **Journal of Nanoscience and Nanotechnology**, v. 14, n. 6, p. 4431-4436, 2014. - Fator de Impacto em 2013: 1,339
86. LESSEUX, G. G.; IWAMOTO, W.; GARCIA-FLORES, A. F.; URBANO, R. R.; RETTORI, C. Absence of exchange interaction between localized magnetic moments and conduction-electrons in diluted Er³⁺ gold-nanoparticles. **Journal of Applied Physics**, v. 115, n. 17, p. 17E128, 2014. - Fator de Impacto em 2013: 2,185
87. MOLINA, E. F.; JESUS, C. R. N.; CHIAVACCI, L. A.; PULCINELLI, S. H.; BRIOIS, V.; SANTILLI, C. V. Ureasil-polyether hybrid blend with tuneable hydrophilic/hydrophobic features based on U-PEO1900 and U-PPO400 mixtures. **Journal of Sol-Gel Science and Technology**, v. 70 n. 2, p. 317-328, 2014. - Fator de Impacto em 2013: 1,547
88. OTUBO, L.; FERREIRA, O.P.; SOUZA FILHO, A. G.; ALVES, O. L. Raman spectroscopy for probing covalent functionalization of single-wall carbon nanotubes bundles with gold nanoparticles. **Journal of Nanoparticle Research**, v. 16, n. 5, p. 2415, 2014. - Fator de Impacto em 2013: 2,278
89. VICENTE, J.; GOULART, J. S.; PREMAZZI, C. A.; SOBRINHO, A. G. P.; SILVA NETO, A. A.; AZEREDO, M. C. S.; DOMINGOS, J. B.; MIRANDA, F. S. H-aggregation of the amphiphilic dye TDPI: photophysical, electrochemical, DFT and SAXS studies. **Journal of Molecular Structure**, v. 1063, p. 320-327, 2014. - Fator de Impacto em 2013: 1,599
90. DE PAULI, M.; SANTOS, P. L.; COSTA, B. B. A.; MAGALHÃES-PANIAGO, R.; CURY, L. A.; MALACHIAS, A. Understanding molecular interactions in light-emitting polymer bilayers: the role of solvents and molecular structure on the interface quality. **Applied Physics Letters**, v. 104, n. 16, p. 163301, 2014. - Fator de Impacto em 2013: 3,515
91. PROCACCINI, R.A.; STUDDERT, C. A.; PELLICE, S.A. Silver doped silica-methyl hybrid coatings. Structural evolution and antibacterial properties. **Surface and Coatings Technology**, v. 244, p. 92-97, 2014. - Fator de Impacto em 2013: 2,199
92. WOLOSIUK, A.; TOGNALLI, N. G.; MARTINEZ, E. D.; GRANADA, M.; FUERTES, M. C.; TROIANI, H. E.; BILMES, S. A.; FAINSTEIN, A.; SOLER-ILLIA, G. J. A. A. Silver nanoparticle-mesoporous oxide nanocomposite thin films: a platform for spatially homogeneous SERS-active substrates with enhanced stability. **ACS Applied Materials & Interfaces**, v. 6, n. 7, p. 5263-5272, 2014. - Fator de Impacto em 2013: 5,9
93. COMETTO, F. P.; CALDERON, C. A.; MORAN, M.; RUANO, G.; ASCOLANI, H.; ZAMPIERI, G.; PAREDES OLIVERA, P.; PATRITO, E. M. Formation, characterization, and stability of methaneselenolate

monolayers on Au(111): an electrochemical high-resolution photoemission spectroscopy and DFT study. **Langmuir**, v. 30, n. 13, p. 3754-3763, 2014. - Fator de Impacto em 2013: 4,384

94. PAULSEN, B. S.; CARDOSO, S. C.; STELLING, M. P.; CADILHE, D. V.; REHEN, S. K. Valproate reverts zinc and potassium imbalance in schizophrenia-derived reprogrammed cells. **Schizophrenia Research**, v. 154, n. 1-3, p. 30-35, 2014. - Fator de Impacto em 2013: 4,426
95. SATYANARAYANA, V. S. V.; SINGH, V.; KESSLER, F.; SCHEFFER, F. R.; WEIBEL, D. E.; GHOSH, S.; GONSALVES, K. E. Radiation-sensitive novel polymeric resist materials: iterative synthesis and their EUV fragmentation studies. **ACS Applied Materials & Interfaces**, v. 6, n. 6, p. 4223-4262, 2014. - Fator de Impacto em 2013: 5,9
96. OLIVEIRA, E. M.; VARELLA, M. T. N.; BETTEGA, M. H. F.; LIMA, M. A. P. Elastic scattering of slow electrons by n-pentanol alcohol. **European Physical Journal D**, v. 68, n. 3, p. 65, 2014. - Fator de Impacto em 2013: 1,398
97. GONÇALVES, R. V.; WOJCIESZAK, R.; UBERMAN, P. M.; EBERHARDT, D.; TEIXEIRA-NETO, E.; TEIXEIRA, S. R.; ROSSI, L. M. Catalytic abatement of CO over highly stable Pt supported on Ta₂O₅ nanotubes. **Catalysis Communications**, v. 48, p. 50-54, 2014. - Fator de Impacto em 2013: 3,32
98. ALMEIDA, A. K. A.; DIAS, J. M. M.; SILVA, A. J. C.; SANTOS, D. P.; NAVARRO, M.; TONHOLO, J.; GOURLAT, M. O. F.; RIBEIRO, A. S. Conjugated and fluorescent polymer based on dansyl-substituted pyrrole prepared by electrochemical polymerization in acetonitrile containing boron trifluoride diethyl etherate. **Electrochimica Acta**, v. 122, p. 50-56, 2014. - Fator de Impacto em 2013: 4,006
99. ABRÃO OIKO, V. T.; MARTINS, B. V. C.; SILVA, P. C.; RODRIGUES, V.; UGARTE, D. M. Development of a quartz tuning-fork-based force sensor for measurements in the tens of nanoNewton force range during nanomanipulation experiments. **Review of Scientific Instruments**, v. 85, n. 3, p. 035003, 2014 - Fator de Impacto em 2013: 1,584
100. FACINCANI, A.P.; MOREIRA, L. M.; SOARES, M. R.; FERREIRA, C. B.; FERREIRA, R. M.; FERRO, M.I.T.; FERRO, J. A.; GOZZO, F. C.; OLIVEIRA, J. C. F. Comparative proteomic analysis reveals that T3SS, Tfp, and xanthan gum are key factors in initial stages of *Citrus sinensis* infection by *Xanthomonas citri* subsp *citri*. **Functional & Integrative Genomics**, v. 14, n. 1, p. 205-2017, 2014. - Fator de Impacto em 2013: 3,217
101. BUCHNER, S.; PEREIRA, A. S.; LIMA, J. C.; BALZARETTI, N. M. X-ray study of lithium disilicate glass: high pressure densification and polyamorphism. **Journal of Non-Crystalline Solids**, v. 387, p. 112-116, 2014. - Fator de Impacto em 2013: 1,716
102. SANTOS, M. V.; DOMINGUEZ, C. T.; SCHIAVON, J. V.; BARUD, H. S.; MELO, L. S. A.; RIBEIRO, S. J. L.; GOMES, A. S. L.; ARAUJO, C. B. Random laser action from flexible biocellulose-based device. **Journal of Applied Physics**, v. 115, n. 8, p. 083108, 2014. - Fator de Impacto em 2013: 2,185
103. SILVA, T. A.; ZANIN, H.; VICENTIN, F. C.; CORAT, E. J.; FATIBELLO- FILHO, O. Differential pulse adsorptive stripping voltammetric determination of nanomolar levels of atorvastatin calcium in pharmaceutical and biological samples using a vertically aligned carbon nanotube/graphene oxide electrode. **Analyst**, v. 139, n. 11, p. 2832-2841, 2014. - Fator de Impacto em 2013: 3,906
104. SOUZA- GUERRA, C.; BARROSO, R. C.; ALMEIDA, A. P.; PEIXOTO, I. T. A.; MOREIRA, S.; SOUSA, F. B.; GERLACH, R. F. Anatomical variations in primary teeth microelements with known differences in lead content by micro-Synchrotron Radiation X-Ray Fluorescence (mu-SRXRF) - A preliminary study. **Journal of Trace Elements in Medicine and Biology**, v. 28, n. 2, p. 186-193, 2014. - Fator de Impacto em 2013: 2,491

105. CASTILHO, R. B.; NUNEZ, C. V.; SANTOS, A. C. F.; COUTINHO, L. H.; LUCAS, C. A.; PILLING, S.; SILVA- MORAES, M. O.; SOUZA, C. G. B. Excitation and ionic fragmentation of the carvone molecule (C₁₀H₁₄O) around the O 1s edge. **Journal of Electron Spectroscopy and Related Phenomena**, v. 192, p. 61-68, 2014. - Fator de Impacto em 2013: 1,552
106. ZANIN, H.; MAY, P. W.; LOBO, A. O.; SAITO, E.; MACHADO, J. P. B.; MARTINS, G.; TRAVAIROLIDI, V. J.; CORAT, E. J. Effect of multi-walled carbon nanotubes incorporation on the structure, optical and electrochemical properties of diamond-like carbon thin films. **Journal of the Electrochemical Society**, v. 161, n. 5, p. H290-H295, 2014. - Fator de Impacto em 2013: 2,859
107. XAVIER, A. M.; FERREIRA, F. F.; SOUZA, F. L. Morphological and structural evolution from akaganeite to hematite of nanorods monitored by ex situ synchrotron X-ray powder diffraction. **RSC Advances**, v. 4, n. 34, p. 17753-17759, 2014. - Fator de Impacto em 2013: 3,708
108. SAKITA, A. M. P.; DELLA NOCE, R.; MAGNANI, M.; FUGIVARA, C. S.; BENEDETTI, A. V. Electrodeposition of Ni-B and Ni-Co-B alloys by using boric acid as boron source. **ECS Electrochemistry Letters**, v. 3, n. 5, p. D10-D12, 2014. - Fator de Impacto em 2013: 1,54
109. PALMA, L. M.; ALMEIDA, T. S.; LEONELLO, P. H.; ANDRADE, A. R. Ethanol electrooxidation by plurimetallic Pt-based electrocatalysts prepared by microwave assisted heating. **Journal of the Electrochemical Society**, v. 161, n. 4, p. F473-F479, 2014. - Fator de Impacto em 2013: 2,859
110. SILVA, L. F.; CATTO, A. C.; AVANSI JR. W.; CAVALCANTE, L. S.; ANDRÉS, J.; AGUIR, K.; MASTELARO, V. R.; LONGO, E. A novel ozone gas sensor based on one-dimensional (1D) alpha-Ag₂WO₄ nanostructures. **Nanoscale**, v. 6, n. 8, p. 4058- 4062, 2014. - Fator de Impacto em 2013: 6,739
111. GURGEL, L. V. A.; PIMENTA, M. T. B.; CURVELO, A. A. S. Enhancing liquid hot water (LHW) pretreatment of sugarcane bagasse by high pressure carbon dioxide (HP-CO₂). **Industrial Crops and Products**, v. 57, p. 141-149, 2014. - Fator de Impacto em 2013: 3,208
112. CARVALHO, H. W. P.; SUZANA, A. F.; SANTILLI, C. V.; PULCINELLI, S. H. Structure and thermal behavior of PMMA-polysilsesquioxane organic-inorganic hybrids. **Polymer Degradation and Stability**, v. 104, p. 112-119, 2014. - Fator de Impacto em 2013: 2,633
113. VIEIRA, R. S.; MENEGHETTI, E.; BARONI, P.; GUIBAL, E.; DE LA CRUZ, V. M. G.; CABALLERO, A.; RODRÍGUEZ-CASTELLÓN, E. R.; BEPPU, M. M. Chromium removal on chitosan-based sorbents - an EXAFS/XANES investigation of mechanism. **Materials Chemistry and Physics**, v. 146, n. 3, p. 412-417, 2014. - Fator de Impacto em 2013: 2,129
114. ACUÑA, L. M.; FUENTES, R. O.; FANTINI, M. C. A.; LAMAS, D. G. Relation between distortions in the oxygen sublattice and the local order of Zr in nanostructured ZrO₂-CeO₂ mixed oxides. **Journal of Physical Chemistry C**, v. 118, n. 21 p. 11445-11453, 2014. - Fator de Impacto em 2013: 4,835
115. LONGO, E.; AVANSI JR. W.; ARENAL, R.; MENDONÇA, V. R.; RIBEIRO, C. Vanadium-doped TiO₂ anatase nanostructures: the role of V in solid solution formation and its effect on the optical properties. **CrystEngComm**, v. 16, n. 23, p. 5021-5027, 2014. - Fator de Impacto em 2013: 3,858
116. CARVALHO, J. W. P.; CARVALHO, F. A. O.; BATISTA, T.; SANTIAGO, P. S.; TABAK, M. Cetyltrimethylammonium chloride (CTAC) effect on the thermal stability of oxy-HbGp: Dynamic light scattering (DLS) and small angle X-ray scattering (SAXS) studies. **Colloids and Surfaces B**, v. 118, p. 14-24, 2014. - Fator de Impacto em 2013: 4,287

117. SANTOS, E. B.; LIMA, E. C. N. L.; OLIVEIRA, C. S.; SIGOLI, F. A.; MAZALI, I. O. Fast detection of paracetamol on a gold nanoparticle-chitosan substrate by SERS . **Analytical Methods**, v. 6, p. 3564-3568, 2014. - Fator de Impacto em 2013: 1,938
118. RODRIGUES, T. S.; SILVA, V. H. C.; LALLI, P. M.; OLIVEIRA, H. C. B.; SILVA, W. A.; COELHO, F.; EBERLIN, M. N.; NETO, B. A. D. Morita-Baylis-Hillman reaction: ESI-MS(/MS) investigation with charge tags and ionic liquid effect origin revealed by DFT calculations. **Journal of Organic Chemistry**, v. 79, p. 5239-5248, 2014. - Fator de Impacto em 2013: 4,638
119. COSTA, N. J. S.; GUERRERO, M.; COLLIERE, V.; TEIXEIRA-NETO, E.; LANDERS, R.; PHILIPPOT, K.; ROSSI, L. M. Organometallic preparation of Ni, Pd, and NiPd nanoparticles for the design of supported nanocatalysts. **ACS Catalysis**, v. 4, p. 1735-1742, 2014. - Fator de Impacto em 2013: 7,572
120. COSTA, M. A. F.; RODRIGUES, F. T. G.; CHAGAS, B. C. A.; REZENDE, C. M. F.; GÓES, A. M. DE. NAGEM, R. A. P. Preliminary crystallographic studies of a Schistosoma mansoni antigen (Sm21.7) dynein light-chain (DLC) domain. **Acta Crystallographica F**, v. 70, pt. 6, p. 803-807, 2014. - Fator de Impacto em 2013: 0,568
121. BEZERRA, G. A.; VIERTIMAYR, R.; MOURA, T. R.; DELATORRE, P.; ROCHA, B. A. M.; DO NASCIMENTO, G. S.; FIGUEIREDO, J. G.; BEZERRA, I. G.; TEIXEIRA, C. S.; SIMÕES, R. C.; NAGANO, C. S.; ALENCAR, N. M. N.; GRUBER, K.; CAVADA, B. S. Structural studies of an anti-inflammatory lectin from Canavalia boliviana seeds in complex with dimannosides. **PLoS One**, v. 9, n. 5, p. e97015, 2014. - Fator de Impacto em 2013: 3,534
122. EISING, R.; ELIAS, W. C.; ALBUQUERQUE, B. L.; FORT, S.; DOMINGOS, J. B. Synthesis of silver glyconanoparticles from new sugar-based amphiphiles and their catalytic application. **Langmuir**, v. 30, p. 6011-6020, 2014. - Fator de Impacto em 2013: 4,384
123. DE LIMA, L. H.; LANDERS, R.; SIERVO, A. DE Patterning quasi-periodic Co 2D-clusters underneath graphene on SIC(0001). **Chemistry of Materials**, v. 26, p. 4172-4177, 2014 - Fator de Impacto em 2013: 8,535
124. BOITA, J.; NICOLAO, L.; ALVES, M. C. M.; MORAIS, J. DE Observing Pt nanoparticle formation at the atomic level during polyol synthesis. **Physical Chemistry Chemical Physics (PCCP)**, v. 16, p. 17640-17647, 2014. - Fator de Impacto em 2013: 4,198
125. ACHAD, M.; LÓPEZ, M.L.; CEPPI, S.; PALANCAR, G.G.; TIRAO, G.; TOSELLI, B.M. Assessment of fine and sub-micrometer aerosols at an urban environment of Argentina. **Atmospheric Environment**, v. 92, p. 522-532, 2014. - Fator de Impacto em 2013: 3,062
126. MARTINEZ, E. D.; BOISSIÈRE, C.; GROSSO, D.; SANCHEZ, C.; TROIANI, H. E.; SOLER-ILLIA, G. J. A. A. Confinement-induced growth of au nanoparticles entrapped in mesoporous tio2 thin films evidenced by in situ thermo ellipsometry. **Journal of Physical Chemistry C**, v. 118, p. 13137-13151, 2014. - Fator de Impacto em 2013: 4,835
127. PIRANI, L. S. R.; ERBEN, M. F.; GERONÉS, M.; ROMANO, R. M.; CAVASSO-FILHO, R. L.; MA, C., GE, M.; DELLA VÉDOVA, C. O. Electronic properties of FC(O)SCH₂CH₃. A combined helium(I) photoelectron spectroscopy and synchrotron radiation study. **Journal of Physical Chemistry A**, v. 118, p. 5950-5960, 2014. - Fator de Impacto em 2013: 2,775
128. MICHELS, L.; RIBEIRO, L.; MUNDIM, M. S. P.; SOUSA, M. H.; DROPPA JR. R.; FOSSUM, J. O.; SILVA, G. J. DA; MUNDIM, K. C. EXAFS and XRD studies in synthetic Ni-fluorohectorite. **Applied Clay Science**, v. 96, p. 60-66, 2014 - Fator de Impacto em 2013: 2,703

129. ZANIN, H.; MARGRAF-FERREIRA, A.; DA SILVA, N. S.; MARCIANO, F. R.; CORAT, E. J.; LOBO, A. O. Graphene and carbon nanotube composite enabling a new prospective treatment for trichomoniasis disease. **Materials Science and Engineering C**, v. 41, p. 65-69, 2014. - Fator de Impacto em 2013: 2,736
130. DROPPA JR. R.; PINTO, H. C.; GARCIA, J.; OCHOA, E. A.; MORALES, M.; CUCATTI, S.; ALVAREZ, F. Influence of ion-beam bombardment on the physical properties of 100Cr6 steel. **Materials Chemistry and Physics**, v. 147, n. 1-2, p. 105-112, 2014. - Fator de Impacto em 2013: 2,129
131. BACELLAR, I. O. L.; PAVANI, C.; SALES, E. M.; ITRI, R.; WAINWRIGHT, M.; BAPTISTA, M. S. Membrane damage efficiency of phenothiazinium photosensitizers. **Photochemistry and Photobiology**, v. 90, p. 801-813, 2014. - Fator de Impacto em 2013: 2,684
132. BARCELOS, I. D.; MOURA, L. G.; LACERDA, R. G.; MALACHIAS, A. Observation of strain-free rolled-up CVD graphene single layers: toward unstrained heterostructures. **Nano Letters**, v. 14, p. 3919-3924, 2014. - Fator de Impacto em 2013: 12,94
133. ROZYNEK, Z.; SILVA, S. M. DE L.; FOSSUM, J. O.; SILVA, G. J. DA; AZEVEDO, E. N. DE; MAUROY, H.; PLIVELIC, T. S. Organoclay polypropylene nanocomposites under different electric field strengths. **Applied Clay Science**, v. 96, p. 67-72, 2014. - Fator de Impacto em 2013: 2,703
134. MOSCOSO- LONDOÑO, O.; MURACA, D.; TANCREDI, P.; COSIO-CASTAÑEDA, C.; PIROTA, K. R.; SOCOLOVSKY, L.M. Physicochemical studies of complex silver-magnetite nanoheterodimers with controlled morphology. **Journal of Physical Chemistry C**, v. 118, p. 13168-13176, 2014. - Fator de Impacto em 2013: 4,835
135. LONGO, E.; LONGO, V. M.; FOGGI, C. C.; FERRER, M. M.; GOUVEIA, AM. F.; ANDRÉ, R. S.; AVANSI, W.; VERGANI, C. E.; MACHADO, A. L.; CAVALCANTE, L. S.; HERNANDES, A. C.; ANDRÉS, J. Potentiated electron transference in alpha-Ag₂WO₄ microcrystals with Ag nanofilaments as microbial agent. **Journal of Physical Chemistry A**, v. 118, n. 31, p. 5769- 5778, 2014. - Fator de Impacto em 2013: 2,775
136. POLIKARPOV, I.; MIOTTO, L. S.; REIS, C. V.; OLIVEIRA NETO, M. SAXS studies of the endoglucanase Cel12A from *Gloeophyllum Trabeum* show Its monomeric Structure and reveal the influence of temperature on the structural stability of the enzyme. **Materials**, v. 7, n. 7, p. 5202-5211, 2014. - Fator de Impacto em 2013: 1,879
137. ELIAS, W. C.; EISING, R.; SILVA, T. R.; ALBUQUERQUE, B. L.; MARTENDAL, E.; MEIER, L.; DOMINGOS, J. B. Screening the formation of silver nanoparticles using a new reaction kinetics multivariate analysis and assessing their catalytic activity in the reduction of nitroaromatic compounds. **Journal of Physical Chemistry C**, v. 118, n. 24, p. 12962-12971, 2014. - Fator de Impacto em 2013: 4,835
138. CASTILHO, R. B.; RAMALHO, T. C.; NUNEZ, C. V.; COUTINHO, L. H.; SANTOS, A. C. F.; PILLING, S.; LAGO, A. F.; SILVA- MORAES, M. O.; SOUZA, G. G. B. DE. Single and double ionization of the camphor molecule excited around the C 1s edge. **Rapid Communications in Mass Spectrometry**, v. 28, n. 15, p. 1769-1776, 2014 - Fator de Impacto em 2013: 2,642
139. SILVA, D. O.; LUZA, L.; GUAL, A.; BAPTISTA, D. L.; BERNARDI, F.; ZAPATA, M. J. M.; MORAIS, J. DE; DUPONT, J. Straightforward synthesis of bimetallic Co/Pt nanoparticles in ionic liquid: atomic rearrangement driven by reduction-sulfidation processes and Fischer-Tropsch catalysis. **Nanoscale**, v. 6, n. 15, p. 9085-9092, 2014. - Fator de Impacto em 2013: 6,739
140. CALASANS-MAIA, M. D.; CALASANS- MAIA, J.; SANTOS, S.; MAVRAPOULOS, E.; FARINA, M.; LIMA, I.C. B.; LOPES, T.; ROSSI, A.; GRANJEIRO, J. M. Short-term in vivo evaluation of zinc-containing calcium phosphate using a normalized procedure. **Materials Science and Engineering C**, v. 41, p. 309-319, 2014. - Fator de Impacto em 2013: 2,736

141. GIUSEPPE, P. O., SOUZA, T.A.C.B., SOUZA, F. H. M., ZANPHORLIN, L. M., MACHADO, C. B., WARD, R. J., JORGE, J. A., FURRIEL, R. P. M., MURAKAMI, M. T. Structural basis for glucose tolerance in GH1 beta-glucosidases. *Acta Crystallographica D*, v. D70, p. 1631-1639, 2014 - Fator de Impacto em 2013: 7,232
142. ABRAHAM, J., SÁNCHEZ, H. J., GRENÓN, M. S., PÉREZ, C. A. TXRF analysis of metals in oral fluids of patients with dental implants. *X-Ray Spectrometry*, v. 43, n. 4, p. 193-197, 2014. - Fator de Impacto em 2013: 1,187
143. TEIXEIRA, V. DE C.; MONTES, P. J. R.; VALERIO, M. E. G. Structural and optical characterizations of Ca₂Al₂SiO₇:Ce³⁺, Mn²⁺ nanoparticles produced via a hybrid route. *Optical Materials*, v. 36, n. 9, p. 1580-1590, 2014 - Fator de Impacto em 2013: 2,075
144. CARDOSO, G. W. A.; LEAL, G.; SILVA SOBRINHO, A. S.; FRAGA, M. A.; MASSI, M. Evaluation of piezoresistivity properties of sputtered ZnO thin films. *Materials Research*, v. 17, n. 3, p. 588-592, 2014. - Fator de Impacto em 2013: 0
145. SOUZA, M. I.; SILVA, E. R.; JAQUES, Y. M.; FERREIRA, F. F.; FILETI, E. E.; ALVES, W. A. The role of water and structure on the generation of reactive oxygen species in peptide/hypericin complexes. *Journal of Peptide Science*, v. 20, n. 7, p. 554-562, 2014. - Fator de Impacto em 2013: 1,862
146. MALDONADO, R. F., RIBEIRO, L. F., FURTADO, G. P., ARRUDA, L. M., MELEIRO, L. P., ALPONTI, J. S., BOTELHO- MACHADO, C., VIEIRA, D. S., BONNEIL, E., FURRIEL, R. P. M., THIBAULT, P., WARD, R. J. Synergistic action of co-expressed xylanase/laccase mixtures against milled sugar cane bagasse. *Process Biochemistry*, v. 49, n. 7, p. 1152-1161, 2014. - Fator de Impacto em 2013: 2,524
147. REHMAN, F.; VOLPE, P. L. O.; AIROLDI, C. The applicability of ordered mesoporous SBA-15 and its hydrophobic glutaraldehyde-bridge derivative to improve ibuprofen-loading in releasing system. *Colloids and Surfaces B*, v. 119, p. 82-89, 2014. - Fator de Impacto em 2013: 4,287
148. CAPELETTI, L. B., OLIVEIRA, L. F. DE, GONÇALVES, K. DE A., OLIVEIRA, J. F. A., SAITO, A., KOBARG, J., DOS SANTOS, J. H. Z., CARDOSO, M. B. Tailored silica-antibiotic nanoparticles: overcoming bacterial resistance with low cytotoxicity. *Langmuir*, v. 30, p. 7456-7464, 2014. - Fator de Impacto em 2013: 4,384
149. HEREDIA, E.; BOJORGE, C. D.; CÁNEPA, H. R.; CASANOVA, J.; CRAIEVICH, A.; KELLERMANN, G. Nanostructured ZnO thin films prepared by sol-gel spin-coating. *Applied Surface Science*, v. 317, p. 19-25, 2014. - Fator de Impacto em 2013: 2,538
150. SILVA, T. A. G.; TEIXEIRA-NETO, E.; LÓPEZ, N.; ROSSI, L. M. Volcano-like behavior of Au-Pd core-shell nanoparticles in the selective oxidation of alcohols. *Scientific Reports*, v. 4, p. 5766- 5670, 2014. - Fator de Impacto em 2013: 5,078
151. SILVA, L. R.; PEREIRA, L. M.; ALVES, J. F.; MARIN, N.; SILVA, F. S.; MORGANTI, L.; SILVA, I. D. C. G.; AFFONSO, R. A simple strategy for the purification of native recombinant full-length human RPL10 protein from inclusion bodies. *Protein Expression and Purification*, v. 101, p. 115-120, 2014. - Fator de Impacto em 2013: 1,508
152. GRILLO, R.; PEREIRA, A. E. S.; NISHISAKA, C. S.; LIMA, R.; OEHLKE, K.; GREINER, R.; FRACETO, L. F. Chitosan/tripolyphosphate nanoparticles loaded with paraquat herbicide: an environmentally safer alternative for weed control. *Journal of Hazardous Materials*, v. 278, p. 163-171, 2014. - Fator de Impacto em 2013: 4,331

153. PAULI, M.; MATOS, M. J. S.; SILES, P. F.; PRADO, M. C.; NEVES, B. R. A.; FERREIRA, S. O.; MAZZONI, M. S. C.; MALACHIAS, A. Chemical stabilization and improved thermal resilience of molecular arrangements: possible formation of a surface network of bonds by multiple pulse atomic layer deposition. **Journal of Physical Chemistry B**, v. 118, n. 32, p. 9792-9799, 2014. - Fator de Impacto em 2013: 3,377
154. OLIVEIRA, E. M.; FREITAS, T. C.; COUTINHO, K.; VARELLA, M. T. N.; CANUTO, S.; LIMA, M. A. P.; BETTEGA, M. H. F. Communication: transient anion states of phenol center dot center dot center dot(H₂O)(n) (n=1,2) complexes: Search for microsolvation signatures. **Journal of Chemical Physics**, v. 141, n. 5, p. 051105, 2014. - Fator de Impacto em 2013: 3,122
155. MOTA, A. A. R.; GATTO, C. C.; MACHADO, G.; OLIVEIRA, H. C. B.; FASCIOTTI, M.; BIANCHI, O.; EBERLIN, M. N.; NETO, B.A.D. Structural organization and supramolecular interactions of the task-specific ionic liquid 1-Methyl-3-carboxymethylimidazolium chloride: solid, solution, and gas phase structures. **Journal of Physical Chemistry C**, v. 118, n. 31, p. 17878-17889, 2014. - Fator de Impacto em 2013: 4,835
156. ABREU, M. F.; SANTOS, D. R. DOS; GATTS, C. E. N.; GIACOMINI, R. A.; CARDOSO, S. L.; MIRANDA, P. C. M. L. Small-angle X-ray scattering structural study of the nanofiber self-assembly process in supramolecular gels based on glucopyranosides. **Journal of Applied Crystallography**, v.47, pt. 4, n. 1284-1297, 2014. - Fator de Impacto em 2013: 3,95
157. LIMA, B. V.; VIDAL, R. R. L.; VILLETTI, M. A.; BALABAN, R. C. Solution properties of poly(acrylamide-co-3,5,5-trimethylhexane methacrylate) and its polyelectrolyte derivative. **Colloid Polymer Science**, v. 292, p. 2123-2135, 2014. - Fator de Impacto em 2013: 2,41
158. ROSA, J. L.; ROBIN, A.; NAKAZATO, R. Z.; RIBEIRO, M. B.; PIASSA, M. P.; SILVA, M. B. DA. Formation of titania nanotube arrays by anodisation: DOE approach. **Surface Engineering**, v. 30, n. 2, p. 115-122, 2014. - Fator de Impacto em 2013: 1,51
159. JESUS, C. B. R., MOURA, K. O., ADRIANO, C., IWAMOTO, W., GARITEZI, T. M., GRANADO, E., SALETA, M. E., PIROTA, K. R., PAGLIUSO, P. G. Exploring the effects of dimensionality on the magnetic properties of intermetallic nanowires. **Solid State Communications**, v. 191, p. 14-18, 2014. - Fator de Impacto em 2013: 1,698
160. GARCIA, A. G.; LOPES, P. P.; GOMES, J. F.; PIRES, C.; FERREIRA, E. B.; LUCENA, R. G. M.; GASPAROTTO, L. H. S.; TREMILIOSI-FILHO, G. Eco-friendly synthesis of bimetallic AuAg nanoparticles. **New Journal of Chemistry**, v. 38, n. 7, p. 2865-2873, 2014. - Fator de Impacto em 2013: 3,159
161. BRACONI, C. T., ARDISSON-ARAUJO, D. M., PAES LEME, A. F., OLIVEIRA, J. V. DE C., PAULETTI, B. A., GARCIA-MARUNIAK, A., RIBEIRO, B. M., MARUNIAK, J. E. Proteomic analyses of baculovirus Anticarsia gemmatalis multiple nucleopolyhedrovirus budded and occluded virus. **Journal of General Virology**, v. 95, pt. 4, p. 980-989, 2014. - Fator de Impacto em 2013: 3,529
162. ANDRÉS, J.; GONZALES- NAVARRETE, P.; LONGO, V. M.; AVANSI JR., W.; VOLANTI, D. P.; FERRER, M. M.; LEMOS, P. S.; LA PORTA, F. A.; HERNANDES, A. C.; LONGO, E. Structural and electronic analysis of the atomic scale nucleation of Ag on alpha-Ag₂WO₄ induced by electron irradiation. **Scientific Reports**, v. 4, nr. 5391, 2014. - Fator de Impacto em 2013: 5,078
163. MAIA, T. A.; ASSAF, E. M. Catalytic features of Ni supported on CeO₂-ZrO₂ solid solution in the steam reforming of glycerol for syngas production. **RSC Advances**, v. 4, n. 59, p. 31142-31154, 2014. - Fator de Impacto em 2013: 3,708

164. DIAS, G. S.; SILVEIRA, L. G. D.; COTICA, L. F.; SANTOS, I. A.; COELHO, A. A.; GARCIA, D.; EIRAS, J. A.; SAMPAIO, J. A. Effect of the synthesis atmosphere on the magnetic and structural properties of TbMnO₃ multiferroic polycrystals. *Scripta Materialia*, v. 89, p. 65-68, 2014. - Fator de Impacto em 2013: 2,968
165. SILVA, T. F.; LUCRÉDIO, A. F.; ASSAF, E. M.; ASSAF, J. M. Hydrogen production from oxidative reforming of methane on Ni/ γ -Al₂O₃ catalysts: Effect of support promotion with La, La-Ce and La-Zr. *Fuel Processing Technology*, v. 127, p. 97-104, 2014. - Fator de Impacto em 2013: 3,019
166. FERREIRA NETO, E. P.; YSNAGA, O. A. E.; RODRIGUES-FILHO, U. P. Zn²⁺ doped ormosil-phosphotungstate hybrid films with enhanced photochromic response. *Journal of Sol-Gel Science and Technology*, v. 72, n. 2, p. 290-300, 2014. - Fator de Impacto em 2013: 1,547
167. KILIAN, A. S.; BERNARDI, F.; PANCOTTI, A.; LANDERS, R.; SIERVO, A. DE; MORAIS, J. DE. Atomic structure of Cr₂O₃/Ag (111) and Pd/Cr₂O₃/Ag (111) surfaces: a photoelectron diffraction investigation. *Journal of Physical Chemistry C*, v. 118, n. 35, p. 20452-20460, 2014. - Fator de Impacto em 2013: 4,835
168. CAMPOS, B. M., ALVAREZ, T.M., LIBERATO, M. V., POLIKARPOV, I., GILBERT, H. J., ZERI, A. C. DE M., SQUINA, F. M. Cloning, purification, crystallization and preliminary X-ray studies of a carbohydrate-binding module (CBM_E1) derived from sugarcane soil metagenome. *Acta Crystallographica F*, v. 70, pt. 9, p. 1232-1235, 2014. - Fator de Impacto em 2013: 0,568
169. LUCAS, F. L. C.; GUIDO, V.; KÄFER, K. A.; BERNARDI, H. H.; OTUBO, J. ECAE processed NiTi shape memory alloy. *Materials Research*, v.17, supl. 1, p.186-190, 2014. - Fator de Impacto em 2013: 0
170. ZANPHORLIN, L. M.; ALVES, F. R.; RAMOS, C. H. I. The effect of celastrol, a triterpene with antitumorigenic activity, on conformational and functional aspects of the human 90 kDa heat shock protein Hsp90 alpha, a chaperone implicated in the stabilization of the tumor phenotype. *Biochimica et Biophysica Acta. General Subjects*, v. 1840, n. 10, p. 3145-3152, 2014. - Fator de Impacto em 2013: 3,829
171. BASBUS, J. F.; MORENO, M.; CANEIRO, A.; MOGNI, L. V. Effect of Pr-doping on structural, electrical, thermodynamic, and mechanical properties of BaCeO₃-delta as proton conductor. *Journal of the Electrochemical Society*, v. 161, n. 10, p. F969-F976, 2014. - Fator de Impacto em 2013: 2,859
172. MUSTAFA, D.; SILVA, I. G. N.; BAJPE, S. R.; MARTENS, J. A.; KIRSCHHOCK, C. E. A.; BREYNAERT, E.; BRITO, H. F. Eu@COK-16, a host sensitized, hybrid luminescent metal-organic framework. *Dalton Transactions*, v. 43, v. 36, p.13480-13484, 2014. - Fator de Impacto em 2013: 4,097
173. COELHO FILHO, P. R. DE C.; MARCHESIN, M. S.; MORALES, A. R.; BARTOLI, J. R. Electrical percolation, morphological and dispersion properties of MWCNT/PMMA nanocomposites. *Materials Research*, v. 17, supl. 1, p.127-132, 2014.- Fator de Impacto em 2013: 0
174. TSUCHIDA, J. E.; REZENDE, C. A.; OLIVEIRA-SILVA, R.; LIMA, M. A.; D'EURYDICE, M. N.; POLIKARPOV, I.; BONAGAMBA, T. J. Nuclear magnetic resonance investigation of water accessibility in cellulose of pretreated sugarcane bagasse. *Biotechnology for Biofuels*, v. 7, p. 127, 2014. - Fator de Impacto em 2013: 6,221
175. ANDRADE, A. B.; MELLO, A.C.S.; REZENDE, M. V. DOS S.; BALDOCHI, S.L.; VALERIO, M. E. G. Optical properties of Pr-doped BaY₂F₈. *Journal of Applied Physics*, v. 116, n. 5, p. 053521, 2014 - Fator de Impacto em 2013: 2,185
176. SILVA, W. L.; LANSARIN, M. A.; STEDILE, F. C.; DOS SANTOS, J. H. Z. The potential of chemical industrial and academic wastes as a source of supported photocatalysts. *Journal of Molecular Catalysis A*, v. 393, p. 125-133, 2014. - Fator de Impacto em 2013: 3,679

177. RIBEIRO, R. U., MEIRA, D. M., RODELLA, C. B., OLIVEIRA, D. C., BUENO, J. M. C., ZANCHET, D. Probing the stability of Pt nanoparticles encapsulated in sol-gel Al₂O₃ using in situ and ex situ characterization techniques. **Applied Catalysis A**, v. 485, p. 108-117, 2014. - Fator de Impacto em 2013: 3,674
178. DAL BÓ, A. G.; SOLDI, V.; GIACOMELLI, F. C.; TRAVELET, C.; BORSALI, R.; FORT, S. Synthesis, micellization and lectin binding of new glycosurfactants. **Carbohydrate Research**, v. 397, p. 31-36, 2014. - Fator de Impacto em 2013: 1,966
179. TIBOLLA, H.; PELISSARI, F. M.; MENEGALLI, F. C. Cellulose nanofibers produced from banana peel by chemical and enzymatic treatment. **LWT-Food Science and Technology**, v. 59, n. 2, p.1311-1318, 2014. - Fator de Impacto em 2013: 2,468
180. SILVA, A. R.; LACERDA, C. D.; TEIXEIRA, A. E.; OLIVEIRA, J. S.; SILVA, S. F.; VASCONCELOS, A. V. B.; GOUVEIA, D. G.; SANTORO, M. M.; MARES-GUIA, M. L.; SANTOS, A. M. C. Gamma trypsin: purification and physicochemical characterization of a novel bovine trypsin isoform. **International Journal of Biological Macromolecules**, v. 70, p. 179-186, 2014. - Fator de Impacto em 2013: 3,096
181. USHIKUBO, F. Y.; BIRRIBILLI, F. S.; OLIVEIRA, D. R. B.; CUNHA, R. L. DA. Y- and T-junction microfluidic devices: effect of fluids and interface properties and operating conditions. **Microfluidics and Nanofluidics**, v. 17, n. 4, p. 711-720, 2014. - Fator de Impacto em 2013: 2,665
182. SOUZA, J. S.; KRAMBROCK, K.; PINHEIRO, M. V. B.; ANDO, R. A.; GUHA, S.; ALVES, W. A. Visible-light photocatalytic activity of NH₄NO₃ ion-exchanged nitrogen-doped titanate and TiO₂ nanotubes. **Journal of Molecular Catalysis A**, v. 394, p. 48-56, 2014. - Fator de Impacto em 2013: 3,679
183. FERREIRA, A. M.; CARVALHO, A. J. F. TPS nanocomposite reinforced with MFC by melting process. **Materials Research**, v. 14, n. 4, p. 807-810, 2014 - Fator de Impacto em 2013: 0
184. MARÇAL, L.; ROSA, B. L. T.; SAFAR, G. A. M.; FREITAS, R. O.; SCHMIDT, O. G.; GUIMARÃES, P. S. S.; DENEKE, C.; MALACHIAS, A. Observation of emission enhancement caused by symmetric carrier depletion in III-V nanomembrane heterostructures. **ACS Photonics**, v. 1, n. 9, p. 863-870, 2014. - Fator de Impacto em 2013: 0
185. CORTEZ, M.L.; DE MATTEIS, N.; CEOLÍN, M. R.; KNOLL, W.; BATTAGLINI, F.; AZZARONI, O. Hydrophobic interactions leading to a complex interplay between bioelectrocatalytic properties and multilayer meso-organization in layer-by-layer assemblies. **Physical Chemistry Chemical Physics (PCCP)**, v. 16, n. 38, p. 20844-20855, 2014. - Fator de Impacto em 2013: 4,198
186. FASOLIN, L. H.; SANTANA, R. C.; CUNHA, R. L. DA. Influence of organic acids on surfactant self-assemblies in surfactant/oil/water systems. **Colloids and Surfaces A**, v. 459, p. 290-297, 2014. - Fator de Impacto em 2013: 2,354
187. GODOI, F. C.; RABELO, R. B.; SILVA, M. A.; RODRÍGUEZ-CASTELLÓN, E. R.; GUIBAL, E.; BEPPU, M. M. Introduction of copper nanoparticles in chitosan matrix as strategy to enhance chromate adsorption. **Chemical Engineering and Processing**, v. 83, p. 43-48, 2014. - Fator de Impacto em 2013: 1,959
188. AUGUIE, B.; FUERTES, M. C.; ANGELOMÉ, P. C.; ABDALA, N. L.; SOLER-ILLIA, G. J. A. A.; FAINSTEIN, A. Tamm plasmon resonance in mesoporous multilayers: toward a sensing application. **ACS Photonics**, v. 1, n. 9, p. 775-780, 2014. - Fator de Impacto em 2013: 0
189. NUNES, E. DA S.; VIALI, W. R.; SILVA, S. W.; HUAMANÍ, J. A. C.; GARG, V. K.; OLIVEIRA, A. C., MORAIS, P. C.; JAFELICCI JR., M. Characterization of tetraethylene glycol passivated iron nanoparticles. **Applied Surface Science**, v. 315, p. 337-345, 2014. - Fator de Impacto em 2013: 2,538

190. MELO JR. M. A.; PIRES, C. T. G. V. M. T.; AIROLDI, C. The influence of the leaving iodine atom on phyllosilicate syntheses and useful application in toxic metal removal with favorable energetic effects. **RSC Advances**, v. 4, n. 77, p. 41028-41038, 2014. - Fator de Impacto em 2013: 3,708
191. CORTEZ, M.L.; MARMISOLLÉ, W.; PALLAROLA, D.; PIETRASANTA, L. I.; MURGIDA, D.; CEOLÍN, M. R.; AZZARONI, O.; BATTAGLINI, F. Effect of gold nanoparticles on the structure and electrontransfer characteristics of glucose oxidase redox polyelectrolyte-surfactant complexes. **Chemistry - A European Journal**, v. 20, n. 41, p. 13366-13374, 2014. - Fator de Impacto em 2013: 5,696
192. BIANCHI, R. C.; SILVA, E. R.; DALL'ANTONIA, L. H.; FERREIRA, F. F.; ALVES, W. A. A nonenzymatic biosensor based on gold electrodes modified with peptide self-assemblies for detecting ammonia and urea oxidation. **Langmuir**, v. 30, n. 38, p. 11464-11473, 2014. - Fator de Impacto em 2013: 4,384
193. HECK, C. A.; GIACOMOLLI, D. A.; LIVOTTO, P. R.; DOS SANTOS, J. H. Z.; WOLF, C. R. Hybrid silica generated In situ in polyurethane-based composites. **Journal of Applied Polymer Science**, v.131, n. 23, p. 41157, 2014. - Fator de Impacto em 2013: 1,64
194. AIROLDI, C.; OLIVEIRA, V. V. Hydrophobic contribution to amoxicillin release associated with organofunctionalized mesoporous SBA-16 carriers. **Materials Research Bulletin**, v. 59, p. 214-222, 2014 - Fator de Impacto em 2013: 1,698
195. REÁTEGUI, J. L. P.; MACHADO, A. P. F.; BARBERO, G. F.; REZENDE, C. A.; MARTINEZ, J. Extraction of antioxidant compounds from blackberry (*Rubus sp.*) bagasse using supercritical CO₂ assisted by ultrasound. **The Journal of Supercritical Fluids**, v. 94, n. 223-233, 2014. - Fator de Impacto em 2013: 2,571
196. RINCÓN-CARDONA, J. A.; AGUDELO-LAVERDE, L. M.; MARTINI, S.; CANDAL, R. J.; HERRERA, M. L. In situ synchrotron radiation X-ray scattering study on the effect of a stearic sucrose ester on polymorphic behavior of a new sunflower oil variety. **Food Research International**, v. 64, p. 9-17, 2014. - Fator de Impacto em 2013: 3,05
197. CORRICELLI, M.; ALTAMURA, D.; CURRI, M. L.; SIBILANO, T.; SILIQI, D.; MAZZONE, A.; DEPALO, N.; FANIZZA, E.; ZANCHET, D.; GIANNINI, C.; STRICCOLI, M. GISAXS and GIWAXS study on self-assembling processes of nanoparticle based superlattices. **CrystEngComm**, v. 16, n. 9482-9492, 2014 - Fator de Impacto em 2013: 3,858
198. HONNICKE, M. G., CONLEY, R., CUSATIS, C., KAKUNO, E.M., ZHOU, J., BOUET, N., MARQUES, J. B., VICENTIN, F. C. Exotic X-ray back-diffraction: a path toward a soft inelastic X-ray scattering spectrometer. **Journal of Applied Crystallography**, v. 47, p. 1658-1665, 2014. - Fator de Impacto em 2013: 3,95
199. BERNARDO, P. L.; GHIVELDER, L.; ESLAVA, G. R. G.; AMORIM, H. S.; FELNER, I.; GARCIA, S. Monoclinic distortion and magnetic coupling in the double perovskite Sr_{2-x}CaxYRuO₆. **Journal of Solid State Chemistry**, v. 220, p. 270-276, 2014. - Fator de Impacto em 2013: 2,2
200. HASSAN, A.; PAGANIN, M.; CARRERAS, A.; TICIANELLI, E. A. Molybdenum carbide-based electrocatalysts for CO tolerance in proton exchange membrane fuel cell anodes. **Electrochimica Acta**, v. 142, p. 307-316, 2014 - Fator de Impacto em 2013: 4,006
201. KILIAN, A. S.; PANCOTTI, A.; LANDERS, R.; SIERVO, A. DE; MORAIS, J. DE. Probing the surface atomic structure of Au/Cr₂O₃/Pd (111) by photoelectron diffraction. **CrystEngComm**, v.16, n.39, p.9291-9298, 2014. - Fator de Impacto em 2013: 3,858
202. CADOGAN, J. M., MUÑOZ PÉREZ, S., COBAS, R., RYAN, D. H., LORA-SERRANO, R., FIGUEIRA, M. J. S., YOKAICHIYA, F. Structural transformations in R₃Cu₄Sn₄ (R = Ho, Er, Tm) intermetallic compounds. **Intermetallics**, v. 55, p. 123-128, 2014. - Fator de Impacto em 2013: 2,119

203. SINGH, V.; SATYANARAYANA, V. S. V.; BATINA, N.; REYES, I. M.; SHARMA, S. K.; KESSLER, F., WEIBEL, D. E.; GHOSH, S.; GONSALVES, K. E. Performance evaluation of nonchemically amplified negative tone photoresists for e-beam and EUV lithography. **Journal of Micro-Nanolithography MEMS and MOEMS**, v. 13, n. 4, p. 043002, 2014. - Fator de Impacto em 2013: 1,205
204. GOLDBECK, R., DAMÁSIO, A. R. DE L., GONÇALVES, T. A., MACHADO, C. B., PAIXÃO, D. A. A., WOLF, L. D., MANDELLI, F., ROCHA, G. J. M., RULLER, R., SQUINA, F. M. Development of hemicellulolytic enzyme mixtures for plant biomass deconstruction on target biotechnological applications. **Applied Microbiology and Biotechnology**, v. 98, p. 8513-8525, 2014. - Fator de Impacto em 2013: 3,811
205. BARBELLINI, M. L.; MIZRAHI, M.; POMPEO, F.; SANTORI, G. F.; NICHIO, N. N.; RAMALLO-LÓPEZ, J. M. EXAFS characterization of PtNi bimetallic catalyst applied to glycerol liquid-phase conversion. **Journal of Physical Chemistry C**, v. 118, n. 41, p. 23645-23653, 2014. - Fator de Impacto em 2013: 4,835
206. COSTA, F. C., SAITO, A., GONÇALVES, K. DE A., VIDIGAL, P. M., MEIRELLES, G. V., BRESSAN, G. C., KOBARG, J. Ki-1/57 and CGI-55 ectopic expression impact cellular pathways involved in proliferation and stress response regulation. **Biochimica et Biofisica Acta Molecular Cell Research**, v. 1843, n. 12, p. 2944-2956, 2014. - Fator de Impacto em 2013: 5,297
207. SOUZA, C. F.; RIEGEL-VIDOTTI, I. C.; CARDOSO, M. B.; ONO, L.; LUCYSZYN, N.; LUBAMBO, A. F.; SENS, C. V.; GREIN-IANKOVSKI, A.; SIERAKOWSKI, M. R. Nanometric organisation in blends of gellan/xyloglucan hydrogels. **Carbohydrate Polymers**, v. 114, p. 48-56, 2014. - Fator de Impacto em 2013: 3,916
208. FORTES BROLLO, M. E., LÓPEZ- RUIZ, R., MURACA, D., FIGUEROA, S. J. A., PIROTA, K. R., KNOBEL, M. Compact Ag@Fe₃O₄ core-shell nanoparticles by means of single-step thermal decomposition reaction. **Scientific Reports**, v. 4, n. 6839-1-6, 2014. - Fator de Impacto em 2013: 5,078
209. SILVA, S. F. C.; LANZONI, E. M.; BARBOZA, V. A.; MALACHIAS, A.; KIRAVITTAYA, S.; DENEKE, C. InAs migration on released, wrinkled InGaAs membranes used as virtual substrate . **Nanotechnology**, v. 25, n. 35, p. 455603, 2014. - Fator de Impacto em 2013: 3,672
210. GARCÍA-BASABE, Y.; MARCHIORI, C. F. N.; MOURA, C. E. V.; ROCHA, A. B.; ROMAN, L. S.; ROCCO, M. L. M. Charge transfer dynamics and molecular orientation probed by core electron spectroscopies on thermal-annealed polysilafluorene derivative: experimental and theoretical approaches. **Journal of Physical Chemistry C**, v. 118, n. 41, p. 23863-23873, 2014. - Fator de Impacto em 2013: 4,835
211. EUTI, E. M.; VÉLEZ ROMERO, P.; LINAREZ PÉREZ, O.; RUANO, G.; PATRITO, E. M.; ZAMPIERI, G.; LEIVA, E. P. M.; MACAGNO, V. A.; COMETTO, F. P. Electrochemical, HR-XPS and SERS study of the self-assembly of biphenyl 4,4'-dithiol on Au(111) from solution phase. **Surface Science**, v. 630, p. 101-108, 2014. - Fator de Impacto em 2013: 1,87
212. THOMAZI, F.; SOUZA, M. R.; SAUL, C. K.; VIANA, G. A.; MARQUES, F. C.; SILVESTRE, R. G. M.; BREHM, M. A.; BURKARTER, E. Experimental realization of TiO₂ nanosponge/spin-coated P3HT heterojunction solar cells. **Current Nanoscience**, v.10, n. 6, p. 877-882, 2014. - Fator de Impacto em 2013: 1,422
213. SANTOS, E. B.; SIGOLI, F. A.; MAZALI, I. O. Facile synthesis of the dendritic structure of silver nanoparticles-chitosan and its application as an effective SERS substrate. **New Journal of Chemistry**, v. 38, n. 11, p. 5369-5375, 2014. - Fator de Impacto em 2013: 3,159

214. SETTI, G. O.; OLIVEIRA, M. F.; MAIA, I. A.; SILVA, J. V. L.; JOANNI, E. Functionalization of SLS parts for application as SERS substrates in chemical analysis preliminary results. **Rapid Prototyping Journal**, v. 20, n. 4, p. 280-284, 2014. - Fator de Impacto em 2013: 1,156
215. PARREIRAS, D. E.; SOARES, E. A.; ABREU, G. J. P.; BUENO, T. E. P.; FERNANDES, W. P.; CARVALHO, V. E. DE; CARARA, S. S.; CHACHAM, H.; PANIAGO, R.M. Graphene/Ni(111) surface structure probed by low-energy electron diffraction, photoelectron diffraction, and first-principles calculations. **Physical Review B**, v. 90, n. 15, p. 155454, 2014. - Fator de Impacto em 2013: 3,664
216. SOUZA, A. L.; ANGELO, P. C. S.; NOGUEIRA, P. P. O.; GONÇALVES, J. F. C.; FRANCO, A. M.; ASTOLFI-FILHO, S.; LÓPEZ-LOZANO, J. L.; ANDRADE, E. V. Method for obtaining high-resolution proteomic analysis from pericarps of guarana. **Genetics and Molecular Research**, v. 13, n. 3, p. 8014-8024, 2014. - Fator de Impacto em 2013: 0,85
217. MARTINS, M. L.; FLORENTINO, A. O.; CAVALHEIRO, A. A.; SILVA, R. I. V.; SANTOS, D. I. DOS; SAEKI, M. J. Mechanisms of phase formation along the synthesis of Mn-Zn ferrites by the polymeric precursor method. **Ceramics International**, v. 40, n. 10, p. 16023-16031, 2014. - Fator de Impacto em 2013: 2,086
218. GADIOLI, R.; MORAIS, J. A.; WALDMAN, W. R.; DE PAOLI, M.-A. The role of lignin in polypropylene composites with semi-bleached cellulose fibers: mechanical properties and its activity as antioxidant. **Polymer Degradation and Stability**, v. 108, p. 23-34, 2014. - Fator de Impacto em 2013: 2,633
219. ASENCIOS, Y. J. O.; ELIAS, K. F. M.; ASSAF, E. M. Oxidative-reforming of model biogas over NiO/Al₂O₃ catalysts: the influence of the variation of support synthesis conditions. **Applied Surface Science**, v. 317, p. 350-359, 2014. - Fator de Impacto em 2013: 2,538
220. GOMES, G. F. M.; BUENO, T. E. P.; PARREIRAS, D. E.; ABREU, G. J. P.; SIERVO, A. DE; CEZAR, J. C.; PFANNES, H.-D.; PANIAGO, R. M. Magnetic moment of Fe₃O₄ films with thicknesses near the unit-cell size. **Physical Review B**, v. 90, n. 13, p. 134422, 2014. - Fator de Impacto em 2013: 3,664
221. PICCO, A.; KRASKA, M.; DIDZOЛЕIT, H.; APPEL, C.; SILBESTRI, G. F.; AZZARONI, O.; STÜHN, B.; CEOLÍN, M. R. On the supramacromolecular structure of core-shell amphiphilic macromolecules derived from hyperbranched polyethyleneimine. **Journal of Colloid and Interface Science**, v. 436, p. 243-250, 2014. - Fator de Impacto em 2013: 3,552
222. DINIZ, R. S.; COIMBRA, J. S. DOS R.; TEIXEIRA, A. V. N. C.; COSTA, A. R.; SANTOS, I. J. B.; BRESSAN, G. C.; RODRIGUES, A. M. DA C.; SILVA, L. H. M. Production, characterization and foamability of alpha-lactalbumin/glycomacropeptide supramolecular structures. **Food Research International**, v. 64, p. 157-165, 2014 - Fator de Impacto em 2013: 3,05
223. ANDRADE, G. R. S.; NASCIMENTO, C. C.; MATOS, C. R. S.; SUSSUCHI, E. M.; COSTA, L. P.; NASCIMENTO, K. S.; CAVADA, B. S.; GIMENEZ, I. F. Study of the bioconjugation of ternary alloyed ZnCdTe nanocrystals to *Concanavalin A*. **Journal of Photochemistry and Photobiology A**, v. 295, p. 46-52, 2014. - Fator de Impacto em 2013: 2,291
224. ESCOBAR, C. C.; DARTORA, M. H.; RADTKE, C.; BAYNE, J. M.; BUTLER, I. S.; LATTUADA, R. M.; DOS SANTOS, J. H. Z. The role of the sol-gel route on the interaction between rhodamine B and a silica matrix. **Journal of Sol-Gel Science and Technology**, v. 72, n. 2, p. 260-272, 2014 - Fator de Impacto em 2013: 1,547
225. ZANIN, H.; HOLLANDA, L. M.; CERAGIOLI, H. J.; FERREIRA, M. S.; MACHADO, D.; LANCELOTTI, M.; CATHARINO, R. R.; BARANAUSKAS, V.; LOBO, A. O. Carbon nanoparticles for gene

transfection in eukaryotic cell lines. **Materials Science and Engineering C**, v. 39, n. 359-370, 2014. - Fator de Impacto em 2013: 2,736

226. SANTANA, H.; ÁVILA, C. L.; CABRERA, I.; PÁEZ, R.; FÁLCON, V.; PESSOA JR. A.; VENTOSA, N.; VECIANA, J.; ITRI, R.; BARBOSA, L. R. S. How does growth hormone releasing hexapeptide self-assemble in nanotubes? **Soft Matter**, v. 10, n. 46, p. 9260-9269, 2014. - Fator de Impacto em 2013: 4,151
227. CAMPOS, V. A. C.; PERINA, F. J.; ALVES, E.; SARTORELLI, J. C.; MOURA, A. M.; OLIVEIRA, D. F. *Anadenanthera colubrina* (Vell.) Brenan produces steroidal substances that are active against *alternaria alternata* (Fr.) keissler and that may bind to oxysterol-binding proteins. **Pest Management Science**, v. 70, n. 12, p. 1815-1822, 2014. - Fator de Impacto em 2013: 2,743
228. MARCOS, F. C. F.; LUCRÉDIO, A. F.; ASSAF, E. M. Effects of adding basic oxides of La and/or Ce to SiO₂-supported Co catalysts for ethanol steam reforming. **RSC Advances**, v. 4, n. 83, p. 43839-43849, 2014. - Fator de Impacto em 2013: 3,708
229. STRAUSS, M.; PASTORELLO, M.; SIGOLI, F. A.; SILVA, J. M. S.; MAZALI, I. O. Singular effect of crystallite size on the charge carrier generation and photocatalytic activity of nano-TiO₂. **Applied Surface Science**, v. 319, p. 151-157, 2014. - Fator de Impacto em 2013: 2,538
230. OLIVEIRA, C. L. P., MONTEIRO, A. M., FIGUEIREDO NETO, A. M. Structural modifications and clustering of low-density lipoproteins in solution induced by heating **Brazilian Journal of Physics**, v. 44, n. 6, p. 753-764, 2014. - Fator de Impacto em 2013: 0,683
231. Structural modifications and clustering of low-density lipoproteins in solution induced by heating. SOUZA JR. F. G.; PINTO, J. C.; GARCIA, F. A.; OLIVEIRA, G. E.; TAVARES, M. I. B.; SILVA, A. M.; PEREIRA, E. D. Modification of coconut fibers with polyaniline for manufacture of pressure-sensitive devices. **Polymer Engineering and Science**, v. 54, n. 12, p. 2887-2895, 2014. - Fator de Impacto em 2013: 1,441
232. ARAUJO, K. A. S.; PAULI, M.; FERREIRA, S. O.; MALACHIAS, A.; CURY, L. A. Interface engineering to probe exciton energy transfer mechanism in conjugated polymer bilayers. **Organic Electronics**, v. 15, n. 12, p. 3501-3505, 2014. - Fator de Impacto em 2013: 3,676
233. CAUMO, K. S.; MONTEIRO, K. M.; OTT, T. R.; MASCHIO, V. J.; WAGNER, G.; FERREIRA, H. B.; ROTT, M. B. Proteomic profiling of the infective trophozoite stage of *Acanthamoeba polyphaga*. **Acta Tropica**, v. 140, p. 166-172, 2014. - Fator de Impacto em 2013: 2,519
234. OSHIRO, A.; SILVA, D. C.; MELLO, J. C. DE; MORAES, V. W. R. DE; CAVALCANTI, L. P.; FRANCO, M. K. K. D.; ALKSCHBIRS, M. I.; FRACETO, L. F.; YOKAICHIYA, F.; RODRIGUES, T.; ARAUJO, D. R. Pluronics F-127/L-81 binary hydrogels as drug-delivery systems: influence of physicochemical aspects on release kinetics and cytotoxicity. **Langmuir**, v. 30, n. 45, p. 13689-13698, 2014. - Fator de Impacto em 2013: 4,384
235. SANCHEZ, D. F.; RODRIGUES, F.; LUCE, F. P.; FABRIM, Z. E.; AZEVEDO, G. DE M.; KELLERMANN, G.; BAPTISTA, D. L.; GRANDE, P. L.; FICHTNER, P. F. P. MEIS, TEM and GISAXS investigation of buried Pb nanoislands in SiO₂/Si interface. **Applied Surface Science**, v. 321, p. 80-85, 2014. - Fator de Impacto em 2013: 2,538
236. HUANCAHUIRE-VEGA, S.; PONCE-SOTO, L. A.; MARANGONI, S. PhTX-II a basic myotoxic phospholipase A(2) from porthidium hyoprora snake venom, pharmacological characterization and amino acid sequence by mass spectrometry. **Toxins**, v. 6, n. 11, p. 3077-3097, 2014. - Fator de Impacto em 2013: 2,48
237. SILVA, Y.P.; DALMORO, V.; RUIZ, Y. P. M.; CAPELETTI, L. B.; MENDONÇA, C. R.; SANTOS, J. H. Z. DOS; PIATNICKI, C.M.S. Biodiesel water in oil microemulsions: ferrocene as a hydrophobic probe for

direct analysis by differential pulse voltammetry at a Pt ultramicroelectrode. **Analytical Methods**, v. 6, n. 23, p. 9212-9219, 2014. - Fator de Impacto em 2013: 1,938

238. DELUIGI, M. T.; DE GROOT, F. M. F.; LÓPEZ-DÍAZ, G.; TIRAO, G.; STUTZ, G.; DE LA VEGA, J. R. Core and valence structures in K β X-ray emission spectra of chromium materials. **Journal of Physical Chemistry C**, v.118, n. 38, p. 22202-22210, 2014. - Fator de Impacto em 2013: 4,835
239. ANDRADE, G. R. S.; NASCIMENTO, C. C.; XAVIER, P. A.; COSTA, S. S. L.; COSTA, L. P.; GIMENEZ, I. F. Cu-doped CdS and ZnS nanocrystals grown onto thiolated silica-gel. **Optical Materials**, v. 37, p. 641-645, 2014. - Fator de Impacto em 2013: 2,075
240. SILVEIRA, J. V.; SAVU, R.; CANESQUI, M. A.; ALVES, O. L.; MENDES-FILHO, J.; SWART, J. W.; SOUZA FILHO, A. G.; MOSHKALEV, S. A. Improvement of electrical and thermal contacts between carbon nanotubes and metallic electrodes by laser annealing. **Journal of Nanoelectronics and Optoelectronics**, v. 9, n. 3, p. 374-380, 2014. - Fator de Impacto em 2013: 0,369
241. NASCIMENTO, A. S.; MUNIZ, J. R. C.; APARICIO, R.; GOLUBEV, A. M.; POLIKARPOV, I. Insights into the structure and function of fungal beta-mannosidases from glycoside hydrolase family 2 based on multiple crystal structures of the Trichoderma harzianum enzyme. **FEBS Journal**, v. 281, n. 18, p. 4165-41, 2014. - Fator de Impacto em 2013: 3,986
242. CEZAR, A. B.; GRAFF, I. L.; VARALDA, J.; SCHREINER, W. H.; MOSCA, D. H. Oxygen-vacancy-induced room-temperature magnetization in lamellar V₂O₅ thin films. **Journal of Applied Physics**, v. 116, n.16, p. 163904, 2014. - Fator de Impacto em 2013: 2,185
243. RISSI, N. C.; GUGLIELMI, D. A. S.; CORRÊA, M. A.; CHIAVACCI, L. A. Relationship between composition and organizational levels of nanostructured systems formed by Oleth 10 and PPG-5-Ceteth-20 for potential drug delivery. **Brazilian Journal of Pharmaceutical Sciences**, v. 50, n. 3, p. 653-661, 2014. - Fator de Impacto em 2013: 0,302
244. CARAVIERI, B. B.; OLIVEIRA, P. F. DE; FURTADO, R. A.; TAVARES, D. C.; NASSAR, E. J.; CIUFFI, K. J.; MOLINA, E. F. Solubility enhancement of ibuprofen using tri-ureasil-PPO hybrid: structural, cytotoxic, and drug release investigation. **Journal of Sol-Gel Science and Technology**, v. 72, n. 3, p. 627-636, 2014 - Fator de Impacto em 2013: 1,547
245. ELEUTERIO, F. H. S.; AMORIM, L. S.; BELICH, H.; ORLANDO, M. T. D.; PASSOS, C. A. C. Two mixed superconducting phases in (Hg, Re)-1223 ceramics. **Journal of Superconductivity and Novel Magnetism**, v. 27, n. 12, p. 2679-2684, 2014.- Fator de Impacto em 2013: 0,93
246. LAGO, A. F.; JANUARIO, R. D.; SIMON, M.; DÁVALOS, J. Z. VUV photodissociation of thiazole molecule investigated by TOF-MS and photoelectron photoion coincidence spectroscopy. **Journal of Mass Spectrometry**, v. 49, n. 11, p. 1163-1170, 2014. - Fator de Impacto em 2013: 2,709
247. SÁ, A. D. T. DE; ABRÃO OIKO, V. T.; DOMENICANTONIO, G. DE; RODRIGUES, V. New experimental setup for metallic clusters production based on hollow cylindrical magnetron sputtering. **Journal of Vacuum Science & Technology B**, v. 32, n. 6, p. 061804, 2014 - Fator de Impacto em 2013: 1,358
248. ADRIANO, C.; ROSA, P. F. S.; JESUS, C. B. R.; MARDEGAN, J. R. L.; GARITEZI, T. M.; GRANT, T.; FISK, Z.; GARCIA, D. J.; REYES, A. P.; KUHNS, P. L.; URBANO, R. R.; GILES, C.; PAGLIUSO, P. G. Physical properties and magnetic structure of the intermetallic CeCuBi₂ compound. **Physical Review B**, v. 90, n. 23, p.235120, 2014. - Fator de Impacto em 2013: 3,664

249. KASSAB, L. R. P.; CAMILO, M. E.; SILVA, D. S.; ASSUMPÇÃO, T. A. A. DE; FEDORCHUK, A. I.; PLUCINSKI, K. J. Laser stimulated piezoelectricity in Er³⁺ doped GeO₂-Bi₂O₃ glasses containing silicon nanocrystals. **Optical Materials**, v. 38, p. 28-32, 2014. - Fator de Impacto em 2013: 2,075
250. CATTO, A. C.; DA SILVA, L. F.; BERNARDI, M. I. B.; LI, M. S.; LONGO, E.; LISBOA-FILHO, P. N.; NASCIMENTO, O. R.; MASTELARO, V. R. An investigation into the influence of zinc precursor on the microstructural, photoluminescence, and gas-sensing properties of ZnO nanoparticles. **Journal of Nanoparticle Research**, v. 16, p. 2760-2769, 2014. - Fator de Impacto em 2013: 2,278
251. THIRUMALAIRAJAN, S.; MASTELARO, V. R.; ESCANHOELA JR. C. A. In-Depth understanding of the relation between CuAlO₂ particle size and morphology for ozone gas sensor detection at a nanoscale level. **ACS Applied Materials & Interfaces**, v. 6, n. 23, p. 21739-21749, 2014. - Fator de Impacto em 2013: 5,9
252. GALVÃO, W. S.; FREIRE, R. M.; RIBEIRO, T. S.; SALES, F. A. M.; VASCONCELOS, I. F.; COSTA, L. S.; FREIRE, V. N.; DENARDIN, J. C.; FECHINE, P. B. A. Cubic superparamagnetic nanoparticles of NiFe₂O₄ via fast microwave heating. **Journal of Nanoparticle Research**, v. 16, n. 12, p. 2803-2810, 2014. - Fator de Impacto em 2013: 2,278
253. SILVA, T. A.; ZANIN, H.; MAY, P. W.; CORAT, E. J.; FATIBELLO- FILHO, O. Electrochemical performance of porous diamond-like carbon electrodes for sensing hormones, neurotransmitters, and endocrine disruptors. **ACS Applied Materials & Interfaces**, v. 6, n. 23. p. 21086-21092, 2014. - Fator de Impacto em 2013: 5,9
254. CAETANO, B.L., MENEAU, F., SANTILLI, C. V., PULCINELLI, S. H., MAGNANI, M., BRIOIS, V. Mechanisms of SnO₂ nanoparticles formation and growth in acid ethanol solution derived from SAXS and combined Raman-XAS time-resolved studies. **Chemistry of Materials**, v. 26, n. 23, p. 6777-6785, 2014. - Fator de Impacto em 2013: 8,535
255. LOPES, S. C. DE A.; NOVAIS, V. M.; FERREIRA, D. S.; BRAGA, F. C.; MAGALHÃES-PANIAGO, R.; MALACHIAS, A.; OLIVEIRA, M. C. Ursolic acid incorporation does not prevent the formation of a non-lamellar phase in pH-sensitive and long-circulating liposomes. **Langmuir**, v. 30, n. 50, p. 15083-15090, 2014. - Fator de Impacto em 2013: 4,384
256. OLIVEIRA, R. DA S.; BIZETO, M. A.; LIBERATORE, A. M. A.; KOH, I. H. J.; CAMILO, F. F. A new method for producing highly concentrated non-aqueous dispersions of silver nanoparticles and the evaluation of their bactericidal activity. **Journal of Nanoparticle Research**, v. 16, n. 11, p. 2723, 2014. - Fator de Impacto em 2013: 2,278
257. OESTREICHER, V.; FÁBREGAS, I. O.; JOBBÁGY, M. One-pot epoxide-driven synthesis of M₂Al(OH)(6)Cl center dot 1.5H₂O layered double hydroxides: precipitation mechanism and relative stabilities. **Journal of Physical Chemistry C**, v. 118, n. 51, p. 30274-30281, 2014. - Fator de Impacto em 2013: 4,835
258. KHAN, L. U.; BRITO, H. F.; HÖLSÄ, J.; PIROTA, K. R.; MURACA, D.; FELINTO, M. C. F. C.; TEOTÔNIO, E. E. S.; MALTA, O. L. Red-green emitting and superparamagnetic nanomarkers containing Fe₃O₄ functionalized with calixarene and rare earth complexes. **Inorganic Chemistry**, v. 53, n. 24, p. 12902-12910, 2014. - Fator de Impacto em 2013: 4,794
259. CAMPOS, M.; SOUZA, S. D.; MARTINEZ, L. G.; OLZON-DIONYSIO, M. Study of expanded austenite formed in plasma nitrided AISI 316L samples, using synchrotron radiation diffraction. **Materials Research**, v. 17, n. 5, p. 1302-1308, 2014. - Fator de Impacto em 2013: 0
260. NETO, B.A.D.; MOTA, A. A. R.; GATTO, C. C.; MACHADO, G.; FASCIOTTI, M.; OLIVEIRA, H. C. B.; BIANCHI, O.; EBERLIN, M. N. Solid, solution and gas phase interactions of an imidazolium-based task-

specific ionic liquid derived from natural kojic acid. **Journal of Brazilian Chemical Society**, v. 25, n. 12, p. 2280-2294, 2014. - Fator de Impacto em 2013: 1,253

261. URSO-GUIMARÃES, M. V.; PELÁEZ-RODRIGUEZ, M.; TRIVINHO-STRIXINO, S. New species of Lopesia (Diptera, Cecidomyiidae) associated with Eichhornia azurea (Pontederiaceae) from Brazil. **Iheringia Serie Zoologia**, v. 104, n. 4, p. 478-483, 2014. - Fator de Impacto em 2013: 0,505

262. DELGADO, A. O.; BUCK, P. V.; OSÉS, G. L.; GHILARDI, R. P.; RANGEL, E. C.; PACHECO, M. L. A. F. Paleometry: a brand new area in brazilian science. **Materials Research**, v. 17, n. 6, p. 1434-1441, 2014. - Fator de Impacto em 2013: 0

263. DA SILVA, E. A.; DE OLIVEIRA, V. J. R.; BRAUNGER, M. L.; CONSTANTINO, C. J. L.; OLIVATI, C. A. Poly (3-octylthiophene) / stearic acid langmuir and langmuir-blodgett films: preparation and characterization. **Materials Research**, v. 17, n. 6, p. 1442-1448, 2014. - Fator de Impacto em 2013: 0

2013

Artigos Publicados por Beneficiários Externos

- 1 DE MORAIS, A.; LOIOLA, L. M. D.; BENEDETTI, J. E.; GONÇALVES, A. S.; AVELLANEDA, C. A. O.; CLERICI, J. H.; COTTA, M. A.; NOGUEIRA, A. F. Enhancing in the performance of dye-sensitized solar cells by the incorporation of functionalized multi-walled carbon nanotubes into TiO₂ films: the role of MWCNT addition. **Journal of Photochemistry and Photobiology A**, v. 251, p.78-84, 2013. - Fator de Impacto em 2012: 2,416
- 2 ASENCIOS, Y. J. O.; ASSAF, E. M. Combination of dry reforming and partial oxidation of methane on Ni_xMg_{1-x}ZrO₂ catalyst: effect of nickel content. **Fuel Processing Technology**, v. 106, p. 247-252, 2013. - Fator de Impacto em 2012: 2,816
- 3 RINCÓN-CARDONA, J. A.; MARTINI, S.; CANDAL, R. J.; HERRERA, M. L. Polymorphic behavior during isothermal crystallization of high stearic high oleic sunflower oil stearins. **Food Research International**, v. 51, n. 1, p. 86-97, 2013. - Fator de Impacto em 2012: 3,005
- 4 DE OLIVEIRA, G. A. P.; ROCHA, C. B.; MARQUES, M. A.; CORDEIRO, Y.; SORENSEN, M. M.; FOGUEL, D.; SILVA, J. L.; SUAREZ, M. C. Insights into the intramolecular coupling between the N- and C-domains of troponin C derived from high-pressure, fluorescence, nuclear magnetic resonance, and small-angle X-ray scattering studies. **Biochemistry**, v. 52, n. 1, p. 28-40, 2013. - Fator de Impacto em 2012: 3,377
- 5 MOSCOSO-LONDOÑO, O.; GONZALEZ, J. S.; MURACA, D.; HOPPE, R.; ALVAREZ, V. A.; LÓPEZ-QUINTELA, A.; SOCOLOVSKY, L.M.; PIROTA, K. R. Structural and magnetic behavior of ferrogels obtained by freezing thawing of polyvinyl alcohol/poly (acrylic acid) (PAA)-coated iron oxide nanoparticles. **European Polymer Journal**, v. 49, n.2, p. 279-289, 2013. - Fator de Impacto em 2012: 2,562
- 6 SOLDATI, A. L.; BAQUÉ, L.; NAPOLITANO, F.; SERQUIS, A. Cobalt-iron redox behavior in nanostructured La_{0.4}Sr_{0.6}Co_{0.8}Fe_{0.203-Δ} cathodes. **Journal of Solid State Chemistry**, v. 198, p. 253-261, 2013. - Fator de Impacto em 2012: 2,04
- 7 KESSLER, F.; KÜHN, S.; RADTKE, C.; WEIBEL, D. E. Controlling the surface wettability of poly(sulfone) films by UV-assisted treatment: benefits in relation to plasma treatment. **Polymer International**, v. 62, n. 2, p. 310-318, 2013. - Fator de Impacto em 2012: 2,125
- 8 GONZÁLES, M.; LEMUS-SANTANA, A. A.; RODRÍGUEZ-HERNÁNDEZ, J.; KNOBEL, M.; REGUERA, E. Pi-pi Interactions and magnetic properties in a series of hybrid inorganic-organic crystals. **Journal of Solid State Chemistry**, v. 197, p. 317-322, 2013. - Fator de Impacto em 2012: 2,04
- 9 TOLEDO, M. A. S.; SANTOS, C. A.; MENDES, J. S.; PELLOSO, A. C.; BELOTI, L. L.; CRUCELLO, A.; FAVARO, M. T. P.; SANTIAGO, A. DA S.; SCHNEIDER, D. R. S.; SARAIVA, A. M.; STACH-MACHADO, D. R.; SOUZA, A. A.; TRIVELLA, D. B. B.; APARICIO, R.; TASIC, L.; AZZONI, A. R.; SOUZA, A. P. Small-angle X-ray scattering and in silico modeling approaches for the accurate functional annotation of an LysR-type transcriptional regulator. **Biochimica et Biophysica Acta. Proteins and Proteomics**, v. 1834, n. 3, p. 697-707, 2013. - Fator de Impacto em 2012: 3,733
- 10 SILVA, R. A. G.; GAMA, S.; PAGANOTTI, A.; ADORNO, A. T.; CARVALHO, T. M.; SANTOS, C. M. A. Effect of Ag addition on phase transitions of the Cu_{22.26} at.% Al_{9.93} at.% Mn alloy. **Thermochimica Acta**, v. 554, p. 71-75, 2013. - Fator de Impacto em 2012: 1,989

- 11 SILVA, R. A. G.; PAGANOTTI, A.; GAMA, S.; ADORNO, A. T.; CARVALHO, T. M.; SANTOS, C. M. A. Investigation of thermal, mechanical and magnetic behaviors of the Cu₁₁ % Al alloy with Ag and Mn additions. **Materials Characterization**, v. 75, n. 194-199, 2013. - Fator de Impacto em 2012: 1,88
- 12 DELABONA, P. S.; COTA, J.; HOFFMAM, Z. B.; PAIXÃO, D. A. A.; FARINAS, C. S.; CAIRO, J. P. L. F.; LIMA, D. J. S.; SQUINA, F. M.; RULLER, R.; PRADELLA, J. G. C. Understanding the cellulolytic system of *Trichoderma harzianum* P49P11 and enhancing saccharification of pretreated sugarcane bagasse by supplementation with pectinase and alpha-L-arabinofuranosidase. **Bioresource Technology**, v. 131, p. 500-507, 2013. - Fator de Impacto em 2012: 4,75
- 13 BARROS, S. D. T.; COELHO, A. V.; LACTER, E. R.; SAN GIL, R. A. S.; DAHMOUCHE, K.; DA SILVA, M. I. P. Esterification of lauric acid with butanol over mesoporous materials. **Renewable Energy**, v. 50, p. 585-589, 2013. - Fator de Impacto em 2012: 2,989
- 14 MAGALHÃES, N. F.; DAHMOUCHE, K.; LOPES, G. K.; ANDRADE, C. T. Using an organically-modified montmorillonite to compatibilize a biodegradable blend. **Applied Clay Science**, v. 72, p. 1-8, 2013. - Fator de Impacto em 2012: 2,342
- 15 ABREU, C. M.; SILVA, R. S.; VALERIO, M. E. G.; MACEDO, Z. S. Color-control of the persistent luminescence of cadmium silicate doped with transition metals. **Journal of Solid State Chemistry**, v. 200, p. 54-59, 2013. - Fator de Impacto em 2012: 2,04
- 16 OLIVEIRA, L. H.; PARIS, E. C.; AVANSI JR., W.; RAMÍREZ, M. A.; MASTELARO, V. R.; LONGO, E.; VARELA, J. A. Correlation between photoluminescence and structural defects in Ca_{1+x}Cu_{3-x}Ti₄O₁₂ systems. **Journal of the American Ceramic Society**, v. 96, n. 1, p. 209-217, 2013. - Fator de Impacto em 2012: 2,107
- 17 BEZERRA, M. J. B.; RODRIGUES, N. V. F. C.; PIRES, A. F.; BEZERRA, G. A.; NOBRE, C. B.; ALENCAR, K. L. DE L.; SOARES, P. M. G.; NASCIMENTO, K. S.; NAGANO, C. S.; MARTINS, J. L.; GRUBER, K.; SAMPAIO, A. H.; DELATORRE, P.; ROCHA, B. A. M.; ASSREUY, A. M. S.; CAVADA, B. S. Crystal structure of *Dioclea violacea* lectin and a comparative study of vasorelaxant properties with *Dioclea rostrata* lectin. **International Journal of Biochemistry & Cell Biology**, v. 45, n. 4, p. 807-815, 2013. - Fator de Impacto em 2012: 4,152
- 18 GODOY, M. P. F.; MESQUITA, A.; AVANSI, W.; NEVES, P. P.; CHITTA, V. A.; FERRAZ, W. B.; BOSELLI, M. A.; SABIONI, A. C. S.; CARVALHO, H. B. Evidence of defect-mediated magnetic coupling on hydrogenated Co-doped ZnO. **Journal of Alloys and Compounds**, v. 555, p. 315-319, 2013. - Fator de Impacto em 2012: 2,39
- 19 DE MELLO, A. C. S.; ANDRADE, A. B.; NAKAMURA, G. H. G.; BALDOCHI, S. L.; VALERIO, M. E. G. Luminescence properties of Er₃₊ and Tm₃₊ doped BaY₂F₈. **Journal of Luminescence**, v. 138, p. 19-24, 2013. - Fator de Impacto em 2012: 2,144
- 20 SANTOS, S. F.; CASTRO, J. F. R.; TICIANELLI, E. A. Microstructures and electrode performances of Mg₅₀Ni_(50-x)Pd_x alloys. **Central European Journal of Chemistry**, v. 11, n.4, p. 485-491, 2013. - Fator de Impacto em 2012: 1,167
- 21 ARANTES, C.; MENDES, L. A. V.; PINHO, R. R.; FERREIRA, M.; SOUZA, G. G. B. DE, ROCHA, A. B.; ROCCO, M. L. M. Site-selective photofragmentation of chlorinated polymeric films observed around the chlorine K-edge. **Chemical Physics**, v. 415, p. 145- 149, 2013. - Fator de Impacto em 2012: 1,957

- 22 TERRA, I. A. A.; BORRERO- GONZÁLES, L. J.; CARVALHO, J. M.; TERRAZOS, L. A.; FELINTO, M. C. F. C.; BRITO, H. F.; NUNES, L. A. O. Spectroscopic properties and quantum cutting in $Tb_{3\pm}Yb_3$ -Co-doped ZrO_2 nanocrystals. **Journal of Applied Physics**, v. 113, n.7, p. 073105, 2013. - Fator de Impacto em 2012: 2,21
- 23 CANTANE, D. A.; OLIVEIRA, F. E. R.; SANTOS, S. F.; LIMA, F. H. B. Synthesis of Pt-based hollow nanoparticles using carbon-supported Co@Pt and Ni@Pt core-shell structures as templates: electrocatalytic activity for the oxygen reduction reaction. **Applied Catalysis B**, v. 136-137, p. 351-360, 2013. - Fator de Impacto em 2012: 5,825
- 24 MUÑOZ, F. F.; BAKER, R. T.; LEYVA, A. G.; FUENTES, R. O. Reduction and catalytic behaviour of nanostructured Pd/gadolinia-doped ceria catalysts for methane combustion. **Applied Catalysis B**, v. 136-137, p. 122-132, 2013. - Fator de Impacto em 2012: 5,825
- 25 PALMIERI, L. DE C.; FÁVERO-RETTO, M. P.; LOURENÇO, D.; LIMA, L. M. T. R. A T3R3 hexamer of the human insulin variant B28Asp. **Biophysical Chemistry**, v. 173-174, p. 1-7, 2013. - Fator de Impacto em 2012: 2,283
- 26 MOLINA, E. F.; MARÇAL, L.; DE CARVALHO, H. W. P.; NASSAR, E. J.; CIUFFI, K. J. Tri-ureasil gel as a multifunctional organic-inorganic hybrid matrix. **Polymer Chemistry**, v. 4, n. 5, p. 1575-1582, 2013. - Fator de Impacto em 2012: 5,231
- 27 LEITÃO, R. G.; PEREIRA, G. R.; LIMA, I.; PALUMBO JR., A.; SOUZA, P. A. V. R.; ANJOS, M. J. DOS; NASCIUTTI, L. E.; LOPES, R. T. Elemental distribution of prostate samples by synchrotron radiation X-ray fluorescence techniques. **IEEE Transactions on Nuclear Science**, v. 60, n. 2, p. 722- 727, 2013. - Fator de Impacto em 2012: 1,219
- 28 MENDOZA ZÉLIS, P.; PASQUEVICH, G. A.; STEWART, S. J.; FERNÁNDEZ VAN RAAP, M. B.; APHESTEGUY, J.; BRUVERA, I. J.; LABORDE, C.; PIANCIOLA, B.; PIANCIOLA, B. N.; SÁNCHEZ, F. H. Structural and magnetic study of zinc-doped magnetite nanoparticles and ferrofluids for hyperthermia applications. **Journal of Physics D**, v. 46, n. 12, p. 125006, 2013. - Fator de Impacto em 2012: 2,528
- 29 BRUXEL, F.; VILELA, J. M. C.; ANDRADE, M. S.; MALACHIAS, A.; PÉREZ, C. A.; MAGALHÃES-PANIAGO, R.; OLIVEIRA, M. C.; TEIXEIRA, H. F. Investigation of the structural organization of cationic nanoemulsion/antisense oligonucleotide complexes. **Colloids and Surfaces B**, v. 112, p. 530-536, 2013. - Fator de Impacto em 2012: 3,554
- 30 DE LIMA, L. H.; SIERVO, A. DE; LANDERS, R.; VIANA, G. A.; GONÇALVES, A. M. B.; LACERDA, R. G.; HÄBERLE, P. Atomic surface structure of graphene and its buffer layer on SiC(0001): a chemical-specific photoelectron diffraction approach. **Physical Review B**, v. 87, n. 8, p. 081403, 2013. - Fator de Impacto em 2012: 2,313
- 31 RIBEIRO, A. A.; BALESTRA, R. M.; ROCHA, M. N.; PERIPOLLI, S. B.; ANDRADE, M. C.; PEREIRA, L. C.; OLIVEIRA, M. V. Dense and porous titanium substrates with a biomimetic calcium phosphate coating. **Applied Surface Science**, v. 265, p. 250-256, 2013. - Fator de Impacto em 2012: 2,112
- 32 MURACA, D.; SIERVO, A. DE; PIROTA, K. R. From quenched to unquenched orbital magnetic moment on metallic@oxide nanoparticles: dc magnetic properties and electronic correlation. **Journal of Nanoparticle Research**, v. 15, n. 1, p. 1375, 2013. - Fator de Impacto em 2012: 2,175
- 33 VARELA, A.; OLIVEIRA, G.; SOUZA JR., F. G.; RODRIGUES, C. H. M.; COSTA, M. A. S. New petroleum absorbers based on cardanol-furfuraldehyde magnetic nanocomposites. **Polymer Engineering and Science**, v. 53, n. 1, p. 44-51, 2013. - Fator de Impacto em 2012: 1,243 (4541)

34 THYSSEN, V. V.; MAIA, T. A.; ASSAF, E. M. Ni supported on La₂O₃.SiO₂ used to catalyze glycerol steam reforming. **Fuel**, v. 105, p. 358-363, 2013. - Fator de Impacto em 2012: 3,357

35 MENEZES, A. S.; CALLIGARIS, G. A.; SANTOS, A. O. DOS; CARDOSO, L. P. On the effect of Au₂₊ ion irradiation in an amorphous Fe-Si thin layer synthesized by ion implantation: a high resolution X-ray diffraction study. **CrystEngComm**, v. 15, n. 12, p. 2251-2259, 2013. - Fator de Impacto em 2012: 3,879

36 ABREU, G. J. P.; PANCOTTI, A.; DE LIMA, L. H.; LANDERS, R.; SIERVO, A. DE. Photoelectron diffraction study of Rh nanoparticles growth on Fe₃O₄/Pd(111) ultrathin film. **Journal of Nanoparticle Research**, v. 15, n. 4, p. 1510, 2013. - Fator de Impacto em 2012: 2,175

37 ARINS, A. W.; JURCA, H. F.; ZARPELLO, J.; VARALDA, J.; GRAFF, I. L.; OLIVEIRA, A. J. A. DE; SCHREINER, W. H.; MOSCA, D. H. Tetragonal zinc-blende MnGa ultra-thin films with high magnetization directly grown on epi-ready GaAs(111) substrates. **Applied Physics Letters**, v. 102, n. 10, p. 102408, 2013. - Fator de Impacto em 2012: 3,794

38 BÜRGI, J. M.; NEUENSCHWANDER, R. T.; KELLERMANN, G.; GARCÍA MOLLEJA, J.; CRAIEVICH, A. F.; FEUGEAS, J. N. Reactive sputter magnetron reactor for preparation of thin films and simultaneous in situ structural study by X-ray diffraction. **Review of Scientific Instruments**, v. 84, n.1 , 015102, 2013. - Fator de Impacto em 2012: 1,602

39 ALMEIDA, J. M. A.; SANTOS, P. E. C.; CARDOSO, L. P.; MENESSES, C. T. A simple method to obtain Fe-doped CeO₂ nanocrystals at room temperature. **Journal of Magnetism and Magnetic Materials**, v. 327, p. 185-188, 2013 - Fator de Impacto em 2012: 1,826

40 OLIVEIRA, D. S.; TIZEI, L. H. G.; UGARTE, D. M.; COTTA, M. A. Spontaneous periodic diameter oscillations in InP nanowires: the role of interface instabilities. **Nano Letters**, v. 13, n.1, p. 9-13, 2013. - Fator de Impacto em 2012: 13,025

41 PICCO, A.; ZELAYA, E.; AZZARONI, O.; CEOLÍN, M. R. Supramacromolecular organization of gold nanocrystals capped with amphiphilic hyperbranched polyethyleneimine. **Journal of Colloid and Interface Science**, v. 397, p. 206-209, 2013. - Fator de Impacto em 2012: 3,172

42 SILVA, K. P., SERAPHIM, T. V., BORGES, J. C. Structural and functional studies of *Leishmania braziliensis* Hsp90. **Biochimica et Biophysica Acta. Proteins and Proteomics**, v. 1834, n. 1, p. 351-361, 2013. - Fator de Impacto em 2012: 3,733

43 DORES-SILVA, P. R.; MINARI, K.; RAMOS, C. H. I.; BARBOSA, L. R. S.; BORGES, J. C. Structural and stability studies of the human mtHsp70-escort protein 1: an essential mortalin co-chaperone. **International Journal of Biological Macromolecules**, v. 56, p. 140-148, 2013. - Fator de Impacto em 2012: 2,596

44 BELLINO, M. G.; GOLBERT, S.; DE MARZI, M. C.; SOLER-ILLIA, G. J. A. A.; DESIMONE, M. F. Controlled adhesion and proliferation of a human osteoblastic cell line by tuning the nanoporosity of titania and silica coatings. **Biomaterials Science**, v. 1, n. 1, p. 186-189, 2013. - Fator de Impacto em 2012: 0

45 ZELCER, A.; SOLER-ILLIA, G. J. A. A. One-step preparation of UV transparent highly ordered mesoporous zirconia thin films. **Journal of Materials Chemistry C**, v. 1, n. 1, p. 1359-1367, 2013. - Fator de Impacto em 2012: 0

46 SÁNCHEZ, V. M.; MARTINEZ, E. D.; MARTÍNEZ RICCI, M. L.; TROIANI, H. E.; SOLER-ILLIA, G. J. A. A. Optical properties of Au nanoparticles included in mesoporous TiO₂ thin films: a dual experimental and

modeling study. **Journal of Physical Chemistry C**, v. 117, n. 14, p. 7246-7259, 2013. - Fator de Impacto em 2012: 4,814

47 ARIAS, S.; EON, J. G.; SAN GIL, R. A. S.; LICEA, Y. E.; PALACIO, L. A.; FARO JR., A. C. Synthesis and characterization of terephthalate-intercalated NiAl layered double hydroxides with high Al content. **Dalton Transactions**, v. 42, n. 6, p. 2084-2093, 2013. - Fator de Impacto em 2012: 3,806

48 LEANI, J. J.; SÁNCHEZ, H. J.; VALENTINUZZI, M. C.; PÉREZ, C. A.; GRENON, M. C. Qualitative microanalysis of calcium local structure in tooth layers by means of micro-RRS. **Journal of Microscopy**, v. 250, pt. 2, p. 111-115, 2013. - Fator de Impacto em 2012: 1,633

49 FREITAS, R. O.; DENEKE, C.; MALACHIAS, A.; DARIN, G.; MORELHÃO, S. L. Measuring friedel pairs in nanomembranes of GaAs (001). **Journal of Nanoparticle Research**, v. 15, n. 4, p. 1527, 2013.- Fator de Impacto em 2012: 2,175

50 ESCOBAR, J. D.; SANTOS, T. F. A.; RAMIREZ, A. J.; VELÁSQUEZ, E. Improvement of cavitation erosion resistance of a duplex stainless steel through friction stir processing (FSP). **Wear**, v. 297, n. 1-2, p. 998-1005, 2013. - Fator de Impacto em 2012: 1,262

51 ASENSIOS, Y. J. O.; RODELLA, C. B.; ASSAF, E. M. Oxidative reforming of model biogas over NiO-Y₂O₃-ZrO₂ catalysts. **Applied Catalysis B**, v. 132-133, p. 1-12, 2013. - Fator de Impacto em 2012: 5,825

52 WANDERLEY, M. C. A.; MARTÍN, C.; ROCHA, G. J. M.; GOUVEIA, E. R. Increase in ethanol production from sugarcane bagasse based on combined pretreatments and fed-batch enzymatic hydrolysis. **Bioresource Technology**, v. 128, p. 448-453, 2013. - Fator de Impacto em 2012: 4,75

53 PESTANA, C. F. M.; GUERRA, A. C. O.; FERREIRA, G. B.; TURCI, C. C.; MOTA, C. J. A. Oxidative dehydration of glycerol to acrylic acid over vanadium-impregnated zeolite β. **Journal of the Brazilian Chemical Society**, v. 24, n. 1, p. 100-105, 2013. - Fator de Impacto em 2012: 1,283

54 DAMASCENO, J. P. V.; STRAUSS, M.; MARONEZE, C. M.; COSTA, L. P.; SIGOLI, F. A.; GUSHIKEM, Y.; MAZALI, I. O. Exploring the functionalization ratio of mesoporous silica glass with imidazolium entities on the synthesis of supported gold nanoparticles. **Journal of Nanoparticle Research**, v. 15, n. 3, p. 1441-1450, 2013. - Fator de Impacto em 2012: 2,175

55 BÉRON, F.; OLIVEIRA, L. A. S.; KNOBEL, M.; PIROTA, K. R. A novel method for identifying the local magnetic viscosity process of heterogeneous magnetic nanostructures. **Journal of Physics D**, v. 46, p. 045003-045010, 2013. - Fator de Impacto em 2012: 2,528

56 BATISTA, J. N. M.; FARIA, E. H.; CALEFI, P. S.; CIUFFI, K. J.; NASSAR, E. J.; CAIUT, J.M.A.; ROCHA, L. A. pH affects sol-gel formation of core-shell mesoporous silica coatings on polyamide. **Industrial & Engineering Chemistry Research**, v. 52, n. 2, p. 779- 784, 2013 - Fator de Impacto em 2012: 2,206

57 ZANIN, H.; TEÓFILO, R. F.; PETERLEVITZ, A. C.; OLIVEIRA, U.; PAIVA, J. C.; CERAGIOLI, H. J.; REIS, E. L.; BARANAUSKAS, V. Diamond cylindrical anodes for electrochemical treatment of persistent compounds in aqueous solution. **Journal of Applied Electrochemistry**, v. 43, n. 3, p. 323-330, 2013. - Fator de Impacto em 2012: 1,745

58 DAMÁSIO, A. R. DE L.; BRAGA, C. M. P.; PAIVA, L. B. B.; CITADINI, A. P.; MANDELLI, F.; COTA, J.; ALMEIDA, R. F.; SALVADOR, V. H.; PAIXÃO, D. A. A.; SEGATO, F.; MERCADANRTE, A. Z.; OLIVEIRA NETO, M.; SQUINA, F. M.; SANTOS, W. D. Biomass-to-bio-products application of feruloyl

esterase from *Aspergillus clavatus*. **Applied Microbiology and Biotechnology**, v.97, n. 15, p. 6759-6767, 2013. - Fator de Impacto em 2012: 3,689

59 ROSSETTO, F. R.; PUHL, A. C.; ANDRADE, M. O.; POLIKARPOV, I. Crystallization and preliminary diffraction analysis of the catalytic domain of major extracellular endoglucanase from *Xanthomonas campestris* pv. *Campestris*. **Acta Crystallographica F**, v.69, pt2, p. 137-140, 2013. - Fator de Impacto em 2012: 0,552

60 GHENO, S. M.; PIMENTEL, V. L.; MORELLI, M. R.; PAULIN-FILHO, P. I. Analysis of influence of voltage on potential barrier on BiCuVOX and BiTiVOX ceramics. **Microscopy and Microanalysis**, v. 19, p. 688-692, 2013. - Fator de Impacto em 2012: 2,495

61 MAVRAPOULOS, E.; HAUSEN, M.; COSTA, A. M.; ALVES, G.; MELLO, A.; MIR, M.; OSPINA RAMIREZ, C. A.; GRANJEIRO, J. M.; ROSSI, A. M. The impact of the RGD peptide on osteoblast adhesion and spreading on zinc-substituted hydroxyapatite surface. **Journal of Materials Science: Materials in Medicine**, v. 24, n. 5, p. 1271- 1283, 2013. - Fator de Impacto em 2012: 2,141

62 CARLI, L. N.; BIANCHI, O.; MACHADO, G.; CRESPO, J. S.; MAULER, R. S. Morphological and structural characterization of PHBV/organoclay nanocomposites by small angle X-ray scattering. **Materials Science and Engineering C**, v. 33, n. 2, p. 932-937, 2013. - Fator de Impacto em 2012: 2,404

63 MUNIZ, E. P.; PROVETI, J. R. C.; PEREIRA, R. D.; SEGATTO, B.; PORTO, P. S. S.; NASCIMENTO, V. P.; CAETANO, E. P. Influence of heat-treatment environment on Ni-ferrite nanoparticle formation from coconut water precursor. **Journal of Materials Science**, v. 48, n. 4, p. 1543-1554, 2013. - Fator de Impacto em 2012: 2,163

64 COTA, J.; OLIVEIRA, L. C.; DAMÁSIO, A. R. DE L.; CITADINI, A. P.; HOFFMAM, Z. B.; ALVAREZ, T. M.; CODIMA, C. A.; LEITE, V. B. P.; PASTORE, G. M.; OLIVEIRA NETO, M.; MURAKAMI, M. T.; RULLER, R.; SQUINA, F. M. Assembling a xylanase-lichenase chimera through all-atom molecular dynamics simulations. **Biochimica et Biophysica Acta. Proteins and Proteomics**, v. 1834, n. 8, p. 1492-1500, 2013. - Fator de Impacto em 2012: 3,733

65 MANDELLI, F.; CAIRO, J. P. L. F.; CITADINI, A. P.; BÜCHLI, F.; ALVAREZ, T. M.; OLIVEIRA, R. J.; LEITE, V. B. P.; PAES LEME, A. F.; MERCADANRTE, A. Z.; SQUINA, F. M. The characterization of a thermostable and cambialistic superoxide dismutase from *Thermus filiformis*. **Letters in Applied Microbiology**, v. 57, n. 1, p. 40-46, 2013 - Fator de Impacto em 2012: 1,629

66 ARAÚJO, E. A.; TOMAZINI JR., A.; KADOWAKI, M. A. S.; MURAKAMI, M. T.; POLIKARPOV, I. Crystallization and preliminary X-ray diffraction analysis of a new xyloglucanase from *Xanthomonas campestris* pv. *Campestris*. **Acta Crystallographica F**, v. 69, p. 676-678, 2013. - Fator de Impacto em 2012: 0,552

67 SOUZA-CORREA, J. A.; RIDENTI, M. A.; OLIVEIRA, C.; ARAÚJO, S. R.; AMORIM, J. Decomposition of lignin from sugar cane bagasse during ozonation process monitored by optical and mass spectrometries. **Journal of Physical Chemistry B**, v. 117, n. 11, p. 3110-3119, 2013. - Fator de Impacto em 2012: 3,607

68 MENEGHELLI, C.; JOAQUIM, L. S. D.; FÉLIX, G. L. Q.; SOMENSI, A.; TOMAZZOLI, M.; DA SILVA, D. A.; BERTI, F. V.; VELEIRINHO, M. B. R.; RECOUVREUX, D. O. S.; ZERI, A. C. DE M.; DIAS, P. F.; MARASCHIN, M. Southern brazilian autumnal propolis shows anti-angiogenic activity: an in vitro and in vivo study. **Microvascular Research**, v. 88, p. 1-11, 2013. - Fator de Impacto em 2012: 2,929

69 ZÉLIS, P. M.; MURACA, D.; GONZALEZ, J. S.; PASQUEVICH, G. A.; ALVAREZ, V. A.; PIROTA, K. R.; SÁNCHEZ, F. H. Magnetic properties study of iron-oxide nanoparticles/PVA ferrogels with potential

biomedical applications. **Journal of Nanoparticle Research**, v. 15, p. 1613-1624, 2013. - Fator de Impacto em 2012: 2,175

70 WOLFF, W.; SIGAUD, L.; MONTENEGRO, E. C.; JESUS, V. L. B.; CAVASSO-FILHO, R. L.; PILLING, S.; SANTOS, A. C. F. Ionization and fragmentation of methane induced by 40 eV to 480 eV synchrotron radiation: from valence to beyond core electron ionization. **Journal of Physical Chemistry A**, v. 117, n. 1, p. 56-66, 2013. - Fator de Impacto em 2012: 2,771

71 SANTANA, P. P. DE; SEGATO, T. P.; CARRILHO, E.; LIMA, R. S.; DOSSI, N.; KAMOGAWA, M. Y.; GOBBI, A. L.; PIAZZETTA, M. H. O.; PICCIN, E. Fabrication of glass microchannels by xurography for electrophoresis applications. **Analyst**, v. 138, n. 6, p. 1660- 1664, 2013. - Fator de Impacto em 2012: 3,969

72 ALMEIDA, R. K. S.; MELO, J. C. P.; AIROLDI, C. A new approach for mesoporous carbon organofunctionalization with maleic anhydride. **Microporous and Mesoporous Materials**, v. 165, p. 168-176, 2013. - Fator de Impacto em 2012: 3,365

73 TEDESCO, J. C. G.; PIRES, M. J. M.; CARVALHO, A. M. G.; SOUSA, V. S. R.; COELHO, A. A. Exchange-bias-like effect in $\text{Pr}_{0.75}\text{Tb}_{0.25}\text{Al}_2$ and $\text{Pr}_{0.7}\text{Tb}_{0.3}\text{Al}_2$ samples. **Journal of Magnetism and Magnetic Materials**, v. 339, p. 6-10, 2013. - Fator de Impacto em 2012: 1,826

74 CAVALCANTE, L. S.; BATISTA, N. C.; BADAPANDA, T.; COSTA, M. G. S.; LI, M. S.; AVANSI, W.; MASTELARO, V. R.; LONGO, E.; ESPINOSA, J. W. M.; GURGEL, M. F. C. Local electronic structure, optical bandgap and photoluminescence (PL) properties of $\text{Ba}(\text{Zr}_{0.75}\text{Ti}_{0.25})\text{O}_3$ powders. **Materials Science in Semiconductor Processing**, v. 16, n. 3, p. 1035-1045, 2013. - Fator de Impacto em 2012: 1,338

75 MARTINS, T. S.; SILVA, L. C. C.; MATOS, J. R.; FANTINI, M. C. A. Local atomic structure of lanthanide complexes in cubic ordered mesoporous silica. **Journal of Alloys and Compounds**, v. 560, p. 67-71, 2013. - Fator de Impacto em 2012: 2,39

76 QUEL, N. G.; ARAGÃO, A. Z. B.; SALVADORI, M. R.; FARIA, A. S.; JOAZEIRO, P. P.; SANTOS, L. M. B.; SÁ, L. R. M.; FERREIRA, A. J. P.; YANO, T. Cellulitis lesions in broiler chickens are induced by Escherichia coli Vacuolating Factor (ECV). **Veterinary Microbiology**, v. 162, n. 2-4, p. 866-872, 2013. - Fator de Impacto em 2012: 3,127

77 FREITAS, V. F.; BONADIO, T. G. M.; DIAS, G. S.; PROTZEK, O. A.; MEDINA, A. N.; COTICA, L. F.; SANTOS, I. A.; EIRAS, J. A. On the microscopic mechanism for the stabilization of structural and ferroic states in displacive multiferroics. **Journal of Applied Physics**, v. 113, n. 11, p. 114105, 2013. - Fator de Impacto em 2012: 2,21

78 MESQUITA, A.; FRAYGOLA, B. M.; MASTELARO, V. R.; EIRAS, J. A. Fe K-edge X-ray absorption spectroscopy study of $\text{Pb}(\text{Fe}_{2/3}\text{W}_{1/3})\text{O}_3$ - PbTiO_3 multiferroic ceramics. **Journal of Applied Physics**, v. 113, n. 11, p. 114104, 2013. - Fator de Impacto em 2012: 2,21

79 FRAYGOLA, B. M.; MESQUITA, A.; COELHO, A. A.; GARCIA, D.; MASTELARO, V. R.; EIRAS, J. A. Fe valence fluctuations and magnetoelastic coupling in Pb-based multiferroics perovskites. **Physica Status Solidi A**, v. 210, n. 2, p. 386-390, 2013. - Fator de Impacto em 2012: 1,469

80 MOURÃO, H. A. J. L.; AVANSI JR., W.; OLIVEIRA, J. E.; FIRMIANO, E. S.; RIBEIRO, C. A study of the precursors and photoactivity of nanostructures of Ti oxides synthesized by the alkaline hydrothermal method. **Science of Advanced Materials**, v. 5, n. 1, p. 71-85, 2013. - Fator de Impacto em 2012: 2,509

- 81 HUANCAHUIRE-VEGA, S.; CORRÊA, D. H. DO A.; HOLLANDA, L. M.; LANCELOTTI, M.; RAMOS, C. H. I.; PONCE-SOTO, L. A.; MARANGONI, S. Chemical modi cations of PhTX-I myoto in from porthidium hyoprora snake venom: effects on structural, enzymatic, and pharmacological properties. **BioMed Research International**, v. 2013, p. 103494, 2013. - Fator de Impacto em 2012: 0
- 82 DIAS, C. A. O.; GARCIA, W.; ZANELLI, C. F.; VALENTINI, S. R. eIF5A dimerizes not only in vitro but also in vivo and its molecular envelope is similar to the EF-P monomer. **Amino Acids**, v. 44, n.2, p. 631-644, 2013. - Fator de Impacto em 2012: 3,914
- 83 FLORIDIA ADDATO, M. A.; RUBERT, A. A.; BENITEZ, G.; ZELAYA, E.; CABELLO, G.; CUESTA, A.; THOMAS, J. E.; VISINTÍN, A.; SALVAREZZA, R. C.; FONTICELLI, M. H. Electrochemical desorption of thiolates and sulfur from nanoparticle and planar platinum surfaces. **Journal of Physical Chemistry C**, v. 117, n. 15, p. 7589-7597, 2013. - Fator de Impacto em 2012: 4,814
- 84 DE MORAES, J. R.; DA SILVA, F. R.; GOMES, L.; MAZZOCCHI, V. L.; PARENTE, C. B. R.; BALDOCHI, S.L. Growth and spectroscopic characterizations: properties of Nd:LiLa(MoO₄)₂ single crystal fibers. **CrystEngComm**, v. 15, n. 12, p. 2260-2268, 2013. - Fator de Impacto em 2012: 3,879
- 85 DE PAULI, M.; MAGALHÃES-PANIAGO, R.; MALACHIAS, A. Phase-dependent premelting of self-assembled phosphonic acid multilayers. **Physical Review E**, v. 87, n. 5, p. 052402, 2013. - Fator de Impacto em 2012: 2,313
- 86 MARANGONI, F. A.; PONCE-SOTO, L. A.; MARANGONI, S.; LANDUCCI, E. C. T. Unmasking snake venom of *Bothrops leucurus*: purification and pharmacological and structural characterization of new PLA(2) bleu TX-III. **BioMed Research International**, v. 2013, p. 941467, 2013. - Fator de Impacto em 2012: 0
- 87 ERMAKOV, V. A.; ALAFERDOV, A. V.; VAZ, A. R.; BARANOV, A. V.; MOSHKALEV, S. A. Nonlocal laser annealing to improve thermal contacts between multi-layer graphene and metals. **Nanotechnology**, v. 24, n.15, p. 155301, 2013. - Fator de Impacto em 2012: 3,842
- 88 MACHADO, K. D.; SIQUEIRA, M. C.; JASTROMBEK, D.; DUARTE, C. A.; DE SOUZA, S. M.; COTTA, E. A.; STOLF, S. F. Vibrational and structural properties of an amorphous InSe₉ alloy produced by mechanical alloying. **European Physical Journal B**, v. 86, n. 3, p. 90, 2013. - Fator de Impacto em 2012: 1,282
- 89 DE OLIVEIRA, L. A. S.; PIROTA, K. R. Synthesis, structural and magnetic characterization of highly ordered single crystalline BiFeO₃ nanotubes. **Materials Research Bulletin**, v. 48, n. 4, p. 1593-1597, 2013. - Fator de Impacto em 2012: 1,913
- 90 SANTOS, C. A.; SARAIVA, A. M.; TOLEDO, M. A. S.; BELOTI, L. L.; CRUCELLO, A.; FAVARO, M. T. P.; HORTA, M. A. C.; SANTIAGO, A. DA S.; MENDES, J. S.; SOUZA, A. A.; SOUZA, A. P. Initial biochemical and functional characterization of a 5'-nucleotidase from *Xylella fastidiosa* related to the human cytosolic 5'-nucleotidase I. **Microbial Pathogenesis**, v. 59-60, p. 1-6, 2013. - Fator de Impacto em 2012: 1,974
- 91 PASSOS, H.; TRINDADE, M. P.; VAZ, T. S. M.; COSTA, L. P.; FREIRE, M. G.; COUTINHO, J. A. P. The impact of self-aggregation on the extraction of biomolecules in ionic-liquid-based aqueous two-phase systems. **Separation and Purification Technology**, v. 108, p. 174-180, 2013. - Fator de Impacto em 2012: 2,894
- 92 PENTON-MADRIGAL, A.; OLIVEIRA, L. A. S.; SINNECKER, J. P.; SOUZA, D. M.; GROSSINGER, R.; CONCEPCIÓN- ROSABAL, B.; ESTEVEZ-RAMS, E.; DIAZ-CASTAÑON, S. Coercivity behavior in Gd(Co_{1-x}Cu_x)(S) system as function of the microstructure evolution. **Physica B - Condensed Matter**, v. 414, p. 67-71, 2013. - Fator de Impacto em 2012: 1,327

- 93 SILVA, G. C.; ALMEIDA, F. S.; DANTAS, M. S. S.; FERREIRA, A. M.; CIMINELLI, V. S. T. Raman and IR spectroscopic investigation of As adsorbed on Mn₃O₄ magnetic composites. **Spectrochimica Acta A**, v. 100, p. 161-165, 2013. - Fator de Impacto em 2012: 1,997
- 94 CASTEGNARO, M. V.; KILIAN, A. S.; BAIBICH, I. M.; ALVES, M. C. M.; MORAIS, J. DE. On the reactivity of carbon supported Pd nanoparticles during NO reduction: unraveling a metal-support redox interaction. **Langmuir**, v. 29, n. 23, p. 7125-7133, 2013. - Fator de Impacto em 2012: 4,187
- 95 LIMA, M. A.; LAVORENTE, G. B.; SILVA, H. K. P.; BRAGATTO, J.; REZENDE, C. A.; BERNARDINELLI, O. D.; AZEVEDO, E. R.; GOMEZ, L. D.; MCQUEEN-MASON, S. J.; LABATE, C. A.; POLIKARPOV, I. Effects of pretreatment on morphology, chemical composition and enzymatic digestibility of eucalyptus bark: a potentially valuable source of fermentable sugars for biofuel production - part 1. **Biotechnology for Biofuels**, v. 6, n. 1, p. 75-91, 2013. - Fator de Impacto em 2012: 5,552
- 96 SGARDIOLI, I. C.; SIMIONI, M.; VIGUETI-CAMPOS, N. L.; PROTA, J. R.; LOPES, V. L. G. A new case of partial 14q31.3-qter trisomy due to maternal pericentric inversion. **Gene**, v. 523, n. 2, p. 192-194, 2013. - Fator de Impacto em 2012: 2,196
- 97 CARVALHO, F. A. O.; CARVALHO, J. W. P.; SANTIAGO, P. S.; TABAK, M. Urea-induced unfolding of *Glossoscolex paulistus* hemoglobin, in oxy- and cyanomet-forms: a dissociation model. **International Journal of Biological Macromolecules**, v. 52, p. 340-348, 2013. - Fator de Impacto em 2012: 2,596
- 98 OLIVEIRA, E. M.; COSTA, R. F.; SANCHEZ, S. D.; NATALENSE, A. P. P.; BETTEGA, M. H. F.; LIMA, M. A. P.; VARELLA, M. T. N. Low-energy electron scattering by cellulose and hemicellulose components. **Physical Chemistry Chemical Physics (PCCP)**, v. 15, n. 5, p. 1682- 1689, 2013. - Fator de Impacto em 2012: 3,829
- 99 CARVALHO, J. W. P.; CARVALHO, F. A. O.; SANTIAGO, P. S.; TABAK, M. Thermal denaturation and aggregation of hemoglobin of *Glossoscolex paulistus* in acid and neutral media. **International Journal of Biological Macromolecules**, v. 54, p. 109-118, 2013. - Fator de Impacto em 2012: 2,596
- 100 LIBERATO, M. S.; KOGIKOSKI JR., S.; SILVA, E. R.; COUTINHO NETO, M. D.; SCOTT, L. P. B.; SILVA, R. H.; OLIVEIRA JR., V. X.; ANDO, R. A.; ALVES, W. A. Self-assembly of Arg-Phe nanostructures via the solid-vapor phase method. **Journal of Physical Chemistry B**, v. 117, n. 4, p. 733- 740, 2013. - Fator de Impacto em 2012: 3,607
- 101 RAJAJEYAGANTHAN, R.; WEIBEL, D. E. NEXAFS and FTIR-ATR investigation of the static and dynamic superhydrophobicity of functionalized titanium dioxide nanoparticle coatings. **Metallomics**, v. 24, n. 6, p. 1041-1048, 2013. - Fator de Impacto em 2012: 4,099
- 102 COELHO, P. M.; RIBEIRO, G. A. S.; MALACHIAS, A.; PIMENTEL, V. L.; SILVA, W. S.; REIS, D. D.; MAZZONI, M. S. C.; MAGALHÃES-PANIAGO, R. Temperature-induced coexistence of a conducting bilayer and the bulk-terminated surface of the topological insulator Bi₂Te₃. **Nano Letters**, v. 13, n.9, p. 4517-4521, 2013. - Fator de Impacto em 2012: 13,025
- 103 COSTA, L. P.; QUITES, F. J.; SIGOLI, F. A.; MAZALI, I. O.; PASTORE, H. O. Ag/lamellar hosts composites: a route to morphology-controllable synthesis of Ag nanoparticles. **Journal of Nanoparticle Research**, v. 15, p. 1810, 2013. - Fator de Impacto em 2012: 2,175
- 104 DE MORAIS-ZANI, K.; NUNES, F. P. B.; DA SILVA, J. B.; FERREIRA, M. J.; GREGO, K. F.; LOPES-FERREIRA, M.; TANAKA, A. S.; TANAKA-AZEVEDO, A. M. The anti-inflammatory action of *Bothrops*

jararaca snake antithrombin on acute inflammation induced by carrageenan in mice. **Inflammation Research**, v. 62, p. 733-742, 2013. - Fator de Impacto em 2012: 1,964

105 Strachan, J. P.; Yang, J. J. Montoro, L. A.; Ospina Ramirez, C. A.; Ramirez, A. J.; Kilcoyne, A. L. D.; Medeiros-Ribeiro, G.; Williams, R. S. Characterization of electroforming-free titanium dioxide memristors. **Beilstein Journal of Nanotechnology**, v. 4, p. 467-473, 2013. - Fator de Impacto em 2012: 2,374

106 NASCIMENTO, V. P.; MERINO, I. L. C.; CAETANO, E. P.; ALAYO, W.; TAFUR, M.; PELEGRENI, F.; MAGALHÃES-PANIAGO, R.; ALVARENGA, A. D.; SAITO-VITCH, E. B. Clarifying roughness and atomic diffusion contributions to the interface broadening in exchange-biased NiFe/FeMn/NiFe heterostructures. **Thin Solid Films**, v. 542, p. 360-367, 2013. - Fator de Impacto em 2012: 1,604

107 DA SILVA, V. C. H.; CAGLIARI, T. C.; LIMA, T. B.; GOZZO, F. C.; RAMOS, C. H. I. Conformational and functional studies of a cytosolic 90 kDa heat shock protein Hsp90 from sugarcane. **Plant Physiology and Biochemistry**, v. 68, p. 16-22, 2013. - Fator de Impacto em 2012: 2,775

108 BRUNO-MORENO, F.; DE OLIVEIRA, R. S. B.; MOREIRA, R. DE A.; LOBO, M. D. P.; DE FREITAS, C. D. T.; RAMOS, M. V.; GRANGEIRO, T. B.; MONTEIRO-MOREIRA, A. C. Crystallization and X-ray diffraction analysis of an antifungal laticifer protein. **Acta Crystallographica F**, v. 69, pt. 6, p. 646-649, 2013. - Fator de Impacto em 2012: 0,552

109 CANELLAS, C. G. L.; CARVALHO, S. M. F.; LEITÃO, R. G.; ANJOS, M. J. DOS; LOPES, R. T. Determination of low Z in human serum of patients with idiopathic Thrombocytopenic purpura by total reflection X-ray fluorescence. **X-Ray Spectrometry**, v. 42, n. 4, p. 312-315, 2013. - Fator de Impacto em 2012: 1,546

110 Mesquita, A.; Michalowicz, A.; Mastelaro, V. R. Dielectric and structural characterization of $Pb_{(1-x)}A_{(x)}Zr_{(0.40)}Ti_{(0.60)}O_{(3)}$ ($A = Sr, Ca$) ferroelectric ceramics. **Science of Advanced Materials**, v. 5, n. 9, p. 1264-1270, 2013. - Fator de Impacto em 2012: 2,509

111 GONZÁLEZ, A. R.; ASENCIOS, Y. J. O.; ASSAF, E. M.; ASSAF, J. M. Dry reforming of methane on Ni-Mg-Al nano-spheroid oxide catalysts prepared by the sol-gel method from hydrotalcite-like precursors. **Applied Surface Science**, v. 280, p. 876-887, 2013 - Fator de Impacto em 2012: 2,112

112 PIRES, F. I.; CORRADINI, P. G.; PAGANIN, V. A.; ANTOLINI, E.; PEREZ, J. Effect of the degree of alloying of PtRu/C (1:1) catalysts on ethanol oxidation. **Ionics**, v. 19, p. 1037-1045, 2013. - Fator de Impacto em 2012: 1,674

113 CREMASCO, A.; LOPES, E. S. N.; CARDOSO, F. F.; CONTIERI, R.J.; FERREIRA, I.; CARAM, R. Effects of the microstructural characteristics of a metastable β Ti alloy on its corrosion fatigue properties. **International Journal of Fatigue**, v. 54, p. 32-37, 2013. - Fator de Impacto em 2012: 1,976

114 CIAPINA, E. G.; SANTOS, S. F.; GONZALEZ, E. R. The electro-oxidation of carbon monoxide and ethanol on supported Pt nanoparticles: the influence of the support and catalyst microstructure. **Journal of Solid State Electrochemistry**, v. 17, p. 1831-1842, 2013. - Fator de Impacto em 2012: 2,279

115 NAPOLITANO, F.; SOLDATI, A. L.; GECK, J.; LAMAS, D. G.; SERQUIS, A. Electronic and structural properties of $La_{0.4}Sr_{0.6}Ti_{1-y}CoO_{3\pm\Delta}$ electrode materials for symmetric SOFC studied by hard X-ray absorption spectroscopy. **International Journal of Hydrogen Energy**, v. 38, n. 21, p. 8965-8973, 2013. - Fator de Impacto em 2012: 3,548

- 116 MUSTAFA, D.; BIGGEMANN, D.; MARTENS, J. A.; KIRSCHHOCK, C. E. A.; TESSLER, L. R.; BREYNAERT, E. Erbium enhanced formation and growth of photoluminescent Er/Si nanocrystals. **Thin Solid Films**, v. 536, p. 196-201, 2013. - Fator de Impacto em 2012: 1,604
- 117 PONCE, A. S.; CHAGAS, E. F.; PRADO, R. J.; FERNANDES, C. H. M.; TEREZO, A. J.; BAGGIO-SAITOVICH, E. High coercivity induced by mechanical milling in cobalt ferrite powders. **Journal of Magnetism and Magnetic Materials**, v. 344, p. 182-187, 2013. - Fator de Impacto em 2012: 1,826
- 118 NIKKUNI, F. R.; TICIANELLI, E. A.; DUBAU, L.; CHATENET, M. Identical-location transmission electron microscopy study of Pt/C and Pt-Co/C nanostructured electrocatalyst aging: effects of morphological and compositional changes on the oxygen reduction reaction activity. **Electrocatalysis**, v. 4, n. 2, p. 104-116, 2013. - Fator de Impacto em 2012: 1,455
- 119 BORTOLETO-BUGS, R. K.; MAZON, T.; BIASOLI, M. T.; PAVANI FILHO, A.; SWART, J. W.; BUGS, M. R. Understanding the formation of the self-assembly of colloidal copper nanoparticles by surfactant: a molecular velcro. **Journal of Nanomaterials**, v. 2013, p. 802174, 2013. - Fator de Impacto em 2012: 1,547
- 120 MARQUES, F. C.; BARBIERI, P. F.; VIANA, G. A.; DA SILVA, D. A. Implantation of xenon in amorphous carbon and silicon for brachytherapy application. **Applied Surface Science**, v. 275, p. 156-159, 2013. - Fator de Impacto em 2012: 2,112
- 121 DELATORRE, P.; SILVA-FILHO, J. C.; ROCHA, B. A. M.; SANTI-GADELHA, T.; DA NÓBREGA, R. B.; GADELHA, C. A. DE A.; DO NASCIMENTO, K. S.; NAGANO, C. S.; SAMPAIO, A. H.; CAVADA, B. S. Interactions between indole-3-acetic acid (IAA) with a lectin from Canavalia maritima seeds reveal a new function for lectins in plant physiology. **Biochimie**, v. 95, n. 9, p.1697-1703, 2013. - Fator de Impacto em 2012: 3,142
- 122 LEMUS-SANTANA, A. A.; RODRÍGUEZ-HERNÁNDEZ, J.; AGUIRRE-VELEZ, C. I.; KNOBEL, M.; REGUERA, E. Intermolecular interactions between imidazole derivatives intercalated in layered solids. Substituent group effect. **Journal of Solid State Chemistry**, v. 204, p. 128-135, 2013. - Fator de Impacto em 2012: 2,04 (4826)
- 123 GARCIA, A.; TICIANELLI, E. A. Investigation of the oxygen reduction reaction on Pt-WC/C electrocatalysts in alkaline media. **Electrochimica Acta**, v. 106, p. 453-459, 2013. - Fator de Impacto em 2012: 3,777
- 124 ASSUMPÇÃO, T. A. A. DE; KASSAB, L. R. P.; CAMILO, M. E.; MYRONCHUK, G. L. Laser stimulated light reflection for $\text{TeO}_2\text{-WO}_3\text{-Bi}_2\text{O}_3$ thin films with incorporated Si nanoparticles. **Journal of Non-Crystalline Solids**, v. 376, p. 90-93, 2013. - Fator de Impacto em 2012: 1,597
- 125 ABBATE, M.; LALA, S. M.; MATSUBARA, E. Y.; ROSOLEN, J. M. Oxidation of Fe ions and doping states in chemically intercalated $\text{LiCr}_{0.03}\text{Fe}_{0.97}\text{PO}_4$. **ECS Electrochemistry Letters**, v. 2, n. 1, p. A14- A16, 2013. - Fator de Impacto em 2012: 0
- 126 POMIRO, F.; CEPPI, S. A.; DE PAOLI, J. M.; SÁNCHEZ, R. D.; MESQUITA, A.; TIRAO, G.; PANNUNZIO MINER, E. V. Magnetocrystalline interactions and oxidation state determination of $\text{Mn}_{(2-x)}\text{V}_{(1+x)}\text{O}_{4(x=0, 1/3 \text{ and } 1)}$ magnetoresistive spinel family. **Journal of Solid State Chemistry**, v. 205, p. 57-63, 2013. - Fator de Impacto em 2012: 2,04
- 127 DA SILVA, L. F.; AVANSI JR., W.; ANDRÉS, J.; RIBEIRO, C.; MOREIRA, M. L.; MASTELARO, V. R.; LONGO, E. Long-range and short-range structures of cube-like shape SrTiO_3 powders: microwave-assisted

hydrothermal synthesis and photocatalytic activity. **Physical Chemistry Chemical Physics (PCCP)**, v. 15, n. 29, p. 12386-12393, 2013. - Fator de Impacto em 2012: 3,829

128 COLAUTO, F.; VESTGARDEN, J. I.; DE ANDRADE, A. M. H.; OLIVEIRA, A. A. M.; ORTIZ, W. A.; JOHANSEN, T. H. Limiting thermomagnetic avalanches in superconducting films by stop-holes. **Applied Physics Letters**, v. 103, n. 3, p. 032604, 2013. - Fator de Impacto em 2012: 3,794

129 CORRADINI, P. G.; ANTOLINI, E.; PEREZ, J. Structural and electrochemical characterization of carbon supported Pt-Pr catalysts for direct ethanol fuel cells prepared using a modified formic acid method in a CO atmosphere. **Physical Chemistry Chemical Physics (PCCP)**, v. 15, n. 28, p. 11730-11739, 2013. - Fator de Impacto em 2012: 3,829

130 RESENDE, R. F. B.; FERNANDES, G. V. O.; SANTOS, S. R. A.; ROSSI, A. M.; LIMA, I. C. B.; GRANJEIRO, J. M.; CALASANS-MAIA, M. D. Long-term biocompatibility evaluation of 0.5 % zinc containing hydroxyapatite in rabbits. **Journal of Materials Science: Materials in Medicine**, v. 24, n. 6, p. 1455-1463, 2013. - Fator de Impacto em 2012: 2,141

131 OLIVEIRA, F. J. V. E.; MELO JR., M. A.; AIROLDI, C. Inorganic-organic hybrids presenting high basic center content: SBA-15 incorporation, toxic metals sorption and energetic behavior. **Materials Research Bulletin**, v. 48, n. 3, p. 1045-1056, 2013. - Fator de Impacto em 2012: 1,913

132 COMETTO, F. P.; RUANO, G.; ASCOLANI, H.; ZAMPIERI, G. Adlayers of alkanedithiols on Au(111): effect of disulfide reducing agent. **Langmuir**, v. 29, n. 5, p. 1400-1406, 2013. - Fator de Impacto em 2012: 4,187

133 TAFUR, M.; SOUSA, M. A.; NASCIMENTO, V. P.; PELEGRI, F.; BAGGIO-SAITOVICH, E. Ferromagnetic resonance study of dual exchange bias field behavior in NiFe/IrMn/Co trilayers. **Applied Physics Letters**, v. 102, n. 6, p. 062402-062405, 2013. - Fator de Impacto em 2012: 3,794

134 ALVES, J. P. C.; FREITAS, J. N.; ATVARS, T. D. Z.; NOGUEIRA, A. F. Photophysical and photovoltaic properties of a polymer-fullerene system containing CdSe nanoparticles. **Synthetic Metals**, v. 164, p. 69-77, 2013. - Fator de Impacto em 2012: 2,109

135 TORRES-HUACO, F. D.; WERNECK, C. C.; VICENTE, C. P.; VASSEQUI-SILVA, T.; NERY-DIEZ, A. C. C.; MENDES, C. B.; ANTUNES, E.; MARANGONI, S.; DAMICO, D. C. S. Rapid purification and procoagulant and platelet aggregating activities of rhombeobin: a thrombin-like/gyroxin-like enzyme from *Lachesis muta rhombeata* snake venom. **BioMed Research International**, v. 2013, p. 903292, 2013. - Fator de Impacto em 2012: 0

136 COSTA, S. V.; GONÇALVES, A. S.; ZAGHETE, M. A.; MAZON, T.; NOGUEIRA, A. F. ZnO nanostructures directly grown on paper and bacterial cellulose substrates without any surface modification layer. **Chemical Communications**, v. 49, n. 73, p. 8096-8098, 2013. - Fator de Impacto em 2012: 6,348

137 RAMOS, L. M.; GUIDO, B. C.; NOBREGA, C. C.; CORREA JR., J. R.; SILVA, R. G.; OLIVEIRA, H. C. B.; GOMES, A. F.; GOZZO, F. C.; NETO, B. A. D. The Biginelli reaction with an imidazolium-tagged recyclable iron catalyst: kinetics, mechanism, and antitumoral activity. **Chemistry - A European Journal**, v. 19, n. 13, p. 4156-4168, 2013. - Fator de Impacto em 2012: 5,831

138 SOUZA, T. E.; MESQUITA, A.; ZEVALLOS, A. O.; BÉRON, F.; PIROTA, K. R.; NEVES, P. P.; DORIGUETTO, A. C.; CARVALHO, H.B. Structural and magnetic properties of dilute magnetic oxide based on nanostructured Co-doped anatase TiO₂ (Ti_{1-x}Co_xO_{2-Δ}). **Journal of Physical Chemistry C**, v. 117, n. 25, p. 13252-13260, 2013. - Fator de Impacto em 2012: 4,814

- 139 CARASTAN, D. J.; AMURIN, L. G.; CRAIEVICH, A. F.; GONÇALVES, M. C.; DEMARQUETTE, N. R. Morphological evolution of oriented clay-containing block copolymer nanocomposites under elongational flow. **European Polymer Journal**, v. 49, n. 6, p.1391-1405, 2013. - Fator de Impacto em 2012: 2,562
- 140 SOUZA, M. I.; JAQUES, Y. M.; ANDRADE, G. P.; RIBEIRO, A. O.; FILETI, E. E.; SILVA, E. R.; AVILLA, E. S.; PINHEIRO, M. V. B.; KRAMBROCK, K.; ALVES, W. A. Structural and photophysical properties of peptide micro/nanotubes functionalized with hypericin. **Journal of Physical Chemistry B**, v. 117, n. 9, p. 2605-2614, 2013. - Fator de Impacto em 2012: 3,607
- 141 AZEVEDO, A. F.; BALDAN, M. R.; FERREIRA, N. G. Doping level influence on chemical surface of diamond electrodes. **Journal of Physics and Chemistry of Solids**, v. 74, n. 4, p. 599-604, 2013 - Fator de Impacto em 2012: 1,527
- 142 CAPPELETTI, L. B.; MONCADA, E.; POISSON, J.; BUTLER, I. S.; SANTOS, J. H. Z. DOS. Determination of the network structure of sensor materials prepared by three different sol-gel routes using Fourier transform infrared spectroscopy (FT-IR). **Applied Spectroscopy**, v. 67, n. 4, p. 441- 447, 2013. - Fator de Impacto em 2012: 1,942
- 143 SOARES, S. F. DA C. X.; VIEIRA, A. A.; DELFINO, R. T.; FIGUEROA-VILLAR, J. D. NMR determination of *Electrophorus electricus* acetylcholinesterase inhibition and reactivation by neutral oximes. **Bioorganic & Medicinal Chemistry**, v. 21, p. 5923-5930, 2013. - Fator de Impacto em 2012: 2,903
- 144 SANTA RITA, J. R.; BORGES, B. G. A. L.; BECK, B.; GARCÍA-BASABE, Y.; ROMAN, L. S.; ROCCO, M. L. M. Electron and photon stimulated ion desorption from poly(thiophene). **Journal of the Brazilian Chemical Society**, v. 24, n. 4, p. 615-620, 2013. - Fator de Impacto em 2012: 1,283
- 145 AURELIO, G.; BARDELLI, F.; PRADO, R. J.; SÁNCHEZ, R. D.; SALETA, M. E.; GARBARINO, G. On the location of host Ca atoms responsible for ferrimagnetism in the layered cobaltites $\text{YBaCo}_2\text{O}_{5.5}$. **Chemistry of Materials**, v. 25, p. 3307-3314, 2013. - Fator de Impacto em 2012: 8,238
- 146 MOSCOSO-LONDOÑO, O.; CARRIÓN, M. S.; COSIO-CASTAÑEDA, C.; BILOVOL, V.; MARTÍNEZ SÁNCHEZ, R.; LEDE, E. J.; SOCOLOVSKY, L. M.; MARTÍNEZ-GARCÍA, R. One-step room temperature synthesis of very small gamma- Fe_2O_3 nanoparticles. **Materials Research Bulletin**, v. 48, n. 9, p. 3474-3478, 2013. - Fator de Impacto em 2012: 1,913
- 147 VEIGA, A. G.; GARCÍA-BASABE, Y.; SCHMITTGENS, R.; ROCCO, M. L. M. Organic-inorganic behavior of plasma-polymerized hexamethyldisiloxane films studied by electron and photon induced ion desorption. **Plasma Processes and Polymers**, v. 10, p. 634-640, 2013. - Fator de Impacto em 2012: 3,73
- 148 VIALI, W. R.; NUNES, E. DA S.; DOS SANTOS, C. C.; DA SILVA, S. W.; ARAGÓN, F. H.; COAQUIRA, J. A. H.; MORAIS, P. C.; JAFELICCI JR., M. PEGylation of SPIONs by polycondensation reactions: a new strategy to improve colloidal stability in biological media. **Journal of Nanoparticle Research**, v. 15, n. 8, p. 1824, 2013 - Fator de Impacto em 2012: 2,175
- 149 CARVALHO, F. A. O.; CARVALHO, J. W. P.; ALVES, F. R.; TABAK, M. pH effect upon HbGp oligomeric stability: characterization of the dissociated species by AUC and DLS studies. **International Journal of Biological Macromolecules**, v. 59, p. 333-341, 2013. - Fator de Impacto em 2012: 2,596
- 150 ELIAS, K. F. M.; LUCRÉDIO, A. F.; ASSAF, E. M. Effect of CaO addition on acid properties of Ni-Ca/ Al_2O_3 catalysts applied to ethanol steam reforming. **International Journal of Hydrogen Energy**, v. 38, n. 11, p. 4407-4417, 2013. - Fator de Impacto em 2012: 3,548

- 151 ARANTES, C.; BORGES, B. G. A. L.; BECK, B.; ARAÚJO, G.; ROMAN, L. S.; ROCCO, M. L. M. Femtosecond electron de localization in Poly(thiophene) probed by resonant Auger spectroscopy. **Journal of Physical Chemistry C**, v. 117, n. 16, p. 8208-8213, 2013. - Fator de Impacto em 2012: 4,814
- 152 MARQUES, F. C.; VIANA, G. A.; MOTTA, E. F.; SILVA, D. S.; WISNIVESKY, D.; CORTES, A. D. S.; AGUIAR, M. R. Argon implantation in tetrahedral amorphous carbon deposited by filtered cathodic vacuum arc. **Journal of Materials Engineering and Performance**, v. 22, n. 5, p. 1396-1404, 2013. - Fator de Impacto em 2012: 0,915
- 153 DOS REIS, C. V.; BERNARDES, A.; POLIKARPOV, I. Expression, purification, crystallization and preliminary X-ray diffraction analysis of bifidobacterium adolescentis xylose isomerase. **Acta Crystallographica F**, v. 69, n. 588-591, 2013. - Fator de Impacto em 2012: 0,552
- 154 MOREIRA, M. L.; ANDRÉS, J.; GRACIA, L.; BELTRÁN, A.; MONTORO, L. A.; VARELA, J. A.; LONGO, E. Quantum mechanical modeling of excited electronic states and their relationship to cathodoluminescence of BaZrO₃. **Journal of Applied Physics**, v. 114, p. 043714, 2013. - Fator de Impacto em 2012: 2,21
- 155 SILVA, M. P.; SILVA, D. M.; CONCEIÇÃO, A. L. C.; RIBEIRO-SILVA, A.; POLETTI, M. E. Role of Ca, Fe, Cu and Zn in breast cancer: study by X-ray fluorescence techniques and immunohistochemical analysis. **X-Ray Spectrometry**, v. 42, p. 303-311, 2013. - Fator de Impacto em 2012: 1,546
- 156 ROSSI, L. M.; VONO, L. L. R.; GARCIA, M. A. S.; FARIA, T. L. T.; LOPEZ-SANCHEZ, J. A. Screening of soluble Rhodium nanoparticles as precursor for highly active hydrogenation catalysts: the effect of the stabilizing agents. **Topics in Catalysis**, v. 56, n. 13-14, p. 1228-1238, 2013. - Fator de Impacto em 2012: 2,608
- 157 FREITAS, J. N.; MAUBANE, M.; BEPETE, G.; VAN OTTERLO, W. A. L.; COVILLE, N. J.; NOGUEIRA, A. F. Synthesis and characterization of single wall carbon nanotube-grafted poly(3-hexylthiophene) and their nanocomposites with gold nanoparticles. **Synthetic Metals**, v. 176, p. 55-64, 2013. - Fator de Impacto em 2012: 2,109
- 158 CUNHA, T. R.; COSTA, I. M.; LIMA, R. J. S.; DUQUE, J. G. S.; MENESSES, C. T. Synthesis and magnetic properties of Mn-doped and SnO₂ nanoparticles. **Journal of Superconductivity and Novel Magnetism**, v. 26, n. 6, p. 2299-2302, 2013. - Fator de Impacto em 2012: 0,702 (4885)
- 159 MAZIERO, P.; JONG, J.; MENDES, F. M.; GONÇALVES, A. R.; EDER, M.; DRIEMEIER, C. E. Tissue-specific cell wall hydration in sugarcane stalks. **Journal of Agricultural and Food Chemistry**, v. 61, p. 5841-5847, 2013. - Fator de Impacto em 2012: 2,906
- 160 NOCE, R. E.; BENEDETTI, A. V.; CAETANO, E. P.; KUMAR, H.; CORNEJO, D. R.; MAGNANI, M. Use of conventional electrochemical techniques to produce crystalline FeRh alloys induced by Ag seed layer. **Journal of Alloys and Compounds**, v. 573, n. , p. 37-42, 2013. - Fator de Impacto em 2012: 2,39
- 161 NASCIMENTO, G. M. DO. X-ray absorption spectroscopy of nanostructured polyanilines. **Chemical Papers**, v. 67, n. 8, p. 933-945, 2013. - Fator de Impacto em 2012: 0,879
- 162 MENDOZA, E.; ALMEIDA, G. C.; ANDRADE, D. P. P.; LUNA, H.; WOLFF, W.; ROCCO, M. L. M.; BOECHAT-ROBERTY, H. M. X-ray photodesorption and proton destruction in protoplanetary discs: pyrimidine. **Monthly Notices of the Royal Astronomical Society**, v. 433, p. 3440-3452, 2013. - Fator de Impacto em 2012: 5,521

163 LIONZO, M. I. Z.; MUNIZ, E. C.; SILVEIRA, N. P. DA. The influence of chondroitin sulfate on composite multilamellar liposomes containing chitosan. **Colloid Polymer Science**, v. 291, n. 5, p.1057-1064, 2013. - Fator de Impacto em 2012: 2,161

164 Ferreira, A. P. S.; Cassago, A.; Gonçalves, K. de A.; Dias, M. M.; Adamoski, D.; Ascenção, C. F. R.; Honorato, R. V.; Oliveira, J. F.; Ferreira, I. M.; Fornezari, C.; Fettini, J.; Oliveira, P. S. L.; Paes Leme, A. F.; Portugal, R. V.; Ambrosio, A. L. B.; Dias, S. M. G. Active glutaminase C self-assembles into a supratetrameric oligomer that can be disrupted by an allosteric inhibitor. **Journal of Biological Chemistry**, v. 288, n. 39, p. 28009-28020, 2013 - Fator de Impacto em 2012: 4,651

165 REIS, D. D.; BARRETO, L.; BIANCHI, M.; RIBEIRO, G. A. S.; SOARES, E. A.; SILVA, W. S.; CARVALHO, V. E. DE; RAWLE, J.; HOESCH, M.; NICKLIN, C.; FERNANDES, W. P.; MI, J.; IVERSEN, B. B.; HOFMANN, P. Surface structure of Bi₂Se₃(111) determined by low-energy electron diffraction and surface X-ray diffraction. **Physical Review B**, v. 88, n. 4, p. 041404, 2013. - Fator de Impacto em 2012: 2,313

166 RAFTI, M.; BRUNSEN, A.; AZZARONI, O.; FUERTES, M. C.; SOLER-ILLIA, G. J. A. A. Heterogeneous catalytic activity of platinum nanoparticles hosted in mesoporous silica thin films modified with polyelectrolyte brushes. **ACS Applied Materials & Interfaces**, v.5, n. 18, p. 8833-8840, 2013. - Fator de Impacto em 2012: 5,008

167 SÁNCHEZ, H. J.; LEANI, J. J.; PÉREZ, R. D.; PÉREZ, C. A. Depth profiling nano-analysis of chemical environments using resonant Raman spectroscopy at grazing incidence conditions. **Analytical Chemistry**, v. 85, n. p. 7069-7075, 2013. - Fator de Impacto em 2012: 5,695

168 ÁVILA-NETO, C. N.; ZANCHET, D.; HORI, C. E.; RIBEIRO, R. U.; BUENO, J. M. C. Interplay between particle size, composition, and structure of MgAl₂O₄-supported Co-Cu catalysts and their influence on carbon accumulation during steam reforming of ethanol. **Journal of Catalysis**, v. 307, p. 222-237, 2013. - Fator de Impacto em 2012: 5,787

169 SANTOS, E. B.; SIGOLI, F. A.; MAZALI, I. O. Metallic Cu nanoparticles dispersed into porous glass: a simple green chemistry approach to prepare SERS substrates. **Materials Letters**, v. 108, p. 172-175, 2013. - Fator de Impacto em 2012: 2,224

170 MORTAZAVI, M. H.; AHMADJO, S.; SANTOS, J. H. Z. DOS; ARABI, H.; NEKOOMANESH, M.; ZOHURI, G. H.; BRAMBILLA, R.; GALLAND, G. B. Characterization of MAO-modified silicas for ethylene polymerization. **Journal of Applied Polymer Science**, v. 130, n. 6, p. 4568- 4575, 2013. - Fator de Impacto em 2012: 1,395

171 BARBOSA, L. R. S.; MURAKAMI, M. T.; RODRIGUES, N. C.; GAVA, L. M.; HONORATO, R. V.; CANDURI, F.; OLIVA, G. BORGES, J. C. Structural studies of the *Trypanosoma cruzi* old yellow enzyme: insights into enzyme dynamics and specificity. **Biophysical Chemistry**, v. 184, p. 44- 53, 2013. - Fator de Impacto em 2012: 2,283

172 CLARO, P. C. DOS S.; COUSTET, M. E.; DÍAZ, C.; MAZA, E.; CORTIZO, M. S.; REQUEJO, F. G.; PIETRASANTA, L. I.; CEOLÍN, M. R.; AZZARONI, O. Self-assembly of PBzMA-b-PDMAEMA diblock copolymer films at the air-water interface and deposition on solid substrates via Langmuir-Blodgett transfer. **Soft Matter**, v. 9, p.10899-10912, 2013. - Fator de Impacto em 2012: 4,39

173 FERNÁNDEZ, G. A.; PICCO, A.; CEOLÍN, M. R.; CHOPA, A. B.; SILBESTRI, G. F. Synthesis and structural characterization of water-soluble gold(I) N-heterocyclic carbene complexes: an x-ray absorption fine structure spectroscopy (XAFS) study. **Organometallics**, v. 32, n. 21, p. 6315- 6323, 2013. - Fator de Impacto em 2012: 4,145

- 174 BETANCOURT, A. M.; ANTOGNINI, A. F.; ERBEN, M. F.; CAVASSO-FILHO, R. L.; TONG, S. R.; GE, M.; VÉDOVA, C. O. D.; ROMANO, R. M. Electronic properties of fluorosulfonyl isocyanate, FSO_2NCO : a photoelectron spectroscopy and synchrotron photoionization study. **Journal of Physical Chemistry A**, v. 117, n. 38, p. 9179-9188, 2013. - Fator de Impacto em 2012: 2,771
- 175 SILVA, F. M. C.; SANTOS, J. C.; CAMPOS, J. L. O.; MAFUD, A. C.; POLIKARPOV, I.; FIGUEIRA, A. C. M.; NASCIMENTO, A. S. Structure-based identification of novel PPAR γ ligands. **Bioorganic & Medicinal Chemistry**, v. 23, n. 21 p. 5795-5802, 2013 - Fator de Impacto em 2012: 2,903
- 176 CARVALHO, J. W. P.; ALVES, F. R.; BATISTA, T.; CARVALHO, F. A. O.; SANTIAGO, P. S.; TABAK, M. Sodium dodecyl sulfate (SDS) effect on the thermal stability of oxy-HbGp: dynamic light scattering (DLS) and small angle X-ray scattering (SAXS) studies. **Colloids and Surfaces B**, v. 111, p. 561-570, 2013. - Fator de Impacto em 2012: 3,554
- 177 SANTOS, E. B.; SIGOLI, F. A.; MAZALI, I. O. Surface-enhanced Raman scattering of 4-aminobenzenethiol on silver nanoparticles substrate. **Vibrational Spectroscopy**, v. 68, p. 246-250, 2013. - Fator de Impacto em 2012: 1,747
- 178 DO LAGO, C. L; GOBBI, A. L.; CARRILHO, E.; COLTRO, W. K. T. Characterization of microchip electrophoresis devices fabricated by direct-printing process with colored toner. **Electrophoresis**, v. 34, n. 5, p. 2169-2176, 2013. - Fator de Impacto em 2012: 3,261
- 179 QUERIDO, W.; ROSSI, A. L.; CAMPOS, A. P. C.; FARINA, M. Does crystallinity of extracted bone mineral increase over storage time? **Materials Research**, v. 16, n. 5, p. 970-974, 2013. - Fator de Impacto em 2012: 0
- 180 BUFAIÇAL, L.F. S.; BUENO, V. B.; SILVA, A. M.; BARBOSA, L. R. S.; CATALANI, L. H.; TEIXEIRA-NETO, E.; CORNEJO, D. R.; PETRI, D. F. S. Hybrid composites of xanthan and magnetic nanoparticles for cellular uptake. **Chemical Communications**, v. 49, p. 9911-9913, 2013. - Fator de Impacto em 2012: 6,348
- 181 SANTILLÁN, J. M. J.; VIDELA, F. A.; FERNÁNDEZ VAN RAAP, M. B.; MURACA, D.; SCAFFARDI, L. B.; SCHINCA, D. C. Influence of size-corrected bound-electron contribution on nanometric silver dielectric function. Sizing through optical extinction spectroscopy. **Journal of Physics D**, v. 46, p. 435301, 2013. - Fator de Impacto em 2012: 2,528
- 182 SILVA, T. G.; LANDERS, R.; ROSSI, L. M. Magnetically recoverable AuPd nanoparticles prepared by a coordination capture method as a reusable catalyst for green oxidation of benzyl alcohol. **Catalysis Science & Technology**, v. 3, n. 11, p. 2993-2999, 2013. - Fator de Impacto em 2012: 3,753
- 183 DE SOUSA, M. E.; FERNÁNDEZ VAN RAAP, M. B.; RIVAS, P. C.; ZÉLIS, P. M.; GIRARDIN, P.; PASQUEVICH, G. A.; ALESSANDRINI, J. L.; MURACA, D.; SÁNCHEZ, F. H. Stability and relaxation mechanisms of citric acid coated magnetite nanoparticles for magnetic hyperthermia. **Journal of Physical Chemistry C**, v. 117, p. 5436-5445, 2013. - Fator de Impacto em 2012: 4,814
- 184 ALBORGHETTI, M. R.; FURLAN, A. S.; SILVA, JA. C.; SFORÇA, M. L.; HONORATO, R. V.; GRANATO, D. C.; MIGUELETI, D. L. S.; NEVES, J. L.; OLIVEIRA, P. S. L.; PAES LEME, A. F.; ZERI, A. C. DE M.; TORRIANI, I.; KOBARG, J. Structural analysis of intermolecular interactions in the kinesin adaptor complex fasciculation and elongation protein zeta 1/short coiled-coil protein (FEZ1/SCOCO). **PloS One**, v. 8, n. 10, p. e76602, 2013. - Fator de Impacto em 2012: 3,73

- 185 BRIDI, E. C.; AMARAL, F. L. B.; FRANÇA, F. M. G.; TURSSI, C. P.; BASTING, R.T. Influence of dentin pretreatment with titanium tetrafluoride and self-etching adhesive systems on microtensile bond strength. **American Journal of Dentistry**, v. 26, n. 3, p. 121- 126, 2013. - Fator de Impacto em 2012: 1,057
- 186 ISAAC, S. Z.; BERGAMIN, A. C. P.; TURSSI, C. P.; AMARAL, F. L. B.; BASTING, R.T.; FRANÇA, F. M. G. Evaluation of bond strength of silorane and methacrylate based restorative systems to dentin using different cavity models. **Journal of Applied Oral Science**, v.21, n. 5, p. 452-459, 2013. - Fator de Impacto em 2012: 0,797
- 187 SILVA, R. R., DOMINGUEZ, C. T., SANTOS, M. V., BARBOSA- SILVA, R., CAVICCHIOLI, M., CHRISTOVAN, L. M., MELO, L. S. A., GOMES, A. S. L., ARAUJO, C. B., RIBEIRO, S. J. L. Silk fibroin biopolymer films as efficient hosts for DFB laser operation. **Journal of Materials Chemistry C**, v.1, n. 43, p. 7181-7190, 2013. - Fator de Impacto em 2012: 0
- 188 OLIVEIRA, A. M.; JÄGER, E.; JÄGER, A.; STEPANEK, P.; GIACOMELLI, F. C. Physicochemical aspects behind the size of biodegradable polymeric nanoparticles: a step forward. **Colloids and Surfaces A**, v. 436, p. 1092- 1102, 2013. - Fator de Impacto em 2012: 2,108
- 189 GARCÍA-BASABE, Y.; BORGES, B. G. A. L.; MACEDO, A. G.; MICARONI, L.; ROMAN, L. S.; ROCCO, M. L. M. The interplay of electronic structure, molecular orientation and charge transport in organic semiconductors: Poly(thiophene) and poly(bithiophene). **Organic Electronics**, v. 14, n. 11, p. 2980-2986, 2013. - Fator de Impacto em 2012: 3,836
- 190 MARTINI, S.; RINCÓN-CARDONA, J. A.; YE, Y.; CANDAL, R. J.; TAN, C. Y.; HERRERA, M. L. Crystallization behavior of high-oleic high-stearic sunflower oil stearins under dynamic and static conditions. **Journal of the American Oil Chemists Society**, v. 90, n. 12, p. 1773-1786, 2013. - Fator de Impacto em 2012: 1,592
- 191 WENDER, H.; GONÇALVES, R. V.; DIAS, C. S. B.; ZAPATA, M. J. M.; ZAGONEL, L. F.; MENDONÇA, E. C.; TEIXEIRA, S. R.; GARCIA, F. Photocatalytic hydrogen production of Co(OH)(2) nanoparticle-coated alpha-Fe₂O₃ nanorings. **Nanoscale**, v. 5, n. 19, p. 9310- 9316, 2013. - Fator de Impacto em 2012: 6,233
- 192 SIQUEIRA, K. P. F.; BORGES, R. M.; GRANADO, E.; MALARD, L. M.; PAULA, A. M. DE; MOREIRA, R. L.; BITTAR, E. M.; DIAS, A. Crystal structure of fluorite-related Ln(3)SbO(7) (Ln=La-Dy) ceramics studied by synchrotron X-ray diffraction and Raman scattering. **Journal of Solid State Chemistry**, v. 203, p. 326- 332, 2013. - Fator de Impacto em 2012: 2,04
- 193 HERKLOTZ, A.; KATAJA, M.; NENKOV, K.; BIEGALSKI, M. D.; CHRISTEN, H.-M.; DENEKE, C.; SCHULTZ, L.; DÖRR, K. Magnetism of the tensile-strain-induced tetragonal state of SrRuO₃ films. **Physical Review B**, v. 88, n. 14, p. 144412, 2013. - Fator de Impacto em 2012: 2,313
- 194 BELOTI, L. L.; COSTA, B. Z.; TOLEDO, M. A. S.; SANTOS, C. A.; CRUCELLO, A.; FAVARO, M. T. P.; SANTIAGO, A. S.; MENDES, J. S.; MARSAIOLI, A. J.; SOUZA, A. P. A novel and enantioselective epoxide hydrolase from *Aspergillus brasiliensis* CCT 1435: purification and characterization. **Protein Expression and Purification**, v. 91, n. 2, p. 175-183, 2013. - Fator de Impacto em 2012: 1,429
- 195 LÓPEZ, E. O.; MELLO, A.; SENDÃO, H.; COSTA, L. T.; ROSSI, A. L.; OSPINA, R. O.; BORGHI, F. F.; SILVA FILHO, J. G.; ROSSI, A. M. Growth of crystalline hydroxyapatite thin films at room temperature by tuning the energy of the RF-magnetron sputtering plasma. **ACS Applied Materials & Interfaces**, v. 5, n. 19, p. 9435-9445, 2013. - Fator de Impacto em 2012: 5,008

- 196 BALBINO, T. A.; AZZONI, A. R.; DE LA TORRE, L. G. Microfluidic devices for continuous production of pDNA/cationic liposome complexes for gene delivery and vaccine therapy. **Colloids and Surfaces B**, v. 111, p. 203-210, 2013. - Fator de Impacto em 2012: 3,554
- 197 MOLCK, M. C.; VIEIRA, T. P.; SGARDIOLI, I. C.; SIMIONI, M.; DOS SANTOS, A. P.; SOUZA, J.; GIL-DA-SILVA-LOPES, V. L. Atypical copy number abnormalities in 22q11.2 region: report of three cases. **European Journal of Medical Genetics**, v. 56, p. 515-520, 2013. - Fator de Impacto em 2012: 1,685
- 198 PINTO, E. R. P.; BARUD, H. S.; RIBEIRO, S. J. L.; MESSADDEQ, Y.; POLITO, W. L. Preparation and characterization of the bacterial cellulose/polyurethane nanocomposites. **Journal of Thermal Analysis and Calorimetry**, v. 114, n. 2, p. 549-555, 2013. - Fator de Impacto em 2012: 1,982
- 199 MOSCOFIAN, A. S. O.; PIRES, C. T. G. V. M. T.; AIROLDI, C. Removal of reactive dyes using organofunctionalized mesoporous silicas. **Journal of Porous Materials**, v. 20, p. 1179-1188, 2013. - Fator de Impacto em 2012: 1,348
- 200 MA, L. H. F.; SERPA, V. I.; ROSSETTO, F. R.; OLIVEIRA NETO, M.; MARTINEZ, L.; POLIKARPOV, I. Small-angle X-ray scattering and structural modeling of full-length: cellobiohydrolase I from *Trichoderma harzianum*. **Cellulose**, v. 20, p. 1573-1585, 2013. - Fator de Impacto em 2012: 3,476
- 201 PALMIERI, L. DE C.; MELO-FERREIRA, B.; BRAGA, C. A.; FONTES, G. N.; MATTOS, L. J.; LIMA, L. M. T. R. Stepwise oligomerization of murine amylin and assembly of amyloid fibrils. **Biophysical Chemistry**, v. 180-181, p. 135-144, 2013. - Fator de Impacto em 2012: 2,283
- 202 VALENTI, L. E.; MARTINS, V. L.; HERRERA, E.; TORRESI, R. M.; GIACOMELLI, C. Ni(II)-modified solid substrates as a platform to adsorb His-tag proteins. **Journal of Materials Chemistry B**, v. 1, n. 38, p. 4921-4931, 2013. - Fator de Impacto em 2012: 0
- 203 SILVA, J. M. S.; PASTORELLO, M.; KOBARG, J.; CARDOSO, M. B.; MAZALI, I. O. Selective synthesis of silver nanoparticles onto potassium hexaniobate: structural organisation with bactericidal properties. **ChemPhysChem**, v. 14, n. 18, p. 4075-4083, 2013. - Fator de Impacto em 2012: 3,349
- 204 HOFFMAM, Z. B.; OLIVEIRA, L. C.; COTA, J.; ALVAREZ, T. M.; DIOGO, J. A.; OLIVEIRA NETO, M.; CITADINI, A. P.; LEITE, V. B. P.; SQUINA, F. M.; MURAKAMI, M. T.; RULLER, R. Characterization of a hexameric exo-acting GH51 alpha-L-arabinofuranosidase from the mesophilic *Bacillus subtilis*. **Molecular Biotechnology**, v. 55, p. 260-267, 2013. - Fator de Impacto em 2012: 2,262
- 205 BRAGATTO, J.; SEGATO, F.; SQUINA, F. M. Production of xylooligosaccharides (XOS) from delignified sugarcane bagasse by peroxide-HAc process using recombinant xylanase from *Bacillus subtilis*. **Industrial Crops and Products**, v. 51, p. 123-129, 2013. - Fator de Impacto em 2012: 2,468 (5056)
- 206 SILVA, A. M.; MOCELLIN, A.; FARROKHPOUR, H.; MUNDIM, M. S. P.; NAVES DE BRITO, A. Photo induced dissociation of amino acids free from thermal degradation effects: A case study applied to DL-Valine. **Journal of Electron Spectroscopy and Related Phenomena**, v. 189, Suppl., p. 56-60, 2013. - Fator de Impacto em 2012: 1,706
- 207 VITORAZI, L.; BERRET, J.-F.; LOH, W. Self-assembly of complex salts of cationic surfactants and anionic-neutral block copolymers. Dispersions with liquid-crystalline internal structure. **Langmuir**, v. 29, n. 46, p. 14024-14033, 2013. - Fator de Impacto em 2012: 4,187

208 LIMA, R. S.; LEÃO, P. A. G. C.; MONTEIRO, A. M.; PIAZZETTA, M. H. O.; GOBBI, A. L.; MAZO, L. H.; CARRILHO, E. Glass/SU-8 microchip for electrokinetic applications. **Electrophoresis**, v. 34, p. 2996-3002, 2013. - Fator de Impacto em 2012: 3,261

209 SANTILLÁN, J. M. J.; VIDELA, F. A.; FERNÁNDEZ VAN RAAP, M. B.; SCHINCA, D. C.; SCAFFARDI, L. B. Analysis of the structure, configuration, and sizing of Cu and Cu oxide nanoparticles generated by fs laser ablation of solid target in liquids. **Journal of Applied Physics**, v. 113, p. 134305, 2013. - Fator de Impacto em 2012: 2,21

210 ESPOSITO, A. R.; KAMIKAWA, C. M.; LUCCHESI, C.; FERREIRA, B. M. P.; DUEK, E. A. R. Benefits of oxygen and nitrogen plasma treatment in vitro cell affinity to poly(lactide-Co-glycolide acid). **Materials Research**, v. 16, n. 4, p. 695-702, 2013. - Fator de Impacto em 2012:

211 Branquinho, L. C.; Carrião, M. S.; Costa, A. C.; Zufelato, N.; Sousa, M. H., Miotto, R.; Ivkov, R.; Bazukis, A. F. Effect of magnetic dipolar interactions on nanoparticle heating efficiency: implications for cancer hyperthermia. **Scientific Reports**, v. 3, p. 2887, 2013. - Fator de Impacto em 2012: 2,927

212 SATO, A. G.; VOLANTI, D. P.; MEIRA, D. M.; DAMYANOVA, S.; LONGO, E.; BUENO, J. M. C. Effect of the ZrO₂ phase on the structure and behavior of supported Cu catalysts for ethanol conversion. **Journal of Catalysis**, v. 307, p. 1-17, 2013. - Fator de Impacto em 2012: 5,787

213 CORDEIRO, I. B.; CASTRO, D. P.; NOGUEIRA, P. P. O.; ANGELO, P. C. S.; NOGUEIRA, P. A.; GONÇALVES, J. F. C.; PEREIRA, A. M. R. F.; GARCIA, J. S.; SOUZA, G. H. M. F.; ARRUDA, M. A. Z.; EBERLIN, M. N.; ASTOLFI-FILHO, S.; ANDRADE, E. V.; LÓPEZ-LOZANO, J. L. Electrophoresis and spectrometric analyses of adaptation-related proteins in thermally stressed *Chromobacterium violaceum*. **Genetics and Molecular Research**, v. 12, n. 4, p. 5057-5071, 2013. - Fator de Impacto em 2012: 0,994

214 VÉLEZ, J. F.; PROCACCINI, R. A.; APARICIO, M.; MOSA, J. Epoxy-silica hybrid organic-inorganic electrolytes with a high Li-ion conductivity. **Electrochimica Acta**, v. 110, p. 200-207, 2013. - Fator de Impacto em 2012: 3,777

215 ALMEIDA, J. M. P.; FONSECA, R. D.; TRIBUZI, V.; OTUKA, A. J. G.; FERREIRA, P. H. D.; MASTELARO, V. R.; BRAJATO, P.; HERNANDES, A. C.; DEV, A.; VOSS, T.; CORRÊA, D. S.; MENDONÇA, C. R. Femtosecond laser processing of glassy and polymeric matrices containing metals and semiconductor nanostructures. **Optical Materials**, v. 35, p. 2643-2648, 2013. - Fator de Impacto em 2012: 1,918

216 PEREIRA, E. D.; SOUZA JR., F. G.; SANTANA, C. I.; SOARES, D. Q.; LEMOS, A. S.; MENEZES, L. R. Influence of magnetic field on the dissolution profile of cotrimoxazole inserted into poly(lactic acid-co-glycolic acid) and maghemite nanocomposites. **Polymer Engineering and Science**, v. 53, n. 11, p. 2308-2311, 2013. - Fator de Impacto em 2012: 1,243

217 MONTES, P. J. R.; VALERIO, M. E. G.; REZENDE, M. V. DOS S. Mechanisms of radioluminescence of rare earths doped SrAl₂O₄ and Ca₁₂Al₁₄O₃₃ excited by X-ray. **Journal of Electron Spectroscopy and Related Phenomena**, v. 189, p. 39-44, 2013. - Fator de Impacto em 2012: 1,706

218 FARIA, G. C.; AZEVEDO, E. R.; VON SEGGERN, H. Molecular origin of charge traps in Polyfluorene-based semiconductors. **Macromolecules**, v. 46, p. 7865-7873, 2013. - Fator de Impacto em 2012: 5,521

219 BIANCHI, A. E.; FERNÁNDEZ, M.; PANTANETTI, M.; VIÑA, R.; TORRIANI, I.; TORRES SÁNCHEZ, R. M.; PUNTE, G. ODTMA(+) and HDTMA(+) organo-montmorillonites characterization: new

insight by WAXS, SAXS and surface charge. **Applied Clay Science**, v. 83-84, p. 280-285, 2013. - Fator de Impacto em 2012: 2,342

220 MAIA, A. M. S.; VILLETTI, M. A.; BORSALI, R.; BALABAN, R. C. Polyelectrolyte and non-polyelectrolyte polyacrylamide copolymer solutions: the role of salt on the intra- and intermolecular interactions. **Journal of Brazilian Chemical Society**, v. 24, n. 11, p. 1871-1879, 2013. - Fator de Impacto em 2012: 1,283

221 FÁVERO-RETTO, M. P.; PALMIERI, L. DE C.; SOUZA, T.A.C.B.; ALMEIDA, F. C. L.; LIMA, L. M. T. R. Structural meta-analysis of regular human insulin in pharmaceutical formulations. **European Journal of Pharmaceutics and Biopharmaceutics**, v. 85, n. 3, p. 1112-1121, 2013. - Fator de Impacto em 2012: 3,826

222 SCHIABER, Z. S.; LEITE, D. M. G.; BORTOLETO, J. R. R.; LISBOA-FILHO, P. N.; SILVA, J. H. D. DA. Effects of substrate temperature, substrate orientation, and energetic atomic collisions on the structure of GaN films grown by reactive sputtering. **Journal of Applied Physics**, v. 114, n. 18, p. 183515, 2013. - Fator de Impacto em 2012: 2,21

223 BIZETO, M. A.; ROSA, A. C. A.; CORREA, C. M.; FAEZ, R.; CAMILO, F. F. A one-pot synthesis of a ternary nanocomposite based on mesoporous silica, polyaniline and silver. **RSC Advances**, v. 3, p. 26142-26148, 2013. - Fator de Impacto em 2012: 2,562

224 DAL'ACQUA, N.; SCHEFFER, F. R.; BONIATTI, R.; SILVA, B. V. M.; MELO, J. V.; CRESPO, J. S.; GIOVANELA, M.; PEREIRA, M. B.; WEIBEL, D. E.; MACHADO, G. Photocatalytic nanostructured self-assembled poly(allylamine hydrochloride)/poly(acrylic acid) polyelectrolyte films containing titanium dioxide gold nanoparticles for hydrogen generation. **Journal of Physical Chemistry C**, v. 117, n. 44, p. 23235-23243, 2013. - Fator de Impacto em 2012: 4,814

225 LAGO, A. F.; DA SILVA, B. C.; ARAKAKI, P. J. Valence photodissociation of trifluoroethyl iodide investigated by photoelectron photoion coincidence spectroscopy. **Journal of Electron Spectroscopy and Related Phenomena**, v. 189S, p. 61-65, 2013. - Fator de Impacto em 2012: 1,706

226 SILVA, W. R. J.; MACHADO, A. R. T.; CAMPOS, V. A. C.; ZERI, A. C. DE M.; CAMPOS, V. P.; OLIVEIRA, D. F. Volatile organic compounds for the control of *Meloidogyne exigua* in *Coffea Arabica*. **Tropical Plant Pathology**, v. 38, n. 5, p. 375-386, 2013. - Fator de Impacto em 2012: 0,513

227 LANGUER, M. P.; SCHEFFER, F. R.; FEIL, A. F.; BAPTISTA, D. L.; MIGOWSKI, P.; MACHADO, G. J.; MORAES, D. P.; DUPONT, J.; TEIXEIRA, S. R.; WEIBEL, D. E. Photo-induced reforming of alcohols with improved hydrogen apparent quantum yield on TiO₂ nanotubes loaded with ultra-small Pt nanoparticles. **International Journal of Hydrogen Energy**, v. 38, n. 34, p. 14440-14450, 2013. - Fator de Impacto em 2012: 3,548

228 BATISTA, P. K.; ALVES, D. J. M.; RODRIGUES, M. O.; SÁ, G. F.; ALVES JR., S. Tuning the catalytic activity of lanthanide-organic framework for the cyanosilylation of aldehydes. **Journal of Molecular Catalysis A**, v. 379, p. 68-71, 2013. - Fator de Impacto em 2012: 3,187

229 FERREIRA, C. P.; GONÇALVES, M. C.; CARAM, R.; BERTAZZOLI, R.; RODRIGUES, C. A. Effects of substrate microstructure on the formation of oriented oxide nanotube arrays on Ti and Ti alloys. **Applied Surface Science**, v. 285, p. 226-234, 2013. - Fator de Impacto em 2012: 2,112

230 SILVEIRA, L. G. D.; DIAS, G. S.; COTICA, L. F.; EIRAS, J. A.; GARCIA, D.; SAMPAIO, J. A.; YOKAICHIYA, F.; SANTOS, I. A. Charge carriers and small-polaron migration as the origin of intrinsic

dielectric anomalies in multiferroic TbMnO₃ polycrystals. **Journal of Physics. Condensed Matter**, v. 25, n. 47, p. 475401-47509, 2013. - Fator de Impacto em 2012: 2,355

231 LANG, R.; MENEZES, A. S.; SANTOS, A. O. DOS; REBOH, S.; MENESSES, E. A.; AMARAL, L.; CARDOSO, L. P. Lattice strain distribution resolved by X-ray Bragg-surface diffraction in an Si matrix distorted by embedded FeSi₂ nanoparticles. **Journal of Applied Crystallography**, v. 46, pt. 6, n. 1796-1804, 2013. - Fator de Impacto em 2012: 3,343

232 ARINS, A. W.; JURCA, H. F.; VARALDA, J.; GRAFF, I. L.; SCHREINER, W. H.; MOSCA, D. H. Structure and magnetism of MnGa ultra-thin films on GaAs(111)B. **IEEE Transactions on Magnetics**, v. 49, n. 12, p. 5595-5598, 2013. - Fator de Impacto em 2012: 1,422

233 ABRANTES, V. E. F.; ROCHA, B. A. M.; DA NÓBREGA, R. B.; SILVA-FILHO, J. C.; TEIXEIRA, C. S.; CAVADA, B. S.; GADELHA, C. A. DE A.; FERREIRA, S. H.; SANTI-GADELHA, T.; DELATORRE, P. Molecular modeling of lectin-like protein from Acacia farnesiana reveals a possible anti-inflammatory mechanism in carrageenan-induced inflammation. **BioMed Research International**, v. 2013, p. 253483, 2013 - Fator de Impacto em 2012: 0

234 SANCHEZ, D. F.; MARMITT, G. G.; MARIN, C.; BAPTISTA, D. L.; AZEVEDO, G. DE M.; GRANDE, P. L.; FICHTNER, P. F. P. New approach for structural characterization of planar sets of nanoparticles embedded into a solid matrix. **Scientific Reports**, v. 3, p. 3414, 2013. Fator de Impacto em 2012: 2,927

235 CARVALHO, M. A.; ANDRADE, P. F.; CORBI, F. C. A.; GONÇALEZ, M. C.; FORMIGA, A. L. B.; MAZALI, I. O.; BONACIN, J. A.; CORBI, P. P. A simple method to synthesize fluorescent modified gold nanoparticles using tryptamine as the reducing and capping agent. **Synthetic Metals**, v. 185-186, p. 61-65, 2013 - Fator de Impacto em 2012: 2,109

236 FERNANDES, C. A. H.; COMPARETTI, E. J.; BORGES, R. J.; HUANCAHUIRE-VEGA, S.; PONCE-SOTO, L. A.; MARANGONI, S.; SOARES, A. M.; FONTES, M. R. M. Structural bases for a complete myotoxic mechanism: crystal structures of two non-catalytic phospholipases A(2)-like from *Bothrops brazili* venom. **Biochimica et Biophysica Acta. Proteins and Proteomics**, v. 1834, p. 2772-2781, 2013. - Fator de Impacto em 2012: 3,733

237 ASPROMONTE, G. A.; MIZRAHI, M. D.; SCHNEEBERGER, F. A.; RAMALLO-LÓPEZ, J. M.; BOIX, A. V. Study of the nature and location of silver in Ag-exchanged mordenite catalysts. Characterization by spectroscopic techniques. **Journal of Physical Chemistry C**, v. 117, p. 25433-25442, 2013. - Fator de Impacto em 2012: 4,814

238 MARANGONI, V. S.; PAINO, I. M.; ZUCOLOTTO, V. Synthesis and characterization of jacalin-gold nanoparticles conjugates as specific markers for cancer cells. **Colloids and Surfaces B**, v. 112, p. 380-386, 2013. - Fator de Impacto em 2012: 3,554

239 OCHOA, E., DROPPA, R., BASSO, R. L. O., MORALES, M., CUCATTI, S., ZAGONEL, L. F., CZERWIEC, T., SANTOS, M.C., FIGUEROA, C. A., ALVAREZ, F. The effect of noble gas bombarding on nitrogen diffusion in steel. **Materials Chemistry and Physics**, v. 143, n. 1, p. 116-123, 2013 - Fator de Impacto em 2012: 2,072

240 ANIN, H.; MAY, P. W.; HAMANAKA, M. H. M. O.; CORAT, E. J. Field emission from hybrid diamond-like carbon and carbon nanotube composite structures. **ACS applied materials & interfaces**, v. 5, p. 12238-12243, 2013. - fator de impacto em 2012: 5,008

2015

Teses e Dissertações

Externa

- 1 NUNES, E. DA S. **Preparação e caracterização de nanocompósitos de Fe@SiO₂, Fe@Fe₃O₄@PNIPAM.** 2015. 133 f. Tese (Doutorado em Química) - Universidade Estadual Paulista – Departamento de Química, Araraquara.
- 2 HANCHUK, T. D. M. **Caracterização funcional: a cinase humana NEK5 interfere negativamente na morte celular e no processo de poliglutamilização.** 2015. Tese (Doutorado em Biologia Funcional e Molecular) - Universidade Estadual de Campinas, Instituto de Biologia, Campinas.
- 3 DOS REIS, R. D. **Efeitos da hibridização (4f, 5f) / (5d, 6d) no magnetismo de compostos intermetálicos.** 2015. Tese (Doutorado em Física) - Universidade Estadual de Campinas, Instituto de Física, Campinas.
- 4 TRINCA, R. B. **Poliuretanas segmentadas multicomponentes.** 2015. 93 f. Tese (Doutorado em Ciências) - Universidade Estadual de Campinas, Instituto de Química, Campinas.
- 5 JUNQUEIRA, T. L. **Techno-economic feasibility analysis of process alternatives for ethanol production in Brazil.** 2015. 116 f. Tese (Doutorado em Engenharia Química) - Universidade Estadual de Campinas, Departamento de Engenharia Química, Campinas.
- 6 BORIN, G. P. **Estudos genômicos da expressão gênica global do fungo filamentoso *Trichoderma reesei* crescido em bagaço e colmo de cana-de-açúcar.** 2015. 172 f. Dissertação (Mestrado em Genética e Biologia Molecular) - Universidade Estadual de Campinas, Instituto de Biologia, Campinas.
- 7 GERALDES, R. R. **Desenvolvimento de bancada de alinhamento magnético pela técnica do fio vibrante para o projeto Sirius.** 2015. 152 f. Dissertação (Mestrado em Física com Ênfase em Instrumentação Científica) - Centro Brasileiro de Pesquisas Físicas, Rio de Janeiro.
- 8 CONSONNI, S. R. **Localização e função de quinase de adesão focal e calsarcina-1 em cardiomiócitos de ratos: emprego de sondas moleculares e lentivírus.** 2015. 164 f. Tese (Doutorado em Biologia Celular e Estrutural) - Universidade Estadual de Campinas, Instituto de Biologia, Campinas.
- 9 NAKASU, P. Y. S. **Cinética da hidrólise ácida do licor obtido após pré-tratamento hidrotérmico.** 2015. 146 f. Dissertação (Mestrado em Engenharia Química) - Universidade Estadual de Campinas, Departamento de Engenharia Química, Campinas.
- 10 BARBOSA, L. C. **Atributos físicos do solo e desenvolvimento radicular da cana planta em diferentes sistemas de manejo.** 2015. Dissertação (Mestrado em Engenharia Agrícola) - Universidade Estadual de Campinas, Departamento de Engenharia Agrícola, Campinas
- 11 VEIGA, L. S. I. **Estrutura eletrônica e magnética sob altas pressões: metais de transição 3d/5d e terras raras.** 2015. 113 f. Tese (Doutorado em Ciências) - Universidade Estadual de Campinas, Instituto de Física, Campinas.
- 12 SANCHES, G. M. **Variabilidade espacial dos atributos do solo por meio da condutividade elétrica aparente.** 2015. 123 f. Dissertação (Mestrado em Engenharia Agrícola) - Universidade Estadual de Campinas, Departamento de Engenharia Agrícola, Campinas.

- 13 LOPES, E. S. **Cinética, estudo e avaliação do processo de deslignificação do bagaço de cana-de-açúcar pré-tratado com ácido sulfúrico diluído.** 2015. Dissertação (Mestrado em Engenharia Química) - Universidade Estadual de Campinas, Departamento de Engenharia Química, Campinas.
- 14 KAWAHARA, R. **Proteômica baseada em espectrometria de massas na descoberta de candidatos à biomarcadores em câncer e na identificação de novos alvos de ADAM17.** 2015. 226 f. Tese (Doutorado em Biologia Funcional e Molecular) - Universidade Estadual de Campinas, Departamento de Biologia, Campinas.
- 15 BATALHA, M. H. F. **Estudo da estampabilidade a quente de aço ao boro em conformação com redução de espessura controlada.** 2015. 114 f. Dissertação (Mestrado em Engenharia Mecânica) - Universidade Estadual de Campinas, Faculdade de Engenharia Mecânica, Campinas.
- 16 HARB, S. V. **Desenvolvimento de revestimentos siloxano-PMMA reforçados por nanotubos de carbono, óxido de grafite e óxido de grafite reduzido para aplicações anticorrosivas.** 2015. 68 f. Dissertação (Mestrado em Química) - Universidade Estadual Paulista - Departamento de Físico-Química, Araraquara.
- 17 BARRERA, E. C. G. **Modulação das características de polietilenos produzidos por metallocenos e pós-metallocenos suportados através da natureza do suporte.** 2015. 96 f. Tese (Doutorado em Química) - Universidade Federal do Rio Grande do Norte, Departamento de Química, Natal.
- 18 LONGUINHO, M. M. **Síntese e encapsulação de lapazina com potencial atividade antituberculose.** 2015. 111 f. Dissertação (Mestrado em Ciências Farmacêuticas) - Universidade Federal do Rio de Janeiro, Faculdade de Farmácia, Rio de Janeiro.
- 19 BROLLO, M. E. F. **Síntese e caracterização de nanopartículas magnéticas complexas.** 2015. 86 f. Dissertação (Mestrado em Física) - Universidade Estadual de Campinas, Instituto de Física, Campinas.
- 20 FONSECA, S. T. **Efeito de adições de vanádio, nióbio e molibdênio na estrutura e propriedades mecânicas de aços com 0,7 % C utilizados na fabricação de rodas ferroviárias.** 2015. 191 f. Tese (Doutorado em Engenharia Mecânica) - Universidade Estadual de Campinas, Faculdade de Engenharia Mecânica, Campinas.
- 21 SOUZA, E. L. **Emprego de material nanoestruturado sobre Ti na degradação de fármacos.** 2015. 103 f. Dissertação (Mestrado em Tecnologia) - Universidade Estadual de Campinas, Divisão Tecnologia, Limeira.
- 22 ESPÍRITO-SANTO, M. **Otimização de estratégias de pré-tratamento de bagaço de cana-de-açúcar para produção de etanol de segunda geração via hidrólise enzimática.** 2015. 110 f. (Dissertação em Ciências) - Universidade de São Paulo, Departamento de Física da Matéria Condensada, São Carlos.
- 23 SOUZA, C. J. F. **Formação de complexos coacervados a partir das proteínas da clara de ovo e polissacarídeos.** 2015. 161 f. Tese (Doutorado em Tecnologia de Alimentos) - Universidade Federal do Rio de Janeiro, Nutrição Básica e Experimental, Rio de Janeiro.
- 24 TEICHMANN, A. **Caracterização das proteínas 14-3-3 expressas na fase larval patogênica de *Echinococcus spp.*** 2015. 161 f. Tese (Doutorado em Ciências) - Universidade Federal do Rio Grande do Sul, Centro de Biotecnologia, Porto Alegre.
- 25 MORATO DO CANTO, A. **Identificação de proteínas diferencialmente expressas em modelos animais de epilepsia.** 2015. 72 f. Dissertação (Mestrado em Ciências) - Universidade Estadual de Campinas, Faculdade de Ciências Médicas, Campinas

- 26 PONTES, L. G. **Análise proteômica do plasma sanguíneo e crioprecipitado de búfalos *Bubalus bubalis*.** 2015. 90 f. Dissertação (Mestrado em Genética) - Universidade Estadual Paulista, Departamento de Genética, Botucatu.
- 27 REIS, A. G. **Comportamento mecânico do aço maraging 300 solubilizado, envelhecido e nitretado por plasma.** 2015. 152 f. Tese (Doutorado em Materiais e Processos de Fabricação) - Instituto Tecnológico de Aeronáutica, Engenharia Aeronáutica e Mecânica, São José dos Campos.
- 28 ARAÚJO, O. C. **Estudo da Cisteína com espectroscopia de massa por tempo de voo.** 2015. 74 f. Dissertação (Mestrado em Física) - Universidade de Brasília, Instituto de Física, Brasília.
- 29 SILVA, H. F. O. **Nanopartículas de prata conjugadas com hclato de doxiciclina: síntese, caracterização e avaliação da atividade antimicrobiana contra *Escherichia Coli*.** 2015. Dissertação (Mestrado em Química) - Universidade Federal do Rio Grande do Sul, Departamento de Química, Porto Alegre.
- 30 DANTAS, L. E. C. **Caracterização e propriedades biofísicas da proteína SIVA1.** 2015. 77 f. Dissertação (Mestrado em Ciências) - Universidade Estadual de Campinas, Faculdade de Ciências Médicas, Campinas.
- 31 SALAZAR CUAILA, J. L. **Propriedades estruturais e magnéticas de filmes finos de $Ti_{1-x}Co_xO_2$ produzidos por sol-gel e spin coating.** 2015. 64 f. Dissertação (Mestrado em Física) - Universidade Federal de Pelotas, Departamento de Física, Pelotas.
- 32 ARAUJO, S. S. **Estrutura e atividade da proteína 2-hidroximuconato semialdeído desidrogenase (NahI) de *Pseudomonas putida* G7, uma enzima da via de degradação do naftaleno.** 2015. f. Tese (Doutorado em Ciências Biológicas) - Universidade Federal de Minas Gerais, Instituto de Ciências Biológicas, Belo Horizonte.
- 33 CORAL, D. F. **Estructuras dipolares magnéticas en suspensiones magnéticas coloidales y su influencia en hipertermia magnética.** 2015. 190 f. Tese (Doutorado em Física) - Universidad Nacional de La Plata, Departamento de Física, Buenos Aires.
- 34 HAMANAKA, M. H. M. **O Sistema de medida de função trabalho com fonte de elétrons de nanotubos de carbono.** 2015. Tese. (Doutorado em Engenharia Elétrica e Computação) - Universidade Estadual de Campinas, Faculdade de Engenharia Elétrica e Computação, Campinas.
- 35 MAURICIO, A. F. **Biomarcadores da cardiomiopatia para distrofia muscular: estudo metabolômico e terapia com ômega-3.** 2015. 99 f. Tese (Doutorado em Biologia Celular e Estrutural) - Universidade Estadual de Campinas, Instituto de Biologia, Campinas.
- 36 ESCANHOELA JR., C. A. **Síntese e caracterização do sistema nanoestruturado $Sr_{1-x}La_xTi_{1-y}Fe_yO_3$: aplicação como sensor de gás.** 2015. 112 f. Tese (Doutorado em Ciência) - Universidade de São Paulo, Departamento de Física e Ciência dos Materiais, São Carlos.
- 37 SANTOS, M.-K. M. S. **Estudo de nanocompósitos poliméricos siloxano-poliéter como dispositivos de liberação modificada de princípios ativos.** 2015. 95 f. Dissertação (Mestrado em Ciências e Tecnologias em Saúde) - Universidade de Brasília, Curso de Farmácia, Ceilândia.
- 38 COSTA E SILVA, D. L. **Filmes finos de carbono depositados por meio da técnica de magnetron sputtering usando cobalto, cobre e níquel como buffer-layers.** 2015. 71 f. Dissertação (Mestrado em Ciências) - Instituto de Pesquisas Energéticas e Nucleares, São Paulo.

- 39 ASSUMPÇÃO, T. A. A. DE **Produção e caracterização de filmes finos amorfos de germanato codopados com Tm_{3+} e Yb_{3+} contendo nanopartículas metálicas para a produção de guias de onda**. 2015. 174 f. Tese (Doutorado em Engenharia Elétrica) - Universidade de São Paulo, Departamento de Engenharia Elétrica, São Paulo.
- 40 CAMILO, A. P. R. **Copolímeros anfifílicos em bloco de metacrilato de 1'-O-metacrilato de sacarose e metacrilato de metila obtidos por polimerização controlada**. 2015. 164 f. Tese (Doutorado em Ciências) - Universidade Estadual de Campinas, Instituto de Química, Campinas.
- 41 ALMEIDA, P. **Copolímeros de metacrilato de alquila e metacrilato de sacarose sintetizados via ATRP**. 2015. 143 f. Dissertação (Mestrado em Química) - Universidade Estadual de Campinas, Instituto de Química, Campinas.
- 42 CASTRO, R. C. **Comparação da difusão de fósforo em solos brasileiros para diferentes fertilizantes granulados usando fluorescência de raios-X por reflexão total por radiação sincrotron (SR-TXRF)**. 2015. 88 f. Tese (Doutorado em Física) - Universidade do Estado do Rio de Janeiro, Instituto de Física Armando Dias Tavares, Rio de Janeiro.
- 43 COSTA, A. L. R. **Produção de microgéis de goma gelana em dispositivos de microfluídica**. 2015. 99 f. Dissertação (Mestrado em Engenharia de Alimentos) - Universidade Estadual de Campinas, Faculdade de Engenharia de Alimentos, Campinas.
- 44 MIRANDA, R. R. **Estudos estruturais da enzima histidina amônio liase de *Trypanosoma cruzi***. 2015. 73 f. Dissertação (Mestrado em Química Aplicada) - Universidade Estadual de Ponta Grossa, Departamento de Química, Ponta Grossa.
- 45 SILVA, T. L. **Síntese e auto-organização de nanopartículas ferromagnéticas metálicas visando aplicações em gravação magnética de ultra-alta densidade e imãs permanentes de elevado desempenho**. 2015. 90 f. Tese (Doutorado em Química) - Universidade de São Paulo - São Carlos, Departamento de Química, São Carlos.
- 46 GRASSI, G. **Intercalação de íons em nanossilicatos**. 2015. Tese (Doutorado em Física) - Universidade de Brasília, Instituto de Física, Brasília.
- 47 SOUZA, S. P. **Avaliação de aspectos econômicos e ambientais da produção integrada de etanol e biodiesel**. 2015. 134 f. Tese (Doutorado em Planejamento de Sistemas Energéticos) - Universidade Estadual de Campinas, Faculdade de Engenharia Mecânica, Campinas.
- 48 COSATE DE ANDRADE, M. F. **Estudo da avaliação de ciclo de vida do PLA: comparação entre a reciclagem química, mecânica e compostagem**. 2015. 92 f. Dissertação (Mestrado em Engenharia Química) - Universidade Estadual de Campinas, Departamento de Engenharia Química, Campinas.
- 49 BARBOSA, G. M. **Purificação e caracterização estrutural da proteína do capsídeo do vírus dengue e de seu mutante Δ 1-19**. 2015. 106 f. Dissertação (Mestrado em Química Biológica) - Universidade Federal do Rio de Janeiro, Departamento de Bioquímica Médica, Rio de Janeiro.
- 50 ALTOÉ, M. A. S. **Transições entre estados de hidratação em nanossilicatos sintéticos**. 2015. 179 f. Tese (Doutorado em Física) - Universidade de Brasília, Instituto de Física, Brasília.
- 51 VAZ, R. **Preparação e caracterização estrutural e óptica de pontos de carbono luminescentes a partir de precursores de baixo custo**. 2015. 109 f. Dissertação (Mestrado em Física e Química de Materiais) - Universidade Federal de São João Del-Rei, Departamento de Química, São João Del-Rei.

52 MACHADO, C. E. **Preparação de pontos de carbono via método de pirólise: influência da atmosfera e efeito da dopagem com átomos de nitrogênio e enxofre.** 2015. 159 f. Dissertação (Mestrado em Ciências) - Universidade Federal de São João Del-Rei, Departamento de Química, São João Del-Rei.

53 MICHELS, L. **Intercalation phenomena of carbon dioxide, water or ions in smectite clay.** 2015. Tese (Doutorado em Ciência e Tecnologia) - Norwegian University of Science and Technology, Trondheim.

2015

Memorandos Técnicos

1 LIMA, A. P. B.; ANDRIJAUSKAS, F.; CRUZ, F. C.; BERNAL, N. A. L.; CASTRO, A. R. B. **Light detectors for the THz spectral range: theory and numerical simulation.** Campinas: LNLS, 2015. Memorando Técnico, MeT 01/2015

2 MARTINS, B. S.; LUVIZOTTO, B. V.; MARTINS, J. P. S.; FRANCO, J. G. L. S. **Basic Small Messages Protocol (BSMP).** Campinas: LNLS, 2015. Memorando Técnico, MeT 02/2015

3 BARBOZA, V. A; LANZONI, E. M.; GARCIA JR., A. J.; COSTA, C. A. R.; DENEKE, C. **Topography artifacts in Scanning Probe Microscopy (SPM): investigating beyond limits of tip sharpness.** Campinas: LNNANO, 2015. Memorando Técnico, MeT 03/2015

4 LIMA, R. S.; SHIROMA, L. Y.; GOBBI, A. L. **Analysis of the adulteration of ethanol fuel by water using the microemulfication-based method.** Campinas: LNNANO, 2015. Memorando Técnico, MeT 04/2015.

5 LIMA, R. S.; SHIROMA, L. S.; GOBBI, A. L. **Determination of monoethylene glycol in samples related to natural gas processing using the microemulfication-based method.** Campinas: LNNANO, 2015. Memorando Técnico, MeT 05/2015

6 ALVAREZ, T.M.; CHINAGLIA, M.;SQUINA, F. M. **Protocolo aplicado no CTBE para a avaliação do perfil de oligossacarídeos gerados a partir de hidrólise enzimática por eletroforese capilar.** Campinas: CTBE, 2015. Memorando Técnico, MeT 06/2015

7 REZENDE, C. C.; PIMENTA, M. T. B. **Fracionamento por peneiras do bagaço de cana-de-açúcar para obtenção das frações fibra e medula.** Campinas: CTBE, 2015. Memorando Técnico, Met 07/2015

8 SÁ, F. H; LIU, L.; RESENDE, X. R.; MILAS, N. **Instability thresholds and tune shift estimations for Sirius.** Campinas: LNLS, 2015. Memorando Técnico, MeT 08/2015

9 SERAPHIM, R. M.; BAGNATO, O. R.; FERRAZ, R. O.; GAZETTA FILHO, H.; GOMES, G. R.; NARDIN, M.; OLIVEIRA, R. F.; RAMOS, B. M.; ROCHA, T. M; RODRIGUES, A. R. D. **Vacuum system design for the Sirius storage ring.** Campinas: LNLS, 2015. Memorando Técnico, MeT 09/2015

- 10 NEUENSCHWANDER, R. T.; LIU, L.; MARQUES, S. R.; RODRIGUES, A. R. D.; SERAPHIM, R. M. **Engineering challenges of future light sources.** Campinas: LNLS, 2015. Memorando Técnico, MeT 10/2015
- 11 LIU, L.; SÁ, F. H.; MILAS, N.; MUKAI, A. H. C.; RESENDE, X. R. **Upgraded optics for Sirius with improved matching of electron and photon beam emittances.** Campinas: LNLS, 2015. Memorando Técnico, MeT 11/2015
- 12 RODRIGUES, A. R. D.; ARROYO, F. C.; BAGNATO, O. R.; CITADINI, J. F; FARIAS, R. H. A.; FRANCO, J. G. R. S.; LIU, L.; MARQUES, S. R.; NEUENSCHWANDER, R. T.; RODRIGUES, C.; SERAPHIM, R. M.; SILVA, O. H. V. **Sirius Accelerators Status Report.** Campinas: LNLS, 2015. (6658) Memorando Técnico, MeT 12/2015
- 13 DUARTE, H. O. C.; MARQUES, S. R. **Impedance optimization of SIRIUS stripline kicker.** Campinas: LNLS, 2015. Memorando Técnico, MeT 13/2015
- 14 BRITO, J. L. N.; MARQUES, S. R.; TAVARES, D. DE O.; MARTINS, L. A. **Status development of SIRIUS timing system.** Campinas: LNLS, 2015. Memorando Técnico, MeT 14/2015
- 15 MARTINS, J. P. S.; BACCHETTI, M.; COELHO, E. P.; CURCIO, R. F.; FRANCO, J. G. R. S.; LISBOA, R. P.; NALLIN, P. H.; RODRIGUES, A. R. D.; SACHINELLI, L. D. S.; SILVA, M. E. C. **SIRIUS control system: design, implementation strategy and measured performance.** Campinas: LNLS, 2015. Memorando Técnico, MeT 15/2015
- 16 TAVARES, D. DE O.; GROSSI, D. R. **System identification and robust control for the LNLS UVX fast orbit feedback.** Campinas: LNLS, 2015. Memorando Técnico, MeT 16/2015
- 17 LEÃO, R. J.; NEUENSCHWANDER, R. T.; OLIVEIRA, H. G. P. DE; REIS, M. L. C. DA C. **About the implementation of a metrological system for the Brazilian Synchrotron Light Laboratory.** Campinas: LNLS, 2015. Memorando Técnico, MeT 17/2015
- 18 LEÃO, R. J.; NEUENSCHWANDER, R. T.; OLIVEIRA, H. G. P. DE; REIS, M. L. C. DA C. **Network survey simulations for planning the alignment of a particle accelerator.** Campinas: LNLS, 2015. Memorando Técnico, MeT 18/2015
- 19 VITOI, L. A.; RODRIGUES, C.; MARCONDELI, R. J.; FERREIRA, A. A.; OLIVEIRA, J. G.; PEREIRA, D.P. **Modeling and control of a high power current source for SIRIUS - The new Brazilian Synchrotron Light Source.** Campinas: LNLS, 2015. Memorando Técnico, MeT 19/2015
- 20 RODRIGUES, C.; LIMEIRA, B. E. **2-HZ Ramping mode magnet power supply for particle accelerators.** Campinas: LNLS, 2015. Memorando Técnico, MeT 20/2015
- 21 ROSA, J. N. H. DA; RODRIGUES, C.; BRUNHEIRA, G. O.; MARCONDELI, R. J. **225A/22V High precision current source using interleaved modules and digital regulation.** Campinas: LNLS, 2015. Memorando Técnico, MeT 21/2015

22 JUNQUEIRA, T.L.; GOUVEIA, V. L. R. DE; SAMPAIO, I.; MORAIS, ED. R. DE; BONOMI, A.M.F.L.J. **Sugarcane biomass composition for the industrial simulations in the virtual sugarcane biorefinery (VSB)**. Campinas: CTBE, 2015. Memorando Técnico, MeT 22/2015

ANEXO 4 – LISTA DE BOLSISTAS E PÓS-DOUTORES

NOME	MODALIDADE	LN
JOAO PAULO LOURENCO FRANCO CAIRO	BOLSISTA - DOUTORADO	CTBE
SIMONE PEREIRA DE SOUZA	BOLSISTA - DOUTORADO	CTBE
JOAO PAULO FERNANDES VIEIRA	BOLSISTA - DOUTORADO	CTBE
LIVIA BEATRIZ BRENELLI DE PAIVA	BOLSISTA - DOUTORADO	CTBE
DIOGO ROBL	BOLSISTA - DOUTORADO	CTBE
JOAO MOREIRA NETO	BOLSISTA - DOUTORADO	CTBE
GUSTAVO PAGOTTO BORIN	BOLSISTA - DOUTORADO	CTBE
AMANDA SILVA DE SOUSA	BOLSISTA - DOUTORADO	CTBE
LEANDRO CARNEIRO BARBOSA	BOLSISTA - DOUTORADO	CTBE
SERGIO GUSTAVO QUASSI DE CASTRO	BOLSISTA - DOUTORADO	CTBE
SIMONE COELHO NAKANISHI	BOLSISTA - DOUTORADO	CTBE
THIAGO AUGUSTO GONCALVES	BOLSISTA - DOUTORADO	CTBE
RICARDO JUSTINO DA SILVA	BOLSISTA - DOUTORADO	CTBE
LUCAS GELAIN	BOLSISTA - DOUTORADO	CTBE
PEDRO YORITOMO SOUZA NAKASU	BOLSISTA - DOUTORADO	CTBE
WILLIAM EDUARDO HERRERA	BOLSISTA - DOUTORADO	CTBE
ANA PAULA GUIMARAES SANTOS	BOLSISTA - DOUTORADO	CTBE
GLAUCO FERRO LEAL	BOLSISTA - DOUTORADO	CTBE
PATRICIA DOS SANTOS COSTA	BOLSISTA - DOUTORADO	CTBE
CLEITON MARCIO PINTO BRAGA	BOLSISTA - DOUTORADO	CTBE
MARIANE PAUDETTI ZUBIETA	BOLSISTA - DOUTORADO	CTBE
CAROLINA CASSANO MONTE BELLO	BOLSISTA - DOUTORADO	CTBE
MAURICIO WOLF WILWERTH	BOLSISTA - DOUTORADO	CTBE
DENIS BASSI	BOLSISTA - DOUTORADO	CTBE
VICTOR COELHO GERALDO	BOLSISTA - DOUTORADO	CTBE
MARTHA AMARO DA SILVA	BOLSISTA - DOUTORADO	CTBE
RENATO CRUZ NEVES	BOLSISTA - DOUTORADO	CTBE
MARCELO MIRANDA DE OLIVEIRA	BOLSISTA - DOUTORADO	CTBE
EDUARDO CRUZ MORAES	BOLSISTA - DOUTORADO	CTBE
RICARDO RODRIGUES DE MELO	BOLSISTA - DOUTORADO	CTBE
RODRIGO SANTOS MOREIRA	BOLSISTA - DOUTORADO	CTBE
JOHN HERVIN BERMUDEZ JAIMES	BOLSISTA - DOUTORADO	CTBE
FERNANDA MANDELLI	BOLSISTA - DOUTORADO	CTBE
MARIA LETICIA BONATELLI	BOLSISTA - DOUTORADO	CTBE
DIEGO ANDRES RUEDA ORDONEZ	BOLSISTA - DOUTORADO	CTBE
MONICA LUCIA CAVIDAD DIEZ	BOLSISTA - DOUTORADO	CTBE
LARISSA MARQUES VIGLIO	BOLSISTA - DOUTORADO	CTBE
FABRICIA FARIA DE MENEZES	BOLSISTA - DOUTORADO	CTBE

MARCELO JOSE DA SILVA	BOLSISTA - DOUTORADO	CTBE
JOAO ROSSI NETO	BOLSISTA - DOUTORADO	CTBE
LUCAS SOUZA LOPES	BOLSISTA - DOUTORADO	CTBE
SEBASTIAN ALFREDO TAMAYO ROJAS	BOLSISTA - DOUTORADO	CTBE
RAFAEL FERRAZ ALVES	BOLSISTA - DOUTORADO	CTBE
ANA MARIA ZETTY ARENAS	BOLSISTA - DOUTORADO	CTBE
LUCIANA DO CARMO ZOTELLI	BOLSISTA - DOUTORADO	CTBE
LUCAS TADEU FUESS	BOLSISTA - DOUTORADO	CTBE
BIANCA CONSORTI BUSSAMRA	BOLSISTA - DOUTORADO	CTBE
CARLA CRISTINA POLO	BOLSISTA - DOUTORADO	LNBIO
RAFAEL RENATINO CANEVAROLO	BOLSISTA - DOUTORADO	LNBIO
MARIA LUIZA CALDAS NOGUEIRA	BOLSISTA - DOUTORADO	LNBIO
CRISTIANE TAMBASCIA PEREIRA	BOLSISTA - DOUTORADO	LNBIO
PRISCILA FERREIRA PAPA	BOLSISTA - DOUTORADO	LNBIO
GUSTAVO FERNANDO MERCALDI	BOLSISTA - DOUTORADO	LNBIO
ANGELA MARIA FALA	BOLSISTA - DOUTORADO	LNBIO
TALITA DINIZ MELO	BOLSISTA - DOUTORADO	LNBIO
VANESSA BOMFIM CARDOSO	BOLSISTA - DOUTORADO	LNBIO
MELISSA QUINTERO ESCOBAR	BOLSISTA - DOUTORADO	LNBIO
JESSICA CHRISTINA LOIS DE OLIVEIRA CAMPOS	BOLSISTA - DOUTORADO	LNBIO
IGOR MONTEZE FERREIRA	BOLSISTA - DOUTORADO	LNBIO
CAROLINA APARECIDA DE GUZZI CASSAGO	BOLSISTA - DOUTORADO	LNBIO
MARIANA ABRAHAO BUENO DE MORAIS	BOLSISTA - DOUTORADO	LNBIO
RENATA MORO BARONI	BOLSISTA - DOUTORADO	LNBIO
CAROLLINE FERNANDA RODRIGUES ASCENCAO	BOLSISTA - DOUTORADO	LNBIO
LEANDRO HENRIQUE DE PAULA ASSIS	BOLSISTA - DOUTORADO	LNBIO
NAYARA PATRICIA VIEIRA DE LIRA	BOLSISTA - DOUTORADO	LNBIO
DANIELI CRISTINA GONCALVES	BOLSISTA - DOUTORADO	LNBIO
VALERIA YUKARI ABE	BOLSISTA - DOUTORADO	LNBIO
REBECA KAWAHARA	BOLSISTA - DOUTORADO	LNBIO
BRUNO AQUINO	BOLSISTA - DOUTORADO	LNBIO
PLINIO SALMAZO VIEIRA	BOLSISTA - DOUTORADO	LNBIO
PAULO VINICIUS DA MATA MADEIRA	BOLSISTA - DOUTORADO	LNBIO
DOUGLAS ADAMOSKI MEIRA	BOLSISTA - DOUTORADO	LNBIO
CAMILA CRISTINA PASCOAL	BOLSISTA - DOUTORADO	LNBIO
MAYARA MAYELE MIYACHIRO	BOLSISTA - DOUTORADO	LNBIO
FLAVIA DA SILVA ZANDONADI	BOLSISTA - DOUTORADO	LNBIO
LAURA MARIA ALCANTARA	BOLSISTA - DOUTORADO	LNBIO
LARISSA MENEZES DOS REIS	BOLSISTA - DOUTORADO	LNBIO
ADALBERTO MIGUEL DE ARAUJO JR	BOLSISTA - DOUTORADO	LNBIO
FABIO NEVES DO AMARAL	BOLSISTA - DOUTORADO	LNBIO
ANDREA JOHANNA MANRIQUE RINCON	BOLSISTA - DOUTORADO	LNBIO
NADIA RASHEED	BOLSISTA - DOUTORADO	LNBIO

NATALIA BERNARDI VIDEIRA	BOLSISTA - DOUTORADO	LNBIO
CAIO HADDAD FRANCO	BOLSISTA - DOUTORADO	LNBIO
CAROLINA MORETTO CARNIELLI	BOLSISTA - DOUTORADO	LNBIO
LUCAS MAYRINK ASSIS	BOLSISTA - DOUTORADO	LNBIO
CAIO CESAR DE LIMA SILVA	BOLSISTA - DOUTORADO	LNBIO
LUCIANO GRACIENI DOLCE	BOLSISTA - DOUTORADO	LNBIO
CESAR ANDRES RIVERA MARTINEZ	BOLSISTA - DOUTORADO	LNBIO
KRISHINA RATNA SOUSA DE OLIVEI	BOLSISTA - DOUTORADO	LNBIO
CIDNEI MARSCHALK	BOLSISTA - DOUTORADO	LNBIO
VALERIA SCORSATO	BOLSISTA - DOUTORADO	LNBIO
RAFAELA MILAN BONOTTO	BOLSISTA - DOUTORADO	LNBIO
SOLEDAD PALAMETA	BOLSISTA - DOUTORADO	LNBIO
JOSE EDWIN NECIOSUP QUESNAY	BOLSISTA - DOUTORADO	LNBIO
JOSE GERALDO DE CARVALHO PEREIRA	BOLSISTA - DOUTORADO	LNBIO
MARIO RAMOS DE OLIVEIRA BARSOTTINI	BOLSISTA - DOUTORADO	LNBIO
SABRINA GONDIM RIBEIRO MOTA	BOLSISTA - DOUTORADO	LNBIO
DENISE REGINA BAIRROS DE PILGER	BOLSISTA - DOUTORADO	LNBIO
GIOVANA APARECIDA DE SOUZA CINTRA	BOLSISTA - DOUTORADO	LNBIO
PATRICIA BALLONE	BOLSISTA - DOUTORADO	LNBIO
ANA AMELIA SANCHEZ IACIA	BOLSISTA - DOUTORADO	LNBIO
THALITA CAMELO DA SILVA FERREIRA	BOLSISTA - DOUTORADO	LNBIO
TATIANE DE ROSSI	BOLSISTA - DOUTORADO	LNBIO
LUISA SANTOS NAVES	BOLSISTA - DOUTORADO	LNBIO
TANES IMAMURA DE LIMA	BOLSISTA - DOUTORADO	LNBIO
JOSE RICARDO SERATTI ROSSI	BOLSISTA - DOUTORADO	LNBIO
PEDRO AVELLAR CABRAL RODRIGUES DA COSTA	BOLSISTA - DOUTORADO	LNBIO
RICARDO DONIZETH DOS REIS	BOLSISTA - DOUTORADO	LNLS
LARISSA SAYURI ISHIBE VEIGA	BOLSISTA - DOUTORADO	LNLS
JESSICA FERNANDA AFFONSO DE OLIVEIRA	BOLSISTA - DOUTORADO	LNLS
CARLOS ALBERTO SEPULVEDA LANZIANO	BOLSISTA - DOUTORADO	LNLS
CAROLINE LYDIE MOULS	BOLSISTA - DOUTORADO	LNLS
WILLIAN TAKEMITSU SHIGEYOSI	BOLSISTA - DOUTORADO	LNLS
LIA BERALDO DA SILVEIRA BALESTRIN	BOLSISTA - DOUTORADO	LNLS
RAFAEL FERREIRA DA COSTA VESCOVI	BOLSISTA - DOUTORADO	LNLS
NATHALY LOPEZ ARCHILHA	BOLSISTA - DOUTORADO	LNLS
ANA FLAVIA SUZANA	BOLSISTA - DOUTORADO	LNLS
FRANCINE RAMOS SCHEFFER	BOLSISTA - DOUTORADO	LNLS
LEANDRO DAS MERCES SILVA	BOLSISTA - DOUTORADO	LNNANO
JULIAN ARNALDO AVILA DIAZ	BOLSISTA - DOUTORADO	LNNANO
JULIAN DAVID ESCOBAR ATEHORTUA	BOLSISTA - DOUTORADO	LNNANO
VITOR HUGO BALASCO SERRAO	BOLSISTA - DOUTORADO	LNNANO
RAMIRO JOSE CHAMORRO CONEO	BOLSISTA - DOUTORADO	LNNANO
SANTIAGO MAYA JOHNSON	BOLSISTA - DOUTORADO	LNNANO

INGRID DAVID BARCELOS	BOLSISTA - DOUTORADO	LNNANO
LIDIANE SILVA FRANQUI	BOLSISTA - DOUTORADO	LNNANO
ANA FLAVIA NASCIMENTO	BOLSISTA - DOUTORADO	LNNANO
ANA PAOLA KIM SARAVIA	BOLSISTA - DOUTORADO	LNNANO
MARIANA MASCHIETTO	BOLSISTA - JOVEM PES	LNBIO
RENATO AUGUSTO CORREA DOS SANTOS	BOLSISTA - MESTRADO	CTBE
MARJORIE MENDES GUARENIGHI	BOLSISTA - MESTRADO	CTBE
JOSE ALBERTO DIOGO	BOLSISTA - MESTRADO	CTBE
CAMILA VIANA VIEIRA	BOLSISTA - MESTRADO	CTBE
CAMILA CRISTINA SANCHEZ	BOLSISTA - MESTRADO	CTBE
LAUREN MAINE SANTOS MENANDRO	BOLSISTA - MESTRADO	CTBE
LUCIANE FENDER COERINI	BOLSISTA - MESTRADO	CTBE
GUILHERME KEPPE ZANINI	BOLSISTA - MESTRADO	CTBE
FELIPE CALZADO	BOLSISTA - MESTRADO	CTBE
ANTONIO ADALBERTO KAUPERT NETO	BOLSISTA - MESTRADO	CTBE
ROBSON TRAMONTINA	BOLSISTA - MESTRADO	CTBE
ELIAS FEITOSA ARAUJO	BOLSISTA - MESTRADO	CTBE
MARINA FERNANDES COSATE DE ANDRADE	BOLSISTA - MESTRADO	CTBE
CINDY JOHANNA SARMIENTO ARDILA	BOLSISTA - MESTRADO	CTBE
ALLAN RICHARD GOMES MUNFORD	BOLSISTA - MESTRADO	CTBE
ROBERTA MARIA MENEGALDO TAVARES SOARES DAL'MAS	BOLSISTA - MESTRADO	CTBE
ELISA MAGALHAES DE MEDEIROS	BOLSISTA - MESTRADO	CTBE
MARCELA DO SOCORRO DE OLIVEIRA LEE	BOLSISTA - MESTRADO	CTBE
THAYNARA CORADINI PIN	BOLSISTA - MESTRADO	CTBE
FELIPE CARDOSO RAMOS	BOLSISTA - MESTRADO	CTBE
LUIZ EDUARDO BIAZI	BOLSISTA - MESTRADO	CTBE
AMERICO TAVARES RANZANI	BOLSISTA - MESTRADO	LNBIO
GABRIEL LORENCINI FIORIN	BOLSISTA - MESTRADO	LNBIO
TABATA PERES CARDOSO	BOLSISTA - MESTRADO	LNBIO
CAROLINA CARNEIRO SOARES MACED	BOLSISTA - MESTRADO	LNBIO
TABATA REENEE DORATIOTO	BOLSISTA - MESTRADO	LNBIO
LUCIANA DE SOUSA PARADELA	BOLSISTA - MESTRADO	LNBIO
NATHALIA DE CARVALHO INDOLFO	BOLSISTA - MESTRADO	LNBIO
ARTHUR ZANETTI NUNES FERNANDES	BOLSISTA - MESTRADO	LNBIO
VITOR HUGO DE OLIVEIRA AMANCIO	BOLSISTA - MESTRADO	LNBIO
IRENE LAYANE DE SOUSA	BOLSISTA - MESTRADO	LNBIO
FELIPE ALONSO MARTINS	BOLSISTA - MESTRADO	LNBIO
GABRIEL GUARANY DE ARAUJO	BOLSISTA - MESTRADO	LNLS
LARA MALDANIS CERQUEIRA PERES	BOLSISTA - MESTRADO	LNLS
RICARDO DIOGO RIGHETTO	BOLSISTA - MESTRADO	LNNANO
WILLIAM SANTOS MAGALHAES	BOLSISTA - MESTRADO	LNNANO
ELISA SILVA FERREIRA	BOLSISTA - MESTRADO	LNNANO
TATIANA PARRA VELLO	BOLSISTA - MESTRADO	LNNANO

LAIS LUZ RODRIGUES NETO	BOLSISTA - MESTRADO	LNNANO
VICTOR TSUNEICHI CHIDA PAIVA	BOLSISTA - MESTRADO	LNNANO
FRANCINE COA	BOLSISTA - MESTRADO	LNNANO
MICHAEL FELIPE DE SOUZA	BOLSISTA - PCI	CTBE
VALBER FLORENCIO FERREIRA	BOLSISTA - PCI	LNBIO
LARISSA VIVEIRO DAMACENO	BOLSISTA - PCI	LNBIO
RAFAEL DE FELICIO	BOLSISTA - PCI	LNBIO
JESSICA MARCELINO TOSCARO	BOLSISTA - PCI	LNBIO
ERIKA BATISTA FRANCIOLLI	BOLSISTA - PCI	LNBIO
JOICE CAROLINA DE OLIVEIRA LEAL	BOLSISTA - PCI	LNBIO
SCARLET KIRSCHNER PAZINI	BOLSISTA - PCI	LNBIO
XIMENA ELIZABETH PUENTES MARTINEZ	BOLSISTA - PCI	LNLS
RAFAEL SILVA NUNES	BOLSISTA - PCI	LNLS
FERNANDA LOPES DE FIGUEIREDO	BOLSISTA - TECNICO	CTBE
GISELE NUNES RODRIGUES	BOLSISTA - TECNICO	CTBE
LUZ ADRIANA ALVAREZ TORO	BOLSISTA - TECNICO	CTBE
EDUARDO CAPELARI RENZANO	BOLSISTA - TECNICO	CTBE
CLEILTON SANTOS LIMA	BOLSISTA - TECNICO	CTBE
LEANDRO POMPILIO SACCHI	BOLSISTA - TECNICO	CTBE
CARLA ALOIA CODIMA	BOLSISTA - TECNICO	CTBE
LUCAS DANIEL LAVANSOSKI DOS SANTOS	BOLSISTA - TECNICO	CTBE
RHUBIA SILVEIRA MARTINS	BOLSISTA - TECNICO	LNBIO
LETICIA SAYURI SHIROMA	BOLSISTA - TECNICO	LNNANO
BEATRIZ STANGHERLIN SANTUCCI	BOLSISTA - DOUTORADO	CTBE
GUILHERME ADALBERTO FERREIRA CASTIONI	BOLSISTA - DOUTORADO	CTBE
REGIANE ALVES DE OLIVEIRA	BOLSISTA - DOUTORADO	CTBE
HELDER VERAS RIBEIRO FILHO	BOLSISTA - DOUTORADO	LNBIO
VANESSA ISABEL TARDILLO SUAREZ	BOLSISTA - DOUTORADO	LNLS
SAIMON FILIPE COVRE DA SILVA	BOLSISTA - DOUTORADO	LNNANO
LUIS GUILHERME FURLAN ABREU	BOLSISTA - INICIACAO CIENTIFICA	CTBE
MARCELO VENTURA RUBIO	BOLSISTA - INICIACAO CIENTIFICA	CTBE
KEILA SUEMI KAWAKAMI	BOLSISTA - INICIACAO CIENTIFICA	CTBE
GIOVANNA LOPES REY PEINADO	BOLSISTA - INICIACAO CIENTIFICA	CTBE
GUSTAVO FRIZARIN PEREIRA FERRAZ	BOLSISTA - INICIACAO CIENTIFICA	CTBE
IURAN DE SOUZA GONCALVES	BOLSISTA - INICIACAO CIENTIFICA	CTBE
LUANA OLIVEIRA DOS SANTOS	BOLSISTA - INICIACAO CIENTIFICA	CTBE
RAYSA GEVARTOSKY	BOLSISTA - INICIACAO CIENTIFICA	CTBE
RODRIGO AKIRA FRE	BOLSISTA - INICIACAO CIENTIFICA	CTBE
DEBORAH REGINA MENDES	BOLSISTA - INICIACAO CIENTIFICA	CTBE
GABRIEL DEL ALAMO CARDOSO DE MORAES	BOLSISTA - INICIACAO CIENTIFICA	CTBE
HENRIQUE DERCOLI	BOLSISTA - INICIACAO CIENTIFICA	CTBE
ALINE ELOISA ASSAD SILVA	BOLSISTA - INICIACAO CIENTIFICA	CTBE
PAULA QUINTANILLA CUESTA	BOLSISTA - INICIACAO CIENTIFICA	CTBE

AGNES CRISTINA PIMENTEL	BOLSISTA - INICIACAO CIENTIFICA	CTBE
BEATRIZ IARA CABRAL E PACHECO	BOLSISTA - INICIACAO CIENTIFICA	CTBE
BIANCA TORRES DOS SANTOS	BOLSISTA - INICIACAO CIENTIFICA	CTBE
GUILHERME NEVES TRINDADE	BOLSISTA - INICIACAO CIENTIFICA	CTBE
ELIANE SILVA DE SANTANA	BOLSISTA - INICIACAO CIENTIFICA	CTBE
RAFAELA ELIAS DA SILVA	BOLSISTA - INICIACAO CIENTIFICA	CTBE
ALINE YOCHIKAWA	BOLSISTA - INICIACAO CIENTIFICA	CTBE
YASMIN CAPONE MILANEZ	BOLSISTA - INICIACAO CIENTIFICA	CTBE
GRAZIELE PATRICIA MORGADO	BOLSISTA - INICIACAO CIENTIFICA	CTBE
MICHAEL ALEX DOS SANTOS	BOLSISTA - INICIACAO CIENTIFICA	CTBE
MARIA THEREZA NONATO DE PAULA	BOLSISTA - INICIACAO CIENTIFICA	CTBE
NATALIA PEIXOTO CALDERARI	BOLSISTA - INICIACAO CIENTIFICA	CTBE
PEDRO OTAVIO MARQUES SCHICHI	BOLSISTA - INICIACAO CIENTIFICA	CTBE
ALINE VILLANOVA BRIDI	BOLSISTA - INICIACAO CIENTIFICA	LNBIO
IGOR FREDERICO DE SOUZA CUSTOD	BOLSISTA - INICIACAO CIENTIFICA	LNBIO
MATEUS AUGUSTO BELLOMO AGRELLO RUIVO	BOLSISTA - INICIACAO CIENTIFICA	LNBIO
BRUNA DOMINGUES VIEIRA	BOLSISTA - INICIACAO CIENTIFICA	LNBIO
IZABEL CRISTINA R.L.C.N.SILVA	BOLSISTA - INICIACAO CIENTIFICA	LNBIO
JORGE TAKAO YUZAWA	BOLSISTA - INICIACAO CIENTIFICA	LNBIO
LUANA NUNES SANTOS	BOLSISTA - INICIACAO CIENTIFICA	LNBIO
JAQUELINE SANITA SILVA	BOLSISTA - INICIACAO CIENTIFICA	LNBIO
DANIEL GERMANO TRAVIESO	BOLSISTA - INICIACAO CIENTIFICA	LNBIO
TAISA RIBEIRO FERREIRA	BOLSISTA - INICIACAO CIENTIFICA	LNBIO
ALBANE COIRIER LE MAIRE	BOLSISTA - INICIACAO CIENTIFICA	LNBIO
JOAO VICTOR DA SILVA GUERRA	BOLSISTA - INICIACAO CIENTIFICA	LNBIO
CAMILA MORAES DE QUEIROZ	BOLSISTA - INICIACAO CIENTIFICA	LNBIO
IGOR ROVINA GAVA	BOLSISTA - INICIACAO CIENTIFICA	LNLS
MURILLO IZIDORO SANTOS	BOLSISTA - INICIACAO CIENTIFICA	LNLS
ARTHUR EDUARDO PASTORE DE LIMA	BOLSISTA - INICIACAO CIENTIFICA	LNLS
KAUAN MUCHIUTTE RODRIGUES	BOLSISTA - INICIACAO CIENTIFICA	LNLS
MAIARA EMER	BOLSISTA - INICIACAO CIENTIFICA	LNLS
GABRIEL BUENO DE MORAES FIOR	BOLSISTA - INICIACAO CIENTIFICA	LNLS
ALEXANDRE DIAS BARBOSA	BOLSISTA - INICIACAO CIENTIFICA	LNLS
GABRIEL MATHEWS VIANA	BOLSISTA - INICIACAO CIENTIFICA	LNLS
JOAO CARLOS CERQUEIRA	BOLSISTA - INICIACAO CIENTIFICA	LNLS
GUILHERME PESSOA NOGUEIRA	BOLSISTA - INICIACAO CIENTIFICA	LNLS
LEONARDO SANTANA PINTO	BOLSISTA - INICIACAO CIENTIFICA	LNLS
GABRIELA EGERLAND BUENO	BOLSISTA - INICIACAO CIENTIFICA	LNLS
EDUARDO HENRIQUE DE TOLEDO POLDI	BOLSISTA - INICIACAO CIENTIFICA	LNLS
GUILHERME HENRIQUE DE OLIVEIRA	BOLSISTA - INICIACAO CIENTIFICA	LNLS
FELIPE FERRAZ MORGADO DE OLIVEIRA	BOLSISTA - INICIACAO CIENTIFICA	LNLS
ISIS FRIGERI MANALI	BOLSISTA - INICIACAO CIENTIFICA	LNLS
MARIANA PASTORE FOGAGNOLI	BOLSISTA - INICIACAO CIENTIFICA	LNLS

JOSE CARLOS SALLES JUNIOR	BOLSISTA - INICIACAO CIENTIFICA	LNLS
FRANCESCO GIUSEPPE CAROTTI	BOLSISTA - INICIACAO CIENTIFICA	LNLS
JONAS PINHEIRO AMATO	BOLSISTA - INICIACAO CIENTIFICA	LNLS
KARINE SILVA ALCANTARA	BOLSISTA - INICIACAO CIENTIFICA	LNLS
LUCAS GIULIANO MURDIGA DE MORAIS	BOLSISTA - INICIACAO CIENTIFICA	LNLS
JESSYCA NOBRE PEREIRA	BOLSISTA - INICIACAO CIENTIFICA	LNNANO
RODRIGO LENZI ROCHA	BOLSISTA - INICIACAO CIENTIFICA	LNNANO
TIAGO DE OLIVEIRA CARVALHO	BOLSISTA - INICIACAO CIENTIFICA	LNNANO
ALFREDO JOSE FLREZ ARIZA	BOLSISTA - INICIACAO CIENTIFICA	LNNANO
AUGUSTO GUILHEN	BOLSISTA - INICIACAO CIENTIFICA	LNNANO
ANA CLAUDIA FINGOLO	BOLSISTA - INICIACAO CIENTIFICA	LNNANO
TIAGO PEREIRA DOS REIS	BOLSISTA - INICIACAO CIENTIFICA	LNNANO
MARCOS FELIPE GOMES MONTEIRO	BOLSISTA - INICIACAO CIENTIFICA	LNNANO
CAIQUE DE CARVALHO SOUZA	BOLSISTA - INICIACAO CIENTIFICA	LNNANO
MARCOS RODRIGO ALBORGHETTI	BOLSISTA - POS DOUTORADO	LNBIO
ANTONIO AUGUSTO MALFATTI GASPERINI	BOLSISTA - POS DOUTORADO	LNLS
DEBORA MOTTA MEIRA	BOLSISTA - POS DOUTORADO	LNLS
BRUNA MEDEIA DE CAMPOS	BOLSISTA - POS DOUTORADO	LNBIO
ADRIANA SANTOS SOPRANO	BOLSISTA - POS DOUTORADO	LNBIO
JOICE HELENA PAIVA	BOLSISTA - POS DOUTORADO	LNBIO
ANGELA SAITO	BOLSISTA - POS DOUTORADO	LNBIO
PATRICIA CASTELLEN	BOLSISTA - POS DOUTORADO	LNBIO
ANDRE RICARDO DE LIMA DAMASIO	BOLSISTA - POS DOUTORADO	CTBE
DANIELA CAMPOS GRANATO	BOLSISTA - POS DOUTORADO	LNBIO
BRUNA DE SOUZA MORAES	BOLSISTA - POS DOUTORADO	CTBE
JULIANA MARTINS DE SOUZA E SILVA	BOLSISTA - POS DOUTORADO	LNLS
MARILIA MEIRA DIAS	BOLSISTA - POS DOUTORADO	LNBIO
LUCAS GONCALVES PEREIRA	BOLSISTA - POS DOUTORADO	CTBE
CARLA BOTELHO MACHADO	BOLSISTA - POS DOUTORADO	CTBE
MARCOS DJUN BARBOSA WATANABE	BOLSISTA - POS DOUTORADO	CTBE
PEDRO SCHIO DE NORONHA MUNIZ	BOLSISTA - POS DOUTORADO	LNLS
CARLO DONATO SIMOES CAIAFA FELICIANO DE CARVALHO	BOLSISTA - POS DOUTORADO	LNBIO
DIEGO MARIO RUIZ	BOLSISTA - POS DOUTORADO	LNBIO
VALERIA ROSANA TUROWSKI	BOLSISTA - POS DOUTORADO	LNBIO
SAMIRA ZOUHIR	BOLSISTA - POS DOUTORADO	LNBIO
MURILO DE CARVALHO	BOLSISTA - POS DOUTORADO	LNBIO
FABIANA BOMBONATO MINGOSSI	BOLSISTA - POS DOUTORADO	CTBE
PRISCILA VAZ DE ARRUDA	BOLSISTA - POS DOUTORADO	CTBE
FRANCISCO CARLOS BARBOSA MAIA	BOLSISTA - POS DOUTORADO	LNLS
ALEXANDRE MONTEIRO SOUZA	BOLSISTA - POS DOUTORADO	CTBE
VIVIANE CRISTINA HEINZEN DA SILVA	BOLSISTA - POS DOUTORADO	CTBE
ALBERTO Giaroli de OLIVEIRA PEREIRA BARRETTO	BOLSISTA - POS DOUTORADO	CTBE
LUCIANE ALESSANDRA CHIMETTO TO	BOLSISTA - POS DOUTORADO	LNBIO

ANTONIO Djalma Nunes FERRAZ JU	BOLSISTA - POS DOUTORADO	CTBE
DANIEL AUGUSTO CANTANE	BOLSISTA - POS DOUTORADO	LNLS
CARLA ANDREIA FREIXO PORTELA	BOLSISTA - POS DOUTORADO	CTBE
FABRICIO DE SOUZA DELITE	BOLSISTA - POS DOUTORADO	LNNANO
ELAINE CRESPIM	BOLSISTA - POS DOUTORADO	CTBE
SIMONE TONI RUIZ CORREA	BOLSISTA - POS DOUTORADO	CTBE
HUGO MASSAYOSHI SHIMO	BOLSISTA - POS DOUTORADO	LNBIO
VALERIA MAFRA	BOLSISTA - POS DOUTORADO	CTBE
ANGELA ALBUQUERQUE TEIXEIRA NETO	BOLSISTA - POS DOUTORADO	LNNANO
MARCELO VIZONA LIBERATO	BOLSISTA - POS DOUTORADO	CTBE
LEONARDO NAZARIO DA SILVA DOS SANTOS	BOLSISTA - POS DOUTORADO	CTBE
ROSILAINA ARALDI	BOLSISTA - POS DOUTORADO	CTBE
FLAVIO HENRIQUE MOREIRA DE SOUZA	BOLSISTA - POS DOUTORADO	LNBIO
SAMANTHA CHRISTINE SANTOS	BOLSISTA - POS DOUTORADO	CTBE
RUTE ALVES PEREIRA E COSTA	BOLSISTA - POS DOUTORADO	LNBIO
ANTONIO CARLOS BORGES	BOLSISTA - POS DOUTORADO	LNNANO
BRUNO DOS SANTOS PASCOALINO	BOLSISTA - POS DOUTORADO	LNBIO
THIAGO AUGUSTO DE LIMA BURGO	BOLSISTA - POS DOUTORADO	LNNANO
JOSE FERNANDO CUADROS BOHORQUE	BOLSISTA - POS DOUTORADO	CTBE
WENDELL SIMOES E SILVA	BOLSISTA - POS DOUTORADO	LNLS
VINICIUS FERNANDES NUNES DA SILVA	BOLSISTA - POS DOUTORADO	CTBE
PAULA RODRIGUES OBLESSUC	BOLSISTA - POS DOUTORADO	LNBIO
ZAIRA CLEMENTE	BOLSISTA - POS DOUTORADO	LNNANO
RAFAEL FURLAN DE OLIVEIRA	BOLSISTA - POS DOUTORADO	LNNANO
REBECA LEITE DE ALMEIDA	BOLSISTA - POS DOUTORADO	LNBIO
NAGAMPALLI RAGHAYEHDR A SASHI KRISHHA	BOLSISTA - POS DOUTORADO	LNBIO
THIAGO JOSE DE ALMEIDA MORI	BOLSISTA - POS DOUTORADO	LNLS
LUCAS RIOS DO AMARAL	BOLSISTA - POS DOUTORADO	CTBE
MARCELO ALEXANDRE DE FARIA	BOLSISTA - POS DOUTORADO	LNNANO
ALEJANDRO RICO CAMPOS	BOLSISTA - POS DOUTORADO	CTBE
KARIM BOUCHMELLA	BOLSISTA - POS DOUTORADO	LNLS
BRUNA SOARES FERNANDES	BOLSISTA - POS DOUTORADO	CTBE
ZEYAU ISLAM	BOLSISTA - POS DOUTORADO	LNBIO
CINTHIA RUBIO URBANO DA SILVA	BOLSISTA - POS DOUTORADO	CTBE
ADRIANA CHEAVEGATTI GIANOTTO	BOLSISTA - POS DOUTORADO	CTBE
SILVIA FERNANDA MOYA	BOLSISTA - POS DOUTORADO	LNLS
SUELY PATRICIA COSTA GONCALVES	BOLSISTA - POS DOUTORADO	LNNANO
RADU ALEXANDRU MOISE	BOLSISTA - POS DOUTORADO	LNBIO
NICOLAU MOLINA BOM	BOLSISTA - POS DOUTORADO	LNLS
CARLOS AUGUSTO ESCANHOELA JUNIOR	BOLSISTA - POS DOUTORADO	LNLS
ANA KARINA DE OLIVEIRA	BOLSISTA - POS DOUTORADO	LNBIO
CLOVIS DANIEL BORGES	BOLSISTA - POS DOUTORADO	CTBE
FABIO MACHADO ARDITO	BOLSISTA - POS DOUTORADO	LNLS

AGUSTIN SILVIO PICCO	BOLSISTA - POS DOUTORADO	LNLS
RAFAEL MAFRA DE PAULA DIAS	BOLSISTA - POS DOUTORADO	CTBE

ANEXO 5 – RECOMENDAÇÕES DA COMISSÃO DE AVALIAÇÃO DO CONTRATO DE GESTÃO

Recomendações/Sugestões da Comissão de Avaliação do Contrato de Gestão - Relatório Semestral 2015

Recomendação 1: Indicadores do Contrato de Gestão

Indicador 3– Artigos publicados por pesquisadores externos - Alterar a descrição, explicitando os números absolutos que compõem a forma de cálculo. Além disso, acredita-se que os valores apresentados no histórico do Indicador diferem dos apresentados no Relatório Anual de 2014. Sugere-se utilizar uma única nomenclatura para a base de dados utilizada (*Web of Science*).

Indicador 10 – Memorandos Técnicos. A CA identificou, no Relatório Semestral, duas oportunidades de Memorandos. Ainda, o Diretor Geral informou que há farto material disponível para a elaboração de tais Memorandos. A CA reafirma a importância deste tipo de registro a ser divulgado pelo Centro.

Indicador 15 – Recursos associados à inovação (na página 36 da Parte 03 do Relatório Semestral) - Rever os comentários, descrevendo de forma mais clara e objetiva a origem e a composição dos recursos obtidos pelo CNPEM – se por meio de aporte direto de empresas ou com interveniência de agências de financiamento.

Providências: no quadro de indicadores, que compõe o anexo 1 do Relatório 2015, foram atendidas todas as observações da Comissão de Avaliação quanto aos indicadores 3, 10 e 15, a saber:

- Indicador 3: foram explicitados os valores absolutos do número de artigos publicados entre 2013 e 2015 (numerador) e do número de usuários das instalações abertas do CNPEM em 2013 (denominador) e identificada a base *Web of Science* como base de informação para os artigos indexados.
- Indicador 10 – corroborando a importância atribuída pela Comissão ao indicador, o número de memorandos produzidos e publicados pelos Laboratórios Nacionais em 2015 foi muito superior à meta estabelecida para o ano.
- Indicador 15 – nos comentários, foram explicitados os valores diretamente aportados por empresas e os valores recebidos de instituições públicas de fomento e/ou de origem pública (BNDES, FINEP, EMBRAPII) em projetos de inovação.

Recomendação 2: Incluir no Anexo 3 – Lista de Bolsistas e Pós-Doutores, na Parte 03 do Relatório Semestral 2015 – a especificação dos Programas de Pós-Graduação aos quais os mesmos estão vinculados.

Providências: foram reformulados procedimentos internos e o formulário para levantamento de informações sobre os bolsistas, de forma que a recomendação da Comissão possa ser atendida já no Relatório Semestral 2016.

Recomendação 3: A CA entende que para a consolidação do Centro seja definido um plano de carreira que inclua a possibilidade de atingimento de posição permanente (exemplo, figura do *tenure*).

Providências: não foram encontrados meios para atender a esta recomendação. Compreende-se a justa preocupação da Comissão com o fortalecimento de um ambiente propício ao exercício das atividades de pesquisa no CNPEM, especialmente por meio da criação de um horizonte de longo prazo para os integrantes da carreira científica. O novo plano de carreira aprovado em 2013 foi também motivado por essa preocupação. No entanto, a recomendação de garantia de posição permanente a pessoas da carreira científica, em analogia ao modelo público, não é compatível com o estatuto jurídico da Organização Social

e com as características do Contrato de Gestão. Outros mecanismos de estímulo deverão ser concebidos para estimular a produção interna de pesquisa científica de qualidade elevada que requer do CNPEM.

Recomendação 4: A CA recomenda que se retome as ações voltadas à inovação do Centro – a política de inovação do CNPEM -, para a valorização dos resultados obtidos nas atividades de pesquisa e investigação realizadas na instituição. A partir das visitas realizadas nos Laboratórios, pode-se verificar produtos resultantes de pesquisa sem um acompanhando das possibilidades de sua exploração comercial.

Providências: a direção do CNPEM, com forte apoio do Conselho de Administração, vem buscando meios para reforçar a agenda de inovação, hoje um dos eixos de atuação institucional. As parcerias viabilizadas no âmbito do Projeto Sirius, com o apoio financeiro de Finep e Fapesp, voltadas à participação de empresas brasileiras na solução dos grandes desafios tecnológicos do projeto de construção da nova Fonte de Luz Síncrotron é um dos melhores e mais bem-sucedidos exemplos desse esforço. Cabe enfatizar que está em análise um conjunto de ações estruturadas nessa direção, envolvendo: utilização da rede de relacionamentos do CNPEM para o desenho de estratégias conjuntas com atores relevantes na formulação de políticas de inovação e políticas setoriais, como BNDES, ABDI, SEBRAE; parcerias com grandes empresas; incentivo a start ups; mecanismos de incentivo aos pesquisadores internos, entre outras. A melhor divulgação das grandes linhas de pesquisa do CNPEM e de suas competências também deverá ser um instrumento importante para fortalecer a ação institucional de apoio à inovação.

Recomendação 5: Dimensão Nacional do Centro - desenvolver mecanismos e instrumentos de descentralização e ação nacional dos laboratórios junto aos institutos de pesquisa e inovação nas diversas regiões brasileiras.

Providências: além das ações na área de comunicação para dar escala à divulgação das pesquisas desenvolvidas nos Laboratórios Nacionais do CNPEM e das oportunidades de uso de suas instalações abertas, em 2015 foram realizados esforços adicionais visando à capacitação de pesquisadores de outras regiões brasileiras, à atração de novos usuários e à qualificação de agentes públicos em temas e técnicas de domínio do CNPEM. Destacam-se quatro exemplos:

Curso de Introdução a técnicas de luz síncrotron na Universidade Federal da Bahia (UFBA)

Ministrado no Instituto de Física da UFBA, o curso foi aberto à comunidade científica e teve a participação de alunos e professores de diversos programas de pós-graduação da UFBA, além de pesquisadores da iniciativa privada (Ford) e de outras universidades (IFBA, UFRB e UNEB). No total, foram cerca de 70 participantes, com uma média de 25 participantes por aula. O curso ocorreu entre 2 de março e 10 de julho.

Os temas abordados foram: geração de luz síncrotron e funcionamento do LNLS; interação da radiação com a matéria; difração de raios X (difração de pó, monocrystal e difração de superfície); reflectometria de raios X; espalhamento de baixo ângulo (SAXS); espectroscopia de raios X duros (XANES e EXAFS); espectroscopia no ultravioleta; espectroscopia e dicroísmo em raios X moles (XAS, XMCD e XLD); e técnicas de imagem usando raios X (XTM, microXANES, PEEM).

Esse foi um projeto-piloto do LNLS, que deve ser reproduzido em outros locais do País.

Curso para Caracterização Físico-Química e Testes Celulares em Medicamentos Biológicos

O curso, realizado entre abril e junho de 2015, teve como principal objetivo atualizar os servidores da Agência Nacional de Vigilância Sanitária (ANVISA) sobre as mais modernas técnicas para avaliação físico-química e funcional de proteínas recombinantes, utilizadas como princípios ativos de medicamentos biológicos. O treinamento compreendeu 21 horas de aulas teóricas, realizadas na sede da ANVISA em

Brasília, e 10 horas de atividades práticas nas instalações do LNBio, no campus do CNPEM, em Campinas. Pesquisadores do LNBio, especialistas em diferentes áreas, ministraram aulas sobre espectrometria de massas; ensaios de absorção, fluorescência, espalhamento de luz e thermal shift; dicroísmo circular; ultracentrifugação analítica; calorimetria; espectroscopia por ressonância magnética nuclear e ensaios baseados em células avaliados por microscopia multiparamétrica. Cerca de 40 servidores da Agência participaram do curso.

II Workshop on Recent Advances and Applications in Confocal and Widefield Microscopy

O Workshop, realizado pelo LNBio em parceria com a Leica, ocorreu no segundo semestre de 2015. 92 pessoas estiveram presentes, com 75% de frequência: cinco graduandos, quatro técnicos, 26 alunos de pós-graduação (mestrando e doutorando), 18 pós-doutorando, dois mestres, 17 doutores, 24 pós-doutores, além de oito pesquisadores com nível acadêmico desconhecido. Essas pessoas representaram 25 instituições de pesquisas das seguintes localidades: BA (5); DF (1); GO (1); MG (1); PB (2); PR (1); RJ (9); RS (2); SP (68) e Canadá (1).

V Workshop de Microfluídica

O Workshop de Microfluídica foi realizado nos dias 23 a 24 de julho, com a participação de mais de 130 participantes provenientes de 10 estados brasileiros. Professores, estudantes e profissionais de 20 universidades, seis centros de pesquisa e 11 empresas aproveitaram os dois dias do evento para apresentar trabalhos, discutir ideias e estimular novas cooperações.

A direção do CNPEM partilha das preocupações da Comissão de Avaliação de que, por seu caráter nacional, o Centro deverá desenvolver estratégias para dar maior escala a seus esforços voltados a parcerias com empresas e pesquisadores de outras regiões brasileiras, atração e capacitação de novos usuários para as suas instalações e a participação na formulação de políticas públicas em suas áreas de atuação.

Nesse sentido, está em discussão com alguns destacados laboratórios brasileiros com pesquisa em nanotecnologia a proposta de constituição de uma rede nacional com o CNPEM, compartilhando infraestrutura, pessoal e temas de pesquisa relevantes para o País. Esse modelo poderá servir de base a outras iniciativas semelhantes em áreas de atuação do CNPEM.

Recomendação Anterior com atendimento previsto para 2015

Recomendações/Sugestões da CA no Relatório Anual 2013

Recomendação 2: Fazer constar nos relatórios anuais os documentos de avaliação dos Comitês Científicos dos diferentes laboratórios, assim como feito pelo LNNano no Relatório Anual 2013.

Comentário da CA na Reunião Anual 2014: RECOMENDAÇÃO MANTIDA. A CA registra que o CNPEM justificou que a recomendação apenas poderá ser atendida no Relatório Anual de 2015.

Providência: foi incluído neste Relatório, como Anexo 6, documento-síntese das recomendações dos Comitês Científicos dos Laboratórios Nacionais do CNPEM.

ANEXO 6: Informações Complementares

Quadro 1 - Pontuação da Avaliação Geral da CACG entre 2010 e 2014

INDICADOR	PONTUAÇÃO				
	2010	2011	2012	2013	2014
Avaliação Geral da Comissão	9,23	9,15	9,2	9,5	9,5

Quadro 2 - Histórico dos valores repassados pelo Contrato de Gestão (em R\$)

Fonte	2010	2011	2012	2013	2014	2015
MCTI	28.340.000	70.340.000	74.537.145	80.560.350	62.020.733	72.100.000
Outras Fontes	17.751.000	-	3.193.330	21.287.667	38.266.660	-
Restos a Pagar MCTI	-	21.000.000	20.000.000	17.925.916	85.058.993	61.339.616
Total Geral	46.091.000	91.340.000	97.730.475	119.773.933	185.346.386	133.439.616

Quadro 3 - Valores repassados pelo Contrato de Gestão em 2015 (em R\$)

Fonte	Termo Aditivo	Valor	Data
MCTI	13º TA	25.100.000	15/10/2015
	13º TA	20.000.000	21/10/2015
	13º TA	14.000.000	16/11/2015
	13º TA	7.000.000	27/11/2015
	13º TA	2.000.000	04/12/2015
	13º TA	4.000.000	14/12/2015
	10º TA	6.000.000	23/01/2015
	11º TA	2.000.000	23/01/2015
	10º TA	12.539.617	11/02/2015
	11º TA	8.800.000	16/03/2015
	12º TA	2.000.000	16/03/2015
	11º TA	2.000.000	24/03/2015
	12º TA	7.799.999	24/03/2015
	12º TA	200.000	11/05/2015
	11º TA	20.000.000	14/05/2015
Total MCTI		133.439.616	

Quadro 4 - Contas Bancárias (em R\$)

Banco	Agencia	Conta	Saldo em 31.12.2015
Banco do Brasil	3360-x	200.305-8	3.312.328
Banco do Brasil	3360-x	200.306-6	3.878.911
Banco do Brasil	3360-x	5665-0	1.345.753
Banco do Brasil	3360-x	5671-5	24.384.155
Banco do Brasil	3360-x	5387-2	22.524.568
Banco do Brasil	3360-x	1268-8	4.565.509
Banco do Brasil	3360-x	5664-2	9.234.306
Bradesco	339-8	10815-4	9.660.073
Bradesco	339-8	10716-6	13.455.857
Banco Rendimento (Cartão Viagem)			47.065
Suprimentos de Fundos (em Espécie)			12.451
Caixa Moeda Estrangeira (em Espécie)			3.305
Total Geral			92.424.280

Quadro 5 - Demonstração de Receitas Auferidas (em R\$)

Receitas	2015
Contrato de Gestão - MCTI	72.100.000
Restos a Pagar do Contrato de Gestão	61.339.616
Receita de Convênios	18.581.955
Receitas Financeiras	12.898.926
Receita com Prestação de Serviços	2.030.227
Outras Receitas	639.659
Total Geral	167.590.383

Quadro 6 - Saldos Financeiros apropriados como Recursos do Contrato de Gestão (em R\$)

	2015
Saldo Financeiros em 31/12	92.424.280

Quadro 7 - Plano de Ação Pactuado para o Contrato de Gestão 2015 - exceto projetos (em R\$)

13º TERMO ADITIVO - AÇÃO 212H

CNPEM - visão por programas	Orçamento Contratado	Orçamento Executado
Programa de Operação e Manutenção	22.476.735	21.717.823
Laboratório Nacional de Luz Sincrotron	9.810.707	9.314.107
Laboratório Nacional de Biociências	1.001.741	1.327.762
Laboratório Nacional de Ciência e Tecnologia do Bioetanol	1.191.913	662.251
Laboratório Nacional de Nanotecnologia	771.251	1.567.248
Gestão e Manutenção Geral	9.701.123	8.846.454
Programa de Atualização Institucional	2.700.191	389.938
Gestão e Manutenção Geral	2.700.191	389.938
Programas Temáticos Integrados	2.394.420	176.369
Unidade Embrapii - Processamento e Aproveitamento de Biomassa	22.000	11.239
Bolsas de Verão	148.000	16.837
Projeto Interdisciplinar em PD&I nas áreas de competência do CNPEM	1.330.000	148.043
Plataforma Integrada de Engenharia e Instrumentação	894.420	251
Pessoal	55.428.654	53.812.769
Custeio e Investimento	27.571.346	22.284.130
Total	83.000.000	76.096.898

Quadro 8 - Valores de Saldo Financeiro pactuados no 13º Termo Aditivo ao Contrato de Gestão (em R\$)*

	Posição inicial 2015	Posição final 2015
Reserva Técnica do Conselho de Administração**	16.956.735	18.894.379
Recursos destinados a metas iniciadas em exercícios anteriores	30.790.326	4.628.330

Notas: (*) Exclui saldos financeiros dos projetos.

(**) Corresponde à parcela da reserva técnica para passivos contingentes. A variação de valor corresponde a rendimentos financeiros.

ANEXO 7 – Documento Síntese dos Comitês Científicos do CNPEM



REPORT OF THE CNPEM SCIENTIFIC ADVISORY COMMITTEE

20 August 2015

1. Introduction

The first meeting of the CNPEM Scientific Advisory Committee (SAC) took place on August 20th 2015 at the CNPEM campus in Campinas, Brazil. The committee comprised two representatives from each of the SACs of the National Laboratories (NLs) that make up CNPEM: LNLS, LNBio, LNNano and CTBE. A list of members of the committee is given in the Appendix. This meeting followed the individual two-day meetings of each NL-SAC.

The morning session consisted, firstly, of brief presentations by the SAC representatives of the reviews undertaken of each NL. These were followed by an in-depth discussion of the recommendations to be proposed for further integration of, and collaboration between, the 4 NLs, with a focus on the application and use of the new fourth-generation synchrotron, one of the two under construction in the world and scheduled for user operation in 2020. More specifically, the CNPEM SAC was asked to consider the following points:

- Enabling synergies between the National Laboratories.
- Common research lines and relevant interdisciplinary projects.

In the afternoon session the recommendations of the CNPEM SAC were presented to, and discussed with, the CNPEM director-general and the four NL directors.

2. Summary of recommendations

1) Overarching mission statements and new strategic plans for CNPEM and for each NL are necessary. These need to have a global vision and to emphasize that the NLs at CNPEM are the best places in Brazil to undertake research in the fields they represent. Outreach to all layers of Brazilian society is required: politicians, the general public, the scientific community, etc.

2) Career structures for staff need to be put in place. Consideration in this regard should be given to high-quality deliverables such as: responsibilities, scientific output, technical developments. It is important that each member of staff be assessed on an annual basis so he/she has a clear understanding of what his / her role in the institution is and is given encouragement and guidance, where needed. Such assessments of all staff would also help the management in their awareness and planning.

3) The present management structure is too flat; each researcher in effect reports directly to the Director of his / her NL. There needs to be an extra layer of management below the Director in each NL to establish more effective mentoring as well as clearer scientific and technical direction.

4) The research program of each NL needs clearer focus, concentrating on the priorities which have been established in alignment with the mission statements of both that NL and CNPEM. Key scientific projects have to be established.

5) Sufficient funding is crucial for each NL to be successful. In this regard all the NLs require a higher level of funding. Increased funding from the appropriate Brazilian

agencies should also be sort to send young researchers overseas (e.g. to international synchrotron facilities) to learn about the latest scientific developments and to develop their experimental skills.

- 6) A regular CNPEM-wide seminar program (with both internal and external speakers) should be established.
- 7) Seed money should be provided by CNPEM for joint NL projects, i.e. for bottom-up proposals from PIs in more than one NL.
- 8) Steering committees need to be established for each NL, as well as CNPEM (these should comprise: lab directors, some PIs, external advisors)

3. SAC Meeting organization

CNPEM SAC considered it an excellent idea to organize a meeting aiming to discuss and search for ways to promote synergies and joint-projects among the NLs. It congratulates the CNPEM management for this initiative. It would recommend, however, that its members receive, with sufficient time, all the 4 NL reports in order to have a broader view of the campus activities and make more efficient use of the time available for discussion. A suggestion to consider, for future meetings, is for a general overview of the various campus activities to be given in an introductory presentation. However, CNPEM SAC understands that this may be difficult to fit in to an already full agenda.

4. Funding for CNPEM

The overall funding situation of CNPEM is at a critical point. Although the construction of SIRIUS has up to now been well funded, all the National Laboratories require higher levels of funding to be sustainable and successful. In more detail:

- LNBio, LNNano have a totally inadequate level of funding for national laboratories. Their current level of funding is insufficient for them to fulfill even their present modest goals. Indeed, the present level of funding threatens their existence as national laboratories. It is strongly recommended to increase their funding, in a sustainable manner, in order to upgrade their activities to the level of a true national laboratory (by international standards) and to be able to fulfill their missions.
- CTBE is a well equipped laboratory. For an efficient utilization of its resources it depends on funds to support component development, specific instrumentation, buying external services and hiring the necessary manpower (engineering development, technical support). Some of the funds should come from co-sponsors (e.g. private sector such as sugar cane industry, equipment manufacturers), but it must have the means to invest in its own ideas and to develop their internal programs.

- LNLS seems to be well funded up to now in regard to the construction of the new light source (SIRIUS). However, the following major concerns regarding LNLS funding should be considered:
 - It is necessary to assure regular funding for the construction of SIRIUS in line with the schedule. Delays in the deliverance of such a modern facility would result in a severe loss for the scientific community, as well as for the financial investment itself.
 - SIRIUS will offer a gamut of new experiments aiming to solve twenty-first century scientific challenges that the country and the region are facing. This requires, not only the development of the facilities but also of the technical and scientific skills amongst the user community. It is necessary to assure the necessary funding for LNLS to hire the scientific and technical staff required to develop and to promote the new experimental facilities.
 - The operation of the UVX light source during the construction of SIRIUS, and during the transition period between the two light sources, should be guaranteed. Presently, the operation of UVX is adequately funded but regular cash flow is a concern.
- Overall funding for CNPEM is necessary to ensure that the National Laboratories fulfill their missions. In particular, CNPEM should have sufficient available funds to promote further integration among the laboratories and for promoting the use of their facilities amongst the users. Recommendations in this regard follow below.
- Finally, funding for CNPEM should be stable and sufficient to guarantee careers so as to enable the hiring and retention of top-level scientists and technicians, who are fundamental for the success of the National Laboratories. A program to send young researchers overseas (e.g. to the leading synchrotron facilities), to learn about new areas of science and to develop their skills in regard to the experimental facilities, is crucial for the success of SIRIUS and its integration with the other National Laboratories. Funding agencies could participate in this effort.

5. Mission and focus of CNPEM and the National Laboratories

The 4 National Laboratories at present have different organizational structures and targets in regard to their scientific work. A possible path to reorganize the activities would start by the establishment of an overarching mission statement for CNPEM. A new strategic plan for CNPEM should be established that reflects the goals of the National Laboratories. As part of this new strategic organization each National Laboratory should establish its own mission statement in line with the CNPEM mission.

The research activities at the three of the National Laboratories, CTBE, LNBio, LNNano, should have a clearer focus. They have to organize their activities to excel scientifically so as to become the reference laboratory in their respective scientific areas. Their research activities should be organized to address the big scientific questions. The role of each laboratory regarding its scientific mission and its role as a facility should be clearly established. More specifically:

- Key scientific projects aligned with the laboratory focus and the CNPEM missions should be established and prioritized.
- LNBio is a spectacular facility with a well-established focus on their activities, centered on neglected human diseases and synthetic biology. However, improvements on focusing the research efforts towards a common goal is possible, particularly to cover some areas (e.g. establishing a chemistry laboratory) not yet fully developed.
- LNNano has an excessively diverse scientific agenda. It is necessary to establish a clear scientific focus and to regroup the scientific efforts towards a common goal.
- CTBE has a different role, with a more applied scientific and technological agenda. However, it should search for a more scientific approach in its activities.
- LNLS has a clear mission to be responsible for providing the synchrotron light source and experimental stations. Its scientific programs should be coordinated with the other National Laboratories.

An outreach effort should be made, probably centralized by CNPEM, to establish CNPEM, with its unique National Laboratories, more firmly and to make clear to the community in general that CNPEM is the best place to perform the work stated in its mission. This should reach all layers of the community, from the policy makers (Government, Congress, etc), to the community in general, as well as the scientific community. In particular, young scientists and science students should perceive CNPEM as the place to be at to develop an ambitious career and to achieve their personal goals.

6. Organization and career structure

The general impression is that the laboratories have an excessively flat management structure. It is recommended to expand the management layers, to deal more effectively with all aspects of management, including mentoring, scientific and technical direction, etc. Career structures should be put in place for all staff. In this regard the diversity of the different National Laboratories within CNPEM needs to be considered. Career structures should consider all aspects: responsibilities, scientific output, technical developments. The evaluation procedure should include:

- An annual assessment of the activities undertaken and the research results obtained by each individual.
- In regard to the scientific activities, in particular, this would be an opportunity to make clear that excellence and ambitious scientific projects are the goals to achieve.

These procedures should help CNPEM and the National Laboratory directors to achieve more effective management of their various activities.

7. CNPEM scientific integration

CNPEM SAC recognizes that there is some existing collaboration among the National Laboratories, but this is at an insufficient level. CNPEM should foster further integration among the National Laboratories. This should consider all aspects: administrative, technical and scientific. Greater cooperation among the National Laboratories would give an opportunity to establish additional experimental techniques and scientific expertise, enabling the development of ground-breaking and ambitious scientific projects. CNPEM must be recognized as *the* place in Brazil to develop new scientific projects, at the frontier, but also for defining the scientific challenges for the country. This opportunity should not be missed. Some actions in this direction are:

- To establish key scientific projects (top-down) that fully take into account CNPEM's research capabilities. A task-force should be assigned to establish and monitor these projects, and sufficient support (funding, facility access, etc) should be guaranteed.
- To develop a program (bottom-up) with seed money for CNPEM projects. These projects should look into well-chosen areas, which are aligned to the CNPEM and National Laboratories goals. These projects must involve facilities and principle investigators from more than one National Laboratory.
- To develop a student program with projects coupling principal investigators from different National Laboratories.
- To develop a CNPEM-wide seminar program, on a regular basis, with external and internal speakers.
- To develop a program for the exchange of international specialists (e.g. for four month periods) to help develop new scientific ideas and techniques.

8. SIRIUS and the other National Laboratories

The construction of SIRIUS, a fourth-generation synchrotron light source at the frontier and one of the few in the world under construction, opens up a unique opportunity for the other National Laboratories to re-think and re-orient some of their research activities. Together with their own experimental facilities, CNPEM will house a world class facility in the various areas of expertise: materials, nanosystems, biosystems, energy. This will benefit the research goals of all the National Laboratories. At the present time, however, the National Laboratories seem to be somewhat dissociated from the construction of SIRIUS, in particular, its experimental stations, and, more worrisome, they do not seem to be aware of the scientific opportunities that will become available. The recommendations listed under item 7 should be at least partially focus on involving and preparing for the advent of SIRIUS. Furthermore:

- Technical and scientific experts should be hired to integrate the National Laboratories with the SIRIUS experimental stations under development. A possible scheme for aiding integration could be that these new researchers report to both SIRIUS and National Laboratories managers.

Appendix 1

2015 CNPEM SAC Membership

- **José Antônio Brum** (chairman) UNICAMP/Brazil brum@ifi.unicamp.br
- **Thomas Earnest** SSRF/China Thomas.earnest@sinap.ac.cn
- **Brian Vincent** UnivBristol/UK Brian.Vincent@bristol.ac.uk
- **Bharat Bhushan** OhioSU/USA bhushan.2@osu.edu
- **Alan Leslie Garside** JCUniv/Australia agritrop@bigpond.com
- **Isaias de Carvalho Macedo** UNICAMP/Brazil isaiasmacedo22@terra.com.br
- **Alejandro Vila** CONICET/Argentina alejandroj.vila@gmail.com
- **Stephen Hill** UnivNottingham/UK steve.hill@nottingham.ac.uk

Centro Nacional de Pesquisa em Energia e Materiais - CNPEM

**Relatório dos auditores independentes
sobre as demonstrações financeiras
31 de dezembro de 2015**



Relatório dos auditores independentes sobre as demonstrações financeiras

Aos Administradores do
Centro Nacional de Pesquisa em Energia e Materiais - CNPEM

Examinamos as demonstrações financeiras do Centro Nacional de Pesquisa em Energia e Materiais - CNPEM ("Instituto") que compreendem o balanço patrimonial em 31 de dezembro de 2015 e as respectivas demonstrações do resultado, das mutações do patrimônio líquido e dos fluxos de caixa para o exercício findo nessa data, assim como o resumo das principais políticas contábeis e as demais notas explicativas.

Responsabilidade da administração sobre as demonstrações financeiras

A administração do Instituto é responsável pela elaboração e adequada apresentação dessas demonstrações financeiras, de acordo com as práticas contábeis adotadas no Brasil e ITG 2002 (R1) - "Institutos sem Finalidade de Lucro" - e pelos controles internos que ela determinou como necessários para permitir a elaboração de demonstrações financeiras livres de distorção relevante, independentemente se causada por fraude ou por erro.

Responsabilidade dos auditores independentes

Nossa responsabilidade é a de expressar uma opinião sobre essas demonstrações financeiras com base em nossa auditoria, conduzida de acordo com as normas brasileiras e internacionais de auditoria. Essas normas requerem o cumprimento de exigências éticas pelo auditor e que a auditoria seja planejada e executada com o objetivo de obter segurança razoável de que as demonstrações financeiras estão livres de distorção relevante.

Uma auditoria envolve a execução de procedimentos selecionados para obtenção de evidência a respeito dos valores e das divulgações apresentados nas demonstrações financeiras. Os procedimentos selecionados dependem do julgamento do auditor, incluindo a avaliação dos riscos de distorção relevante nas demonstrações financeiras, independentemente se causada por fraude ou por erro.

Nessa avaliação de riscos, o auditor considera os controles internos relevantes para a elaboração e adequada apresentação das demonstrações financeiras do Instituto para planejar os procedimentos de auditoria que são apropriados nas circunstâncias, mas não para expressar uma opinião sobre a eficácia desses controles internos do Instituto. Uma auditoria inclui também a avaliação da adequação das políticas contábeis utilizadas e a razoabilidade das estimativas contábeis feitas pela administração, bem como a avaliação da apresentação das demonstrações financeiras tomadas em conjunto.

Acreditamos que a evidência de auditoria obtida é suficiente e apropriada para fundamentar nossa opinião.



Centro Nacional de Pesquisa em Energia e Materiais - CNPEM

Opinião

Em nossa opinião, as demonstrações financeiras acima referidas apresentam adequadamente, em todos os aspectos relevantes, a posição patrimonial e financeira do Centro Nacional de Pesquisa em Energia e Materiais - CNPEM em 31 de dezembro de 2015, o desempenho de suas operações e os seus fluxos de caixa para o exercício findo nessa data, de acordo com as práticas contábeis adotadas no Brasil aplicáveis para Institutos sem fins lucrativos.

Ênfase

Chamamos a atenção para a Nota 1 às demonstrações financeiras, onde descreve que o Instituto possui como principal fonte de receita de suas operações o contrato com o MCTI – Ministério de Ciência, Tecnologia e Inovação, o qual possui vigência até setembro de 2016. De acordo com as informações da administração do Instituto, a renovação do contrato se encontra em andamento, entretanto, até o encerramento dos trabalhos de auditoria, não houve a formalização de sua renovação. Essa situação, suscita dúvida substancial sobre sua continuidade operacional. As demonstrações financeiras não incluem quaisquer ajustes em virtude dessas incertezas. Nossa opinião não está ressalvada em virtude desse assunto.

Outros Assuntos

O exame das demonstrações financeiras do exercício findo em 31 de dezembro de 2014, preparadas originalmente antes dos ajustes descritos na Nota 2.1, foi conduzido sob a responsabilidade de outros auditores independentes, que emitiram relatório de auditoria, com data de 6 de fevereiro de 2015, sem ressalvas.

Como parte de nosso exame das demonstrações financeiras de 2015, examinamos também os ajustes descritos na Nota 2.1 que foram efetuados para alterar as demonstrações financeiras de 2014, apresentadas para fins de comparação. Em nossa opinião, tais ajustes são apropriados e foram corretamente efetuados. Não fomos contratados para auditar, revisar ou aplicar quaisquer outros procedimentos sobre as demonstrações financeiras do Instituto referentes ao exercício de 2014 e, portanto, não expressamos opinião ou qualquer forma de asseguração sobre as demonstrações financeiras de 2014 tomadas em conjunto.

Campinas, 29 de fevereiro de 2016

PricewaterhouseCoopers
Contadores Públicos Ltda.
CRC 2SP023173/O-4 "F"

Rafael Alvim Guimarães
Contador CRC RJ 104572/O-0

CENTRO NACIONAL DE PESQUISA EM ENERGIA E MATERIAIS - CNPEM

Balanço patrimonial

31 de dezembro de 2015

(Valores expressos em milhares de reais)

Ativo

	Nota	2015	2014 Reclassificado (nota 2.1)
Circulante			
Caixa e equivalentes de caixa - sem restrição	4	4.623	3.932
Caixa e equivalentes de caixa - com restrição	4	21.237	27.332
Aplicações financeiras - sem restrição	4	22.397	46.361
Aplicações financeiras - com restrição	4	66.208	78.371
Convênios/projetos e subvenções a receber	5	259.797	61.340
Contas a receber		1.154	502
Estoques		383	372
Adiantamento a fornecedor		869	640
Impostos a recuperar		177	17
Outros ativos	6	3.991	4.506
Total do ativo circulante		380.836	223.373
Não circulante			
Realizável em longo prazo			
Depósitos judiciais	11	7.286	6.378
Imobilizado			
Imobilizado - Sem restrição	7	142.371	139.203
Imobilizado - Com restrição	7	155.583	57.717
Intangível			
Intangível - Sem restrição	7	2.553	2.515
Intangível - Com restrição	7	748	391
		308.541	206.204
Total do ativo		689.377	429.577

As notas explicativas da administração são parte integrante das demonstrações financeiras.

CENTRO NACIONAL DE PESQUISA EM ENERGIA E MATERIAIS - CNPEM

Balanço patrimonial

31 de dezembro de 2015

(Valores expressos em milhares de reais)

Passivo e patrimônio líquido

Circulante

	Nota	2015	2014
Fornecedores	8	5.686	683
Salários, férias e encargos a pagar	9	9.424	5.624
Recursos de convênios/projetos e subvenções	10		204.537
		375.997	
Outras obrigações	11	3.205	2.325
		394.312	213.169

Não circulante

Outras obrigações		-	328
Provisão para contingências	12	14.107	12.334
Recursos de convênios/projetos e subvenções LP	10	152.967	37.308
		167.074	49.970

Patrimônio líquido

Patrimônio social

Total do passivo e do patrimônio líquido			
		689.377	429.577

As notas explicativas são parte integrante das demonstrações contábeis.

CENTRO NACIONAL DE PESQUISA EM MATERIAIS E ENERGIA – CNPEM

Demonstração do resultado

Exercícios findos em 31 de dezembro de 2015 e 2014
(Valores expressos em milhares de reais)

	Nota	2015	2014 Reclassificado Nota 2.1
Receitas operacionais com desenvolvimento tecnológico			
Com restrição			
Reconhecimento subvenções Federais - Projeto Sirius		18.990	16.652
Reconhecimento subvenções Federais - Projeto Biotec		550	1.529
Reconhecimento subvenções Federais - Projeto Sisnano		47	108
Reconhecimento receitas sobre depreciação de projetos		3.980	2.619
		<u>23.567</u>	<u>20.908</u>
Sem restrição			
Subvenções federais		44.917	76.313
Serviços prestados		2.246	1.005
Atividades administrativas		503	70
Rendimentos financeiros		4.982	5.703
		<u>52.648</u>	<u>83.091</u>
Custos das atividades de desenvolvimento tecnológico			
Salários, encargos e despesas relacionadas	14	(57.612)	(53.072)
Depreciação e amortização	14	(14.279)	(11.695)
Serviços de terceiros	14	(10.595)	(10.192)
Material de consumo e outros	14	<u>(5.268)</u>	<u>(9.879)</u>
		<u>(87.754)</u>	<u>(84.838)</u>
Superávit (Déficit) bruto		<u>(11.539)</u>	<u>19.161</u>
Despesas operacionais			
Administrativas			
Salários, encargos e despesas relacionadas		(14.556)	(19.886)
Depreciação e amortização		(1.351)	(863)
Serviços de terceiros		(8.967)	(10.652)
Material de consumo		(981)	(553)
Viagens		(349)	(236)
		<u>(26.204)</u>	<u>(32.190)</u>
Despesas financeiras e tributárias			
Impostos e taxas	14	(1.217)	(1.351)
Resultado de variação cambial, líquida	14	227	(931)
Outros resultados operacionais, líquidos		1.566	1.152
Déficit do exercício		<u>(37.167)</u>	<u>(14.159)</u>

As notas explicativas são parte integrante das demonstrações financeiras.

Em 2015 e 2014, o Instituto não apresentou resultados abrangentes em suas operações, motivo pelo qual não está sendo apresentado a demonstração do resultado abrangente.

**CENTRO NACIONAL DE PESQUISA EM MATERIAIS E ENERGIA -
CNPEM**

Demonstração das mutações do patrimônio líquido

Exercícios findos em 31 de dezembro de 2015 e 2014

(Valores expressos em milhares de reais)

	Nota	Patrimônio Social	Total
Saldo em 1º de janeiro de 2014		180.597	180.597
Ajuste de exercício anterior		(1.280)	(1.280)
Saldos em 1º de janeiro de 2014 (reapresentado)		179.317	179.317
Déficit do exercício		(14.159)	(14.159)
Saldos em 31 de dezembro de 2014 (reapresentado)		165.158	165.158
Déficit do exercício		(37.167)	(37.167)
Saldos em 31 de dezembro de 2015	13	127.991	127.991

As notas explicativas são parte integrante das demonstrações financeiras.

Demonstração dos fluxos de caixa
Exercícios findos em 31 de dezembro de 2015 e 2014
(Valores expressos em milhares de reais)

	2015	2014
Fluxos de caixa das atividades operacionais		
Déficit do exercício	(37.167)	(14.159)
Ajustes para conciliar o déficit ao caixa gerado pelas atividades operacionais:		
Rendimento sobre aplicações financeiras	(3.240)	(3.123)
Variações monetárias, líquidas	227	-
Variações monetárias de Projeto, líquidas	140	-
Resultado na alienação de bens do ativo imobilizado	219	(15)
Provisões para Contingências	1.773	6.787
Depreciações e amortizações	<u>15.630</u>	<u>13.123</u>
	(22.418)	2.613
Variações nos ativos e passivos operacionais:		
Convênios/projetos e subvenções a receber	(198.457)	23.719
Contas a receber	(652)	(321)
Estoques	(11)	295
Impostos a recuperar	(160)	-
Outros ativos	515	(3.561)
Depósitos judiciais	(908)	42
Fornecedores	5.003	(613)
Salários, férias e encargos a pagar	3.800	(198)
Recursos de convênios/projetos e subvenções	285.839	81.221
Adiantamento a Clientes	-	1
Outras obrigações	<u>552</u>	<u>(1.335)</u>
	95.521	99.250
Fluxo de caixa líquidos, gerado pelas atividades Operacionais:	73.103	101.863
Fluxo de caixa das atividades de investimentos		
Adições ao imobilizado e intangível	(117.874)	(44.406)
Aplicações financeiras	<u>39.367</u>	<u>(46.743)</u>
Fluxo de caixa líquidos, gerado pelas atividades de Investimento	(78.507)	(91.149)
Aumento (redução) de caixa e equivalentes de caixa	(5.404)	10.714
Demonstração da variação de caixa e equivalentes de caixa:		
No início do exercício	31.264	20.550
No fim do exercício	<u>25.860</u>	<u>31.264</u>
Aumento (redução) de caixa e equivalentes de caixa	(5.404)	10.714

As notas explicativas da administração são parte integrante das demonstrações contábeis.

1. Contexto operacional

O Centro Nacional de Pesquisa em Energia e Materiais – CNPEM (“CNPEM”, “Instituição” ou “Instituto”) – é uma Organização Social. A denominação passou a ser utilizada em 2012, em substituição à Associação Brasileira de Tecnologia de Luz Síncrotron (“ABTLus”), pessoa jurídica de Direito Privado sem fins lucrativos, qualificada como Organização Social pelo Decreto nº 2.405, de 26 de novembro de 1997. O CNPEM tem por missão, promover e contribuir para o desenvolvimento científico e tecnológico do País, por meio de seus Laboratórios Nacionais, que articulará, provendo-os das condições necessárias para a consecução de suas respectivas missões e o alcance de seus objetivos estratégicos, afins com os do Instituto.

O CNPEM atua em cumprimento ao Contrato de Gestão estabelecido com o Ministério da Ciência, Tecnologia e Inovação (“MCTI”), visando o desenvolvimento de ciência, tecnologia e inovação em quatro Laboratórios Nacionais, a saber: o Laboratório Nacional de Luz Síncrotron (“LNLS”); o Laboratório Nacional de Biociências (“LNBio”); o Laboratório Nacional de Ciência e Tecnologia do Bioetanol (“CTBE”) e o Laboratório Nacional de Nanotecnologia (“LNNano”).

O mencionado Contrato de Gestão MCTI/CNPEM suporta o custeio das atividades desenvolvidas nos quatro Laboratórios Nacionais. Os resultados esperados constituem metas pactuadas anualmente, denominados Indicadores de Desempenho Técnico, aplicáveis a todos os Laboratórios Nacionais. A cada semestre, uma Comissão de Acompanhamento e Avaliação, integrada por representantes de Institutos Públicas, avalia o desempenho do CNPEM, por meio de inspeção local e análise de documentação apresentada.

Cabe registrar que o CNPEM é presentemente responsável por um novo projeto de engenharia científica, a cargo da equipe técnico-científica do LNLS: a construção de uma nova Fonte de Luz Síncrotron (“SIRIUS”), de quarta geração, para o qual o MCTI tem aportado recursos financeiros específicos.

Em setembro de 2010, o Contrato de Gestão foi renovado contemplando o período de 2010 a 2016 e pactuado um orçamento total para sua vigência no montante de aproximadamente R\$478.446 com desembolsos financeiros anuais. Durante o exercício de 2015, foi firmado o 13º Termo Aditivo, pactuando R\$331.896.

O atual contrato de Gestão firmado entre o CNPEM e o MCTI, conforme explicado nesta nota 1, finda-se em setembro de 2016 e sua renovação está em linha com o cronograma definido pelo MCTI. As negociações já foram iniciadas e o próximo

passo é a emissão do parecer acerca dos resultados obtidos em 2015 pelo CNPEM, a ser emitido pela Comissão de Acompanhamento e Avaliação do Contrato de Gestão – CAACG, prevista para março de 2016.

A emissão dessas demonstrações financeiras foi autorizada pelo Diretor geral, em 29 de março de 2016.

2. Elaboração e apresentação das demonstrações financeiras

As demonstrações financeiras foram elaboradas e estão sendo apresentadas de acordo com as práticas contábeis adotadas no Brasil, incluindo as disposições da Resolução do Conselho Federal de Contabilidade nº 1.409/12, que aprovou a Interpretação Técnica ITG 2002 – Institutos sem Finalidade de Lucros.

As práticas contábeis adotadas no Brasil compreendem aquelas incluídas na legislação societária brasileira e os pronunciamentos, as orientações e as interpretações técnicas emitidas pelo Comitê de Pronunciamentos Contábeis (CPC) e aprovados pelo Conselho Federal de Contabilidade (CFC).

A preparação de demonstrações financeiras em conformidade com as referidas normas requer o uso de certas estimativas contábeis críticas e também o exercício de julgamento por parte da administração do Instituto no processo de aplicação das práticas contábeis. As áreas que requerem maior nível de julgamento e possuem maior complexidade, bem como aquelas cujas premissas e estimativas são significativas para as demonstrações financeiras, estão divulgadas na nota explicativa 3.4.

2.1 Reapresentação de saldos iniciais

O Instituto reclassificou suas demonstrações contábeis, relativos aos saldos iniciais, conforme segue:

- Balanço patrimonial - Adiantamento a fornecedores – Em 2014, o Instituto reconheceu nesta rubrica, o valor de R\$19.729, referente a adiantamentos para construção de ativo imobilizado com restrição. Desta forma, realizou a reclassificação deste montante para o grupo de imobilizado na reapresentação das demonstrações financeiras. Em 2013, não havia saldo na referida rubrica.
- Demonstração do resultado do exercício – Receita de subvenção – Em 2014, o Instituto reconheceu o montante de R\$2.619 referente a receita de

subvenção, no grupo de Despesas com atividades de desenvolvimento tecnológico. Desta forma, realizou a reclassificação para o grupo de Receitas de subvenção na reapresentação de suas demonstrações financeiras.

- Demonstração do fluxo de caixa – Em 2014, o Instituto classificou as aquisições de imobilizado e intangível, bem como as variações da rubrica Aplicações financeiras no grupo de atividades operacionais. Desta forma, realizou a reclassificação na reapresentação de suas demonstrações financeiras, para o grupo de atividade de investimento.
- Demonstração das mutações do patrimônio líquido – o Instituto efetuou o ajuste nos saldos iniciais no patrimônio líquido no valor de R\$1.280, referente a doações reconhecidas em anos anteriores.

O balanço de 1º de janeiro de 2014 não está sendo reapresentado, pois não efeito material nas demonstrações financeiras.

3. Principais práticas contábeis

3.1. Moeda funcional e de apresentação das demonstrações financeiras

As demonstrações financeiras foram preparadas e estão apresentadas em Reais (R\$), que é a moeda funcional do Instituto. A moeda funcional foi determinada em função do ambiente econômico primário de suas operações.

3.2. Moeda estrangeira

As transações em moeda estrangeira, isto é, todas aquelas que não foram realizadas na moeda funcional do Instituto, foram convertidas pela taxa de câmbio na data em que as transações foram realizadas. Ativos e passivos monetários em moeda estrangeira são convertidos para a moeda funcional do Instituto pela taxa de câmbio na data-base das demonstrações financeiras.

3.3. Instrumentos financeiros

a. Ativos financeiros

Os ativos financeiros do Instituto estão classificados como empréstimos e recebíveis.

Ativos financeiros são reconhecidos inicialmente ao valor justo, acrescidos, no caso de ativos não designados a valor justo por meio do resultado, dos custos de transação que sejam diretamente atribuíveis à aquisição do ativo financeiro.

Os principais ativos financeiros do Instituto incluem caixa e equivalentes de caixa, aplicações financeiras, convênios/projetos e subvenções a receber, contas a receber e outros ativos.

Caixa e Equivalentes de Caixa

São representadas por dinheiro em caixa, saldos em conta corrente (bancos) e investimentos temporários de curto prazo de liquidez imediata, registradas pelos valores de custo acrescidos dos rendimentos até as datas dos balanços, que não excedem os seus valores de mercado ou de realização. Normalmente, as aplicações financeiras que, na data de sua aquisição, têm prazo de vencimento igual ou menor que três meses são registrados como equivalentes de caixa.

As disponibilidades, denominadas “sem restrição”, são originadas principalmente de recursos providos pelo Ministério da Ciência, Tecnologia e Inovação - MCTI, destinados ao custeio das atividades do Instituto.

As disponibilidades, denominadas “com restrição”, são destinadas para desenvolvimento dos Projetos SIRIUS, SisNano e BIOTEC.

b. Ativos financeiros--Continuação

Aplicações financeiras

São valores aplicados em debêntures e tratam-se de títulos emitidos por terceiros, cujos vencimentos ocorreram entre janeiro de 2016 a março de 2020, classificadas como empréstimos e recebíveis e são mensuradas pelo custo amortizado por meio do resultado, possuindo liquidez imediata.

Subvenções a receber

As subvenções governamentais são reconhecidas em conformidade com o CPC 07 - Subvenção e assistência governamentais aprovada pela Resolução CFC nº 1.305/10, sendo registradas como Subvenções a receber pelo acordado em contrato até o efetivo recebimento.

Mensuração de ativos financeiros

Ativos financeiros são reconhecidos inicialmente ao valor justo, acrescidos, no caso de ativos não designados a valor justo por meio do resultado, dos custos de transação que sejam diretamente atribuíveis à aquisição do ativo financeiro.

A mensuração subsequente de ativos financeiros é realizada por meio do resultado (superávit), sendo aqueles adquiridos com o objetivo de venda no curto prazo são apresentados no balanço patrimonial a valor justo, com os correspondentes ganhos ou perdas reconhecidas na demonstração do resultado.

As perdas por redução ao valor recuperável são reconhecidas como despesa financeira no resultado.

Um ativo financeiro (ou, quando for o caso, uma parte de um ativo financeiro ou parte de um grupo de ativos financeiros semelhantes) é baixado quando:

a. Ativos financeiros--Continuação

Subvenções a receber--Continuação

Mensuração de ativos financeiros--Continuação

- Os direitos de receber fluxos de caixa dos ativos expiram; ou
- O Instituto transfere os seus direitos de receber fluxos de caixa do ativo ou assume uma obrigação de pagar integralmente os fluxos de caixa recebidos, sem demora significativa, a um terceiro por força de um acordo de “repasse”; e - O Instituto transfere substancialmente todos os riscos e benefícios do ativo, ou transfere o controle sobre o ativo.

b. Passivos financeiros

Mensuração de passivos financeiros

O Instituto determina a classificação dos seus passivos financeiros no momento do seu reconhecimento inicial. Passivos financeiros são inicialmente reconhecidos a valor justo. Após reconhecimento inicial, os passivos financeiros são mensurados subsequentemente pelo custo amortizado, utilizando o método da taxa efetiva de juros. Ganhos e perdas são reconhecidos na demonstração do resultado (superávit/déficit) no momento da baixa dos passivos, bem como durante o processo de amortização pelo método da taxa efetiva de juros.

b. Passivos financeiros--Continuação

Mensuração de passivos financeiros--Continuação

Um passivo financeiro é baixado quando a obrigação for revogada, cancelada ou expirar. Quando um passivo financeiro existente for substituído por outro do mesmo montante com termos substancialmente diferentes, ou os termos de um passivo existente forem significativamente alterados, essa substituição ou alteração é tratada como baixa do passivo original e reconhecimento de um novo passivo, sendo a diferença nos correspondentes valores contábeis reconhecida na demonstração do resultado.

Os passivos financeiros do Instituto incluem contas a pagar a fornecedores e outras obrigações.

c. Instrumentos financeiros – apresentação líquida

Ativos e passivos financeiros são apresentados líquidos no balanço patrimonial se, e somente se, houver um direito legal corrente e executável de compensar os montantes reconhecidos e se houver a intenção de compensação, ou de realizar o ativo e liquidar o passivo simultaneamente.

d. Valor justo de instrumentos financeiros

O valor justo de instrumentos financeiros ativamente negociados em mercados financeiros organizados é determinado com base nos preços de compra cotados no mercado no fechamento dos negócios na data do balanço, sem dedução dos custos de transação.

O valor justo de instrumentos financeiros para os quais não haja mercado ativo é determinado utilizando técnicas de avaliação. Essas técnicas podem incluir o uso de transações recentes de mercado (com isenção de interesses); referência ao valor justo corrente de outro instrumento similar; análise de fluxo de caixa descontado ou outros modelos de avaliação.

3.3. Estimativas contábeis

São utilizadas para a mensuração e reconhecimento de certos ativos e passivos das demonstrações financeiras do Instituto. A determinação dessas estimativas levou em consideração experiências de eventos passados e correntes, pressupostos relativos a eventos futuros e outros fatores objetivos e subjetivos. Itens significativos sujeitos a estimativas incluem:

- i) a seleção de vidas úteis do imobilizado e intangível;
- ii) a provisão para contingências; e
- iii) a mensuração do valor justo de instrumentos financeiros.

A liquidação das transações envolvendo essas estimativas poderá resultar em valores divergentes dos registrados nas demonstrações financeiras devido às imprecisões inerentes ao processo de sua determinação. O Instituto revisa suas estimativas e premissas pelo menos anualmente.

3.4. Demais ativos e passivos, circulantes e não circulantes

a. Imobilizado e Intangível

É registrado ao custo de aquisição, formação, construção ou aos valores atribuídos às doações patrimoniais e deduzidos da depreciação acumulada.

O valor residual e a vida útil estimada dos bens são revisados e ajustados, se necessário, na data de encerramento do exercício.

Os ativos denominados “sem restrição”, são originados principalmente de recursos providos pelo Ministério da Ciência, Tecnologia e Inovação - MCTI, destinados ao custeio das atividades do Instituto.

Os ativos denominados “com restrição”, são destinados investimento em desenvolvimento dos Projetos SIRIUS, SisNano e BIOTEC.

a. *Imobilizado e Intangível*-Continuação

A depreciação e a amortização são calculadas de forma linear ao longo da vida útil do ativo, à taxas que levam em consideração a vida útil estimada dos bens, estando assim em conformidade com o CPC 27.

O parágrafo 3º do artigo 183 da Lei nº 6.404/76, modificado pela Lei nº 11.638/07 e Lei nº 11.941/09, determina que o Instituto deverá efetuar, periodicamente, análise sobre a recuperação dos valores registrados no imobilizado e no intangível, a fim de que sejam registradas as perdas de valor do capital aplicado quando houver decisão de interromper os empreendimentos ou atividades a que se destinavam ou quando comprovado que não poderão produzir resultados suficientes para recuperação desse valor (*impairment*) e revisados e ajustados os critérios utilizados para determinação da vida útil econômica estimada para cálculo da depreciação e amortização.

A Administração revisa anualmente o valor contábil líquido dos ativos com o objetivo de avaliar eventos ou mudanças nas circunstâncias econômicas, operacionais ou tecnológicas, que possam indicar deterioração ou perda de seu valor recuperável. Quando tais evidências são identificadas, ou seja, o valor contábil líquido excede o valor recuperável, é constituída provisão para deterioração ajustando o valor contábil líquido ao valor recuperável.

Os ativos são agrupados e avaliados de acordo com os fluxos de caixa gerados pelo ativo ou grupo de ativos que representem uma unidade geradora de caixa independente. Uma perda é reconhecida com base no montante pelo qual o valor contábil excede o valor provável de recuperação de um ativo ou grupo de ativos de longa duração.

b. *Recursos de convênios e projetos*

São recursos captados junto a agências de fomento, com destinação específica nos projetos aprovados e registrados como passivo pelo valor de contrato até a efetiva destinação dos recursos. Em seguida passam a ser mensurados com base na movimentação dos valores substancialmente relacionados a rendimentos financeiros decorrentes das aplicações dos recursos não utilizados e dos correspondentes gastos incorridos ou destinação do recurso para ativos imobilizados e intangíveis, conforme CPC 07, conforme Nota explicativa 10.

c. *Saldos dos recursos destinados à implantação do Projeto SIRIUS, Projeto SisNano e BIOTEC*

Pela natureza dos recursos (Subvenção e assistência do Governo Federal), esses valores são tratados conforme determina o CPC 07, cuja aplicação está mencionada na Nota 10.

O registro inicial tem contrapartida no mesmo montante no ativo de convênios/projetos e subvenções a receber. A realização para resultado ocorre nos períodos ao longo dos quais o Instituto reconhece os custos relacionados ao objeto de compensação, portanto, se destinados recursos para aquisição de imobilizado ou intangíveis, a realização da receita acompanha a vida útil dos bens adquiridos.

d. *Outros benefícios a empregados*

Os benefícios concedidos a empregados e administradores do Instituto incluem em adição à remuneração fixa (salários e contribuições para a seguridade social (INSS), férias e 13º salário) o plano de previdência privada de contribuição definida e o vale alimentação. Esses benefícios são registrados no resultado do exercício com base em competência, à medida que são incorridos conforme determina o CPC 33 – Benefícios a Empregados, aprovado pela Resolução CFC nº 1.425/13.

e. *Demais ativos e passivos circulantes e não circulantes*

Os demais ativos e passivos circulantes e não circulantes são demonstrados pelos valores conhecidos ou calculáveis acrescidos, quando aplicável, dos correspondentes encargos, variações monetárias e/ou cambiais incorridas até a data do balanço patrimonial.

3.5 Tributação

O Instituto goza de isenção do imposto de renda e contribuição social sobre o superávit, conforme determinado pela Lei 9.532/97.

3.6 Provisão para contingências

O Instituto registra somente os processos classificados pelos assessores jurídicos como perda provável a valores atualizados (Nota 12), conforme determinação do Pronunciamento Técnico CPC 25 ou NBC T 19.7 - Provisões, Passivos Contingentes e Ativos Contingentes, aprovado pela Resolução CFC nº 1.180/09, no qual as provisões são reconhecidas, pois são baseadas em estimativas confiáveis, são obrigações presentes e indicam que haverá uma saída de recursos para liquidar as obrigações.

3.7 Patrimônio líquido

Constituído pela dotação inicial de seus outorgantes instituidores, o patrimônio líquido é representado pelos superávits e ou diminuído pelos déficits apurados anualmente desde a sua fundação, sem correção monetária, conforme legislação em vigor.

Conforme estatuto social, o Instituto deve aplicar integralmente seus recursos na manutenção de seus objetivos, não podendo, como consequência, distribuir qualquer parcela de seu patrimônio ou de suas rendas a título de lucros ou de participação no seu superávit. Dessa forma, o superávit do exercício é integralmente incorporado ao patrimônio social.

3.8 Demonstração do Resultado

O resultado é apurado pelo regime de competência. As subvenções para custeio dos Projetos SIRIUS, SisNano e do BIOTEC vêm sendo contabilizadas no passivo, sendo que a transferência para o resultado do exercício ocorre com base nas despesas incorridas, seguindo as práticas contábeis adotadas no Brasil. Os gastos com pesquisas são reconhecidos quando incorridos.

As subvenções recebidas de contratos de gestão com ministério público para custeio dos Laboratórios Nacionais (LNLS, LNBio, LNNano e CTBE) são reconhecidas como receitas do exercício no momento do recebimento financeiro do recurso.

A metodologia para rateio dos gastos comuns aos Laboratórios Nacionais é definida e aprovada pela direção do Instituto e periodicamente é revisada e atualizada.

3.9 Trabalho voluntário

Para efeito de cumprimento ao ITG 2002 – Institutos sem Fins Lucrativos, o Instituto identificou e valorizou as atividades recebidas de voluntários durante o exercício de 2015 no montante de R\$115 (R\$183 em 2014). O valor justo foi estimado tendo como referência a quantidade de horas dedicadas à Instituição, multiplicado pelo custo/hora de profissionais do mercado considerando as atividades executadas semelhantes à dos voluntariados bem como seu nível de formação técnica.

4. Caixa e equivalentes de caixa e aplicações financeiras

	2015	2014
Caixa e equivalentes de caixa - sem restrição	4.623	3.932
Caixa e equivalentes de caixa - com restrição	<u>21.237</u>	<u>27.332</u>
Caixa e equivalentes de caixa	<u>25.860</u>	<u>31.264</u>
Debêntures contrato gestão	3.526	30.305
Debêntures reserva do conselho	<u>18.871</u>	<u>16.056</u>
Aplicações financeiras – sem restrição	<u>22.397</u>	<u>46.361</u>
Debêntures projetos	<u>66.208</u>	<u>78.371</u>
Aplicações financeiras – com restrição	<u>66.208</u>	<u>78.371</u>
	<u>114.465</u>	<u>155.996</u>

	2015	2014
Saldos Das Contas Do Contrato De Gestão		
Sem Restrição		
Disponível Moeda Nacional/Estrangeira	92.385	134.422
Bancos Conta Corrente – CNPEM	23.528	47.959
Banco Do Brasil S/A - CDB – CG	63	55
Banco Do Brasil - CDB Res. Conselho	(7)	21
Banco Bradesco - CDB - Res. Conselho	1.039	484
Banco Do Brasil - Debentures – CG	22	-
Banco Bradesco - Debentures - Res. Conselho	-	1.039
Banco Do Brasil - Debentures - Res.Conselho	3.526	30.305
Banco Bradesco - Debentures - Res. Conselho	9.659	7.764
Banco Do Brasil - Debentures - Res.Conselho	9.212	8.291
Com Restrição	68.857	86.463
Conta Corrente - BB – Sirius	-	1
Conta Corrente - Bradesco – Sirius	-	-
Banco Do Brasil - CDB – Sirius	7	410
Conta Corrente - BB – Biotec	1	2
Conta Corrente - Projeto Biotec	-	-
Banco Do Brasil - CDB - Biotec Lima	1.345	-
Conta Corrente - BB – SisNano	-	1
Banco Do Brasil - CDB – Biotec	170	2.140
Banco Do Brasil - CDB – SisNano	437	4.623
Banco Do Brasil - CDB Proj.Sirius Filial	689	915
Banco Bradesco - Debêntures - Sirius	13.412	12.309
Banco Do Brasil - Debêntures - Sirius	22.517	59.625
Banco Do Brasil - Debêntures - SisNano	2.876	415
Banco Do Brasil - Debêntures Sirius Filial	23.695	6.022
Banco Do Brasil - Debêntures Biotec	3.708	-
Saldos Das Contas De Outras Fontes De Recurso		
Sem Restrição		
Banco Do Brasil S/A - CDB – EG	22.080	21.574
	3.492	2.333
	3.492	2.333
Com Restrição		
Bancos Conta Corrente – Convênios	18.588	19.241
Aplicações Financeiras – Convênios	5	245
	18.583	18.996
	114.465	155.996

O caixa e equivalente de caixa estão compostos basicamente por certificados de depósitos bancários que têm prazos de vencimentos entre janeiro de 2016 e novembro de 2020 e as taxas de juros variam de 98% a 100,50% do CDI, possuindo liquidez imediata.

As aplicações financeiras se referem a valores aplicados em debêntures e trata-se de títulos emitidos por terceiros, cujos vencimentos ocorrerão entre janeiro de 2016 a março de 2020 e a remuneração é de 96,0% a 100,50% do CDI.

Todas as aplicações financeiras do Instituto possuem liquidez imediata, podendo ser resgatadas, dependendo simplesmente da necessidade de caixa do Instituto, motivo pelo qual estão classificadas no ativo circulante.

Em 2015, o saldo financeiro caixa e equivalentes de caixa e aplicações financeiras foi de R\$114.465, sendo que recursos do Contrato de Gestão, constitui a reserva técnica de R\$23.528: i) R\$4.635 destinados à Reserva Operacional do CNPEM; ii) R\$18.893 à Reserva do Conselho de Administração, conforme definido em ata.

A redução no caixa do Instituto no exercício de 2015 ocorreu devido ao atraso no repasse dos recursos contratados junto ao MCTI pelo 13º Termo Aditivo do Contrato de Gestão, conforme demonstrado na Nota 5, na linha do Contrato de gestão de operação, no montante de R\$ 55.901.

5. Convênios/projetos e subvenções a receber

	2014	Adição de contratos e aditivos	Baixa por recebimento efetivo	2015
Contrato de gestão de operação	17.818	83.000	(44.917)	55.901
Projeto Sirius	28.177	240.619	(72.176)	196.620
Projeto SisNano	10.346	8.277	(11.347)	7.276
Projeto Biotec	4.999	-	(4.999)	-
	61.340	331.896	(133.439)	259.797

	2013	Adição de contratos e aditivos	Baixa por recebimento efetivo	2014
Contrato gestão de operação	12.779	81.350	(76.311)	17.818
Projeto Sirius	57.580	64.530	(93.933)	28.177
Projeto SisNano	10.780	10.746	(11.180)	10.346
Projeto Biotec	3.920	4.999	(3.920)	4.999
	85.059	161.625	(185.344)	61.340

Os valores acima se referem aos montantes a receber de convênios/projetos e subvenções detalhados na nota explicativa 10.

6. Outros Ativos

	2015	2014
Adiantamentos	2.454	4.306
Despesas antecipadas	1.422	16
Outros	115	184
	3.991	4.506

O saldo de adiantamento é composto basicamente de recursos adiantados aos convênios e ao despachante aduaneiro. Como despesa antecipada temos o licenciamento do uso de software, cujo prazo é de 1 ano.

7. Imobilizado e Intangível

	Depreciação/a mortização % a.a.	Custo	Depreciação/a mortização acumulada	2014	
				2015	Reapresentad o Nota 2.1
Equipamentos de pesquisa	10 a 29	125.888	(63.712)	62.176	65.950
Móveis e utensílios	10 e 15	48.788	(19.283)	29.505	29.262
Equipamentos de computação	10 a 40	8.483	(5.451)	3.032	3.294
Edifícios	4	42.799	(4.729)	38.070	34.939
Veículos	20	1.033	(299)	734	499
Bens desenvolvimento interno		-	-		1.387
Importação em andamento		6.143	-	6.143	821
Obras em andamento		-	-		1.983
Imobilizado em andamento		1.258	-	1.258	-
Outros	10	4.726	(3.273)	1.453	1.068
Imobilizado sem restrição		239.118	(96.747)	142.371	139.203
Equipamentos de pesquisa		34.967	(3.243)	31.724	9.153
Móveis e utensílios	10 e 15	3.457	(693)	2.764	2.682
Veículos	20	7	-	7	-
Equipamentos de computação	10 a 40	834	(253)	581	638
Edifícios	4	8.268	(368)	7.900	-
Importação em andamento		-	-		1.366
Adiantamento em andamento		11.419	-	11.419	19.089
Obras em andamento		99.212	-	99.212	24.107
Imobilizado em andamento		1.958	-	1.958	-
Outros		18	-	18	682
Imobilizado com restrição		167.810	(4.558)	155.583	57.717
Total imobilizado		406.928	(101.305)	297.954	196.920
Software sem restrição	14	4.465	(1.912)	2.553	2.515
Software com restrição	14	1.180	(432)	748	391
Total intangível		5.645	(2.344)	3.301	2.906

Movimentação 2015

	Movimentação					
	2014	Adições	Baijas	Transferência	Doações	2015
Equipamentos de pesquisa	133.084	25.603	(789)	(207)	3.165	160.856
Móveis e utensílios	48.554	3.677	(1.530)	-	1.545	52.246
Equipamentos de computação	8.815	797	(407)	-	111	9.316
Edifícios	39.091	1.350	-	10.625	-	51.066
Veículos	728	311	-	-	-	1.039
Adiantamento a fornecedores	21.296	16.916	(20.651)	-	-	17.562
Obras em andamento	24.107	84.379	(171)	(9.103)	-	99.212
Imobilizado em andamento	3.350	1.609	(29)	(1.713)	-	3.217
Outros	4.734	162	-	(151)	-	4.745
Total do custo	283.759	134.804	(23.577)	(549)	4.821	399.259
Depreciação acumulada	(86.839)	(17.611)	3.145	-	-	(101.305)
Total imobilizado	196.920	117.193	(20.432)	(549)	4.821	297.954
Software	4.464	574	-	398	19	5.455
Marcas e Patentes – Ajustado	-	39	-	151	-	190
Amortização acumulada	(1.558)	(764)	(22)	-	-	(2.344)
Total intangível	2.906	(151)	(22)	549	19	3.301

Movimentação 2014

	Movimentação					
	2013	Adições	Baijas	Transferência	Doações	2014
Equipamentos de pesquisa	107.451	-	(132)	23.803	1.962	133.084
Móveis e utensílios	45.173	3.550	(294)	-	125	48.554
Equipamentos de computação	8.234	-	(233)	604	210	8.815
Edifícios	38.574	-	-	517	-	39.091
Veículos	441	287	-	-	-	728
Bens em desenvolvimento interno	5.732	-	-	(4.567)	222	1.387
Adiantamento a fornecedores	17.070	37.638	-	(33.411)	-	21.296
Obras em andamento	15.427	-	-	10.663	-	26.090
Outros	4.608	-	(5)	131	-	4.734
Total do custo	242.710	41.475	(664)	(2.260)	2.519	283.759
Depreciação acumulada	(74.891)	(12.630)	682	-	-	(86.839)
Total imobilizado	167.819	28.845	18	(2.260)	2.519	196.920
Software	3.450	419	(1.039)	1.621	13	4.464
Amortização acumulada	(2.101)	(493)	1.036	-	-	(1.558)
Total intangível	1.349	(74)	(3)	1.621	13	2.906

A variação do saldo de imobilizado no exercício de 2015 está basicamente relacionada à construção do prédio da Nova Fonte de Luz Síncrotron, o Sirius, registrada na conta de Obras em Andamento, prevista para se encerrar em 2018.

Bens recebidos em comodato

Os bens que formam o Laboratório Nacional de Luz Síncrotron (edifícios, equipamentos, etc.) foram basicamente cedidos para uso do CNPEM pelo MCTI/CNPq, por meio do Contrato de Gestão mencionado na Nota 1 e, portanto, não estão contemplados nessas demonstrações financeiras.

As cessões dos comodatos abaixo representam o volume de recursos aplicados em bens aguardando encerramento do processo de doação por parte da agência de fomento:

	2015	2014
Bens cedidos pelo MCT/CNPq por meio do contrato de gestão	2.362	2.421
Bens sob responsabilidade FINEP/CT Infra I	1.699	1.701
Bens sob responsabilidade FINEP/CT Infra III	1.279	1.279
Bens sob responsabilidade FINEP Mod. Interação	-	1.249
Bens sob responsabilidade FINEP Mod. Proinfa	789	789
Bens sob responsabilidade FINEP Mod. Proinfa LNLS	-	592
Bens sob responsabilidade FINEP Mod. Gigabit	-	378
Bens cedidos pela Fundação CPqD - Centro de Pesquisas e Desenvolvimento em Telecomunicações	155	155
Bens sob responsabilidade FINEP/Getec	135	135
Bens em comodato / convênios / contrato gestão	564	171
Bens sob responsabilidade FINEP/CT Infra V	67	67
	<u>7.050</u>	<u>8.937</u>

Os terrenos nos quais estão instaladas a matriz do CNPEM e sua Filial SIRIUS é de propriedade do Governo do Estado de São Paulo. O terreno da matriz foi declarado de utilidade pública pelo Processo nº 30.135, de 12 de julho de 1989, publicado no Diário Oficial do Estado de São Paulo em 13 de julho de 1989. Durante o exercício de 2010, o Governo do Estado de São Paulo emitiu o “Termo de Permissão de Uso de Próprio da Fazenda do Estado de São Paulo, na conformidade do Decreto nº 55.359, de janeiro de 2010” por tempo indeterminado. A permissão de uso do terreno da Filial foi registrada no Decreto nº 61.002 de 18 de dezembro de 2014, publicado no Diário Oficial do Estado de São Paulo, a título precário e gratuito e por prazo indeterminado.

8. Fornecedores

	2015	2014
Fornecedores	5.686	683
	5.686	683

Em 2015, houve um aumento significativo no volume das contratações do Instituto, em virtude da construção da nova fonte de Luz Sincrotron – SIRUS.

9. Salários, férias e encargos a pagar

O valor apresentado em salários, férias e encargos a pagar é composto basicamente por provisão de férias e encargos trabalhistas.

A remuneração mensal dos dirigentes e empregados, com recursos do Contrato de gestão, aprovada pelo Conselho de Administração, observa como limite máximo, o que dispõe o inciso XI, do art. 37 da Constituição Federal.

A variação da conta de salários em 2015 refere-se ao crescimento no quadro de pessoal vinculados ao Projeto Sirius e outros convênios industriais, além do saldo a pagar de INSS de 2015, uma vez que em 2014 houve recolhimento antecipado da contribuição previdenciária.

10. Recursos de convênios/projetos e subvenções

	2014	Recursos Recebidos/ TA's firmadas	Rendimento de aplicação financeira	Realização da receita diferida	Realização relativa a depreciação e amortização	2015
Petrobrás TMEC	247	-	8	(255)		0
Convênio CTBE BNDES Jacto	2.116	-	142	(1.362)		896
Convênio BNDES RHODIA	1.179	863	90	(1.777)		355
Convênio CTBE BP	446	-	26	(347)		125
Convênio FINEP PACMAN	892	2.248	63	(2.014)		1.189
Convênio FINEP INFRAPEM	168	-	-	(12)		156
Convênio BNDES LIMA	2.073	-	229	1		2.303
Convênio FINEP CONT COLOFF	13	-	14	(13)		14
Convênio FINEP DTMX2	697	-	54	(132)		619
Convênio DOW II	589	508	6	(1.073)		30
Convênio MS SICONV LIMA	3.174	-	157	(1.345)		1.986
Convênio FMC FSW CLAD	705	854	41	(1.132)		468
Convênio EMBRAPII	1.005	-	39	(541)		503
Convênio FINEP ELI LILLY	209	400	27	(232)		404
Convênio ENZIMAS RAMIFICADAS-BRK	-	1.044	27	(404)		667
Convênio PNUD SUCRE	-	2.029	30	(1.263)		796
Convênio DNDI II	249	297	23	(37)		532
Convênio DOW DSM	4.011	8.215	576	(7.625)		5.177
Petrobrás CO2	1.288	23	66	(1.027)		350
Petrobrás FSW 4	1.004	1.178	39	(1.148)		1.073
Petrobrás LABWEB 2	11	370	2	(384)		(1)

Petrobrás SENSIORMEG	390	-	21	(292)		119
Convênios BNDES MAHLE	707	75	43	(632)		193
Convênios LNBio GRANT U E	28	410	14	(290)		162
Outros convênios	49	1.938	43	(1.510)		520
Receita diferida ativos de convênios	<u>9.988</u>	<u>9.273</u>			<u>(897)</u>	18.364
Recursos de convênios (a)	31.238	29.724	1.781	(24.846)	<u>(897)</u>	37.000
Recursos de projetos em Execução do Sirius	141.466	240.619	7.365	(102.416)		287.034
Receita diferida ativos Sirius	22.339	83.426	-	-	<u>(2.310)</u>	103.455
Recursos de projetos em Execução do SisNano	16.769	8.277	841	(15.265)		10.622
Receita diferida ativos SisNano	4.515	15.359	-	-	<u>(478)</u>	19.396
Recursos de projetos em Execução do BIOTEC	7.236	0	467	(3.898)		3.806
Receita Diferida ativos BIOTEC	280	3.350	-	-	<u>(54)</u>	3.576
Receita Diferida ativos Contrato de Gestão	185	8.231	-		<u>(241)</u>	8.175
Recursos de projetos (b)	<u>192.790</u>	<u>359.262</u>	<u>8.673</u>	<u>(121.578)</u>	<u>(3.083)</u>	436.064
Subvenção de contratos de gestão (operação) (c)	17.817	83.000	-	(44.917)		55.900
	<u>241.845</u>	<u>471.987</u>	<u>10.454</u>	<u>(191.342)</u>	<u>(3.980)</u>	528.964
<i>Passivo circulante</i>	<u>204.537</u>					375.997
<i>Passivo não circulante</i>	<u>37.308</u>					152.967

a) Recursos de convênios

O Instituto possui diversos projetos de pesquisa vinculado à empresas, agências de fomentos e/ou bancos. Para isso, os instrumentos reguladores são firmados mediante Acordo de Cooperação, Convênios ou Acordos de Fornecimento entre as partes, mediante um plano de trabalho e um cronograma de desembolso específico ao projeto, onde na maioria das vezes não há contrapartida financeira do CNPEM, cabendo ao fim, o processo de prestação de contas ao parceiro.

Atualmente os principais parceiros do Instituto são Petrobras, Pacman, Rhodia Poliamida e Especialidades Ltda., Máquinas Agrícolas Jacto S.A., Banco Nacional de Desenvolvimento - BNDES, FINEP, Ministério da Saúde, EMBRAPA, entre outros.

Durante o exercício de 2015 foram recebidas doações patrimoniais de Institutos dos convênios que correspondem a equipamentos para pesquisas e outros fins relacionados à atividade do Instituto, no montante de R\$4.821.

b) Recursos de projetos

SIRIUS

Os recursos contratados estão destinados, em sua maioria, à execução das obras e instalação e da produção da máquina do SIRIUS, a nova Fonte de Luz Síncrotron de Alto Desempenho para o Brasil.

Os valores apresentados no quadro acima representam a diferença entre o saldo de orçamentos pactuados em exercícios anteriores, os rendimentos financeiros e o montante orçamentário executado deste projeto, além do recurso firmado por meio do 13º termo aditivo do Contrato de Gestão, no montante de R\$240.619.

SisNano

Os recursos destinados ao este projeto serão utilizados na aquisição de equipamentos para implantação da nova instalação do LNNano, viabilizando a realização das linhas de pesquisa previstas para o Laboratório de Referência do SisNano. Para 2015, o recurso do projeto foi firmado no 13º Termo Aditivo do Contrato de Gestão, no montante de R\$8.277.

BIOTEC

Este projeto tem por objetivo a criação de uma infraestrutura laboratorial destinada à geração de linhagens celulares e bancos de células produtoras de proteínas recombinantes. Em 2015 não foram contratados novos recursos e o projeto apenas deu continuidade às suas atividades de acordo com o cronograma estabelecido.

c) Subvenção de contrato de gestão

O contrato de gestão firmado entre o CNPEM e o MCTI é destinado para o custeio das atividades desenvolvidas nos Laboratórios Nacionais e seu resultado é medido anualmente por meio de indicadores de desempenhos técnicos. O saldo em 2015 refere-se aos recursos contratados e não recebidos, firmados no 13º termo aditivo do Contrato de Gestão.

Os valores apresentados no passivo não circulante se referem a receita diferida criada em contrapartida dos imobilizados e intangíveis adquiridos para os respectivos projetos, as quais são amortizadas de acordo com a vida útil dos respectivos bens e direitos adquiridos.

11. Outras Obrigações

	2015	2014
Impostos e contribuições a recolher	(400)	(106)
Energia elétrica a pagar	(1.181)	(357)
Outras contas a pagar	(1.624)	(1.862)
	(3.205)	(2.325)

12. Provisão para contingências

O Instituto está envolvida em ações judiciais sobre questões fiscais e trabalhistas, decorrentes do curso normal de suas operações. A Administração, com base em informações de seus assessores jurídicos e análise das demandas judiciais pendentes, constituiu provisão em montante considerado suficiente para cobrir as perdas prováveis esperadas no desfecho das ações em curso.

	2015	2014
Provisão para contingencias		
Trabalhistas	14.107	12.334
Depósitos judiciais		
Trabalhistas	(6.094)	(5.319)
Tributários	(1.192)	(1.059)
	(7.286)	(6.378)
	6.821	5.956

Movimentações 2015

	2014	Adições	Baixas	2015
Provisão para contingencias				
Trabalhistas	12.334	1.773	-	14.107
	12.334	1.773	-	14.107
Depósitos judiciais				
Trabalhistas	(5.319)	(776)	1	(6.094)
Tributários	(1.059)	(133)	-	(1.192)
	(6.378)	(909)	1	(7.286)

Movimentações 2014

	2013	Adições	Baixas	2014
Provisão para contingencias				
Trabalhistas	5.547	6.787	-	12.334
	5.547	6.787	-	12.334
Depósitos judiciais				
Trabalhistas	(5.361)	(14)	56	(5.319)
Tributários	(1.059)	-	-	(1.059)
	(6.420)	(14)	56	(6.378)

Trabalhistas

Em 2013 o Instituto teve perda em primeira instância de um processo de adicional de insalubridade e periculosidade, no entanto, incluiu ação rescisória para anular a condenação e depositou em conta judicial o montante de R\$5.208. Em 2014, o

cálculo do processo foi revisto judicialmente e houve a necessidade complementar a provisão para contingência no montante de R\$6.787 para 2015, após a nova revisão realizada por nossos consultores jurídicos, o montante necessitou de atualização no montante de R\$1.773.

Adicionalmente, os processos avaliados com possíveis chances de êxito se tratam de ações movidas por ex-funcionários e/ou funcionários de empresas prestadoras de serviços do Instituto pleiteando pagamentos de diferenças salariais, diferenças de horas extras acrescidas dos adicionais incidentes e reflexos, além de verbas rescisórias. Na maioria dos casos, o Instituto está incluída como responsável subsidiária pelo cumprimento de eventual condenação, por ser tomadora dos serviços. Em 2015 o montante foi corrigido conforme extrato bancário, no montante de R\$776.

O somatório dos processos possíveis totaliza R\$1.943 (R\$1.547 em 2014).

Tributárias

O depósito judicial tributário encontra-se, dentre outras ações, em instância administrativa e refere-se a auto de infração e imposição de multa, lavrado em 17 de fevereiro de 2004, pela Secretaria de Estado dos Negócios da Fazenda, relativo ao ICMS incidente na importação de máquinas e equipamentos no período de janeiro de 2001 a junho de 2002.

Em atendimento ao referido dispositivo, o Instituto depositou em juízo perante a 1^a Vara da Fazenda Pública da Comarca de Campinas, em outubro de 2009, o montante de R\$672, previsto na ação com as devidas correções e em setembro de 2012 o Instituto realizou um complemento do depósito no montante de R\$387, totalizando R\$1.059. Em 2015 o montante foi corrigido pela taxa SELIC no montante de R\$133.

Apesar dos assessores jurídicos reconhecerem este processo com remota chance de perda, o depósito judicial se mantém até o julgamento final da causa.

13. Patrimônio Líquido

A movimentação do patrimônio líquido refere-se ao déficit registrado no período.

14. Custos, despesas restritas e sem restrição

Despesas com atividades de desenvolvimento tecnológico com restrição

	2015	2014
PROJETO SIRIUS		
Salários, encargos e despesas relacionadas	15.109	8.700
Depreciação e amortização	2.291	1.126
Realização de receita diferida ativos doados	(2.291)	(1.126)
Serviços de terceiros	1.073	1.016
Material de consumo e outros	3.370	5.911
	<hr/> 19.552	<hr/> 15.627
Impostos e taxas	(121)	186
Resultado Variação Cambial, líquida	<hr/> (441)	<hr/> 729
	<hr/> 18.990	<hr/> 16.542

PROJETO SISNANO

Salários, encargos e despesas relacionadas	-	-
Depreciação e amortização	478	15
Realização de receita diferida ativos doados	(478)	(15)
Serviços de terceiros	(24)	10
Material de consumo e outros	52	47
	<hr/> 28	<hr/> 291

Impostos e taxas	4	27
Resultado Variação Cambial, líquida	<hr/> 15	<hr/> 23
	<hr/> 47	<hr/> 241

PROJETO BIOTEC

Salários, encargos e despesas relacionadas	382	452
Depreciação e amortização	54	4
Realização de receita diferida ativos doados	(54)	(4)
Serviços de terceiros	149	967
Material de consumo e outros	17	96
	548	1.515
Impostos e taxas	2	13
Resultado Variação Cambial, líquida	-	1
	550	1.529

Despesas com atividades de desenvolvimento tecnológico sem restrição

	2015	2014
Salários, encargos e despesas relacionadas	42.121	43.920
Depreciação e amortização	11.456	10.550
Realização de receita diferida ativos doados	(1.157)	(1.126)
Serviços de terceiros	9.397	8.199
Material de consumo e outros	1.829	3.825
	63.646	65.368
Impostos e taxas	1.332	1.125
Resultado Variação Cambial, líquida	198	178

15. Plano de previdência privada

O Instituto disponibiliza para 100% de seus colaboradores um plano de previdência privada por contribuição definida (BrasilPrev), com o objetivo de complementação da previdência oficial. No ato da aposentadoria, o participante poderá optar pelo benefício da aposentadoria ou pelo resgate do saldo alcançado na composição do seu fundo.

O plano tem participação do Instituto (4% do salário) e dos seus colaboradores (2% do salário) na formação do fundo, por meio de contribuições mensais regulares e podendo o colaborador realizar aportes adicionais a qualquer tempo.

O plano prevê rentabilidade garantida do Índice Geral de Preços do Mercado (IGP-M/FGV), acrescido de 6% ao ano, e taxa de carregamento de 3% sobre o valor das contribuições mensais.

O montante das contribuições no exercício de 2015 foi de R\$2.074 (R\$2.684 em 2014).

16. Instrumentos financeiros

Os valores contábeis referentes aos instrumentos financeiros constantes no balanço patrimonial consistiam basicamente de caixa, equivalente de caixa e aplicações financeiras (conforme nota explicativa 4). Quando comparados com os valores que poderiam ser obtidos na sua negociação em um mercado ativo ou, na ausência deles, com o valor presente líquido ajustado com base na taxa vigente de juros no mercado, aproximam-se, substancialmente, de seus correspondentes valores de mercado. Durante os exercícios findos em 31 de dezembro de 2015 e 2014, o Instituto não realizou operações com derivativos.

17. Cobertura de seguros (não auditado)

O Instituto contratou cobertura de seguros para os bens sujeitos a riscos, por montantes considerados suficientes para cobrir eventuais sinistros, considerando a natureza de sua atividade.

As premissas de riscos adotadas, dada a sua natureza, não fazem parte do escopo de uma auditoria das demonstrações financeiras e, consequentemente, não foram examinadas pelos nossos auditores independentes.

Em 31 de dezembro de 2015, a apólice de seguro do Instituto totaliza R\$252.000, sendo as principais coberturas contra eventos de qualquer natureza, incluindo danos materiais e de responsabilidade civil de R\$111.723.

18. Avais, fianças e garantias

O Instituto não prestou garantias durante os exercícios findos em 31 de dezembro de 2015 e 2014 e não possuía em 31 de dezembro de 2015 e 2014, quaisquer transações como interveniente garantidora.

19. Eventos Subsequentes

Ao término do exercício de 2015 ficaram pendentes de repasses financeiros R\$ 259.797 referentes a recursos contratados por meio do 13º Termo Aditivo, sendo sua destinação: R\$ 55.900 à operação do CNPEM, R\$ 7.277 ao Projeto SisNano e R\$196.619 ao Projeto SIRIUS. Durante os meses de janeiro e fevereiro de 2016 houve novos repasses, totalizando R\$ 46.000, quais sejam: R\$ 24.000 para operação do CNPEM, R\$ 20.000 para o Projeto SIRIUS e R\$ 2.000 para o projeto SisNano.